

UNIVERSIDAD NACIONAL AUTÓNOMA DE MÉXICO FACULTAD DE QUÍMICA

"Estudio proteómico de los cambios de fosforilación y glicosilación en Cáncer de mama."

TESIS

QUE PARA OBTENER EL TÍTULO DE: QUÍMICO FÁRMACO BIÓLOGO

PRESENTA: MERINO VAQUERO JULIO CÉSAR



MÉXICO, D.F

2010





UNAM – Dirección General de Bibliotecas Tesis Digitales Restricciones de uso

DERECHOS RESERVADOS © PROHIBIDA SU REPRODUCCIÓN TOTAL O PARCIAL

Todo el material contenido en esta tesis esta protegido por la Ley Federal del Derecho de Autor (LFDA) de los Estados Unidos Mexicanos (México).

El uso de imágenes, fragmentos de videos, y demás material que sea objeto de protección de los derechos de autor, será exclusivamente para fines educativos e informativos y deberá citar la fuente donde la obtuvo mencionando el autor o autores. Cualquier uso distinto como el lucro, reproducción, edición o modificación, será perseguido y sancionado por el respectivo titular de los Derechos de Autor.

JURADO ASIGNADO:

PRESIDENTE: Profesor: DRA. MARINA GAVILANES RUIZ

VOCAL: Profesor: M. en C. LUIS TONATIHUT SÁNCHEZ LINARES

SECRETARIO: Profesor: DRA. NORA ANDREA GUTIÉRREZ NÁJERA

1er. SUPLENTE: Profesor: DRA. VANESSA REBECA MAYA AMPUDIA

2° SUPLENTE: Profesor: M. en C. RAÚL GENARO AGUILAR CABALLERO

SITIO DONDE SE DESARROLLÓ EL TEMA:

Instituto Nacional de medicina Genómica (INMEGEN). PÉRIFERICO SUR, No. 4124, Torre Zafiro II, piso 6, colonia jardines del pedregal. del. Alvaro Obregón, Mexico d.f. C.P. 01900.

ASESOR DEL TEMA: DRA. NORA ANDREA GUTIÉRREZ NÁJERA.

SUSTENTANTE: MERINO VAQUERO JULIO CÉSAR

Dedicatorias y agradecimientos.

A mi padre, por estar ahí en las buenas y en las malas, por desvivirte y aguantarme todas las tonterías que he hecho en mi vida. Gracias por regañarme y abrazarme cuando lo necesitaba. Y lo más importante, gracias por enseñarme a ser un hombre. Te amo papá.

A mí madre en paz descanse, porque a pesar de no estar aquí eres un pilar fundamental en mi vida. ¡Sí se pudo!.

A mi segunda madre, Erika. Gracias a tí pude terminar esta carrera. Gracias por aguantar mis malos humores y mis groserías, por estar ahí cuando te necesitaba. Simplemente gracias por darme una parte de tu vida y no solo te quiero, te admiro.

A mis hermanas: lety y fabi. Gracias por entenderme y estar a mi lado. Buena vibra a las dos y a disfrutar la vida, ya nos toca.

A la mujer que amé, amo y amaré toda mi vida. Gracias Lidia por enseñarme a vivir. Por las buenas, las malas y las muy malas. Gracias por la mejor etapa de mi vida, eres la cosa más linda que he conocido y eso no cambiará nunca. Mi pequeña vakera bebe. Gracias por ser mi vakera y más vale amar una chispa que odiar la obscuridad. ¡Te amo!, amor de mi eternidad.

A mis hermanos de vida: Juana, Oscar, Vianney y mi pequeña mamá Claus. Gracias por todo. Por los regaños, los abrazos y lo hombros donde llorar y valla que los moje, por las buenas y constates borracheras. Sin ustedes mi vida no sería la misma. A la chiva, gracias por las buenas charlas y presentarme al amor de mi vida, te quiero chiva.

A los de la prepa y los Chávez: shaggy, vivian, mega, momis, mars, viry, chucho, Iram, homero, ivan y lupe. Por los buenos cuernavacasos y Tlalmanalco, porque sin ustedes mi vida sería aburrida, jajaja.

A mis amigos de la Fac: Axel, Pony, Kory, Rafa, mi valedor querido (Alicia), Gabo, Memo, Piffs y demás personitas que compartieron una buena siesta en cualquier clase. Gracias por hacer muy amena esta hermosa carrera.

A mi asesora, la Dra. Nora Gutiérrez por su confianza, porque ambos aprendimos en esta aventura llamada tesis.

A la Dra. Marina. Gracias por su paciencia y mil disculpas por lo ocurrido.

En fin, a todas esas personitas que han sido parte de mi aprendizaje. Las que me hicieron llorar, las que me hicieron reír pero sobre todo a las que dejaron un cachito de su vida en mi corazón. ¡Gracias!.

Indíce.

Abreviaturas	6
Glosario	8
Resumen	13
Capítulo 1. Introducción	15
Capítulo 2. Antecedentes	19
2.1 Cáncer	19
2.1.1Factores de riesgo.	20
2.1.2 Factores Internos (genéticos)	20
2.1.3 Factores Externos (Ambientales).	21
2.2 Desarrollo de cáncer a nivel celular.	22
2.2.1 Genes supresores de tumores.	24
2.2.2 Oncogenes	25
2.2.3 Propagación del Cáncer (Angiogénesis y Metástasis)	26
2.3 Clasificación del cáncer por la AJCC y UICC	28
2.3.1 Otros tipos de clasificación	30
2.3.2 Métodos para la clasificación	30
2.4 Terapias	31
2.5 Cáncer de mama	32
2.5.1 Factores que influyen en el desarrollo del Cáncer de mama	33
2.5.2 Anatomía y fisiología de la mama	
2.5.3 Tipos de Cáncer de mama	36
2.5.4 Diagnóstico en Cáncer de mama	39
2.5.5 Pronóstico en Cáncer de mama	40
2.5.6 Terapias en Cáncer de mama	43
2.6 Estructura, formación, clasificación y estudio de proteínas	48
2.6.1 Fosforilación	51
2.6.2 Glicosilación	55
2.7 Biomarcadores	60
Capítulo 3. Objetivos	64
3.1 Objetivo general	
3.2 Objetivos particulares	64
Capítulo 4. Hipótesis	
Capítulo 5. Metodología. Protocolo de análisis de Fosfoproteínas y Glicoproteínas	
5.1 Líneas celulares	

5.3 Protocolo para purificación de glicoproteínas mediante kits Qiagen	70
5.4 Precipitación de proteínas	72
5.5 Cuantificación de proteínas	73
5.6 Preparación y tinción de geles SDS-PAGE	76
5.7 Análisis de geles obtenidos	78
5.7.1 Protocolo para la digestión de las bandas seleccionadas con tripsin	a78
5.7.2 Análisis de fracciones de fosfoproteínas y glicoproteínas mediante l MS/MS.	
Capítulo 6. Resultados	86
6.1 Rendimiento de la extracción de fosfoproteínas y glicoproteínas de las l celulares MDA-MB 231, MCF7, Hs578T y Hs578BsT	
6.3 Comparación del patrón de bandas de las fosfoproteínas y glicoproteína líneas celulares MDA-MB 231, MCF7 Y Hs578T en contra del patrón de bar fosfoproteínas y glicoproteínas de la línea celular control Hs578BsT	ndas de las
6.3.1 Fosfoproteínas.	92
6.3.2 Glicoproteínas	92
6.4 Resultados del análisis por LC/MS- MS/MS de las proteínas seleccionad geles corridos con las fracciones obtenidas de la extracción de glicoproteínas fosfoproteínas.	as y
6.5 Selección final de posibles biomarcadores fosforiladas	99
6.7 Selección final de posibles biomarcadores glicosilados	
Capítulo 7. Discusión. Biomarcadores fosforilados y glicosilados seleccionado	
Capítulo 8. Conclusiones	
9. Referencias Bibliográficas	123
ANEXO I	129
ANEXO II	140
ANEXO III	143
ANEXO III	152
ANEXOIV	163

Abreviaturas.

ADN. Ácido Desoxirribonucleico.

AHA1. Activator of heat shock 90 kDa protein ATPase homolog 1.

AJCC. American Jooint Committee for Cancer.

ATCC. American Type Culture Collection (Colección Americana de Tipos de Células).

ARN. Ácido Ribonucleico DMEM. Medio modificado de Eagle's Dulbecco's.

Ca mama. Cáncer de mama.

CDC. Centro de prevención y control de enfermedades (Center for Disease Control and Prevention).

CD44E. Proteína CD44 en su forma epitelial.

CHAP's. 3-[(3-cloramidopropil)dimetilamonio]-1-propanosulfonato.

2D. Gel en 2 dimensiones.

DCIS. Carcinoma ductal in situ.

DIGE. Electroforesis diferencial en geles (Difference in gel electrophoresis).

DMEM. Medio Modificado de Dulbecco's Eagle.

DTT. Ditiotreitol.

EGF. Factor de Crecimiento Epitelial.

FGF-1. Factor de Crecimiento Fibroblástico tipo 1.

FNIP1. Folliculin interacting protein 1.

HSF1. Heat shock transcription factor 1.

ESI-MS. Espectrometría de masas por ionización de electroespray (electrospray ionization mass spectrometry).

HEPES-base. Ácido 4-(2-hidroxietil)-1-piperazinaetanisulfónico.

hnRNP U. Ribonucleoproteína U.

HPLC. Cromatografía líquida de alta resolución (High Pressure Liquid Cromatography).

HSP-α. Proteína de choque térmico HSP 90-α.

ILC. Carcinoma lobular infiltrante o invasivo.

IBC. Cáncer de mama inflamatorio.

IDC. Carcinoma ductal infiltrante.

IMHQ. Inmunohistoquímica.

kDa. Kilo Daltones.

LCIS. Carcinoma lobular in situ.

MALDI MS o TOF. Espectrometría de masas por absorción/desorción de la matriz asistida por laser (matrix-assisted laser desorption/ionization mass spectrometry).

MRM. Masectomía Radical Modificada.

MS. Espectrometría de Masas.

MS/MS. Espectrometría de Masas en Tándem (Mass Spectrometry).

NCL. Nucleolina.

NCI. Instituto Nacional de Cáncer (National Cancer Institute).

NIST. Instituto Nacional de Estándares y Tecnología (National Institute of Standards and Technology).

80 kDa. Subunidad β de la Glucosidasa II.

OMS. Organización Mundial de la Salud.

PSA. Persulfato de amonio.

pl. Punto isoeléctrico.

PTGES3. Prostaglandin E synthase 3 (cytosolic).

RER. Retículo endoplámico rugoso.

RE. Receptores de Estrógenos.

RP. Receptores de Progesterona.

SAR. Scaffold-Attached Región.

SDS. Dodecil Sulfato de Sodio.

SI. Sistema Inmune.

SMYD3. SET and MYND domain containing 3.

TBS. Solución Tris-Base.

TERT. Telomerase reverse transcriptase.

TFA. Ácido triflouroacético.

TMC. Tratamiento conservador de la mama.

TMN. Tumor, ganglios y metástasis.

TNF-α. Factor de Necrosis Tumoral Alfa.

TOMM34. Translocase of outer mitochondrial membrane 34.

UICC. Unión Internacional en contra del Cáncer (International Union Against Cancer).

UNC45A. UNC-45 homolog A.

VEGF. Factor de Crecimiento Endotelial Vascular.

Glosario.

- *Acilación. Proceso de agregar un grupo acilo a un compuesto. El compuesto que provee el grupo acilo es denominado el grupo acilante y esta reacción se realiza gracias a una reacción de sustitución.
- *Aminoácido. Unidad fundamental de un péptido. Una molécula orgánica la cual se compone de un grupo amino (-NH₂), un grupo carboxílico (-COOH; ácido), un carbono α y una cadena R la cual puede ser un ión hidrógeno o un grupo aromático.
- *Angiogénesis. Generación de vasos sanguíneos para proporcionar los nutrientes necesarios en el crecimiento tumoral.
- *Anticuerpo. Glucoproteínas del tipo gamma globulina. Se encuentran de forma soluble en la sangre u otros fluidos corporales de los vertebrados, actúan como receptor de loslinfocitos B y son empleados por el sistema inmune para identificar y neutralizar elementos extraños (antígenos).
- *Antígeno. Molécula extraña a la cual ataca el anticuerpo (puede provenir de bacterias, hongo, virus, etc).
- *BCR1. Gen que se encuentra presente en más de 45% de los casos de Cáncer de mama hereditario y 80% en los casos de cáncer de ovario.
- *BCR2. Gen que se encuentra relacionado con formas poco comunes de Cáncer de mama heredado.
- *Biomarcador. Producto del cuerpo (metabolitos) que tal vez respondan a una interacción negativa con el medio (carcinogénesis, mutagénesis, etc.).
- *Biomolécula. Compuesto químico que se encuentra en los organismos vivos y que están formados por sustancias químicas compuestas principalmente por carbono, hidrógeno, oxígeno, nitrógeno, sulfuro y fósforo; éstas son el fundamento de la vida y cumplen funciones imprescindibles para los organismos vivos.
- *Cambio postraduccional. Modificaciones que sufren las cadenas polipeptídicas para adquirir su estado activo.
- *Cáncer de mama. Grupo de tumores malignos epiteliales, los cuales se desarrollan en las glándulas mamarias con la consecuente metástasis de la región de los nódulos linfáticos y órganos periféricos y finalizando con la muerte del paciente.
- *Carcinogénesis. Transformación progresiva de las células normales en células malignas, que se produce por la adquisición de autonomía de las mismas, lo que es un

reflejo de una regulación y expresión anormal de su carga génica. Como consecuencia final se induce una neoplasia.

- *Células somáticas. Células que constituyen la mayoría de las células de nuestro cuerpo. Contienen toda la información genética de un individuo, organizada en 23 pares de cromosomas, en el humano se las denomina células diploide: 2n cromosomas, 2x23 cromosomas.
- *Ciclinas. Familia de proteínas que regula la actividad de Cdks y el control de la progresión a través del ciclo celular.
- *c-MYC. Factor de transcripción que controla la expresión de varios genes involucrados en la división celular. La forma mutante de este gen actúa como un oncogen y se ha relacionado con varios tipos de cánceres, incluyendo el neuroblastoma.
- *Cofactor. Componente no proteico, termoestable y de bajo peso molecular, necesario para la acción de una enzima y formar una haloenzima,
- *Coenzima. Cofactores unidos débilmente a la apoenzima y actúan fundamentalmente como uno de los sustratos específicos de la reacción, que lleven a cabo.
- *Cromatografía. Técnica analítica empleada para la identificación de compuestos.
- *Enlace intermolecular. Unión que como resultado de las fuerzas de carácter electrostático que se establecen entre las moléculas, consigue mantenerlas unidas en una red, ejemplo de éstos son: enlaces de hidrógeno, fuerzas electrostáticas, fuerzas de Van der Waals, entre otros.
- *Enlace intramolecular. Enlaces que unen entre sí conjuntos de átomos para dar lugar a moléculas ó estructuras superiores a los átomos. En este tipo de enlaces se incluyen el iónico, el covalente y el metálico. En proteínas, el ejemplo más claro son los puentes disulfuro.
- *ErbB2. Factor de Crecimiento Epidermal 2, un receptor de membrana que es un receptor de tirosin cinasas que está asociado con la traducción de señales para estimular el crecimiento celular.
- *Factor de riesgo. Atributo o exposición de una persona, una población o el medio que están asociados a la probabilidad de que ocurra un evento.
- *Factores internos. Acontecimientos que ocurren dentro del individuo, es decir a nivel genético, los cuales contribuyen a la expresión del proteoma en espacios y tiempos determinados.
- *Factores externos. Acontecimientos ambientales que rodean al individuo, los cuales

contribuyen a la expresión del proteoma en espacios y tiempos determinados.

- *Fase móvil. Fase en la cromatografía que contiene el analito a analizar y la cual entra en contacto con la fase estacionaria.
- *Fase estacionaria. Matriz que posee las características para retener cierto tipo de analitos por la cual se desplaza la fase móvil.
- ***Fosforilación.** Adición de un grupo fosfato inorgánico (PO₄³⁻) a cualquier otra molécula. En las proteínas, esta adición es catalizada por proteína cinasas.
- *Genes supresores. Genes encargados de la proliferación celular, por lo tanto son reguladores negativos de crecimiento y cuando no están presentes en la célula o se encuentran inactivos, las células dejan de crecer normalmente y adquieren propiedades proliferativas anormales.
- *Genética. Disciplina de la biología, la cual se encarga del estudio de la herencia y la variación de ésta en los organismos.
- *Glándulas mamarias. Órgano característico de los mamíferos, se desarrollan a partir de crestas mamarias definidas que se extienden a ambos lados del tronco en el embrión de mamífero, éstas se hallan en ambos sexos, pero en los machos dejan de desarrollarse mucho antes de la pubertad. Se emplean para el alimento de las crías, además de ser necesarias para la regulación hormonal en las hembras.
- *Glicación. Adición de una glucosa a una molécula, a nivel bioquímico ocurre cuando las moléculas de glucosa reaccionan con una proteína, uniéndose a ésta ejemplos de estas proteínas son: proteínas que transportan el colesterol, la capa protectora que rodea los nervios, la hemoglobina, los glomérulos de los riñones y con proteínas en el cristalino de los ojos.
- *Grupo prostético. Cofactores que están fuertemente unidos a la apoenzima.
- *Glucosilación. Adición de azúcares mediante una glucosidasa, este tipo de modificación se divide en dos grandes grupos: O-glicoproteínas (los grupos aceptores son Ser y Thr) y N-glicoproteínas (el residuo aceptor es Asn).
- *Hidroxilación. Adición de un grupo hidroxilo por hidrolasas a los residuos de tirosina.
- *Hormonas esteroideas. Grupo de hormonas hidrofóbicas que son derivadas del colesterol.
- *Metástasis. Capacidad de diseminación de las células neoplásicas.
- *Metilación. Adición de un grupo metilo en los amino α de los residuos de Lys, His y Arg.
- *Mutaciones. Alteración o cambio en la información genética de un organismo y que por

- lo tanto produce un cambio en su expresión (proteoma). Se presenta súbita y espontáneamente. Se puede transmitir o heredar a la descendencia.
- *Neoplasia. Alteración de la proliferación y muchas veces de la diferenciación celular, que se manifiesta por la formación de una masa o tumor.
- *Nitrosilación. Modificación postraduccional en la cual se añade grupo nitroxilo a una proteína.
- *Nitración. Proceso bioquímico general que introduce un grupo nitro en un residuo de Tyr.
- *Oncogenes. Protooncogenes alterados, los cuales dirigen la producción de proteínas como ciclinas, factores de crecimiento, receptores entre otros, los mismos que estimulan la proliferación celular y son capaces de generar una multiplicación descontrolada de las células.
- *Péptido. Unión de dos o más aminoácidos mediante un enlace peptídico que une el extremo carboxilo terminal de un aminoácido y el extremo amino del otro.
- *Péptido señal. Secuencia hidrofóbica unida al amino terminal de una cadena polipeptídica que indica el lugar al cual debe dirigirse dentro y fuera de la célula.
- *Poliacrilamida. Acrilato que pertenece a un tipo de polímeros vinílicos que se deriva de monómeros acrilatos, que son ésteres que contienen grupos vinílicos, es decir, dos átomos de carbono unidos por una doble ligadura, directamente enlazados al carbono del carbonilo. Este polímero es el más empleado en la separación electroforética.
- *Prenilación. Adición de tipos específicos de lípidos (grupos preniles) al C terminal de los residuos de cisteína de la cadena polipeptídica.
- *Proteína. Macromoléculas formadas por una cadena lineal de aminoácidos, desempeñan un papel fundamental para la vida y son las biomoléculas más versátiles y diversas e imprescindibles para el crecimiento del organismo ya que realizan una enorme cantidad de funciones diferentes.
- *Proteoma. Expresión de proteínas en un lugar y momento específico por parte de un organismo.
- *Proteómica. Disciplina de la genética encargada del estudio del proteoma de los organismos.
- *p53. Factor de transcripción (codificado por el gen supresor tumoral *p53*) que detiene el ciclo celular en G1 en respuesta al daño en el ADN e induce apoptosis.
- *RB1. Gen supresor tumoral que reduce la probabilidad de que una célula en un

organismo multicelular se transforme en una célula cancerígena. Delaciones en él se encuentran relacionadas con el desorden del Retiblastoma.

- *Replicación. Síntesis de ADN a través de una cadena que sirve como molde.
- *SUMOilación. Sistema de modificación post-traduccional que consiste en la unión covalente a determinadas proteínas de un péptido similar a la ubiquitina denominado SUMO (small ubiquitin-like modifier), el cual tiene como finalidad la degradación de proteínas.
- *Traducción. Generación de una cadena polipeptídica apartir de un mRNA.
- *Transcripción. Síntesis de una molecula de RNA a partir de una cadena molde de ADN.
- *Tubulina. Proteína de citoesqueleto que se polimeriza para formar los microtúbulos.
- *Ubiquitinación. Vía de degradación de proteínas dependiente de ATP de los mamíferos en la cual se adiciona una ubiquitina al extremo C-terminal de un péptido para ser destruido por el proteasoma 26S.
- *WNT7B. Gen que codifica para la proteína Wnt-7b, la cual pertenece a una familia que se encuentra relacionada con la oncogénesis y en varios procesos de crecimiento celular. Este gen se ha observado en la progresión del cáncer gástrico, de estomago y pancreático.

Resumen.

El cáncer es una de las cuatro principales causas de defunciones en la población mundial. El Cáncer de mama es el principal tipo de neoplasias que presentan las mujeres y representa más del 13% de defunciones, equivalente a 7.9 millones. Se prevé que para el año 2030 esta cifra se incrementará en un 45%, es decir será causante de más de 12 millones de defunciones anuales. Se ha hecho hincapié en una terapia preventiva que garantice un diagnóstico temprano, ya que el pronóstico sería más favorable si la detección de esta enfermedad se hace en un estadio temprano. Desde la década de los noventa se reportaron proteínas que se encontraban relacionadas con algún tipo de cáncer y que se expresaban solo en pacientes enfermos y no así en los sanos ^{1,2}. A estas proteínas se les dio el nombre de biomarcadores, los cuales podemos definir como: "Un producto del cuerpo (metabolitos) que tal vez respondan a una interacción negativa con el medio (carcinogénesis, mutagénesis, etc.)"4. En años recientes esta área ha tenido un avance sobresaliente gracias al desarrollo de la genómica y sus múltiples ramas, entre ellas la proteómica, la cual nos permite el estudio del proteoma y que se define como: "La expresión de productos proteicos en un lugar y tiempo determinado". El uso de las herramientas de la proteómica permite la separación e identificación de varias proteínas a la vez. Una de las características principales de las proteínas es que pueden sufrir una o varias modificaciones postraduccionales por medio de enlaces no covalentes y covalentes o bien mediante la unión de alguna molécula, como pueden ser azúcares (derivados de glucosa) y los grupos fosfatos. Ambas modificaciones son capaces de modular vías metabólicas de la célula, las cuales pueden contribuir a su crecimiento o a su destrucción (muerte programada), es por ésto que el siguiente estudio tuvo como finalidad la identificación de fosfoproteínas y glicoproteínas para ser propuestas como posibles biomarcadores en los aspectos de diagnóstico, terapéuticos y/o de pronóstico en el Cáncer de mama. Este estudio se realizó en un modelo celular en el cual se utilizaron cuatro líneas celulares: MCF7, MDA-MB231, Hs578T y Hs578BsT (esta última como control). De éstas se obtuvieron fracciones de fosfoproteínas y glicoproteínas, las primeras, fueron aisladas mediante el uso de anticuerpos contra serina, treonina y tirosina fosforilada, y las segundas aisladas mediante la unión a una lectina con afinidad al grupo O-glico de las glicoproteínas. Una vez obtenidas las fracciones fueron separadas en geles SDS-PAGE y los geles resultantes fueron digitalizados mediante el programa

LABSCANER™, permitiendo así la realización de una proteómica comparativa. Una vez seleccionadas las bandas, fueron extraídas, digeridas y analizadas mediante LC/ESI-MS/MS y el algoritmo de búsqueda MASCOT. Los resultados fueron procesados con herramientas bioinformáticas. El resultado fue la identificación de 3 fosfoproteínas y 2 glicoproteínas. Las fosfoproteínas identificadas fueron la HSP90, la Nucleolina y la Ribonucleoproteína U (hnRNAU), las cuales se encuentran relacionadas al proceso de la transcripción. Interveniendo en la unión de diversas moléculas y en la estabilización de la sobreexpresión de oncogenes. Las tres proteínas se localizan cerca del núcleo.

Las glicoproteínas identificadas fueron la CD44E y la 80K-H. La CD44E está relacionada con el crecimiento tumoral y se localiza en la membrana, actúa mediante la unión a p53 y causa un incremento en las CD44s, las cuales se han relacionado con el desarrollo celular y la angiogénesis. La 80K-H es la subunidad β de la glucosidasa, se ha reportado que participa en la estabilización de los factores de crecimiento que se sobreexpresan como el FGF1.

Cada una de las proteínas identificadas tienen características que las hacen candidatas a ser biomarcadores. Por ello es necesaria una caracterización de vías metabólicas mediate técnicas genómicas y proteómicas como la inmunohistoquímica, la inmunocitoquímica, el western blot, la cromatografía, entre otras.

Capítulo 1. Introducción.

En las últimas décadas se han realizado numerosos esfuerzos para prevenir, detectar y curar diversas enfermedades degenerativas, ejemplo de ésto es el cáncer, el cual de acuerdo a la OMS se define como:

"Un proceso de crecimiento y diseminación incontrolados de células el cual puede aparecer prácticamente en cualquier lugar del cuerpo, y que genera un tumor que suele invadir el tejido circundante y puede provocar metástasis en puntos distantes del organismo" (OMS 2010).

El cáncer es responsable de 7.9 millones de defunciones anuales, lo cual lo posiciona como la segunda causa de mortandad después de las enfermedades cardiovasculares. Se prevé que para el 2030 esta cifra se incrementara en un 45%, representando casi 12 millones de defunciones. En el 2002 se convocó a la convención contra el Cáncer que fue celebrada en París, en ella se acordó una alianza entre investigadores, profesionales de la salud, pacientes, gobiernos, industria y medios de comunicación para luchar contra esta enfermedad, dando como resultado "La Carta de París", que entre otras cosas establece el 4 de febrero como el Día Mundial de lucha contra el Cáncer.

De acuerdo a la OMS, los cánceres de mayor incidencia para hombres son: el cáncer de pulmón y próstata, mientras que para las mujeres son el cáncer cervicouterino y el de mama, este último es considerado como la neoplasia más frecuente entre las mujeres europeas y americanas.

En México, durante los años 2004 a 2007 el Cáncer de mama fue la principal causa de ingreso hospitalario en las mujeres, desplazando al cáncer de cuello uterino en el 2006 como la primera causa de defunciones, mientras que para los varones, la leucemia es la primera causa de ingreso hospitalario y el cáncer de próstata, seguido por el de tráquea, bronquios y pulmón.

A pesar de los exhaustivos estudios realizados para el entendimiento de la epidemiología y la mejora en el diagnóstico de la enfermedad, una de las principales causas de decesos es la detección tardía, debido a diferentes factores como:

 Una ineficiente cultura de la autoexploración. Apesar de haber mejorado en los últimos años no es suficiente, debido a la pobre difusión en la población de diferentes estratos sociales. En la actualidad muchos de los proyectos de salud se han enfocado a la medicina preventiva, la cualcomienza a dar frutos. Sin embargo.

- no se debe olvidar que existen comunidades en todo el mundo que no poseen ni la mínima información para la generación de una cultura preventiva de salud.
- Falta de recursos del sector salud. Los países participantes en la Carta de Paris han destinado una gran cantidad de recursos para la prevención, diagnóstico y tratamiento del Cáncer de mama como resultado de la convención celebrada en París, desgraciadamente el número de pacientes diagnosticados con esta enfermedad va en aumento, lo cual hace insuficiente estos recursos.
- La falla en los métodos de diagnóstico, aunado al poco entendimiento de la epidemiología de los blancos terapéuticos y la etiología de los cánceres humanos.
 Está situación se ha tratado de abordar con el nacimiento de nuevas técnicas pertenecientes a la genómica, proteómica, entre otras. Las cuales tienen como objetivo fundamental la localización de blancos terapéuticos para el tratamiento y la búsqueda de biomarcadores para un diagnóstico temprano y confiable.

Un biomarcador es definido como: "Un producto del cuerpo (metabolitos) que tal vez respondan a una interacción negativa con el medio (carcinogénesis, mutagénesis, etc.)"⁴. En el artículo publicado por Bidart y colaboradores¹ en el siglo XX se habla de biomoléculas presentes en pacientes con cáncer como el Antígeno especifico de próstata, la α-fetoproteína y la CA 12.5 que son considerados como los primeros biomarcadores reportados, a estas moléculas se les sumaron varias más. Estás moléculas no fueron del todo confiables debido a las técnicas poco sensibles y especificas que se emplearon para su identificación y caracterización. En años recientes este problema se ha ido resolviendo gracias al desarrollo de las disciplinas como la genómica, la proteómica por citar algunas, las cuales han proporcionado diversas técnicas, permitiendo la identificación de marcadores moleculares confiables, es decir, biomoléculas que varían su expresión en el transcurso de la enfermedad, éstas pueden ser utilizadas para un diagnóstico eficaz y la identificación de diversos estadios de la enfermedad o para la generación de una terapia individualizada que amplíe la expectativa y calidad de vida del paciente.

A principios de los 90's se observa una relación existente entre pacientes diagnosticadas con Cáncer de mama y dos proteínas: BRCA1 y BRCA2, relación confirmada tiempo después por diversos estudios. Se creyó que estas proteínas se comportaban de forma

homóloga a enfermedades con herencia autosómica ^{1,2}, ya que se observó su presencia en familiares de primera línea, estos genes han sido ampliamente estudiados pero no del todo comprendidos. Hoy en día se sabe que BRCA1 se encuentra presente en más del 45% de los casos de Cáncer de mama hereditario y 80% en los casos de cáncer de ovario, mientras que BCRA2 ha sido detectada en formas poco comunes de cáncer heredado. Otro ejemplo de proteínas relacionadas con cáncer son las tirosin cinasas y factores de crecimiento, los cuales intervienen en los procesos de iniciación, progresión y metástasis mediante la señalización angiogénica y mitogénica dentro de la célula y son regulados por procesos de fosforilación y defosforilación. Los ejemplos más claros de la importancia de estas proteínas se han visto reflejados en la generación de tratamientos cuyo blanco terapéutico son proteínas pertenecientes a estas familias, por ejemplo: Bevacizumab© el cual inhibe al factor de crecimiento endotelial vascular (VEGF), y el Tratuzumab©, el cual se une a ErbB2⁵, un marcador específico que al igual que BCR-ABL⁵ participan en el crecimiento celular.

Otro tipo de moléculas relacionadas con Cáncer de mama son los O-glicanos que son estructuras complejas y diversas, las cuales participan en la conformación estructural de las proteínas evitando su agregación, se ha observado que durante el cáncer ocurren cambios en la etapa de elongación de los oligosacáridos, teniendo como consecuencia la formación de antígenos asociados al cáncer por ejemplo: Antigeno Tn, Antigeno Sialil-Tn y Antigeno T, los cuales interactúan con proteínas de membrana (Mucinas) provocando la perdida de polaridad y protegiendo a la célula tumoral del reconocimiento mediante la vía efectora del SI⁶.

En este trabajo nos proponemos identificar proteínas a través de técnicas proteómicas que en una célula de Cáncer de mama se modifiquen por fosforilación o glicosilación respecto a las de una célula sana, y así proponerlas como proteínas que puedan ser posibles biomarcadores o marcadores moleculares de esta enfermedad. Para ésto se utilizará un sistema modelo de células en cultivo de Cáncer de mama, el cual incluye 4 líneas celulares: Hs578t, MCF7, MDA-MB231 y como control la línea celular de tejido normal de mama Hs578BsT.

De estas líneas se extraerán fracciones celulares eluidas en columnas de afinidad a fosfoproteínas y glicoproteínas (Qiagen™) que se separarán mediante geles SDS-PAGE para su posterior análisis por técnicas de espectrometría de masas. Estas herramientas que aseguraran la presencia de estas modificaciones y su búsqueda en la base de datos

para conocer la relación existente entre proteína-Cáncer de mama.

Mediante este estudio se pretende obtener información de las proteínas que son modificadas en el Cáncer de mama, las cuales pueden servir para un diagnóstico temprano de pronóstico o bien como blanco terapéutico, colaborando así con la lucha en contra del Cáncer de mama.

Capítulo 2. Antecedentes

2.1 Cáncer.

El cáncer es uno de los cuatro problemas de salud mundial más graves de acuerdo a la OMS, superado por las enfermedades cardiovasculares, diabetes y enfermedades crónicas respiratorias. Representa el 13% de los decesos ocurridos en el 2007 y se prevé que en años posteriores esta cifra se incremente. De acuerdo a la OMS, definimos al cáncer como: "Un proceso de crecimiento y diseminación descontrolado de células, el cual puede aparecer prácticamente en cualquier lugar del cuerpo, que genera un tumor que suele invadir el tejido circundante y puede provocar metástasis en puntos distantes del organismo" o bien "Una enfermedad genética, producto de la proliferación anómala de un clon celular". Décadas atrás, este tipo de enfermedades era considerada como incurable y en ocasiones como un sinónimo de muerte, hoy en día este concepto ha cambiado gracias a los avances en el diagnóstico y tratamiento que han permitido ampliar notablemente la expectativa de vida, hasta un punto en el cual los pacientes pueden ser considerados como curados, es decir en un estado en el cual ha desaparecido el tumor, pero que necesita un tratamiento que garantice que no existirá una reincidencia.

El cáncer tiene como principal característica la generación de neoplasias las cuales se pueden presentar en diversas partes del cuerpo de cualquier individuo sin importar género, edad, origen étnico y estatus social, siendo las más comunes por género las presentadas en la Tabla 1. El cáncer es considerado como una enfermedad multifactorial en la cual intervienen factores externos (ambientales) e internos (genéticos) que una vez presentes desencadenan una serie de procesos los cuales culminan en el desarrollo de neoplasias (tumores). Dichos tumores pueden estar primero localizados y de no ser tratados adecuadamente ocurren una serie de procesos como la angiogénesis y metástasis, de las cuales hablaremos más adelante, que permiten la diseminación de éstos en varias partes del organismo trayendo consigo complicaciones que pueden terminar en un deceso.

Tabla 1. Tipos de cáncer más comunes clasificadas por sexo. En la tabla se observan en orden descendente de acuerdo al número de defunciones reportadas en 2007 por la OMS (World Health Organization, www.who.int).

SEXO.	TIPOS DE CÂNCER
FEMENINO.	Mama.
	Pulmón
	Estómago.
	Colón-recto.
	Cuello uterino.
MASCULINO.	Pulmón.
	Estómago.
	Hígado.
	Colón-recto.
	Esófago.
	Próstata.

2.1.1Factores de riesgo.

Un factor de riesgo es toda aquella circunstancia, cambio o agente (químico o físico) que ocasione un desequilibrio en el organismo el cual desencadena la formación de algún tipo de malestar o enfermedad que se ve reflejado en la expresión proteica del organismo. Estos se pueden dividir en dos grande grupos:

- Factores Internos.
- Factores Externos.

2.1.2 Factores Internos (genéticos).

Cuando el cáncer fue descubierto como un desorden crónico se consideró como una enfermedad de tipo mendeliano debido a que muchas familias poseían el mismo desorden en varias generaciones consecuentes, hoy en día, gracias a los adelantos en el área de la genética se sabe que el cáncer se ocasiona por alteraciones génicas las cuales juegan un papel importante en el desarrollo de la enfermedad pero no decisivo, sin embargo el hecho de presentar estas características (mutaciones) no hacen obligatorio el desarrollo de la enfermedad, debido a que se necesitan una serie de procesos para desencadenarla. Estos procesos se llevan a cabo en el medio que rodea al organismo (Factores externos). El origen del cáncer o carcinogénesis comienza con un clon celular que es sometido a un proceso de varias fases en las cuales se dan una serie de alteraciones en el ADN, que repercuten en el desarrollo de las células y dan inicio a los procesos de promoción y progresión, proceso que termina en la transformación de células normales a células neoplásicas. Estas modificaciones se dan gracias a la interacción de factores genéticos y agentes externos (Factores ambientales). Estos factores pueden ser:

físicos, químicos y/o biológicos y generalmente inciden en genes supresores y oncogenes del genoma humano (Tabla 2), los cuales son encargados de regular el desarrollo celular. Este tipo de alteraciones se lleva a cabo en el ADN, y se pueden perder bases, adquirirlas, silenciarlas o cambiarlas, los daños más comunes en el ADN son: inserción, deleción, silenciamiento, mutaciones con sentido, mutaciones sin sentido, impronta génica, entre otros. Todos estos cambios son reflejados en el proteoma de la célula, lo cual trae como consecuencia la transformación de células diferenciadas a células no diferenciadas causando la pérdida de la funcionalidad del tejido⁴.

Tabla 2. Genes mutados relacionados a cáncer. La tabla nos señala algunos genes mutados, sus consecuencias y el cáncer con el cual se asocian (Ruin, 2004).

Alteración Hereditaria	Gen(es) afectados.	Consecuencias.	Cáncer asociado.
Traslocación cromosómica.	BCL y ABL	Pérdida de función mediante una fusión de ambos genes.	Leucemia mieloide crónica.
Deleción Homocigótica.	NFI	Desregularización de p21RAS	Neurofibrosarcoma. Feocrocitoma.
Mutaciones Sin sentido. Amplificación génica.	APC EGFR.	Anula el gen supresor tumoral. Sobreexpresión el receptor de la tirosincinasa.	Carcinoma colorrectal. Glioma.
SNP's e hipermutabilidad.	TP53. Hmsh2 y HmLh1	Inestabilidad génetica, Funcionalidad dañada del guardían del genoma	Carcinoma colorrectal. Cáncer de Pulmón. Sindrome de Muir-Torre.
Microsatélites.	HRAS	Pérdidas cromosómicas(genes)	Carcinoma colorrectal.
Impronta génica	IGF2 Y H19	Efectos sobre dotación génica.	Síndrome de Beckwith- Wiedemann y tumor de Wilms.
Metilaciones.	Múltiples.	Alteración en la expresión de la cromatina.	Carcinoma colorrectal.

2.1.3 Factores Externos (Ambientales).

Los principales factores externos que incrementan el riesgo para el desarrollo de cáncer de acuerdo al nivel económico de los países, reportados por la OMS son: el consumo de tabaco, de alcohol, la ingesta insuficiente de frutas y hortalizas, las infecciones por virus de la hepatitis B, de la hepatitis C y por virus del papiloma humano para países de bajos y de medianos ingresos, mientras que en los países desarrollados el consumo de tabaco y alcohol, el exceso de peso y la obesidad ocupan este rubro, sin olvidar la exposición de agentes químicos, los cuales pueden ocasionar daños a nivel genético potencializando

con ésto el desarrollo de cáncer, incrementando el riesgo a un mayor tiempo de exposición o bien cuando las sustancias tiene un mayor potencial mutagénico.

La edad es un factor importante que incrementa la probabilidad de desarrollar cáncer, debido a la pérdida de eficacia de los procesos de reparación celular sumada a la acumulación de factores como el tiempo de exposición hacia cancerígenos, en la Figura 1 se presenta la relación existente entre la edad y la incidencia, teniendo una relación proporcional con el incremento de la edad, es decir a mayor edad mayor es el riesgo de padecer cáncer.

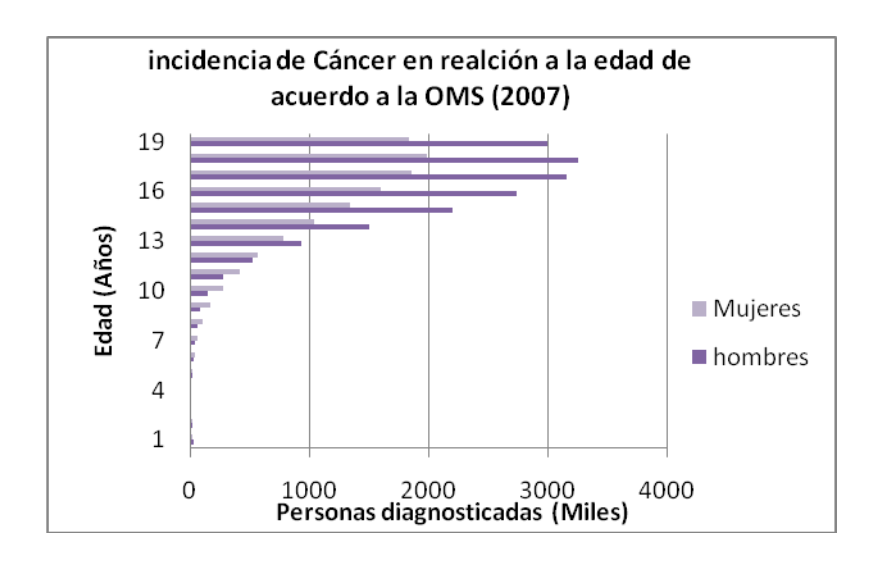


Figura 1. Desarrollo de difererentes tipos cáncer respecto a la edad. En la figura se observa la relación positiva de edad y desarrollo de cáncer en hombres y mujeres. (National Cancer Institute, www.nci.com).

2.2 Desarrollo de cáncer a nivel celular.

La carcinogénesis es un proceso multifactorial, durante el cual se da la transformación de células normales para la creación de una población clogénica de células neoplásicas transformadas, que tienen como características proceder de una célula y "heredar" las anormalidades de la progenitora. Estas anormalidades se dan generalmente en la expresión de genes que están encargados de regular el crecimiento celular, genes represores y de diferenciación¹¹. La mayoría de estos cambios se dan en células somáticas y sólo un pequeño porcentaje corresponde a una mutación en las líneas germinales de los individuos. Ejemplo de genes mutados son: p53, RB1, BRC1, BCR2 ó INK4A entre otros, los cuales al encontrarse dañados permiten la proliferación

descontrolada de la célula a pesar de que ésta posea una gran cantidad de errores en su ADN replicado.

El proceso de carcinogénesis es similar en los diversos tipos de cáncer y se divide en tres etapas: iniciación, promoción y progresión (Figura 2), las cuales terminan en la generación de neoplasias (tumores) que son grandes masas de células no diferenciadas con alteraciones características de cada uno de los tejidos afectados. La iniciación es la etapa en la cual un daño en el ADN se hace permanente por un fallo en genes que se encargan de repararlos o por que la velocidad de duplicación no permite corregirlos. La promoción es el proceso en el cual influyen factores epigenéticos que coadyuvan en el desarrollo de células dañadas. La progresión implica la producción de cambios hereditarios más profundos los cuales aparecen a medida que la población celular se incremente¹⁸.

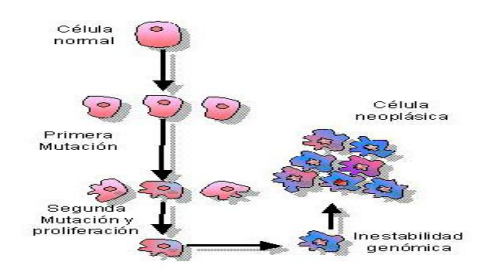


Figura 2. Etapas celulares de la carcinogénesis: iniciación, promoción y progresión. Estas etapas terminan len la generación de neoplasias (Ruin, 2004).

La iniciación requiere de factores externos y/o internos capaces de desencadenar una cascada de reacciones en las cuales se pueden involucrar tres clases de genes y sus productos proteicos; las primeras relacionadas con el crecimiento celular, por ejemplo: p53 que está encargada de garantizar que no exista daño alguno en la duplicación de ADN y así permitir el paso de la fase G1 a S en la mitosis de no ser así la célula dañada es llevada a mecanismos de apoptos. Otra clase de genes que intervienen son los oncogenes, que son protooncogenes en las células normales, los cuales han perdido heterocigosidad mediante una serie de rearreglos del genoma (Figura 3).

La progresión tumoral se genera por cambios genéticos adquiridos por células cancerosas individuales dando como resultado la aceleración de su crecimiento y la

selección secuencial de subpoblaciones celulares más agresivas a medida que se desarrolla el tumor, incrementando con esto la inestabilidad genética que se puede presentar en genes supresores de tumores, encargados de procesos apoptóticos y bloqueantes del ciclo celular, y en los oncogenes que son protooncogenes alterados, los cuales participan en la inhibición de apoptosis y favoreciendo procesos proliferativos.

2.2.1 Genes supresores de tumores.

Se encargan de la proliferación celular, son reguladores negativos del crecimiento celular por lo que cuando no están presentes en la célula o se encuentran inactivos éstas dejan de crecer normalmente y adquieren propiedades proliferativas anormales La inactivación de estos genes se da por un evento denominado pérdida de heterocigocidad (LOH), la cual se ocasiona por mutaciones o por deleciones de ambos alelos. El ejemplo más representativo es el gen del retinoblastoma RB1, el cual se ha asociado con el retinoblastoma o bien el TP53 que se encuentra relacionado con diversos tipos de cánceres. Los genes supresores asociados al Cáncer de mama se presentan en la Tabla 3.

Tabla 3. Genes supresores asociados con Cáncer de mama. En la tabla se enlista los genes supresores asociados a Cáncer de mama y al función en la que participan (Ruin, 2002).

Genes supresores tumorales asociados con Cáncer de mama.		
Gen.	Función.	
RB	Codifica para la proteína pRB, uno de los principales controles del ciclo celular.	
P53	Codifica para la proteína p53, la cual puede detener la división celular e inducir a las células anormales a procesos apoptóticos.	
BCRA1	Codifica para la proteína BCRA1, la cual regula el ciclo celular evitando la proliferación incontrolada, ya que se encarga de la reparación del ADN.	
BCRA2	Codifica para la proteína BCRA2, la cual está involucrada en la reparación del daño cromosomal.	

2.2.2 Oncogenes.

Son protooncogenes alterados que dirigen la producción de proteínas, como: ciclinas, factores de crecimiento, receptores, entre otros. Todos ellos involucrados en el crecimiento celular que mediante la estimulación de la proliferación celular son capaces de generar una multiplicación descontrolada de las células, de modo que algunos de ellos fuerzan a las células a que sinteticen de forma masiva determinados factores de crecimiento. El más representativo en el Cáncer de mama es ERbB2 que es un receptor de hergulina asociado al Factor del Crecimiento Epidermico (EGF). La activación de estos oncogenes se puede dar por mutaciones cromosómicas o génicas (Figura 3). A nivel génico, el gen puede sufrir mutaciones que afecten los exones de modo que se altere la estructura de sus productos y con ello su actividad fisiológica o bien la mutación puede ocurrir sobre "enhancers" cercanos a la región del promotor, las cuales son regiones potenciadoras de transcripción, lo que ocasiona que el producto normal se expresa en cantidades anormalmente altas. A nivel cromosómico puede ocurrir un rearreglo del cromosoma acercando una secuencia de ADN (exón) normalmente lejana al oncogen afectando así su tasa de expresión, la lectura del gen o produciendo supresiones o recombinaciones anormales derivadas de esta traslocación 12.

Tabla 4. Oncogenes relacionados con cáncer. La tabla nos presenta algunos oncogenes, su función y con el tipo de cáncer se relacionan (Ruin, 2002).

Oncogén	Función	Cáncer humano asociado	
SIS	Factor de crecimiento derivado de plaquetas		
ERBB1	Receptor del factor de crecimiento epidérmico		
FMS	Receptor del CSF-1		
KIT	Receptor del factor de crecimiento de células madre		
MET	Receptor del factor de crecimiento hepático	Cáncer renal papilar	
HER2/NEU/ERBB2	Receptor de heregulina	Cáncer de mama, de ovario, de vejiga, glioblastoma	
RET	Receptor del factor neurotrófico	Cáncer medular de tiroides	
TRKA	Receptor del factor de crecimiento neuronal		
ERBA .	Receptor (nuclear) de hormona tiroidea		
RAS (H, K, N)	GTPasa	Cáncer de pulmón, de páncreas, de vejiga,	
BCR-ABL	Tirosincinasa citoplásmica	colorrectal	
RAF	Tirosincinasa citoplásmica	Leucemia mieloide crónica	
SRC	Tirosincinasa citoplásmica		
FOS	Factor de transcripción		
JUN	Factor de transcripción		
MYC (c, L, N)	Factor de transcripción	Linfoma de Burkitt, neuroblastoma, cáncer de pulmón	
BCL6	Factor de transcripción	Linfoma de células grandes	
BCL2	Anti-apoptosis	Cáncer de próstata, linfoma	

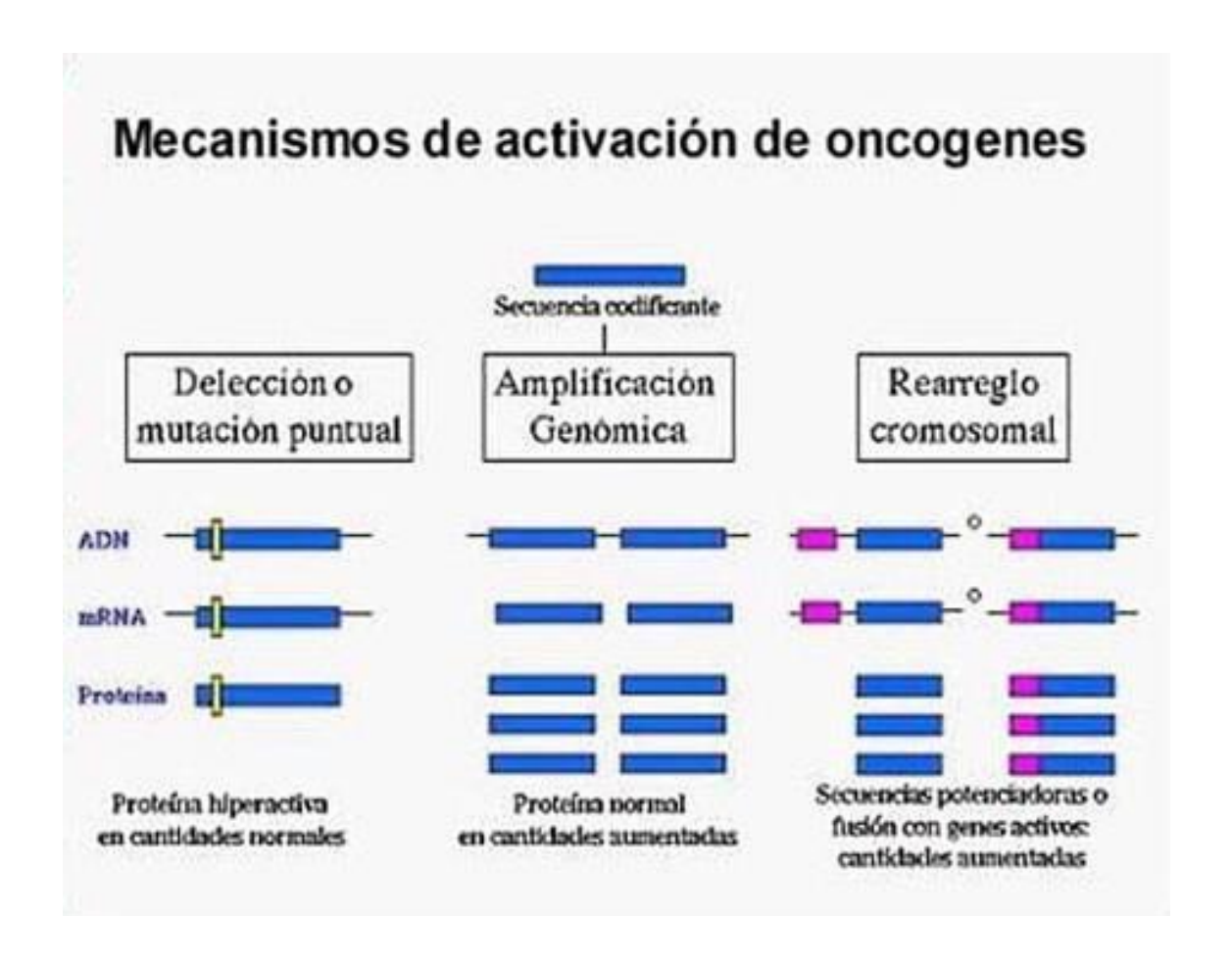


Figura 3. Mecanismos de activación de protooncogenes. La figura ejemplifica los tres tipos de modificaciones que pueden presentar los protooncogenes para activarse (Nelson y Cox, 2000).

Una vez presentes las mutaciones en los genes, el crecimiento de células cancerosas es descontrolado, el resultado es el incremento del número de mutaciones en el grupo celular, lo que hace posible la progresión o crecimiento tumoral, el cual de acuerdo al tejido que pertenece, posee características distintivas que son empleadas para su identificación y clasificación⁴, esta estatificación se revisará en los capítulos posteriores.

2.2.3 Propagación del Cáncer (Angiogénesis y Metástasis).

Durante el cáncer se incrementa notablemente la tasa de crecimiento celular por los factores ya descritos, la magnitud del incremento depende de tres caracteristicas principalmente: la duración media del ciclo celular para las células en proliferación, la porción de células en crecimiento y la tasa de muerte celular. El crecimiento celular descontrolado requiere de una gran cantidad de nutrientes, motivo por el cual es necesario un proceso denominado "Angiogénesis", mismo que engloba la formación de

nuevos vasos sanguíneos que son capaces de abastecer de los nutrientes necesarios a las células tumorales. Este proceso es estimulado por varios factores de crecimiento, el principal de estos factores es el Factor de Crecimiento Endotelial Vascular o VEGF por sus iniciales en inglés (para el cual ya existe una terapia capaz de inhibirlo) que es estimulado por la hipoxia en el tumor y la producción de algunos oncogenes mutados (RAS y Src). Una vez que se generan los vasos sanguíneos necesarios para la obtención de nutrientes, el tumor es capaz de diseminarse, es decir de invadir tejidos circundantes, esta característica es indicativa de estadios más graves de cáncer y se le conoce como "Metástasis", que es considerada como una de las últimas fases de la progresión. Esta fase se compone de varias etapas: intravasación (salida del tumor primario), supervivencia de las células a la circulación, llegada a órganos periféricos, extravasación (salida de la circulación), migración hacia el espacio intersticial e inicio del crecimiento. Estas fases culminan con la angiogénesis de los vasos cercanos a la nueva localización del tumor agravando con ésto el cáncer. La metástasis se ve influenciada por proteínas de fijación como las integrinas, cadherinas y las enzimas proteolíticas (activadores de plasminogénos, catepsinas). La expresión de éstas indica estadios graves en pacientes con cáncer, es por ésto que la detección temprana es primordial para aumentar la expectativa de sobrevida a la enfermedad de los pacientes.

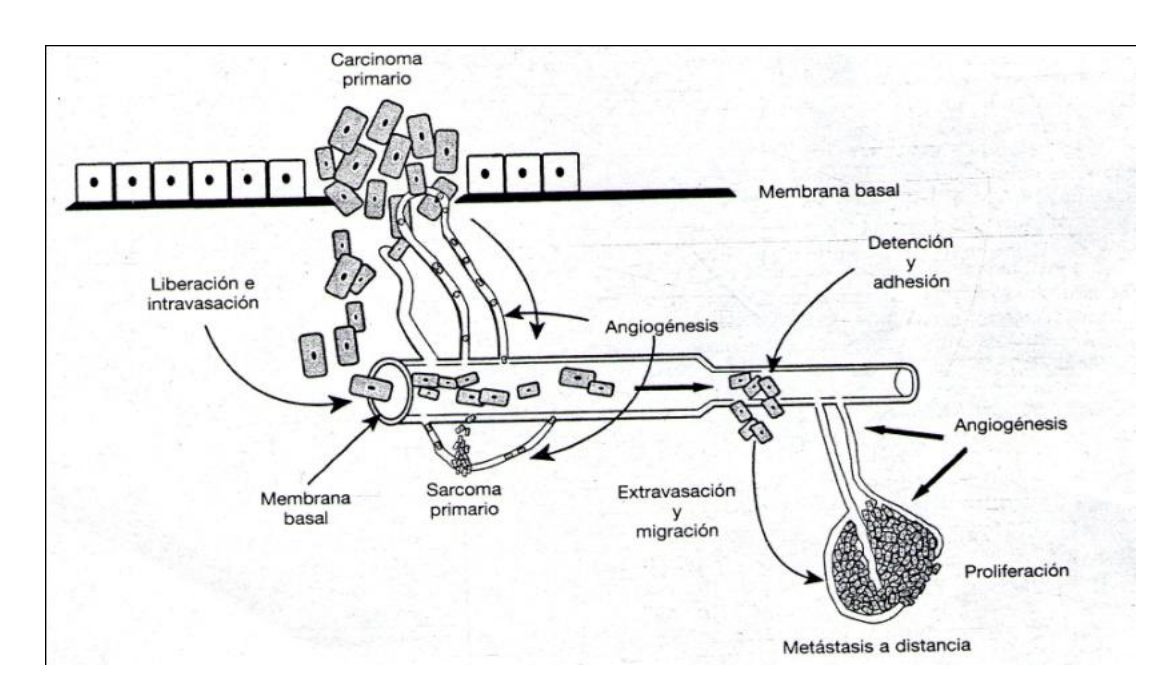


Figura 4. Proceso de diseminación del Cáncer. La figura nos presenta los procesos fundamentales para llevar acabo la diseminación de cáncer: metástasis y angiogénesis (Ruin, 2002).

2.3 Clasificación del cáncer por la AJCC y UICC.

Una vez que se desarrolla el cáncer es necesario tener un criterio de clasificación que permita conocer la fase de desarrollo en que se encuentra, el daño que pueda causar y qué tipo de terapias son las adecuadas para su tratamiento. Esta clasificación empleada por médicos y profesionistas de la salud se basa en aspectos anatómicos e histológicos y es realizada por dos instituciones, la AJCC (American Joint Committee for Cancer) y la UICC (International Union Against Cancer) por sus siglas en inglés. De acuerdo a esto, los tumores pueden clasificarse de tres maneras distintas:

- Clasificación Histopatológica. Se basa en las características que presenta el tumor en sus distintas etapas, estas características son:
 - Histológicas. Localización del tumor (ovárico, testicular, mamario, etc.)
 - Grado de malignidad. Toma en cuenta el nivel de diferenciación del tejido y va de G1 hasta G4, siendo G1 bien diferenciado, G2 moderadamente diferenciados y G3 a G4 poco ha muy poco diferenciado, este último es el lugar en el que se encuentran generalmente los tumores.
 - Citogenética. Se basa en diferentes técnicas de la biología molecular y en la utilización de biomarcadores para definir el estadio en el cual se encuentra el desarrollo tumoral.
- Clasificación Anatómica por estadios. Este sistema es propuesto por Deniox y se basa en el sistema TNM (tumor, ganglios, metástasis) y busca la calificación del tumor por tamaño, diseminación hacia ganglios linfáticos y presencia de metástasis (Tabla 5).

Tabla 5. Clasificación TNM (tumor, ganglios y metástasis). Sistema aprobado por la la AJCC y la UICC para la clasificación de ls diferentes tipos de cánceres (National Cancer Institute, www.cancer.gov)

Característica	Clasificación	Características generales.	
valuada.			
	С	Sin evaluación.	
	T0	No evidencia de tumor, no existe presencia de lesión, macro ni microscópica.	
Tumor	Tis	Carcinoma in situ.	
primario(T)	T1	Lesiones superficiales, confinadas en el órgano afectado, móvil y Resecable.	
	T2	Lesión localizada, infiltrante, comienza extensión profunda hacia tejido colindantes, perdida de movilidad, no existe fijación.	
	Т3	Lesión avanzada, existe una mayor diseminación, comienza fijación entre tumor y tejido afectado, son resecables parcialmente para reducir su tamaño en algunos casos como el Cáncer de mama solo el tamaño son suficientes para clasificarse en este estadio.	
T4		Producción de fistulas (vícera) o sinus (órgano sólido), adherencia hacia otros órganos, difícil de aborar desde cualquier tratamiento terapéutico.	
Región	NX	Sin evaluación.	
ganglionar (N).	N). No existe evidencia de cáncer en ganglios		
	N1	Ganglios palpables, móviles hasta la primera estación de drenaje linfático. Tamaño \square 1 cm y \square 3 cm, solitario y encapsulados.	
	N2	Mayores a 3 cm, múltiples, afectación a ganglios regionales, extensión extra capsular no adheridos.	
	N3	Adheridos a estructuras vecinas, □ 6cm.	
Metástasis	MX	No valorado	
distante.	MO	No existe presencia de metástasis.	
	MI	Presencia de metástasis.	

Clasificación por etapas o estadio. Si bien es necesaria la clasificación de la enfermedad tomando en cuenta los componentes ya descritos existen más de 40 combinaciones posibles, lo que dificulta definir el estado del paciente. Es por ésto que surge la clasificación por etapas, la cual toma la clasificación TMN como base, dando como resultado 5 grupos.

Tabla 6. Clasificación anatómica por estadios. En la tabla se exponen los 5 niveles de la calsificación anatómica y alguna de sus características (National Cancer Intstute, www.cancer.gov).

Clasificación por etapas.		
Etapa o estadio	Definición	
Etapa 0	Carcinoma in situ (cáncer inicial que está presente sólo en la capa de células en donde empezó).	
Etapa I, Etapa II y	Los números más altos indican enfermedad más extensa: tamaño mayor del tumor y/o diseminación del cáncer	
Etapa III	a ganglios linfáticos vecinos y/o a órganos adyacentes al tumor primario.	
Etapa IV	El cáncer se ha diseminado a otro órgano.	

2.3.1 Otros tipos de clasificación.

Una gran cantidad de cánceres se apegan a la clasificación TNM pero existen otros que se clasifican de formas diferentes, ejemplo de éstos son el cáncer de cerebro y médula espinal, linfomas, leucemias, esta última no posee clasificación para su estatificación. Es por ésto que varios registros de cáncer utilizan una clasificación concisa las cual se distribuye en 5 grandes categorías principalmente:

- Desconocido, no se conocen datos suficientes para clasificarlos.
- In situ, está presente solo en el lugar donde se localizan las células progenitoras.
- Localizado, cáncer delimitado sólo al órgano de origen y no presenta evidencia de diseminación.
- Regional, cáncer diseminado a ganglios linfáticos y/o tejidos u órganos circundantes.
- Distante, cáncer diseminado a órganos distantes o a ganglios linfáticos distantes.

2.3.2 Métodos para la clasificación.

Para la clasificación de estos tumores y con ello la determinación de la gravedad de la enfermedad y la indicación del tratamiento adecuado, se utilizan diversos métodos de diagnóstico que nos proporcionen resultados confiables, éstos se dividen en dos grandes grupos:

- Estudios Clínicos-diagnóstico. Son métodos no invasivos, los cuales son recomendados en regiones de fácil acceso. Consisten principalmente en:
 - Exámenes físicos.
 - Métodos Radiográficos.
 - Pruebas de laboratorio.

• Estudios quirúrgico-patológicos. Son métodos invasivos, debido a que el lugar de localización del cáncer es de difícil acceso para la obtención de las muestras.

Una vez definido el estadio de la enfermedad el médico debe asignar el tratamiento adecuado con la finalidad de tener la menor afectación de la funcionalidad de los órganos o tejidos dañados y garantizar con ésto una mejor calidad de vida. Si bien lo correcto es una terapia individualizada, la cual en los últimos años gracias a las herramientas de biología molecular no se ve tan lejana, la realidad es que no se practican, las terapias que se ocupan actualmente son menos agresivas hacia los pacientes y mucho más eficientes.

2.4 Terapias.

Hoy en día las terapias que se ofrecen para el tratamiento de cáncer son una combinación de varios tratamientos para elevar su eficiencia y garantizar la erradicación de la enfermedad. Estos tratamientos pueden ser:

- Radioterapias.
- Cirugías.
- Tratamiento biológico.
 - ✓ Inmunoterapia.
 - ✓ Viroterapia oncolitíca.
 - ✓ Transferencia de genes.
- Quimioterapias.

La combinación de un diagnóstico oportuno y temprano mediante diversas técnicas como la autoexploración, identificación de biomarcadores (citogenéticas), extracción de biopsias, por citar algunas y una terapia adecuada al estadio en el cual se encuentre el paciente han mejorado el porcentaje de supervivencia y calidad de vida en las últimas décadas.

2.5 Cáncer de mama.

El Cáncer de mama es la neoplasia sólida más frecuente entre las mujeres europeas y latinoamericanas (Tabla 7) y se define como: "Un grupo de tumores malignos epiteliales los cuales se desarrollan en las glándulas mamarias y la consecuente metástasis de la región de los nódulos linfáticos y órganos periféricos y finalizando con la muerte del paciente"⁴.

El riesgo de padecer esta enfermedad es del 12% en mujeres, lo que significa que 1 de cada 8 mujeres es propensa a desarrollar Cáncer de mama y solo un 3.6% de esta población diagnosticada termina en defunciones es decir 1 de cada 28 pacientes. Se estimó que para este año existieran un total de 192, 370 mujeres diagnosticadas (dato estadístico no actualizado) con este tipo de cáncer, de las cuales 40,170 podrían terminar en defunciones, debido a un diagnóstico tardío o a un terapia ineficaz (National Cancer Institute). Si bien la cifras no corresponden a México éstas son un claro ejemplo del crecimiento de la población diagnosticada con esta enfermedad, es por estas cifras tan alarmantes que es necesario mejorar las técnicas de diagnóstico y aumentar la cultura de la autoexploración.

Tabla 7.- Incidencia del Cáncer de mama de acuerdo al origen étnico. En la tabla podemos apreciar que las mujeres caucásicas tienen el mayor porcentaje de incidencia y las Indias americanas el menor (National Cancer Institute, www.cancer.gov).

Incidencia por origen étnico.	
Raza/Origen étnico	Mujeres
Todas las Razas	123.8 por 100,000 mujeres.
Blancos.	127.8 por 100,000 mujeres.
Negros	117.7 por 100,000 mujeres.
Asia/Islas del pacífico.	89.5 por 100,000 mujeres.
Indios Americanos/ Nativos de Alaska	74.4 por 100,000 mujeres.
Hispanos.	88.3 por 100,000 mujeres.

La población más vulnerable a padecer esta enfermedad son las personas de más de 40 años, las cuales representan más del 85% de los casos totales diagnosticados entre el 2002-2006. El hecho de encontrar un porcentaje tan elevado en una pequeña población se asocia a la ineficacia que se va adquiriendo en mecanismos de reparación celular asi como el tiempo de contacto con factores ambientales como carcinógenos físicos, químicos y biológicos (Tabla 8).

Tabla 8. Relación del desarrollo del Cáncer de mama respecto a la edad. En la tabla se observa un incremento significativo en el porcentaje de acuerdo al incremento de la edad (National Cancer Institute, www.cancer.gov).

Incidencia de Cáncer de mama 2002-2006.		
Edad.	Porcentaje de Incidencia	
20 años.	0.0%	
20-34 años.	1.9%	
35-44 años.	10.5%	
45-54 años.	22.5%	
55-64 años.	23.7%	
65-74 años.	19.6%	
75-84 años.	16.2%	
□ 85 años.	5.5%	

2.5.1 Factores que influyen en el desarrollo del Cáncer de mama.

Además de la edad existen varios factores ambientales importantes que hacen que el riesgo de padecer Cáncer de mama se incremente. Este tipo de factores se dividen en dos grandes grupos:

- Clínicos.
- Género. Mayor incidencia en mujeres que hombres (casos raros).
- Edad.
- Antecedentes familiares de primer grado. Si el familiar de primera línea padeció cáncer en una edad temprana, el riesgo de padecer esta enfermedad se incrementa conforme avanza su edad.
- Antecedentes personales. Presencia de lesiones benignas o malignas.
- Presencia de Carcinoma lobular in situ (CLIS) ó hiperplasia atípica. Pacientes previamente diagnosticados con este tipo de daños son más propensas a desarrollar cáncer.
- Otros factores.
- Menopausia tardía.
- Edad creciente del primer parto.
- Uso de Anticonceptivos.
- Tratamiento sustitutivo hormonal (estrógenos).

Es por ésto que el Cáncer de mama es una enfermedad multifactorial, ya que no sólo se requiere de antecedentes genéticos, sino de la combinación de los factores ambientales. El riesgo se incrementa cuando una paciente cuenta con dos o más familiares afectadas, lo que fue observado por el Dr. M. C. King en la década de los 90´s, dando como resultado la propuesta de los primeros dos marcadores moleculares de Cáncer de mama: BCRA1 y BCRA2, ambos se identificaron en una población de pacientes jóvenes y hoy en día son utilizados para realizar pruebas que permitan conocer el riesgo de las pacientes cuando poseen familiares de primera línea diagnosticadas con esta enfermedad. Ambas proteínas son la razón por la cual se ha hecho un gran énfasis para localizar marcadores moleculares a los cuales se les denominan "biomarcadores" que pueden ser utilizados para el diagnóstico de pacientes asintomáticas, dando la posibilidad de detectarló en estadios tempranos y lo cual, en combinación con una terapia adecuada, disminuirá las cifras de mujeres hospitalizadas y de las defunciones por este tipo de neoplasias.

2.5.2 Anatomía y fisiología de la mama.

Las glándulas mamarias son una característica distintiva de los mamíferos, las cuales han evolucionado con la finalidad amamantar a sus crías y con esto proporcionar los nutrientes necesarios hasta que sean capaces de alimentarse por sí mismos, además de aumentar un lazo afectivo entre cría y madre. Es por esto que en llos mamíferos machs son rudimentarias. Las mamas alcanzan una madurez gracias a hormonas ováricas, la progesterona y estrógenos principalmente, las cuales se asocian al desarrollo de Cáncer de mama con la expresión de receptores a estrógenos (RE) y receptores a progesterona la (RP), o bien con protección contra cáncer Le una mujer adulta las mamas se localizan hacia abajo de la segunda o tercer costilla hasta la sexta o séptima (pliegue inframamario) y hacia afuera, desde el borde lateral del esternón hasta la línea axilar anterior o medioaxilar y consiste en 15 a 20 lóbulos de tejido glandular de tipo tubuloalveolar, los cuales están sostenidos por tejido conectivo fibroso, el tejido adiposo se encarga de rellenar los espacios entre cada lóbulo, todo esto se encuentra rodeado por tejido conectivo subcutáneo, la bolsa retromamaria es la encargada de proporcionarle movilidad³.

La mama se conforma de tres estructuras importantes en las cuales se desarrollan diversos tipos de neoplasias, estas son: pezón, aréola y glándulas mamarias. La primera revestida por un epitelio escamoso, queratinizado y estratificado, posee papilas dérmicas largas que permiten que los capilares aporten sangre cerca de la superficie, característica que proporciona la coloración, además de poseer fibras musculares lisas que permiten su erección, el pezón es inervado por la distribución dermatómica del nervio torácico T4. La aréola posee glándulas sebáceas, sudoríparas y areolares accesorias, estas últimas producen pequeñas elevaciones sobre la aréola, y las otras dos se localizan a lo largo del reborde areolar. La tercera estructura de la mama son las glándulas mamarias que se compone de 15 a 20 lóbulos irregulares de glándulas tuboalveolares, separadas por tejido conectivo que a su vez se dividen en lobulillos. Cada una de las glándulas termina en un conducto llamado conducto galactóforo. La inervación de las mamas está dada por estímulos de ramas anteriores y laterales de los nervios intercostales, cuatro a seis, provenientes de los nervios espinales. Todas éstas son inervadas por el sistema periférico autónomo simpático y son parte del componente sensorial.

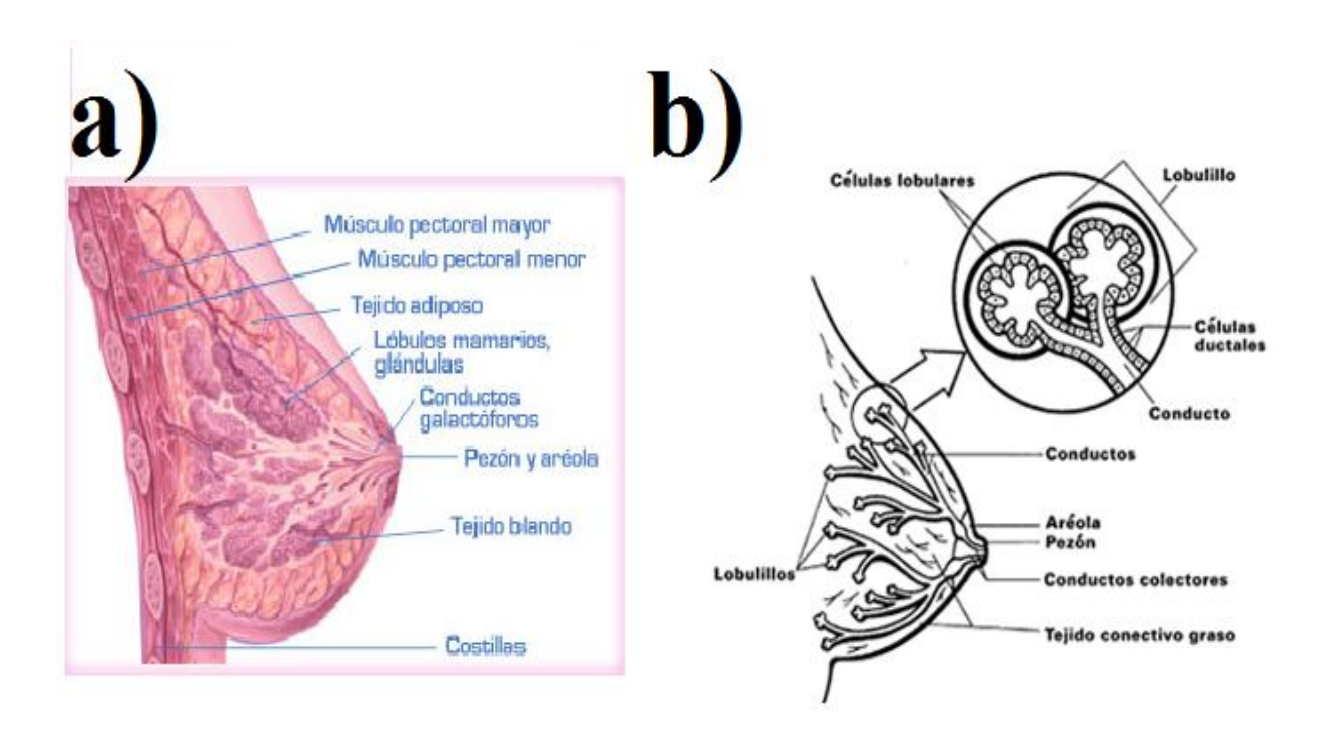


Figura 5. a) Estructuras principales de la mama: pezón, aréola y glándulas mamarias. b) Partes de la glándula mamaria, lóbulos, lobulillos y conductos (Ruin, 2002).

2.5.3 Tipos de Cáncer de mama.

Existen diversos tipos histológicos de carcinomas en la mama, un gran porcentaje de éstos se origina en las células epiteliales, las cuales revisten los ductos y lobulillos mamarios, mientras que los casos más extraños se originan en las células estromales las cuales rodean las glándulas epiteliales. Los tipos más frecuentes de cáncer en orden porcentual son:

- El carcinoma ductal in situ (DCIS), es el tipo más común de Cáncer de mama no invasivo por lo cual es considerado como una lesión benigna, se origina en las células de las paredes de los conductos mamarios, es localizado, es decir, solo sé desarrolla en los conductos mamarios y predispone a la paciente a padecer lesiones de mayor gravedad de no ser tratado adecuadamente. Se ha observado que el 30% de las pacientes que sufrieron de esta neoplasia son propensas a desarrollarla nuevamente cuando sólo fueron tratadas con quimioterapias, este porcentaje disminuye si se realiza resección del tejido hasta en un 50%, si no presenta metástasis y por consecuencia no se ha extendido. Es curable en el 100% de los casos, el método de detección para el DCIS es la mamografía.
- El carcinoma ductal infiltrante (IDC). Esta neoplasia comienza en los ductos mamarios, es capaz atravesar la pared de éstos y así diseminarse a los tejidos cercanos mediante la metástasis. El IDC representa cerca del 80% de los casos diagnosticados con cáncer invasivo y es diagnosticado mediante la utilización de exámenes físicos como la autoexploración y pruebas de laboratorio, pruebas de imágenes como: mamografía, ultrasonidos, IMR, y biopsias. La característica principal de este tipo de cáncer es la disminución de Receptores de estrógenos (RE), Receptores de progesterona (RP) y CD44s¹² con respecto al DCIS, características empleadas para definir el estadio de la enfermedad, la terapia utilizada en este tipo de neoplasias son la radiación, quimioterapias, terapias hormonales y tratamientos dirigidos.
- El carcinoma lobular in situ (LCIS). Es un área que posee células con un crecimiento anormal, el cual incrementa el riesgo de padecer cáncer de tipo invasivo. Este tipo de neoplasias al igual que DCIS es considerada como una

neoplasia benigna, la cual se desarrolla en los lóbulos y glándulas productoras de leche. Esta se presenta en mujeres premenopáusicas, no ocasionan sintomatología, son Receptores de estrógenos (RE) y Receptores de progesterona (RP) positivos, por lo tanto, además de la mamografía en la cual se deben observar pequeñas calcificaciones y las biopsias, una buena alternativa para su diagnóstico son la detección de estos receptores. Es altamente recomendable revisiones anuales una vez diagnosticado, además de autoexploración y revisiones periódicas, las pacientes con LCIS generalmente no son sometidas a ninguna terapia pero se puede utilizar Tamixofen o bien Raloxifeno los cuales son una terapia hormonal que inhibe a las aromatasas que son encargadas de la síntesis de estrógenos a partir de andrógenos androstenediona o testosterona. La importancia de inhibir esta síntesis es detener la interacción receptor- estrógeno/progesterona, ya que intervienen en la síntesis de RNA y proteínas dando como resultado metástasis y neoplasias dañinas.

• El carcinoma lobular infiltrante o invasivo (ILC). Comienza en los lóbulos de las glándulas mamarias y es capaz de romper las paredes de éstos y diseminarse al tejido mamario circundante, después hacia los blancos cercanos a la mama hasta llegar a los nódulos linfáticos. Este tipo de neoplasia representa del 10 al 15% de los casos diagnosticados con cáncer invasivo, la característica principal de este tipo de cáncer es la sobreexpresión de una proteína llamada HerbB2 hasta en un 15% en pacientes con ILC. HerbB2 es una proteína de membrana unida a la superficie de receptores de tirosin cinasa e interviene en el crecimiento y la diferenciación celular¹³.

El ILC se diagnostica mediante exámenes físicos que buscan pequeñas protuberancias en la mama, además de enrojecimiento y endurecimiento; también se utilizan mamografías, biopsias, resonancia magnética y ultrasonidos. Una vez diagnosticado, el ILC puede ser tratado mediante quimioterapias basadas en taxoles, los cuales inhiben la formación de microtúbulos, deteniendo con ésto la mitosis en un lapso de 3 a 6 meses. La terapia hormonal (SERMs, inhibidores de aromatasas) es utilizada en este tipo de cáncer y busca intervenir en la diferenciación y crecimiento celular, otro tipo de terapia es la dirigida contra HerbB2 en donde se utiliza Trastuzumab© contra el complejo de la tirosin cinasa.

• El Cáncer de mama inflamatorio (IBTC). Es el tipo de cáncer menos común que se puede presentar en la mama, éste representa entre el 1-5% de los casos totales. Las características principales del IBC es su agresividad y la rapidez con la que se desarrolla, además de expresar HerB2, RE y RP, los cuales como ya se ha mencionado intervienen en el crecimiento y diferenciación celular, y que sirve como método de diagnóstico. Este tipo de cáncer suele presentar enrojecimiento e hinchazón, características que se acreditan al bloqueo de vasos linfáticos. Para su diagnóstico se utilizan: rayos X de pecho, tomografía computarizada, escáner de hueso, Test de Función de hígado y Test Herb2, RE y RP.

El IBTC se puede dividir en tres estadios de acuerdo a su nivel de diseminación en IIIB, IIIC y IV siendo el último el de mayor gravedad, el tratamiento de este tipo de cáncer se basa en la quimioterapias que varía de acuerdo a su desarrollo, por ejemplo en etapas tempranas se utilizan las antraciclinas (dexorubicin, epirubicin, etc.) combinadas con taxoles (docetaxel, paclitaxel, etc.) y la terapia dirigida (Trastuzumab©), que son anticuerpos monoclonales que bloquean los receptores expresados en membrana Herb2. Si la terapia no es efectiva se utiliza radiación o bien una solución más drástica como la mastectomía.

• Enfermedad del Pezón de Paget. Es un adenocarcinoma intraepidérmico, es decir que afecta la mucosa y la dermis de las glándulas mamaria, el cual se caracteriza por la presencia de eritema y segregaciones en el área del pezón y la areola. Está enfermedad se presenta en el 5% de las pacientes diagnosticadas con CDIS. Se cree que el Pezón de Paget es debido a la migración de células dañadas de los ductos y lóbulos hacia la mucosa de las glándulas mamarias, como característica citológica principal es su elevada presencia de Herb2.¹⁶

2.5.4 Diagnóstico en Cáncer de mama.

En la actualidad se ha dado un gran énfasis en la autoexploración como terapia preventiva y diagnóstico para el Cáncer de mama, la cual es confirmada con estudios como la mastografía. De acuerdo al The American College of Surgeons, la autoexploración en la cual se localizan pequeños bultos representa cerca del 42% de un prediagnóstico, de este porcentaje el 24% es diagnosticado con cáncer y el restante con neoplasias benignas. De tenerse sospechas de presencia de bultos se recurre a los siguientes criterios para discriminar masas benignas de las malignas:

- Síntomas. El Cáncer de mama suele ser asintomático y sin presencia de dolor. Neoplasias benignas (nódulos mamarios funcionales) se asocian a dolor e inflamación.
- 2) Edad. La presencia de Cáncer de mama se da principalmente en mujeres mayores de 30 años. En mujeres jóvenes, la presencia de nódulos se asocia o un fibroadenoma, el cual es una protuberancia benigna, firme o móvil.
- 3) Relación nódulo-tejido adyacente. La presencia de un nódulo móvil el cual esté libre de tejido mamario suele corresponder a un fibroadenoma.

Los criterios mencionados no pueden indicarnos por sí solos la presencia o ausencia de cáncer, pero son una guía para indicar los métodos diagnósticos más adecuados que sirvan para descartar o confirmar la presencia de cáncer, éstos pueden ser:

- ➤ Estudios Clínicos-Diagnóstico. Son métodos no invasivos los cuales son recomendados en regiones de fácil acceso y consisten principalmente en:
 - ✓ Exámenes físicos. Principalmente la autoexploración y estudios exploratorios por parte del médico. Este método nos proporciona información sobre el tamaño, lugar y diseminación del cáncer.
 - ✓ Métodos Radiográficos. Nos proporcionan imágenes internas del paciente, para el Cáncer de mama los más comunes son: mamografía la cual detecta entre el 85% y 90% de los casos, además de la mamografía existen técnicas como la ecografía, resonancia magnética nuclear (RMN). Estas pruebas nos proporcionan información acerca del sitio, tamaño y diseminación del cáncer.

- ✓ Pruebas de laboratorio. Son pruebas histológicas en diferentes fluidos corporales como sangre u orina, en donde se buscan sustancias que reflejen algún cambio metabólico que se presenta en pacientes enfermos. Ejemplos de éstos son los biomarcadores de los que hablaremos en el capítulo 7, en los cuales se ha puesto un gran énfasis en las últimas décadas, ya que presentan grandes ventajas como la facilidad de accesar a las muestras y que podrían proporcionar información concisa del estadio en el cual se encuentra el paciente.
- Estudios quirúrgico-patológicos. Son métodos invasivos debido a que el lugar de localización del cáncer es de difícil acceso para la obtención de las muestras, son necesarias las biopsias y otros métodos quirúrgicos. En este tipo de metodologías se dan reportes citológicos y patológicos como: tamaño, diseminación, tipos de células, grado (similitud entre células sanas y cancerígenas), tipo de células localizadas en fluidos corporales. Además es necesario que el médico reporte todo lo ocurrido durante la cirugía en donde describirá el tamaño, apariencia, información sobre ganglios linfáticos y órganos vecinos.

2.5.5 Pronóstico en Cáncer de mama.

La estadificación del Cáncer de mama comenzó a principios del siglo XX, con la finalidad de entenderlo y así poder asignar un tratamiento adecuado a la etapa de desarrollo, este sistema se basó en la diseminación hacia ganglios linfáticos y la metástasis a distancia y conforme se han descubierto nuevos factores, se han ido incorporando. En la actualidad los factores pronósticos utilizados para el cáncer de mama más empleados son:

- Ganglios linfáticos axilares. La positividad de los ganglios es un factor de riesgo de enfermedad sistémica interior en los pacientes. La presencia de ganglios positivos indican metástasis en la neoplasia mamaria, ésto nos indica que se han afectado otros tipos de tejido.
- Tamaño del tumor. Este factor de pronóstico se combina con la afectación de ganglios y la presencia de metástasis dando como resultado 5 posibles estadios, 0, I, II, III y IV (Tabla 6), que indican gravedad de la enfermedad

en orden progresivo. Aquellas pacientes diagnosticadas en los estadios III y IV tienen un pronóstico desfavorable con respecto a las de estadios 0, I y II debido a las características y tamaño que presentan los diversos tumores.

• Sistema de gradación histológica. Basado en el patrón de crecimiento y morfología de las células cancerosas respecto a las normales y la diseminación del tumor. Utiliza dos criterios: el primero es histológico y compara a las células cancerosas con respecto a las normales del mismo tipo de tejido. El segundo es nuclear, compara tamaño y forma del núcleo de las células y porcentaje en que se encuentran activas es decir, aquellas que se encuentran en división mitótica. Para el Cáncer de mama la escala de estatificación es el grado histológico de Nottingham.

Tabla 9. Gradación histológica de acuerdo a Nottingham. Esta clasificación se divide en 5 grados la tabla nos indican las características mas representativa de cada uno (National Cancer Institute, www.cancer.gov).

Grado.	Características.
GX	No es posible asignar un grado (Grado indeterminado)
G1	Bien diferenciado (Grado bajo)
G2	Moderadamente diferenciado (Grado intermedio)
G3	Mal diferenciado (Grado alto)
G4	Indiferenciado (Grado alto

- Edad. El Cáncer de mama se presenta generalmente en pacientes mayores a los 30 años. En pacientes que presentan la enfermedad a una edad temprana se desarrollan tipos de cáncer más agresivos con un pronóstico desfavorable en su tratamiento.
- Receptores esteroides. Principalmente RE y RP, los cuales se han utilizado como factores pronósticos y para un diagnóstico temprano. La ausencia de RE y RP en los primeros 5 años de la enfermedad se relaciona con un desarrollo menos agresivo respecto a los pacientes con RE y RP positivos; una vez transcurrido este tiempo no se ha encontrado correlación con la

agresividad de los tumores. La sola determinación de los receptores no es suficiente para asignar una terapia adecuada ni para dar un pronóstico confiable. Por lo que debe de combinar con los demás factores pronósticos mencionados.

- Conteo mitótico. La elevada tasa de crecimiento celular durante los diversos tipos de cáncer trae consigo una elevada actividad mitótica en el lugar en donde se localiza la neoplasia. Un conteo mitótico elevado indica un desarrollo rápido de la neoplasia.
- Expresión de ErbB2. La expresión de muchos factores de crecimiento (GF) y sus receptores se ha relacionado en cánceres de mama primario. La expresión de ErbB2 trae consigo un pronóstico negativo e indica tipos de cánceres resistentes a la terapia hormonal, este gen se encuentra sobreexpresado en un 20% por amplificación genética en pacientes con cánceres en estadios graves.
- Catepsina D. Es una proteasa lisosomal acídica secretada por las células afectadas, la cual se ha relacionado con actividades promotoras del crecimiento y proteolíticas extracelulares, la sobreexpresión de esta proteína se vincula con pronósticos desfavorables.
- Receptor de laminina y colagenasa tipo IV. La detección de ambas proteínas por técnicas como la inmunohistoquímica en el tejido afectado se correlaciona con un elevado potencial metastásico en Cáncer de mama, indicando así fases finales de la neoplasia y asociándolos con un pronóstico negativo.
- uPA. La producción elevada de enzimas proteolíticas que favorecen la metástasis es una característica en etapas tardías de cáncer mama dando un pronóstico negativo en pacientes que la expresan. La uPa es un activador de plasminogeno del tipo urocinasa y se ha asociado a la

remodelación tisular y migración celular.

 Angiogénesis. Es un proceso empleado por el tumor para la obtención de nutrientes asociado con el grado de malignidad. A una mayor actividad angiogénica el pronóstico es negativo, es por esto que hoy en día existen fármacos que tienen como blanco terapéutico disminuir esta actividad (Bevacizumab©).

2.5.6 Terapias en Cáncer de mama

Una vez que la paciente es diagnosticada, la expectativa y calidad de vida dependen del tratamiento y el seguimiento del mismo. Durante muchos años y aún hoy en día el tratamiento recomendado para tratar el Cáncer de mama, son los inhibidores de angiogénesis y los agentes citotóxicos, ya que ambos tienen un efecto en la disminución de la metástasis en el tejido afectado. Estudios recientes indican una relación positiva entre la disminución del riesgo de padecer Cáncer de mama con altos niveles de vitamina D₃ debido a que esta molécula y su receptor el VDR (Vitamin D receptor) han mostrado un comportamiento de reguladores negativos en el crecimiento celular ⁷.

Debido al creciente número de pacientes con esta enfermedad, en los últimos años se ha realizado un gran esfuerzo por conseguir terapias alternas que coadyuven con las ya existentes, además de garantizar la seguridad del paciente y proporcionen mejores resultados. Las terapias más utilizadas son las siguientes:

- Radioterapias. Consiste en utilizar radiación ionizante, la cual se puede aplicar de forma externa (sobre la piel del lugar afectado) o bien mediante la implantación de un dispositivo bajo la piel (intradérmico). Este tratamiento tiene como finalidad la destrucción de células dañadas y es utilizado en conjunto con la cirugía para incrementar su eficiencia. Una gran desventaja es la pobre selectividad hacia células dañadas, causando diversos efectos adversos de entre los cuales destaca la inmunosupresión.
- Cirugías. Para la mayor parte de los profesionistas de la salud, la resección de la masa tumoral o tejido afectado ya sea parcial o total, es la terapia más adecuada. Hoy en día se utilizan dos técnicas: MRM (Mastectomía Radical Modificada), la cual incluye una resección total de la mama, en ocasiones el músculo pectoral y

los niveles de ganglios axilares 1 y 2, y el TMC (Tratamiento Conservador de la mama) que consiste en la resección completa de la tumoración macroscópica, ambas cirugías van acompañadas de un tratamiento con fármacos (quimioterapias) para garantizar su eficacia. En años recientes se ha tratado de reducir la utilización de las cirugías y tomarla como última alternativa debido al gran impacto psicológico que puede llegar a causar al paciente, a pesar de ser una de las terapias más efectivas existentes hoy en día.

 Terapia génica. Se basa en la inserción de genes capaces de corregir daños en el ADN o de inhibir alguna vía metabólica que desencadenen la muerte de las células dañadas (Tabla 10), para esto se utilizan varias clases de vectores virales y no virales: Adenovirus, Retrovirus, Poxvirus, Virus del Herpes Simple, Lentivirus entre otros.

Tabla 10. Principales clases de terapias génicas empleadas en el tratamiento de Cáncer de mama (De Vita, 2004)

Terapia.	Objetivos.	Ejemplos.
Mutación compensada.	Corrección de defectos que generan fenotipos	Reemplazamiento de p53 y BCRA1
	malignos, por ejemplos genes involucrados en el	en células tumorales de Cáncer de
	crecimiento o que inducen apoptosis.	mama.
Quimioterapia	Transformación de un profármaco a una molécula	Gen de la cinasa timidina mediante
molecular o genes	capaz de destruir células cancerosas.	el virus del Herpes Simple.
suicidas.		
Oncolisis viral.	Infección de virus y con esto la introducción de	No existen ejemplos aprobados.
	genes capaces de producir lisis de las células.	
Inmunoterapia génica.	Estimula en sistema inmunológico para que pueda	No existen ejemplos aprobados.
	reconocer antígenos expresados por el tumor y con	
	esto lo lleve a la destrucción.	
Terapia angiogénica de	Interrupción de angiogénesis con la finalidad de	Inhibición del factor de crecimiento
genes	detener el suministro de nutrientes del tumor.	vascular-endotelial (VEGF).

• Quimioterapia. Es un tratamiento basado en una serie de fármacos aprobados por la FDA⁹, los cuales buscan la disminución de la metástasis mediante la destrucción de células neoplásicas. Esta terapia se divide en: terapia adyuvante y terapia metastásica, ambas utilizadas después de la resección de tejido dañado. La acción de los quimioterapéuticos se dirige en su totalidad a frenar la proliferación y/o el crecimiento celular. Para esto, actúan sobre el ADN, el ARN o la división mitótica, y sólo excepcionalmente en inhibir la síntesis de proteínas.

La quimioterapia adyuvante es empleada en etapas tempranas y tumores pequeños que en ocasiones son benignos. Se emplea con la finalidad de prevenir el desarrollo de enfermedades metastásicas, las ventajas que ofrece esta terapia es la reducción de posible recurrencia y muerte de pacientes con cáncer en estadios tempranos. La quimioterapia metastásica se utiliza en pacientes con estadios avanzados y que tienen como característica principal la presencia de metástasis y angiogénesis, esta terapia es asignada mediante estudios clínico-diagnósticos y/o quirúrgico-patológicos que son capaces de indicarnos el estadio de esta enfermedad, los fármacos más empleados en ambas terapias son:

- Antibióticos antitumorales. Principalmente las antraciclinas que son fármacos obtenidos de *Streptomyces spp*, su mecanismo de acción es la intercalación en el ADN y la inhibición de la Topoisomerasa II, causando la muerte de las células cancerosas. Las más utilizada en el Cáncer de mama son: Doxorubicin, Epirubicin, Mitoxantrone y Mitomicina-C. Los principales efectos adversos son la mielosupresión y una deficiencia de neutrófilos, náuseas, vómito, diarrea, y pérdida de cabello.
- Inhibidores de síntesis de microtúbulos. Se dividen en dos grupos el primero son los alcaloides de la vinca los que son una familia de fármacos derivada de la planta del bígaro que inhiben la síntesis de microtúbulos, los representantes de este grupo son: vinorelbin, vinblastin. Cada uno ellos posee efectos secundarios distintos pero comparten dos: la mielosupresión y neurotoxicidad, ambos empleados en combinación con otros fármacos debido a que su efecto terapéutico es pobre. El segundo grupo son los taxanos, que son diterpenos obtenidos de plantas o de forma sintética, inhiben el desensamblaje del citoesqueleto gracias a la unión a los dímeros de tubulina, el resultado es el bloqueo de G2/M ya que no se desarrolla adecuadamente el huso mitótico. Este grupo además, posee propiedades antiangiogénicas originando la inhibición de la proliferación endotelial, migración y formación de túbulos, llevando a la muerte las células

- tumorales. El paclitaxel y docetaxel son los dos taxanes más empleados en el tratamiento contra el Cáncer de mama, sus efectos secundarios más comunes son la mielosupresión, neuropatías periféricas y retención de líquidos corporales.
- Antimetabolitos. Son sustancias que bloquean el crecimiento celular al interferir con la síntesis del ADN en la etapa "S" del ciclo celular, simulando sustancias que participan en la síntesis e inhibiendo la producción de moléculas. Los más empleados para el tratamiento de Cáncer de mama son: 5-fluorouracil, metotrexato, capecitabina y gemcitabina.
- Agentes alquilantes y compuestos de platino. Son fármacos que añaden grupos alquilos cargados negativamente, generando sitios nucleofílicos ricos en electrones, formando así aductos los cuales alteran la estructura y función del ADN. Estos pueden operar en cualquier momento del ciclo celular, sin embargo son más eficaces durante la sinteisis de ADN que es llevada acabo en le fase S del ciclo celular, los más utilizados son: ciclofosfamida, tiotepa e ifosfamida. Existen compuestos de platino los cuales tiene el mismo mecanismo de acción y son: cisplatin y carboplatinum.
- Terapia hormonal. Consiste en la administración de fármacos que bloquean la acción de receptores y sus hormonas asociadas a una disminución en su positividad de acuerdo al grado de malignidad. La terapia hormonal sólo es utilizada en pacientes que tienen receptores hormonales positivos, que representa entre un 60% al 70% de las pacientes diagnosticadas. Esta terapia posee las siguientes familias de fármacos:
 - o Inhibidores de aromatasas. Durante el Cáncer de mama, la función de los ovarios disminuye y con ésto la síntesis de estrógenos en sitios extragonadales y se incrementa en otros sitios a causa de la aromatización de precursores androgénicos de origen adrenal. Como principal reacción se lleva a cabo la conversión de la adrostenediona o estrona y consecuentemente a estradiol, el cual estimula la producción de hormonas que incrementan el crecimiento de células tumorales, el uso de estos

inhibidores disminuye la producción de estradiol y con esto reprime el crecimiento celular, ejemplos de este tipo de inhibidores son: los inhibidores no esteroideos de triazol (anastrazol, letrozol y fadrozol) y los inhibidores esteroideos de aromatasas (formestano y exemestano).

- Antiestrógenos. Compuestos que antagonizan la acción de los estrógenos. compitiendo por su receptor, debido a que los estrógenos están implicados en la proliferación y diferenciación de las células y son factores de riesgo para el desarrollo de Cáncer de mama. Los antiestrógenos se clasifican en tipo I o parciales (agonista/antagonista) que son de naturaleza noesteroidal, presentan propiedades agonistas y antagonistas y también son denominados Moduladores Selectivos del Receptor de Estrógenos (MSRE), porque pueden actuar de manera diferente dependiendo del órgano blanco, se unen a los RE y permite su dimerización. Se unen al complejo hormona- receptor a elementos de unión a receptor de estrógenos (ERE) inhibiendo la actividad del factor de transcripción TAF-2. Los más empleados para el tratamiento de Cáncer de mama son: tamoxifen, toremifeno, clomifeno, droloxifeno, benzotiofenos y raloxifeno, por otra parte los de Tipo II o antiestrógenos puros que son de naturaleza esteroidal que inhiben la acción de los estrógenos gracias a una elevada afinidad por el RE, además de inhibir en la dimerización de los mismos, lo cual no permite la unión al ERE, y como consecuencia impide a la transcripción de los genes. El ICI 182 780 (faslodex) es el único que ha sido probado en la clínica.
- Análogos de Gh-Rh. Son polipéptidos que inhiben el efecto pulsátil de la GnRH sobre el hipotálamo dando como resultado la anulación de la función ovárica o testicular los más empleados son: goselerin, leuprolin, buselerin y triptolerin.

2.6 Estructura, formación, clasificación y estudio de proteínas.

Una célula es capaz expresar hasta 5000 proteínas en un lapso de tiempo y espacio determinado, a lo cual se le conoce como proteoma. Éste se puede modificar de acuerdo a las condiciones a las que se exponga el organismo. La Proteómica se encarga de estudiar este tipo de cambios en el proteoma de los diversos organismos, además de tratar de explicar las propiedades y funciones de estas proteínas mediante diversas técnicas como la espectrometría de masas. Recordemos que una proteína es "Una macromolécula que lleva a cabo todas las actividades celulares" las cuales reflejan la información contenida en los genes. Estas macromoléculas se componen de varios aminoácidos unidos mediante un enlace peptídico que se forma por la unión del extremo carboxilo (-COOH) de un aminoácido y el extremo amino (NH₂) del aminoácido siguiente, partes que junto con el carbono α y una cadena R conforman un aminoácido. La última otorga las propiedades características de cada uno de ellos como: carga, polaridad, tamaño, entre otros (Figura 6).

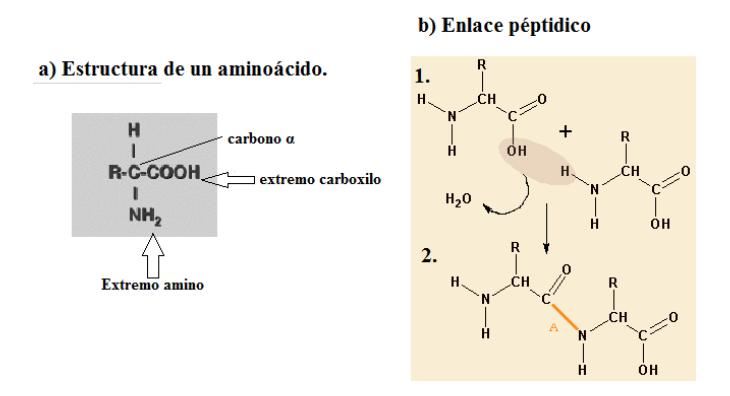


Figura 6. a) Estructura de una aminoácido, b) Formación de un enlace peptídico, 1) unión de extremo amino y carboxilo con la pérdida de una molécula de agua, 2). Formación del enlace (Nelson y Cox, 2000).

Existe un gran número de aminoácidos que pueden conformar una proteína, pero sólo 20 son necesarios para la formación de estructuras que intervienen en procesos celulares del humano, con este número de aminoácidos se pueden generar miles de proteínas estructurales o funcionales, ésto gracias a sus enlaces intramoleculares e intermoleculares. Una proteína que posea alguna función se compone generalmente de al menos 100 a 200 aminoácidos unidos por un enlace covalente (peptídico) y estabilizado por enlaces no covalentes como: puentes de hidrógeno, fuerzas de Van der Walls, fuerzas

iónicas, etc. Estas interacciones nos dan como resultado 4 diferentes tipos de estructuras: primaria, secundaria, terciaria y cuaternaria, las propiedades de cada una de ellas las observamos en la Tabla 11. Se clasifican por su estructura, su composición o bien su valor nutrimental para su estudio, estos grupos pueden sufrir una o más modificaciones postraduccionales, como el plegamiento, o la adición de algún grupo prostético, estos cambios en general tienen como finalidad alterar la estructura y con ello modificar su actividad biológica o bien permitirle la incorporación hacia la estructura celular de la que forman parte (matriz, pared celular, membranas, etc). La adición de algún grupo prostético en una cadena polipeptídica es una de las modificaciones postraduccionales de entre las que se destacan:

Acilación

Sulfonilación

Fosforilación

Prenilación

Metilación

Glicación

Hidroxilación

Nitrosilación

Glucosilación

Nitración

El enlace entre proteínas es otra modificación importante, ya que se emplean por la célula como señal para iniciar la degradación de una cadena polipeptídica cuando ya se tiene la cantidad necesaria o bien cuando la cadena tiene algún problema en su estructura, los mecanismos más conocidos son la SUMOlación y la Ubiquitinación.

Se han asociado varias de estas modificaciones a diferentes tipos de cáncer, la fosforilación y glucosilación son las dos modificaciones más importantes, ya que entre las dos son capaces de cambiar más del 60% de proteoma de un organismo^{6,7}. Muchas de las proteínas importantes para el metabolismo celular requieren de una ser fosforiladas y representa más del 12% del total del proteoma de un organismo, los ejemplos más representativos de este grupo son las cinasas y las CDks, las cuales son encargadas de regular una gran variedad de vías metabólicas. En el caso de la glicosilación, más del 50% del proteoma de un organismo es susceptible a esta modificación en particular, las más estudiadas son las proteínas de membrana. Las proteínas más representativas de este grupo son las mucinas.

Tabla 11. Niveles estructurales de las proteínas. La tabla nos presenta la clasificación de proteínas de acuerdo a su estructura y sus características principales (Nelson y Cox, 2000).

Estructura.	Propiedades y características.	
Primaria.	Esqueleto de una proteína. Cadena linear de al menos 2 aminoácidos, unidos por enlaces peptídicos.	Aminoácidos
Secundaria.	 Estructura tridimensional de una cadena polipedtídica. Estabilizada por puentes de hidrógeno. 2 tipos : α- hélice. Su conformación se asemeja a un espiral, 3.6 aminoácidos por cada giro, aminoácidos incapaces de formar esta estructura: Asp, Thr, Ile, Pro y Gly debido a sus propiedades físicoquímicas. 	
	 β-plegada u Hoja β. Conformación plisada es decir en forma de una hoja la cual compone por varios segmentos de perpendiculares a la lámina uno tras otro. Con una distancia de 3.5 Å se forman puentes de hidrógeno entre cada grupo carboxilo y amino de los segmentos, la hoja puede ser antiparalela o paralela dependiendo de la dirección de los segmentos. Giro β. Formado por 4 aminoácidos, estabilizado por un puente de hidrógeno entre el carbonilo del primer 	Hoja plegada Hélice alfa
	aminoácido y el amino del cuarto, el tercer aminoácido suele ser glicina o prolina, ya que son capaces de cambiar de dirección por el impedimento estérico.	
Terciaria.	Formada por una una o varias estructuras secundarias. Es la conformación activa de una proteína, tridimensional, estabilizada por uniones no covalentes, fuerzas de Van der Waals, puentes disulfuro,	
	interacción con iones metálicos, etc. Existen dos tipos principalmente las proteína fibrosas (forma elongada): las cuales conforman principalmente proteínas estructurales como el colágeno, elastina, queratina, y las proteínas globulares (forma compacta).	Hoja plegada Hélice alfa
Cuaternaria.	Compuesta por dos o más estructuras terciarias estabilizadas por puentes disufuro, pueden ser homodimeros (subunidades iguales) o heterodimeros (subunidades distintas).	

2.6.1 Fosforilación.

Una de las modificaciones más comunes de proteínas es la fosforilación en sus residuos de serina (Ser), treonina (Thr) y tirosina (Tyr). Esta modificación juega un papel importante en la señalización, activación, propiedades estructurales y de estabilización a nivel celular y se ha observado su importancia en varios pasos de diferentes enfermedades como en los procesos de oncogénesis, apoptosis y desórdenes inmunológicos. Alrededor de una tercera parte de los genes traducidos por los organismos eucariontes pueden sufrir de este tipo de cambios.

La fosforilación específica de los residuos ya mencionados es el mecanismo más común para la regulación de la actividad de proteínas celulares. Las cinasas catalizan la adición de una porción del grupo fosfato de un donador generalmente ATP al grupo hidroxilo de los aminoácidos mientras que la fosfatasas intervienen en la remoción del mismo haciendo este proceso reversible, característica que hace importante esta modificación en la regulación de vías metabólicas (Figura 7). Las cinasas dependen de un ión divalente como el Mg²+, Mn²+ o Ca²+ y su actividad es regulada por diferentes señales intracelulares las cuales inician gracias a receptores en la membrana o señalizaciones extracelulares, desencadenando una cascada de reacciones que utiliza la célula para activar o desactivar funciones, modular interacciones electrostáticas o conformacionales. Existen dos tipos de cinasas: cinasas de tirosina y las cinasas de serina y treonina y de igual modo dos tipos de fosfatasas, la fosfatasa de tirosina y y la fosfatasa de serina y treonina, las cuales se desequilibran en enfermedades crónicas.

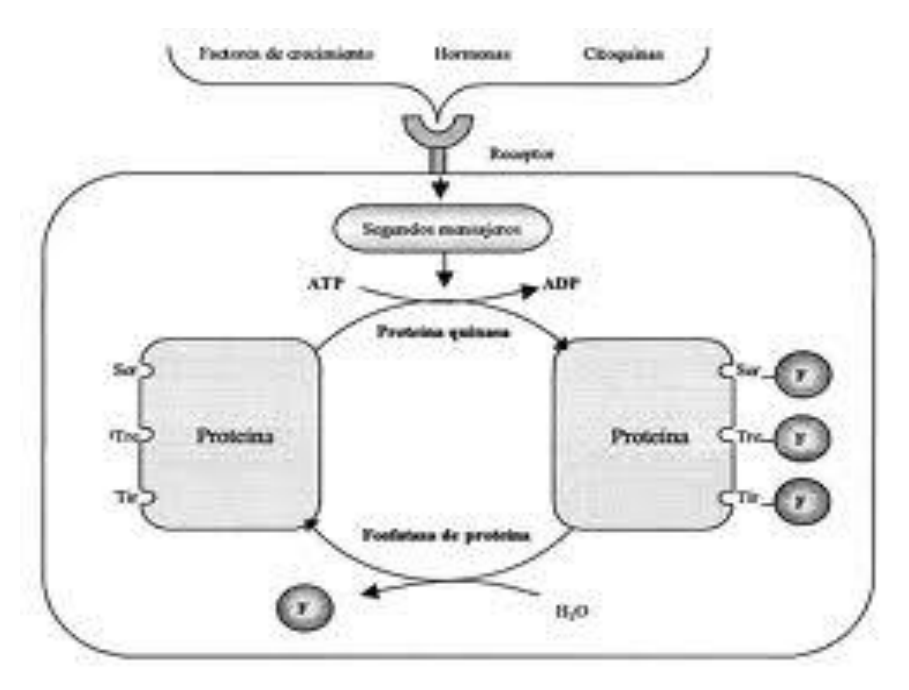


Figura 7. Mecanismo general de fosforilación y defosforilación de proteínas (Nelson y Cox, 2000).

La fosforilación en residuos de aminoácidos es clasificada en O-fosforiladas, N-fosforiladas y como acilfosfatos. Las primeras son la clase principal en términos de cuantificación y localización en el organismo. Las fosfatasas catalizan la defosforilación específica de proteínas, permitiendo así el encendido o apagado de su actividad. Desde hace años se sabe que la fosforilación se relaciona con varios procesos celulares como: señalización transmembranal, amplificación de señales intracelulares y el control del ciclo celular.

La fosforilación específica en los residuos de tirosina está relacionada a factores de crecimiento, los cuales son capaces de estimular a una familia de receptores de superficie celular con actividad intrínseca de tirosin-cinasas, como el Factor de Crecimiento Epidermal (EGF), el Factor de Crecimiento Plaquetario (PGF), ambos con potencial mutagénico, y el Factor de Crecimiento de Fibroblastos (FGF) con poder angiogénico, todos ellos relacionados con el crecimiento y diferenciación celular, motivo por el cual son blancos terapéuticos idóneos para el tratamiento de cáncer, ya que son expresados en la membrana y se pueden bloquear. El estudio de estos factores de crecimiento ha dado como resultado la generación de nuevos medicamentos que inhiben el crecimiento de la neoplasia mediante el bloqueo de la

angiogénesis y por consecuencia de la metástasis, los cuales han demostrado ser efectivos en la Fase clinica III (Herceptin y Avastin).

La fosforilación efectuada por cinasas de serina y treonina son otro grupo importante en la señalización del cáncer. Estas modificaciones tienen como característica principal su estabilidad en medios ácidos y labilidad en los medios básicos. Mientras que las fosfotirosinas son estables en medios básicos.

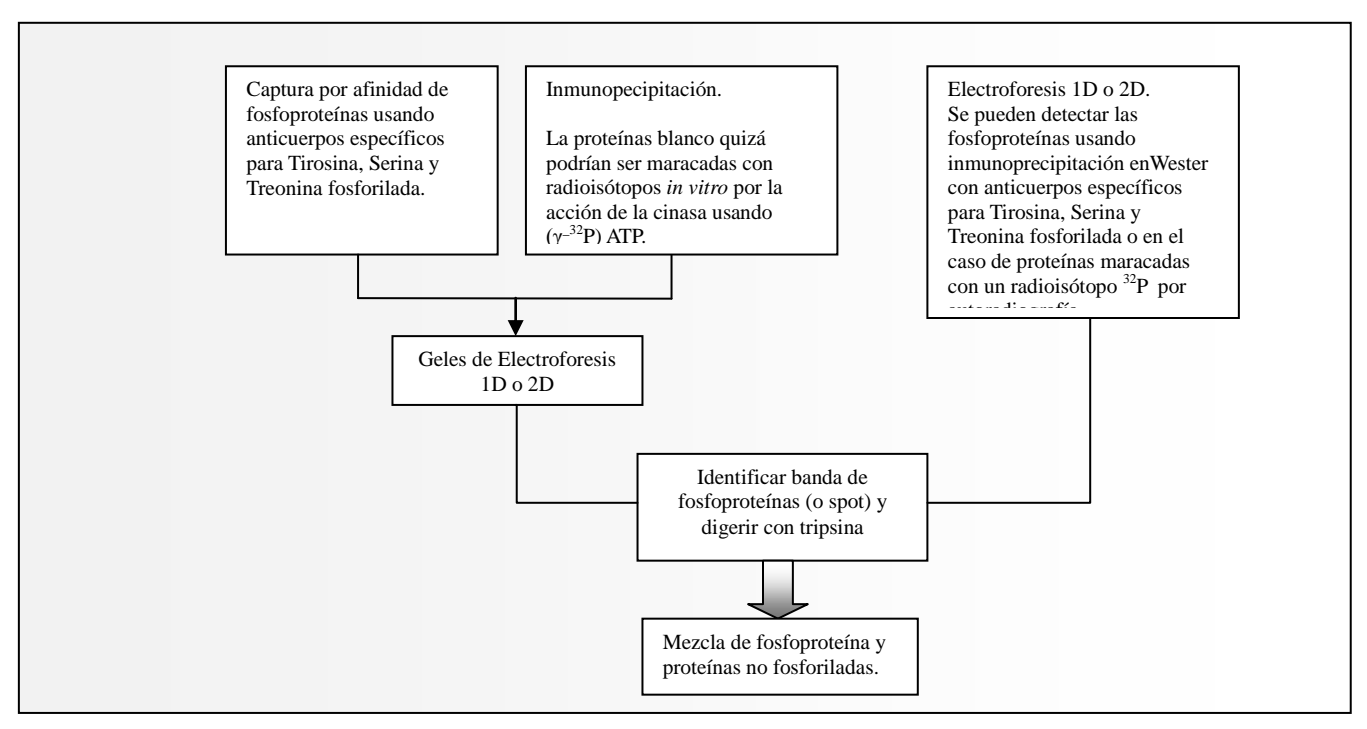
Estas características son aprovechadas por algunas técnicas empleadas para la identificación de éstas modificaciones como son la inmunodetección por Western y la inmunoprecipitación en donde se usan anticuerpos específicos de estos residuos o se identifican regiones fosforiladas y proteínas marcadas por fluorescencia. Otro de los protocolos más empleados es una previa separación mediante la utilización de cromatografía de afinidad y su posterior identificación con MS y/o MS/MS. Estas técnicas tienen una mayor aplicacion en la identificación de O-fosforilaciónes con peso molecular mayor a 80 kDa. Otras de las técnicas más empleadas en la identificación de esta clase de proteínas son los geles SDS-PAGE y los 2D, la primera utilizando la carga y masa de los péptidos dando como resultado una serie de bandas a lo largo de un polímero, la segunda utilizando el pl de las proteínas además de la masa. Una vez localizadas las manchas de interés, lo recomendable es la extracción, digestión e identificación por espectrometría de masas (Figura 8).

Preparación de la muestra.

Mezcla de proteínas fosforiladas y no fosforiladas.

Las proteínas metabólicas podrían ser marcadas con radioisótopos *in vivo* genralmente (³²P).

Enriquecimiento/separación Fosfoproteínas.



Identificación de fosfoproteínas/ Péptidos y sitios.

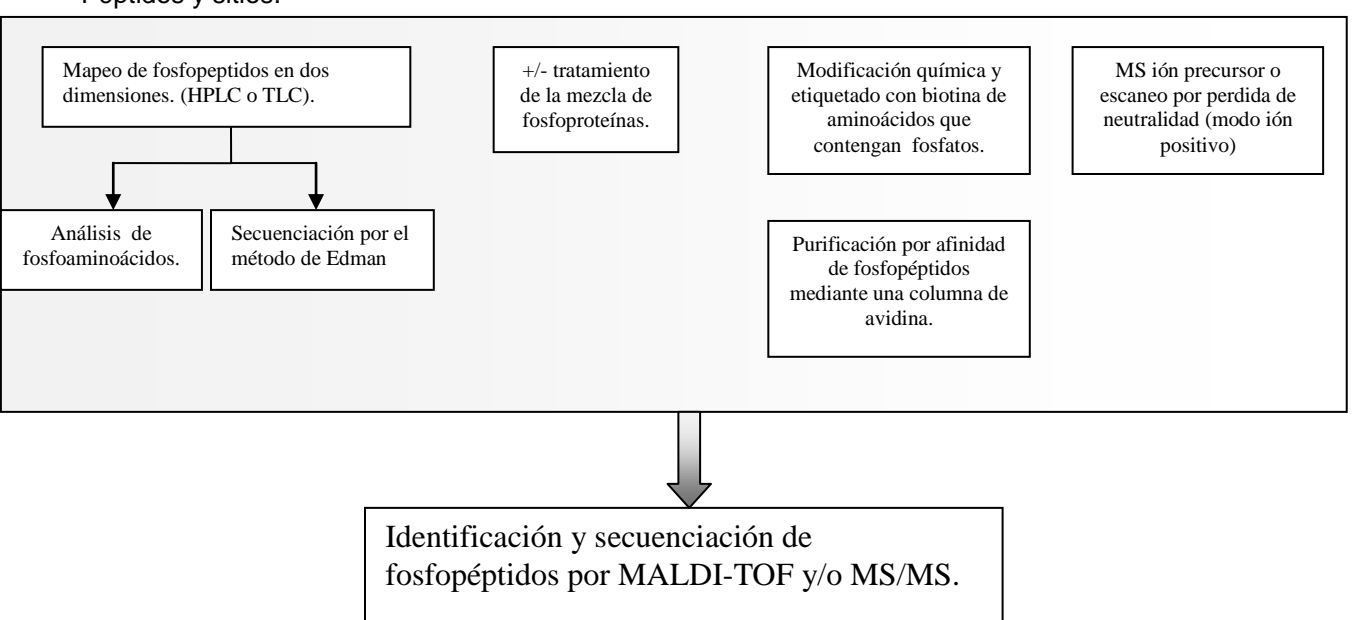


Figura 8. Técnicas empleadas para le identificación de fosfoproteínas (Cox. 2007).

2.6.2 Glicosilación.

El gran número de proteínas presentes en las células no es el único factor que contribuye en la complejidad del proteoma, un segundo factor con la misma importancia son las modificaciones postraduccionales, las cuales generalmente regulan la actividad de rutas metabólicas o la localización de las mismas.

Las glicoproteínas poseen uno o varios oligosacáridos que pueden representar del 3% hasta el 40% de la masa total de la proteína. Los residuos son de diferente composición y están unidos covalentemente, pueden encontrarse dentro y fuera de la célula, por ejemplo en la superficie de la membranal, en la matriz extracelular o bien en organelos, como el aparato de Golgi, gránulos secretores y lisosomas.

La porción de oligosácaridos presentes en glicoproteínas es menor que la presente en los proteoglicanos, sin embargo, éstas son ricas en información debido a que forman muchos sitios específicos de reconocimiento y poseen una elevada afinidad para la unión a otras proteínas. Los oligosacáridos se componen generalmente de galactosa (gal), fucosa (Fuc), N-Acetilglucosamina (GICNAc) y acetilgalactosamina (GalcNAc), manosa (Man), ácido siálico (NANA), ácido N-acetilneuramínico y sinositol.

Una de las modificaciones más comunes junto con la fosforilación es la glicosilación de residuos de serina, treonina, y asparagina con mono u oligosacáridos, estas glicoproteínas están constituidas por tres regiones principalmente:

- 1) Núcleo o core. En esta región se encuentran los carbohidratos más cercanos a la unión con la cadena polipeptídica.
- Esqueleto. Esta región determina la longitud del oligosacárido. La unión de monosacárido-monosacárido esta mediada por enlaces glicosídicos.
- Región periférica. Se encuentran antígenos de importancia biológica (Grupo sanguíneo).

Esté tipo de modificaciones juega un papel importante en procesos celulares como la adhesión, la señalización celular, la estabilización de procesos celulares, el tráfico de proteínas, la interacción de ligandos con sus receptores y la oncogénesis en varios tipos de enfermedades (Cáncer de mama, artritis reumatoide, etc.), quizá puedan ser causadas por un defecto en la glicosilación de proteínas. Se ha

observado que casi la mitad de todos los productos proteicos en eucariontes pueden ser modificados por la adición de un carbohidrato, el cual puede o no intervenir de forma importante en su función.

Las glicoproteínas se dividen en dos grandes grupos de acuerdo a la unión entre el azúcar y el aminoácido: en N- y O-glicanos, el primer grupo tiene como característica principal que la unión del oligosacárido con el átomo de nitrógeno se da en un residuo de asparagina (Asn) y se lleva a cabo en el retículo endoplásmico rugoso (RER). En el segundo grupo la unión del oligosacarido se lleva en el átomo de oxígeno de los residuos de serina (Ser) y treonina (Thr), este tipo de unión es llevada en el aparato de Golgi.

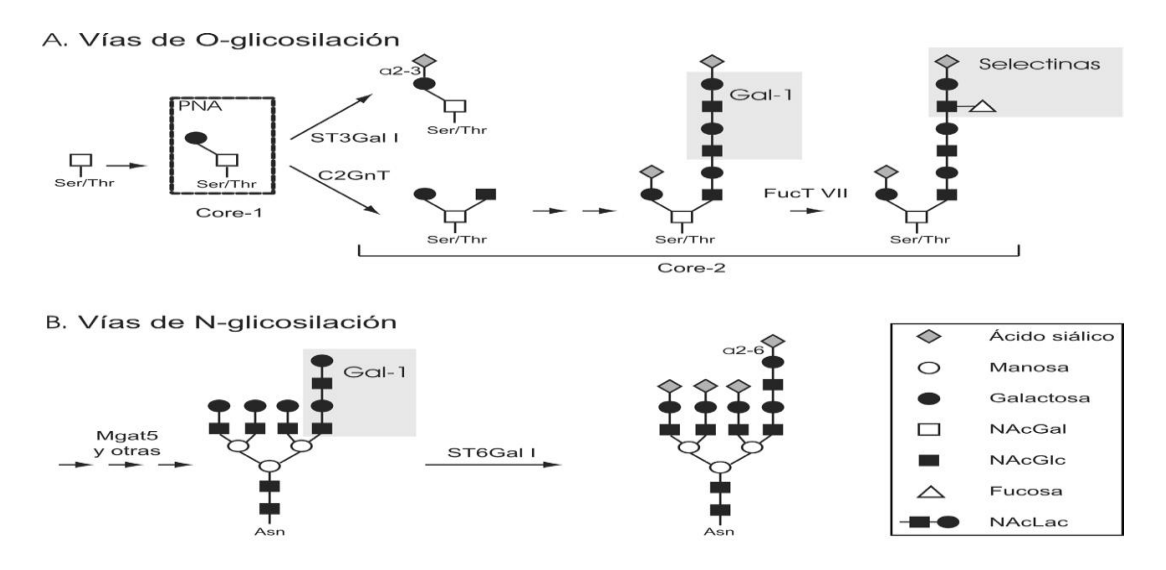


Figura 9. Tipos de glicosilación. A) O-glicosilación, B) N-glicosilación (Toscano, 2006).

La N-glicosilación puede formar moléculas de tres tipos:el primero altamente compuestas de manosa que se conforman por un proceso secuencial y que pueden ser: ricas en manosa, hibrido y complejas (Figura 9), siendo la primera clase el tipo más importante. La síntesis de los N-oligosacáridos comienza en el citosol que se encuentra cercano a la membrana del RER y comienza con la generación de dolicol pirofosforil-N-acetilglucosamina, la cual gracias a la glicosiltransferasas después de una serie de reacciones da como resultado el Man₅GlcNAc₂-PP-Dol, este sustrato ingresa al lumen del RER en donde ocurren

varios pasos que una vez finalizados lo llevan la cara del citosol y ahí es transformada a Glc₃Man₉GlcNAc₂-PP-dol, un oligosacárido rico en manosa el cual es capaz de atacar a un residuo de asparagina de una cadena naciente.

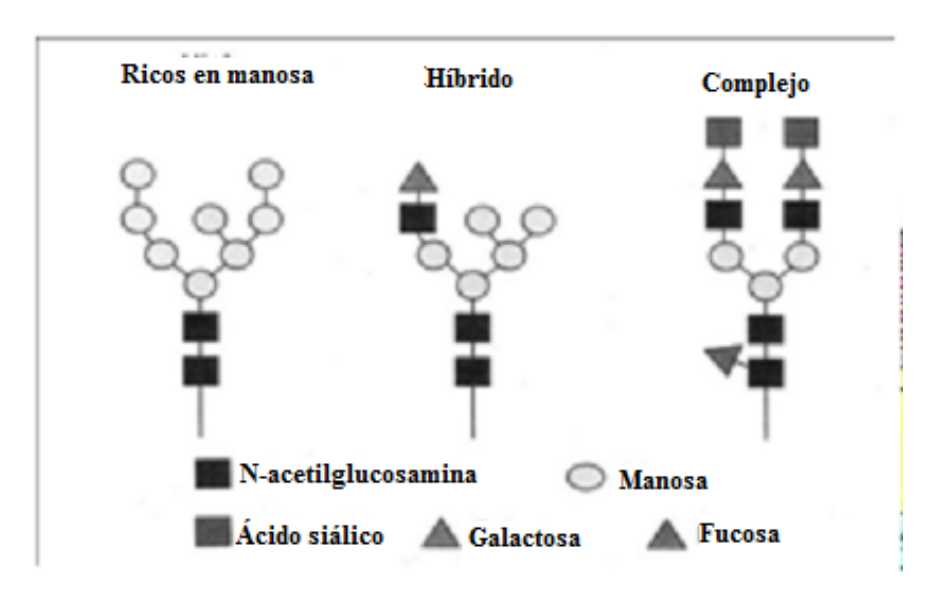


Figura 10. Tipos de oligosacáridos que se puede unir en una N-Glicosilación (Simpsom, 2003).

Se ha relacionado a los O-glicanos que poseen una N-acetil-D-galactosamina (que se encuentra unida al hidroxilo de la serina o treonina), con el cáncer debido a que existe una mayor diversidad como resultado de los 8 núcleos descritos²⁰. Debido a su gran diversidad y complejidad, los O-glicanos participan en funciones diversas como la conformación de la estructura secundaria, terciaria y también participan evitando la agregación proteica.

Una de las principales etapas afectadas durante el cáncer es la de elongación de los O-glicanos. Cuando hay acortamiento de las cadenas de oligosacáridos, se exponen azúcares que generalmente se encuentran enmascarados en la superficie celular, el resultado es la formación de antígenos asociados al cáncer.

La participación en diversas funciones y la formación de antígenos hace que los O-glicanos sean candidatos para ser propuestos como biomarcadores moleculares. Algunos ejemplos de O-glicanos reportados en el Cáncer de mama son la MUC1 que es una mucina con un peso aproximado de 250 a 500 kDa, ésta se encuentra

asociada a la membrana y se ha relacionado con la metástasis. Una mucina es una glicoproteína de elevado peso molecular que se caracterizan por tener cadenas complejas de oligosacáridos unidas a proteína por enlaces O-glicosídicos.

La glicosilación es catalizada por las glicosiltransferasas, las cuales transfieren a un donador adecuado de la proteína un mono u oligosacárido. Esta reacción se realiza en el RE (retículo endoplásmico), el conjugado resultante es llevado por todo el RE hasta el aparato de Golgi y de ahí, mediante el péptido señal se dirige hacia la membrana plasmática, lugar en donde se localiza la mayoría de este tipo de proteínas para ser secretada hacia la matriz celular¹¹.

Los estudios proteómicos de glicoproteínas se realizan mediante el fraccionamiento de muestras complejas, las cuales pueden ser analizadas por geles 1D y 2D o espectrometría de masas (Figura 11). Un método muy utilizado para el fraccionamiento y enriquecimiento de glicoproteínas es la cromatografía de afinidad mediante lectinas (Tabla 12). Estas son proteínas vegetales con una elevada afinidad hacia los azúcares, capaces de unírseles de forma reversible ¹⁷.

Gracias a la proteómica comparativa es posible la identificación de péptidos que posean estas modificaciones y realizar comparaciones entre el proteoma de células de tumores y las células de tejidos sano para localizar diferencias entre estas dos muestras y asi proponer posibles biomarcadores.

Tabla 12. Lectinas empleadas en la separación de glicoproteínas. La tabla nos presenta las lectinas más empleadas en la separación de glicoproteínas y sus ligandos (Qiagen, 2000).

Lectina y origen.	Abreviatura.	Ligando(s).			
Plantas					
Concavalina A	ConA	Man α1-OCH ₃			
Lectina 4 (Griffonia simplicifolia)	CS4	Lewis b (le ^b) tetrasacárido			
Aglutinina de germen de trigo	WGA	Neu5Ac(α 2 ► 3)Gal (β ► 4)Glc			
		GlcNac(β 1 ► 4)GlcNac			
Ricina		Gal(β1→ 4)Glc			
Animal.					
Galectina-1		Gal(β 1 → 4)Glc			
Proteína A por afinidad a manosa	MBP-A	Octa sacáridos ricos en manosa			
Virales	L	1			

Hemaglutinina del virus de la influenza.	HA	Neu5Ac(α2→ 6)Gal (β→ 4)Glc		
Proteína 1 del virus del polioma	VP1	Neu5Ac(α2→ 3)Gal (β→ 4)Glc		
Bacterial.				
Enterotoxina	LT	Gal		
Toxina del cólera	СТ	Pentasacárido GM1		

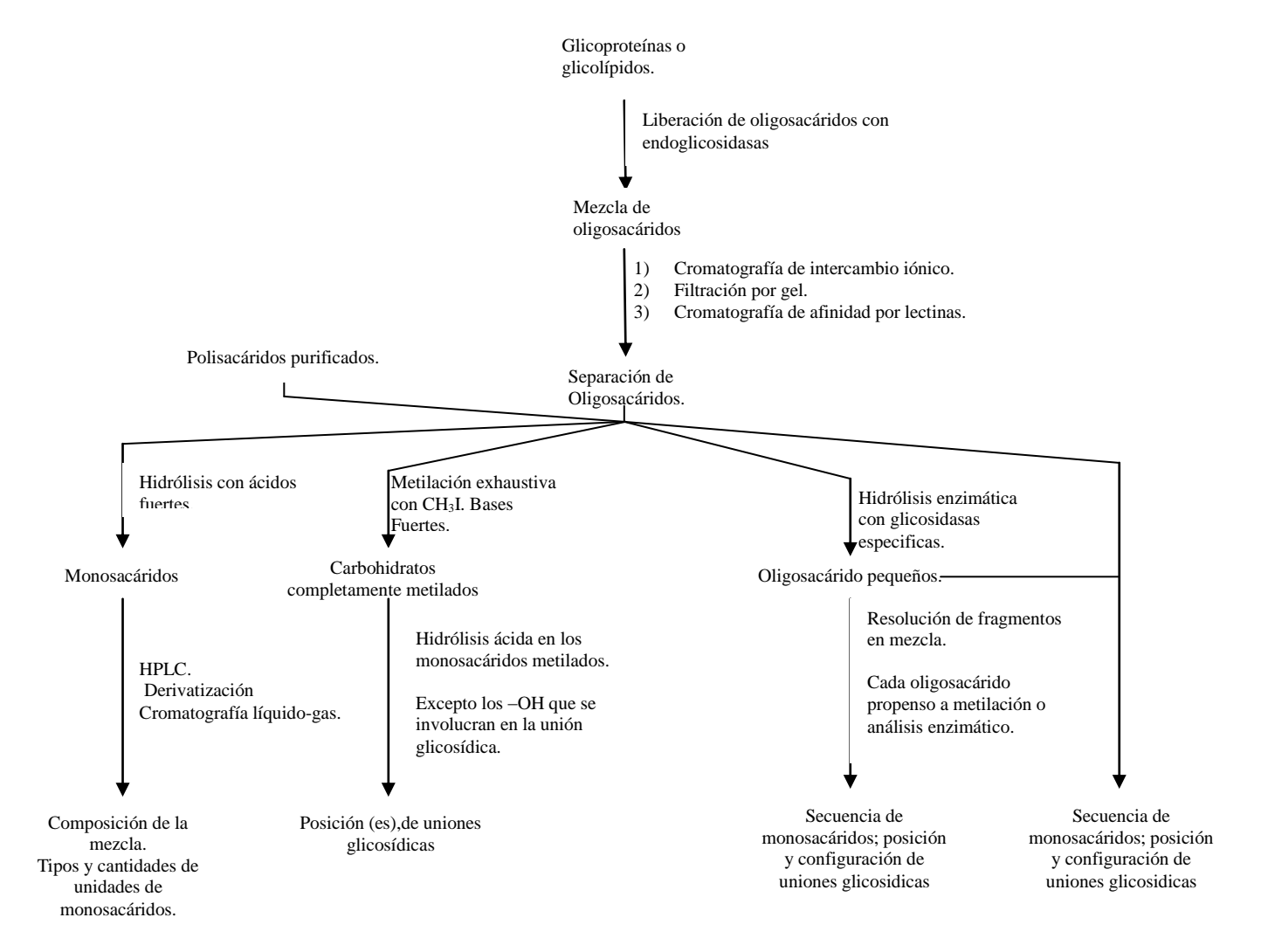


Figura 11. Métodos empleados para la identificación de glicoproteínas (Karp, 2004).

2.7 Biomarcadores.

A pesar de décadas de investigación sobre el Cáncer de mama, las tasas de mortalidad se han incrementado debido al poco conocimiento de la etiología molecular de la enfermedad, a la falta de métodos de diagnóstico sensibles que permitan la detección de esta enfermedad en estadios tempranos y al pobre entendimiento de la epidemiología de los blancos terapéuticos. Es por esto que se ha realizado un gran esfuerzo en la generación de métodos de diagnóstico que tengan como características principales una elevada sensibilidad y especificidad garantizando así un diagnóstico confiable, que la obtención de muestras sea sencilla y que además estos métodos puedan emplearse en estadios tempranos, garantizando con esto una terapia adecuada y efectiva.

Uno de los métodos de diagnóstico sensible, especifico y que la obtención de las muestras para su realización es sencilla, además de haber demostrado que puede ser empleado en la detección de cáncer en estadios tempranos es el diagnóstico mediante la utilización de biomarcadores moleculares.

Un biomarcador se define de acuerdo a la Academia de Ciencias como: "Un indicador de la señalización de eventos en sistemas biológicos o muestras", o bien como "Una biomolécula que se expresa bajo ciertas circunstancias, en cierto tiempo y lugar, la cual varía en su nivel de expresión y estructura, lo que repercute en su actividad disminuyéndola o incrementandola".

La promoción para el estudio de biomarcadores inició en la década de los 80´s gracias a dos instituciones, la NIST (National Institute of Standards and Technology) y CDC (Center for Disease Control and Prevention). Ambas instituciones concuerdan que el estudio de biomarcadores debe realizarse mediante la utilización de diversas técnicas moleculares y que la principal finalidad de los biomarcadores es la de coadyuvar con el diagnóstico y pronóstico de cáncer.

Para el estudio y caracterización de biomarcadores los investigadores necesitan satisfacer ciertas condiciones como:

- Desarrollar y promover procesos de validación de biomarcadores consistentes, eficientes y efectivos.
- Una retroalimentación entre las bases de datos que contienen información

sobre el uso y descubrimiento de los mismos.

- Repetitibilidad y reproducibilidad de biomarcadores propuestos.
- Mejorar los accesos de muestras biológicas o experimentales que sostengan la investigación y desarrollo de éstos.

Las primeras biomoléculas en las cuales se observó una relación con el cáncer fueron: el antígeno carcinoembrionario (Gold y Freedman, 1975), el cual se relacionó con el cáncer colorectal hasta en un 100%, debido al diseño inadecuado en la parte experimental; el antígeno especifico de próstata (Stamer, 1987) relacionado ampliamente con el cáncer de próstata, éste antígeno presenta hasta un 30% de falsos positivo, debido al pobre desarrollo de técnicas proteómicas cuando se descubrio y por último una glicoproteína de membrana denominada CA-125 la cual se relacionó con cáncer de ovario (Bast,1981). Cada una de estas biomoléculas tenía como característica principal la falta de especificidad y selectividad debido al diseño experimental y al pobre desarrollo de las técnicas empleadas para su identificación y caracterización.

Gracias al desarrollo de la genómica y la aparición de diversas ramas como la proteómica, en los años 90's se reportan los primeros posibles biomarcadores relacionados con cáncer de mama por Bidart (Bidart, 1994), éstos fueron BRCA1 y BRCA2, los cuales han sido ampliamente estudiado y hoy en día se sabe que BRCA1 se encuentra presente en más del 45% de los casos de Cáncer de mama hereditario y 80% en los casos de cáncer de ovario, por lo que se utiliza como un biomarcador para cáncer ovárico, mientras que BCRA2 ha sido detectado en formas poco comunes de Cáncer de mama heredado.

En un esfuerzo realizado por el National Cancer Institute de evitar propuestas erróneas de biomarcadores señalo 5 fases obligatorias. Para que una biomolécula pueda ser considerada como un biomarcador debe pasar por 5 fases, las primeras dos tienen como finalidad demostrar la presencia de estas biomoléculas en líneas celulares y tejido, además de su realizar la caracterización y validación de estas biomoléculas mediante técnicas de biología molecular. Las tres fases restantes buscan demostrar la repetitibilidad y reproducibilidad de los biomoléculas

identificadas. Una vez que las biomoléculas pasan con éxito las 5 etapas puede ser considerada como un biomarcador. Los biomarcadores se clasifican en tres grandes grupos:

- a) Biomarcadores de diagnóstico. Estos biomarcadores son sobreexpresados en diferentes tipos de cáncer y que deben de ser sensibles y altamente específicos.
- b) Biomarcadores de pronóstico. Son biomarcadores que nos pueden indicar el estatus en el cual se encuentra la enfermedad.
- c) Biomarcadores predictivos. Son biomarcadores que sirven para el monitoreo de la respuesta hacia los tratamientos.

Las características principales que deben de cumplir los biomarcadores son las siguientes:

- Precisión y reproducibilidad. Se debe demostrar en las fases de desarrollo mediante métodos estadísticos y estudios de laboratorio, la utilización de controles internos y un gran número de muestras es necesaria para demostrar estas características.
- 2) Especificidad/Sensibilidad. Un biomarcador debe ser suficientemente sensible para proporcionar resultados precisos con una cantidad muy pequeña. Una elevada sensibilidad podría evitar falsos negativos, mientras que una alta especificidad podría evitar falsos positivos en las muestras. La utilización de controles y estándares internos es necesaria para evaluar estos parámetros.
- 3) Recuperación en base de datos y análisis retrospectivos. La comparación y administración de datos son importantes en el desarrollo y validación de biomarcadores para su uso en estudios poblacionales, es por ésto que deben existir bases de datos capaces de proporcionar información sobre los diversos estudios y sobre el desarrollo de un mismo biomarcador en diversos laboratorios.
- 4) Modelos experimentales y credibilidad. La relación existente entre la exposición y los efectos es ambigua, por lo cual se debe comprobar esta relación con el uso de un modelo experimental celular o animal.

5) Obtención de muestras. El método por el cual se obtenga la muestra analizar debe ser lo menos invasivo posible, por ésto la técnica por la cual se detecte al biomarcador debe poseer un elevado rendimiento.

Algunos ejemplos de los biomarcadores de diagnóstico identificados relacionados con Cáncer de mama son:

- El Ki67, es un antígeno nuclear presente en las fases activas del ciclo celular (G1, S, G2, M) y ausente en la fase G0.
- El PCNA, una proteína que juega un papel en el inicio de la proliferación celular incrementando la activiad de la ADN polimerasa. Se han detectado niveles elevados en las fases S-G2 y M, por lo que existe una correlación elevada entre la existencia de esta proteína con un elevado índice mitótico y una correlación negativa con la expresión de receptores de estrógenos (RE) y progesterona (RP), además de existir una correlación de la inmunoexpresión de PCNA y Ki67 con la existencia de metástasis ganglionar.
- Her-2/neu (c-erbB-2), un gen que codifica a una proteína homóloga para el receptor del factor de crecimiento epidérmico (EGFR). Este gen se encuentra amplificado en los carcinomas de mama y en otros tumores.
- p53 es un oncogen cuya alteración es el cambio genético más común identificado en tumores. Su producto proteico se encuentra relacionado con la regulación del ciclo celular en el paso de G1 a S, donde es el encargado de verificar que la célula cumpla con todos los requerimientos para continuar con el ciclo celular.

Para la identificación de estos biomarcadores podemos utilizar diferentes técnicas para purificarlas, separarlas e identificarlas. Entre ellas destacan geles SDS-PAGE, 2D y la espectrometría de masas principalmente (consultar Anexo I).

Capítulo 3. Objetivos.

3.1 Objetivo general.

 Identificar posibles biomarcadores de Cáncer de mama que presenten cambios postraduccionales como fosforilación y glicosilación en su estructura.

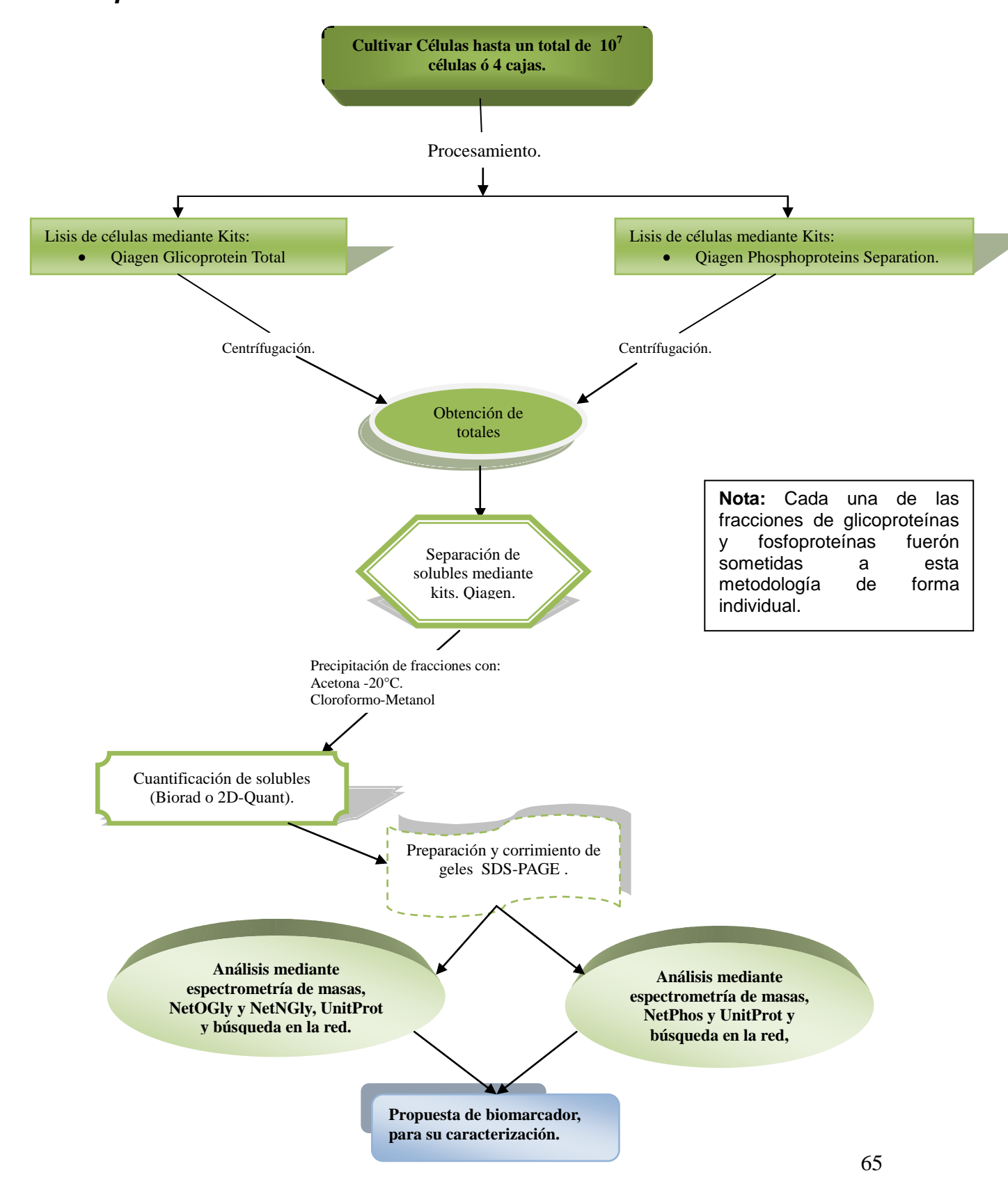
3.2 Objetivos particulares.

- Identificar la presencia de fosfoproteínas y glicoproteínas en e proteoma de líneas celulares de diversos tipos de Cáncer de mama.
- Identificar las proteínas que presentan estos cambios postraduccionales en su estructura.
- Proponer nuevos biomarcadores que colaboren con el diagnóstico de Cáncer de mama.

Capítulo 4. Hipótesis.

Existen cambios postraduccionales, los cuales funcionan como un interruptor para encender o apagar rutas metabólicas, ejemplos de éstos son la fosforilación y la glicosilación. Durante el desarrollo del cáncer muchas de estas vías son desreguladas, por lo que debe existir una diferencia en los niveles de fosforilación y glicosilación de proteínas para producir dicho desorden. Estas proteínas podrían ser propuestas como biomarcadores específicos de Cáncer de mama, los cuales podrían coadyuvar a un diagnóstico temprano de la enfermedad.

Capítulo 5. Metodología. Protocolo de análisis de Fosfoproteínas y Glicoproteínas.



5.1 Líneas celulares.

Se utilizaron 4 líneas celulares de Cáncer de mama (ATCC), de las cuales 3 provienen tejido canceroso y una de tejido sano (línea control). Algunas de sus características son:

- Línea celular MDA-MB 231. Células epiteliales de tejido mamario, adherentes, obtenidas de un derrame pleural de una paciente caucásica de 74 años de edad, diagnosticada con adenocarcinoma. Sus características principales son la expresión del factor epidermal de crecimiento (EGF) y el factor α transformador de crecimiento. Al igual que la línea MCF7 expresa el oncogen WNT7B, el cual codifica para algunas proteínas de señalización. Estas células fueron cultivadas en un medio Leibovitz's L-15 (ATCC No. de catálogo 30-2008, Apéndice II) a 37°C, en una atmósfera compuesta por 95% aire y 5% CO₂, hasta alcanzar una población de 1.5 X 10⁶ células por caja petri.
- Línea celular MFC7. Células epiteliales obtenidas de un derrame pleural de una paciente caucásica de 74 años, diagnosticada con adenocarcinoma, la cual conserva varias características de tejido mamario diferenciado como la capacidad de producir estradiol mediante la estimulación de receptores citoplásmicos para estrógenos, la capacidad de la formación de estructuras celulares y la expresión del oncogen WNT7B. El crecimiento de estas células es inhibido por TNF-α y la secreción de proteínas de unión a Factores de Crecimiento similares a la Insulina (IGFBP´s por sus siglas en inglés) BP-2; BP-4; BP-5, la secreción de éste factor y proteinas es modulada con un tratamiento contra estrógenos. Estas células se cultivaron en un medio DMEM (ATCC No. de catálogo 30-2002, Apéndice II) a 37°C, en una atmósfera compuesta por 95% aire y 5% CO₂, hasta alcanzar una población 3 X 10⁶ células por caja petri.

- Línea celular Hs578T. Son Células epiteliales originarias de tejido periférico con carcinoma ductal infíltrate, son no tumorogénicas y fueron tomadas de una paciente caucásica con carcinoma de 74 años de edad. Mediante microscopia electrónica se han observado agregados de proteínas granulares como caseína, desmosomas y un vascularizado retículo endoplasmático liso. Al igual que la línea Hs578BsT no posee receptores para estrógenos y/o para virus endógenos, además presenta una hipotriploidia. Estas células se cultivan en un medio DMEM (ATCC No. catálogo 30-2002, Apéndice II) adicionado con insulina bovina (0.01 mg/mL) y suero fetal bovino (concentración final 10%) en una atmósfera compuesta por 95% de aire y 5% de CO₂, a 37°C, hasta alcanzar una población de 4.5 x 10 ⁶ células por caja petri.
- Línea celular Hs578BsT. Esta línea celular se obtuvo de tejido periférico de la mama de una mujer caucásica de 74 años de edad. Son células fibroblásticas adherentes, en su origen quizá fueron mioepiteliales, ya que poseían microfilamentos y grupos de vesículas de pinocitosis similares a las observadas en células mioepiteliales *in vivo*, no presentan desmosomas, ni receptores de estrógenos pero si receptores a virus endógenos. Esta línea celular se propaga en un medio Hybri-Care (ATCC No. de catálogo 46-X) al cual se le adiciona EGF y suero fetal bovino hasta una concentración final del 10% a 37°C en una atmósfera compuesta por un 95% de aire y 5% de CO₂, hasta alcanzar un conteo de 3 X 10⁶ en cada caja o bien tener más de 5 semanas en crecimiento, debido a un lento crecimiento.

Una vez alcanzado el crecimiento de cada una de las líneas celulares se toma el mismo número de cajas para la separación de fosfoproteínas y glicoproteínas y se procede a las metodologías indicadas en cada uno de los manuales de uso de los kits comerciales.

Material.

- Lineas celulares
 - MDA-MB 231.
 - MCF7.
 - Hs578T.
 - Hs578BsT.
- Qiagen Phosphoproteins Separation.
- Qiagen Glicoprotein Total.
- Tubos eppendorf de 1.5 mL.
- Microcentrífuga.
- Amortiguador TBS 1X.
- Micropipetas 5, 20, 100, 200 y 1000 μL.

5.2 Protocolo para purificación de fosfoproteínas mediante Kits Qiagen.

- Recolectar 10⁷ células (4 cajas aproximadamente) en un tubo Falcon de 15 mL, centrífugar a 1500 rpm, dejar a 4°C (baño de hielo), procurando no dejar sin amortiguador las células.
- 2) Preparar dos soluciones (A y B) hasta llegar a una concentración de 0.25% de CHAPS en ambos:
 - 875 μL de solución stock CHAPS (10%w/v) a 35 mL de amortiguador de lisis Phosphoprotein (solución A).
 - 75 μL de solución stock CHAPS (10% w/v) a 3 mL de amortiguador de elución Phosphoprotein (solución B).
- 3) Adicionar una tableta de inhibidor de proteasa y 10 μL de solución stock de Benzonasa a 5 mL de solución A, mezclar para asi tener la solución C.
- Retirar el sobrenadante de las células, adicionar 5 mL de solución A y la solución C, resuspender el pellet con pipeteo gentil.
- 5) Incubar por 30 min a 4°C, mezclar brevemente con vortex cada 10 min para lisar las células bacterianas.
- 6) Después de 30 min, centrífugar a 10000 g a 4°C por 30 min, decantar.

- Cuantificar el sobrenadante.
- 7) Durante la centrífugación, preparar una columna de purificación de fosfoproteínas (Quiagen) separando la tapa superior, rompiendo el botón de cierre, y permitiendo el flujo. Adicionar 4 mL de solución A para equilibrar la columna permitiendo la salida de amortiguador.
- 8) Tomar un volumen de sobrenadante que contenga aproximadamente 2.5 mg de proteína total y ajustar su concentración a 0.1 mg/mL con la adición de solución A. Se puede obtener un volumen cercano a 25 mL.
- 9) Poner la mitad de solución obtenida en Paso 8 (12.5 mL) en el reservorio superior de la columna de purificación de fosfoproteínas (Quiagen), cuando casi todo el volumen esté dentro de la columna, adicionar la mitad restante de la solución y permitir el paso a través de la columna, recolectar la fracción y si se desea realizar un estudio de proteínas no fosforiladas.
- 10) Adicionar 6 mL de Solución A para lavar la columna, permitiendo el flujo a través de la columna, recolectar en un tubo y descartar.
- 11) Adicionar 500 µL de Solución B (amortiguador de elución) a la columna, y colectar las fracciones, repetir este pasó 6 veces, la mayor cantidad de fosfoproteínas se obtienen en las fracciones 3 y 4.
- 12) Determinar la concentración de las fracciones.
- 13) Proceder al análisis mediante electroforesis SDS-PAGE,

Notas.

➤ La lisis se lleva acabo a 4°C (baño de hielo). La purificación de proteínas se lleva acabo a temperatura ambiente, ya que el inhibidor de proteasa previene la degradación proteolítica por lo que no es necesario temperturas bajas además de que a 4°C disminuye el rendimiento de la purificación. No se debe utilizar amortiguador de fosfatasas para el lavado de células, porque puede interferir con la unión de fosfoproteína-resina se recomienda la utilización de TBS 1X Amortiguador pH 7.4 (Anexo II).

*El paso por la columna puede tardar aproximadamente 50 min, es necesario permitir la unión de fosfoproteínas y la columna. La purificación, elución, cuantificación pueden realizar temperatura ambiente (15-25°C), una vez

- cuantificadas las fracciones es necesario almacenarlas a -8°C.
- ➤ De requerirse más inhibidor de proteasa se recomienda el uso de "Phosphatasa Inhibitor Cocktail" de Sigma (No. de catálogo P2850).
- NO utilizar vanadato, molibdato o flúor, ya que interfiere en el proceso de purificación.

5.3 Protocolo para purificación de glicoproteínas mediante kits Qiagen.

- Colectar las células utilizando un gendarme. Centrífugar por 5 min a 450x g y lavar las células con amortiguador HEPES-based o TBS por duplicado (Anexo II). Almacenar a 4°C. Durante la centrífugación, por cada "spin colum" que vaya a utilizar, preparar:
 - Solución 1: 3 mL de el amortiguador de unión con 30 μL de solución inhibidora de proteasa (100X) y 300 μL de solución detergente.
- 2) Con pipeteo gentil, resuspender el pellet de células correspondientes a 1 X 10⁷ células en 1 mL de Solución 1. Incubar por 15 min a 4°C. Agitar brevemente cada 5 min.
- 3) Completar la ruptura de las células utilizando una aguja y jeringa, succionar el lisado lentamente en la jeringa, expulsar de tal forma que las células se estrellen en la pared del tubo, repetir ésto 11 veces. Centrífugar el lisado a 10000x g y 4°C por 20 min, decantar y colocar el sobrenadante en un baño de hielo.
- 4) Durante la centrífugación preparar las "spin columns" aflojando el tapón de la columna y colocarlo en un tubo colector de 2 mL. Centrífugar la "spin colum" por 2 min a 500 rpm.
- 5) Descartar el flujo que atravesó la columna y poner 500 μL de amortiguador de unión en la columna. Centrífugar por 2 min a 500 rpm en una microcentrífuga.
- 6) Descartar el buffer que atraviese la columna y aplicar 500 μL de la muestra obtenida en el paso 3. Incubar por un minuto y centrífugar por 2 min a 500 rpm.

- 7) Colectar y descartar las fracciones eluidas ya que no contienen fosfoproteínas
- 8) Repetir pasos 10 y 11 con toda la muestra obtenida en el paso 3.
- Adicionar 750 μL de Solución 1 para lavar la columna, centrífugar por 2 min a 500 rpm y descartar la fracción. Repetir este paso.
- 10) Durante la centrífugación preparar:
 - Solución 2: 1 µL de Inhibidor de proteasas, 10 µL de solución detergente a 100µL de amortiguador de elución ME.
 - Solución 3: 2 µL de Inhibidor de proteasas, 20 µL de Solución detergente a 200µL de amortiguador de elución SE.
- 11)Transferir la columna a un tubo de microcentrífuga limpio. Adicionar 100 μL de Solución 2, incubar por 1 min y centrífugar a 500 rpm
- 12) Repetir el paso anterior por duplicado pero con solución 3, recolectar la fracción y determinar la concentración por el método de Lowry.
- 13) Analizar mediante la electroforesis SDS-PAGE. Notas.
- ➤ La lisis se lleva a cabo a 4°C (baño de hielo), la purificación de proteínas es a temperatura ambiente, ya que el inhibidor previene la degradación proteolítica pues a 4°C disminuye el rendimiento de la purificación. NO se debe utilizar amortiguador de fosfatasas para el lavado de células ya que puede interferir con la unión de fosfoproteína-resina se recomienda la utilización de TBS 1X bufer pH 7.4 o HEPES 1X (Apendice II).
- NO utilizar vanadato, molibdato o flúor, ya que interfiere en el proceso de unión ConA-glicoproteína.

5.4 Precipitación de proteínas.

La precipitación tiene como finalidad la concentración, el desalado o eliminación de compuestos que pudieran intervenir en el análisis posterior de las fracciones de interés. En ésta se emplean una gran variedad de disolventes, los cuales deben de ser elegidos de acuerdo a las propiedades de las muestras en la precipitación de proteínas. Los disolventes más empleados son la acetona o bien el cloroformo en combinación con metanol.

Material biológico.

Fracciones obtenidas.

Materiales.

- Acetona (-20°C)
- Cloroformo.
- Metanol.
- Tubos de microcentrífuga (1.5 mL)
- Microcentrífuga.
- Desecador rotatorio.
- Micropipetas 5, 20, 100, 200 y 1000 μL.

5.4.1 Precipitación de fosfoproteínas.

Precipitación con Cloroformo-Metanol de las fracciones obtenidas.

Esta técnica se emplea para concentrar las muestras proteicas y eliminar componentes que intervengan con la electroforesis SDS-PAGE.

- 1) Colocar 150 µL de la muestra en un tubo eppendorf.
- Adicionar un volumen de cloroformo, 3 volúmenes de metanol y 4 de agua bidestilada.
- 3) Mezclar con vortex y centrífugar a 15000 rpm por 15 min.
- 4) Descartar con pipeta el sobrenadante.
- Lavar con cuatro volúmenes de metanol.
- 6) Centrífugar a 15 000 rpm por 10 min.

- 7) Descartar el sobrenadante con micropipeta. Dejar secar el pellet a temperatura ambiente.
- 8) De acuerdo a la técnica empleada reconstituir en el amortiguador requerido DIGE (7M Urea, 2M Tiourea, 30 mM Tris, 4% CHAPS pH 8.5). Almacenar a -60°C.

5.4.2 Precipitación de glicoproteínas.

Precipitación por acetona de las fracciones obtenidas.

Esta técnica se emplea para la concentración y desalado de las muestras proteicas obtenidas para su utilización en SDS-PAGE.

- 1) Adicionar cuatro volúmenes de acetona fría (-20°C) a la fracción de la proteína e incubar por 1 h a 4°C.
- Centrífugar por 10 min a 12 000g en una centrífuga a 4°C. Descartar el sobrenadante y secar a temperatura ambiente, no desecar el pellet ya que se dificulta su resuspensión.
- 3) De acuerdo a la aplicación, resuspender el pellet en el amortiguador requerido DIGE (7 M Urea, 2 M Tiourea, 30 mM Tris, 4% CHAPS pH 8.5). Almacenar a -60°C.

Una vez precipitadas las fracciones y reconstituidas en el amortiguador adecuado, se procede a la cuantificación de las mismas.

Nota. La preparación del amortiguador DIGE se encuentra en el Apéndice II.

5.5 Cuantificación de proteínas.

El ensayo empleado para la cuantificación proteica es una prueba colorimétrica que tiene como finalidad la determinación de proteína total en presencia de agentes reductores y detergentes, que está basada en el método Lowry (Lowry, 1951) el cual nos permite realizar una determinación cuantitativa de las proteínas. A la muestra se añade un reactivo que forma un complejo colorido con los residuos de tirosina de las proteínas, el color resultante es directamente proporcional a la cantidad de proteína presente, según la ley de Lambert-Beer.

El método consta de dos etapas: en la primera, los iones Cu²⁺ (medio alcalino) se unen a las proteínas formando complejos con los átomos de nitrógeno de los enlaces peptídicos. Estos complejos de Cu²⁺-proteína son de color azul claro y provocan el desdoblamiento de la estructura tridimensional de la proteína, exponiendo así los residuos de tirosina que van a participar en la segunda etapa de la reacción. El Cu²⁺ se mantiene en solución alcalina en forma de su complejo con tartrato. La segunda etapa es la reducción (medio básico) del reactivo de Folin-Ciocalteau por los grupos fenólicos de los residuos de tirosina presentes en la mayoría de las proteínas, actuando el cobre como catalizador. El principal constituyente del reactivo de Folin-Ciocalteau es el ácido fosfomolibdotúngstico de color amarillo, que al ser reducido por los grupos fenólicos da lugar a un complejo de color azul intenso (Figura 12).

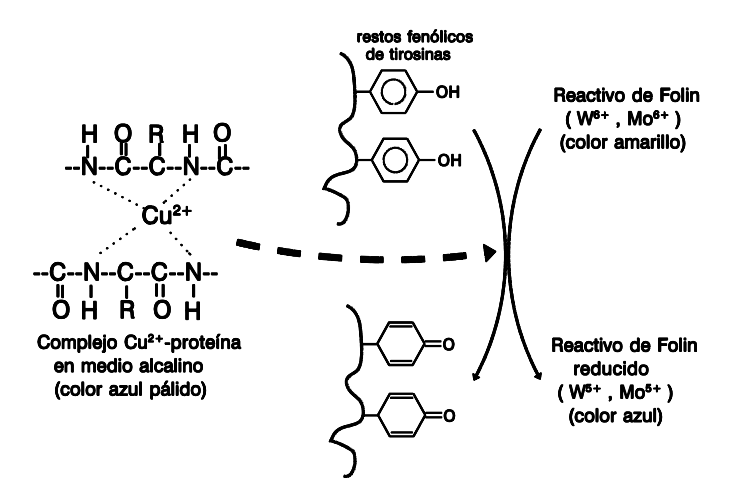


Figura 12. Reacción entre la proteína y lo reactivos en la reacción de Lowry (Lowry, 1951).

Materiales.

- Fracciones concentradas (fosfoproteína y glicoproteínas)
- Kit RC-DC Protein Assay de BIO-RAD.
- Microplacas de 96 carriles.
- Multidetector©.
- Centrífuga.

Protocolo para la cuantificación de proteína empleando el Kit RC-DC Protein Assay de BIO-RAD.

- Preparar un volumen adecuado de reactivo A´:
 Adicionar 20 μL de "S" por cada 1 mL de "A", cada carrilrequiere 25 μL de esta mezcla (estable por una semana, en caso de presentar precipitado calentar a 37° y mezclar).
- 2) Si existe un medio que interfería:
 - Agregar 25 μL de reactivo I.
 - Agregar 25 μL de reactivo II.
 - Centrífugar a 15 000 g durante 10 min.
 - Remover el sobrenadante.
- *Si las muestras no contienen detergente omitir el paso descrito.
 - Preparar una curva estándar de 0-14 μg de proteína a partir de BSA 2 mg/mL.
 - 4) Colocar en cada carril1-3 μL de muestra, 25 μL de reactivo "A'" y 200 μL de reactivo "B".
 - 5) Agitar en termomezclador e incubar por 15 min.
 - 6) Leer absorbancia a 620 nm.
- * Se utiliza el Detector de microplaca (DTX 880 Multimodetector Beckman Couter). Se debe de realizar el ajuste de pozo, éste ajuste se realiza calculando la diferencia del valor de absorbancia de la muestras menos el valor de absorbancia del carril vacio.

5.6 Preparación y tinción de geles SDS-PAGE.

Como ya se mencionó, la electroforesis SDS-PAGE se basa en la migración de proteínas cargadas a través de un campo eléctrico que va de negativo a positivo es utilizada como método analítico y es recomendada para muestras pequeñas (no mayores a 30 µg), el porcentaje (T%) empleado en este tipo de geles va del 5 al 15% (a mayor T menor es el tamaño de poro), siendo uno de los más empleados a 12.5%, con un espesor de 1mm.

Tabla 13. Preparación de geles SDS-PAGE al 12.5% (Qiagen, 2000).

Reactivos.	Gel separador	Gel concentrador.
Acrilamida-bis-Acrilamida. (3.0%-0.8%)	3.187 mL	801.18 μL
Amortiguador Tris pH 8.8 (separador).	2.499mL	
Amortiguador Tris pH 6.6 (concentrador).		1,5 mL
SDS 10%.	99.95 μL	60 μL
H₂O destilada.	4.0181 mL	3.603 mL
Persulfato de Amonio (PSA)	49.97 μL	30 μL
TEMED	8.567 µL	3.529 μL
Cantidad Total.	10 ML	6 mL

Una vez polimerizados los geles se colocan en una camara electroforética con amortiguador LAEMLI (Anexo II) y se realizan los siguientes pasos:

- Se toma un volumen de la muestra previamente cuantificada equivalente a 25 μg, depositándolo en un tubo de microcentrífuga y se mezcla en una relación 1:1 con el amortiguador de Carga (Anexo II).
- Se toma el volumen obtenido de la mezcla y se deposita en cada uno de los carriles, en uno de los carriles se agregan 7.5 µL de marcador de peso molecular. Una vez cargadas las muestras, se agrega amortiguador LAEMLI hasta cerrar el circuito.
- Las condiciones de corrimiento son baño de hielo (4°C) con un voltaje de 45
 a 120 Volts incrementando cada 10 min 15 Volts hasta llegar a 120 Volts, y
 deteniendo la generación del campo eléctrico cuando el frente de corrida se
 encuentre a 1 cm del borde inferior del gel.

Tinción de geles.

Los colorantes orgánicos (bromofenol, Azul de Coomassie, etc.) fueron los primeros en emplearse para la tinción de proteínas, ya que una rápida fijación, tinción y destinción son esenciales en las proteínas pequeñas para evitar difusión. Estos colorantes se emplean en muestras donde las proteínas son abundantes (mayor a 20 µg). La tinción con Azul de Coomassie puede emplearse para la determinación de proteínas cuando son abundantes, pero no para la determinación de pureza o de proteínas traza. La unión proteína-colorante es totalmente reversible en condiciones apropiadas. Existen diferentes tipos de tinción como la plata que más sensible (menor a 10 µg) y la cual produce una coloración carmelita o negra, aunque algunas proteínas tienen colores característicos como las lipoproteínas, que tienden a colorearse de azul y algunas glicoproteínas que aparecen amarillas, carmelitas o rojas.

Tinción con Azul de Comassie.

Materiales.

- Azul de Coomassie.
- Acetona al 5%
- Agua destilada
- Escáner.

Protocolo.

- Una vez detenida la corrida se coloca el gel en Azul de Comassie (Anexo II)
 por 12 o 24 h para garantizar con esto la tinción de las bandas.
- Una vez transcurrido el tiempo, se deposita el colorante en un recipiente para su almacenamiento y su posterior reuso, el gel es lavado con agua destilada hasta que el agua presente la menor cantidad de colorante.
- Se desecha por completo el agua del último lavado y se coloca el gel en ácido acético al 5% para evitar la difusión de los péptidos.
- El gel es escaneado y analizado por LABSCANER™ o GE Healthcore™.

5.7 Análisis de geles obtenidos.

Una vez escaneados los geles, se procede a un análisis comparativo entre los carriles de fosfoproteínas de cada una de las líneas celulares mencionadas. Se procede de la misma forma para las glicoproteínas, buscando en el análisis bandas que estén presentes en el control y ausentes en las demás líneas o viceversa, y/o bandas que se encuentren con una menor intensidad cuando se comparan el control y las líneas con cáncer ya que ésto puede indicar un cambio en la expresión proteica. Una vez seleccionadas las bandas, se procede a cortarla y extraerla, es depositada en un tubo de microcentrífuga de 1.5 mL y se procede a la digestión con tripsina.

5.7.1 Protocolo para la digestión de las bandas seleccionadas con tripsina.

Materiales.

- ✓ Acetonotrilo 50%- NH₄HCO₃ 50 mM.
- ✓ Acetonitrilo al 100%.
- ✓ DTT 10 mM.
- ✓ Iodoacetamida 100 mM.
- ✓ NH4HCO3 100 mM.
- ✓ Tripsina 25 ng/µL.
- Solución de extracción (50% (vol/vol) acetronitrilo-5%(vol/vol), ácido fórmico).
- ✓ TFA 0.1%
- ✓ 0.1%TFA-50% acetonitrilo.

Protocolo.

- Cortar bandas o manchas de proteínas (aprox. 1 mm³ o 2 mm³) con la punta de una micropipeta, colocarlos en tubos eppendorf, remover el exceso del líquido.
- 2) Agregar 500 μL de una solución de acetonitrilo 50%- NH₄HCO₃ 50 mM a cada uno de los cortes, incubar a 50°C durante 5 min.
- 3) Eliminar el sobrenadante y repetir el paso anterios hasta limpiar completamente el gel de Azul de Coomassie.

- 4) Agregar 100 µL de acetonitrilo al 100% y dejar deshidratar la piezas de los geles por 5 min a temperatura ambiente (hasta que se tornen de un color blanco opaco y reduzcan su tamaño). Repetir este procedimiento dos veces.
- 5) Remover el sobrenadante y secar completamente las piezas del gel a temperatura ambiente (tubo destapado cubierto con un paño para evitar contaminación).
- 6) Añadir 30 μL de DTT 10 mM. Dejar reaccionar por 30 min a temperatura ambiente.
- Remover cuidadosamente el DTT con la punta de una pipeta y descartar el sobrenadante.
- 8) Añadir 30 µL de iodoacetamida 100 mM. Dejar alquilar por 30 min a temperatura ambiente.
- Transcurrido el tiempo, remover el sobrenadante con la punta de una pipeta y descartarlo.
- 10) Añadir 200 μL de acetonitrilo 100% y dejar deshidratar las piezas por 5 min, remover el sobrenadante.
- 11) Rehidratar las piezas adicionando 200 μL de NH₄HCO₃ 100 mM, incubar por 10 min. Transcurrido el tiempo remover cuidadosamente el sobrenadante y descartar.
- 12) Añadir 200 µL de acetonitrilo 100% y dejar deshidratar las piezas durante 5 min. Remover y descartar el sobrenadante.
- 13) Secar completamente las piezas del gel como se indica en el paso 5 o bien en una centrífuga con vacío por 2 ó 3 min.
- 14) Añadir 15 μL (o hasta cubrir la pieza del gel) de una solución de tripsina (25 ng/mL) y dejar que se rehidraten por aproximadamente 10 min. Mezclar ocasionalmente con vortex.
- 15) Transcurrido el tiempo, remover el excedente de la solución de tripsina y añadir 20 μL de NH₄HCO₃ 50 mM (volumen suficiente para cubrir la pieza del gel. Incubar a 37°C por aproximadamente 12 h.
- 16) Retirar el sobrenadante y depositarlo en tubos de microcentrífuga

- etiquetados adecuadamente.
- 17) Añadir 20 μL de NH₄HCO₃ 50 mM a cada una de las piezas de los geles e incubar por 10 min, mezclando ocasionalmente con vortex. Colectar el sobrenadante y depositarlo en los tubos utilizados en el paso 16.
- 18) Añadir 20 μL de solución de extracción a las piezas de los geles, incubar por 10 min, mezclando ocasionalmete con vortex. Bajar la muestra al fondo del tubo centrífugando por 30 s. Colectar el sobrenadante en el tubo utilizado en el paso 16 (extracto total). Repetir este paso por triplicado, dejar incubar por 30, 20 y 10 min respectivamente.
- 19) Reducir el volumen del extractacto total a 20 µL evaporando en una centrífuga con vacío a temperatura ambiente.
- 20) Limpiar mediante el uso de las Zip-Tips C8 (Millipore).
- ◆ Checar el pH del extracto, que debe ser < 4, de no serlo bajar el pH con TFA 0.1% o con ácido fórmico.
- Adicionar la punta de la Zip-Tip con 10 μL de acetonitrilo al 100% (tomar y tirar por triplicado) y posteriormente con 10 μL de TFA 0.1% (tomar y tirar por triplicado).
- ◆ Tomar 10 µL de la muestra (bajar y subir por 50 veces).
- ◆ Lavar con TFA 0.1% la Zip-Tip (tomar y tirar por 3 veces).
- Eluir con 10 μL de una solución 0.1% TFA-50% acetonitrilo en un tubo de microcentrífuga los péptidos adheridos a la Zip.
- Ajustar el volumen de la muestra a 20 μL con ácido acético al 1% solo en caso necesario.
- Analizar las muestras obtenidas (fosfoproteínas y glicoproteínas) mediante LC/ESI-MS/MS.

5.7.2 Análisis de fracciones de fosfoproteínas y glicoproteínas mediante LC/ESI-MS/MS.

La ionización por electrospray (ESI/LC-MS/MA) es una técnica utilizada en espectrometría de masas para producir iones (ESI-MS). Es útil en la producción de iones a partir de macromoléculas, pues supera la propensión de éstas a fragmentarse cuando se ionizan.

El funcionamiento de esta técnica es el siguiente: se introduce la muestra disuelta en un disolvente volátil por un capilar de metal pequeño y cargado. La repulsión de las cargas eléctricas hace que el liquido salga del capilar formando una nube de pequeñas gotas (10 µm) altamente cargadas, el solvente se evapora y las moléculas del analito se aproximan, repelen y estallan las gotas cuando las cargas positivas se repelen. Este proceso se repite hasta que el disolvente se elimine y solo queden iones, los cuales son analizados por el detector.

Una vez analizado por el detector se entrega una liga a través del software o algoritmo de búsqueda MASCOT, la base de datos donde se nos indica el resultado, se nos entrega una lista de posibles proteínas las cuales se deben seleccionar con los siguientes criterios:

- 1) La proteína representada debe de ser de *Homo sapiens* (Figura 13).
- 2) Se deben presentar al menos 3 secuencias péptidicas, estas deben poseer un ion score mayor a 45 (Figura 13).
- 3) El general score debe ser mayor a 200 (Figura 13).
- 4) Las proteínas deben ser de un origen distinto a la epidermis ya que esto indica contaminación de las muestras (Figura 13).
- 5) Una vez cumplidos los cuatro puntos anteriores, las secuencias de las proteínas seleccionadas se ingresan a NetNGlyc, NetOGlyc y NetPhos, todas son herramientas obtenidas de Expasy.org. La primera es un programa capaz de predecir los sitios de glicosilación en las proteínas de eucariontes, en caso de que la proteína no posea sitios

para que la modificación se realice *in vivo* es indicado por el programa, estas mismas características están presentes en la segunda herramienta. Si los programas señalan que las modificaciones no son posibles *in vivo* se descartan como posibles biomarcadores glicosilados o fosforilados según sea el caso y si las modificaciones son capaces de realizarse *in vivo* son analizadas de acuerdo al punto 6 (Figura 14).

6) Una vez que se ha confirmado que las proteínas seleccionadas son de Homo sapiens, presentan al menos 3 secuencias peptidicas con un ion score mayor al 45 de probabilidad, tienen un general score a 200 y no son de origen epidermal se utiliza la base de datos UnitProtein para obtener información de las proteínas seleccionadas. Esta base de datos nos da varias caracteristicas importantes acerca de la proteína como: peso molecular, cantidad de aminoácidos que la componen, estructura tridimensional, conformación de la estructura secundaria. ubicación celular, entre otras. Además de realizarse una búsqueda de información bibliográfica de la relación existente entre la proteína propuesta y el Cáncer de mama o algún otro tipo de cáncer. Una vez obtenida esta información se decide si la protreína identificada es un posible candidato a un biomarcador obtenido por una proteómica comparativa, estas proteínas deben de ser caracterizadas y más estudiada para que pueda ser considerada como biomarcador de Cáncer de mama.

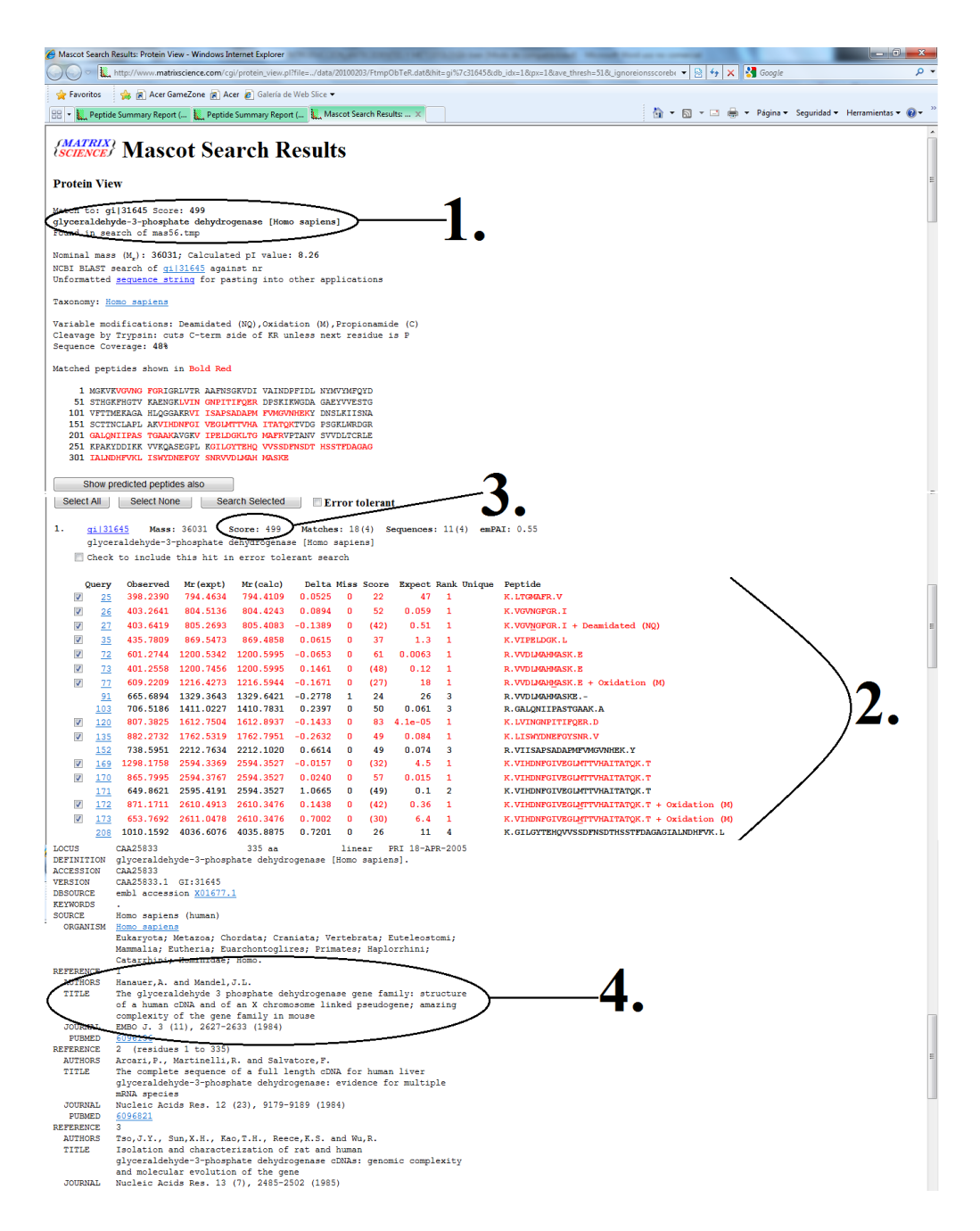


Figura 13. Ejemplo del listado del programa MASCOT en la identificación de péptidos. Se observa la pagina web a la cual nos lleva el link obtenido por el análisis mediante LS/ESI-MS/MS en la que se presentan los cuatro primeros criterios para proponer un biomarcador fosforilado o glicosiado.

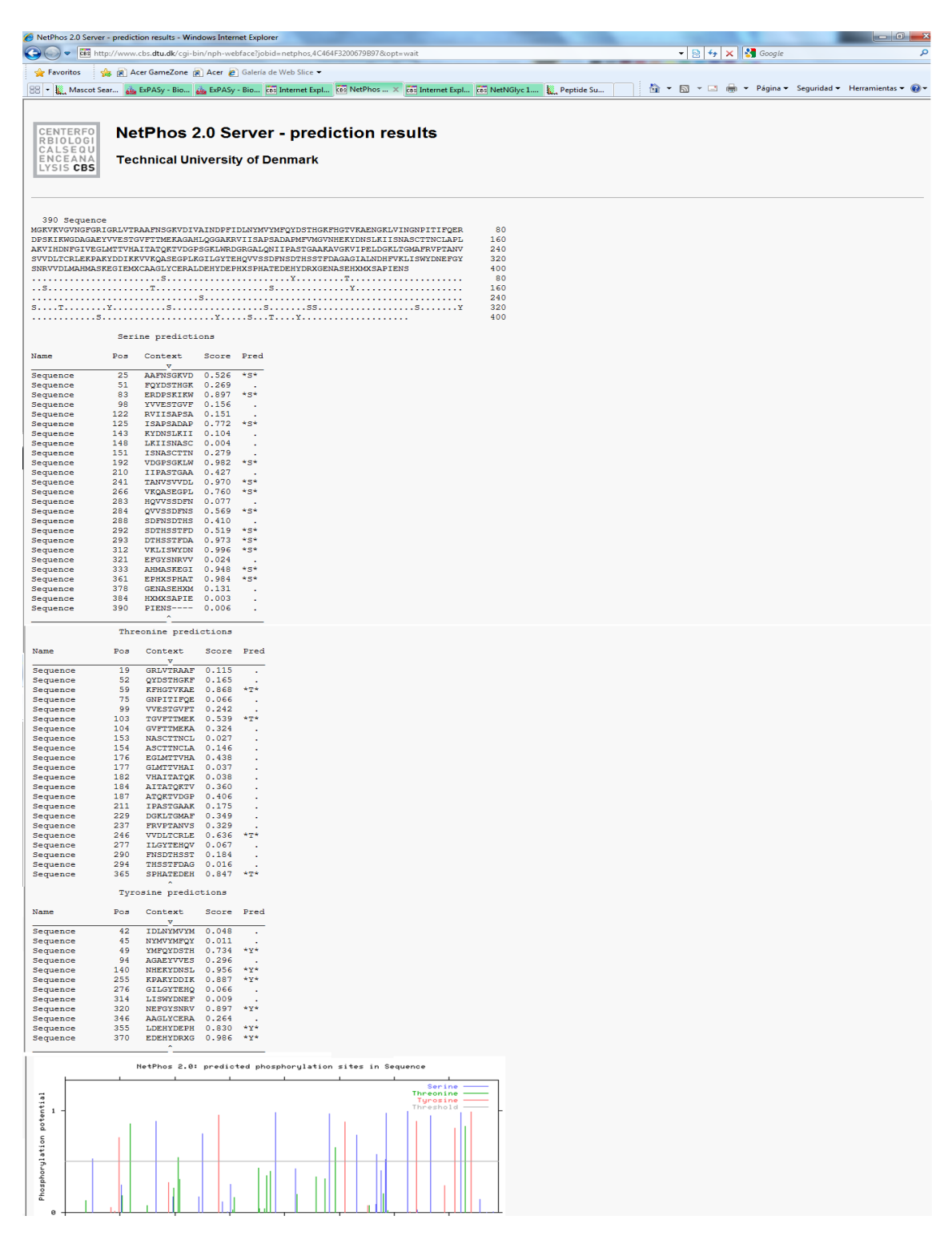


Figura 14. Ejemplo del un resultado obtenido mediante la herramienta NetPhos.Resultado positivo para fosforilación de glyceraldehyde-3-phosphate dehydrogenase, utilizando NetPhos ,en caso de obtener un resultado similar en proteínas seleccionadas se accede al paso 6 para confirmarla como posible biomarcador.

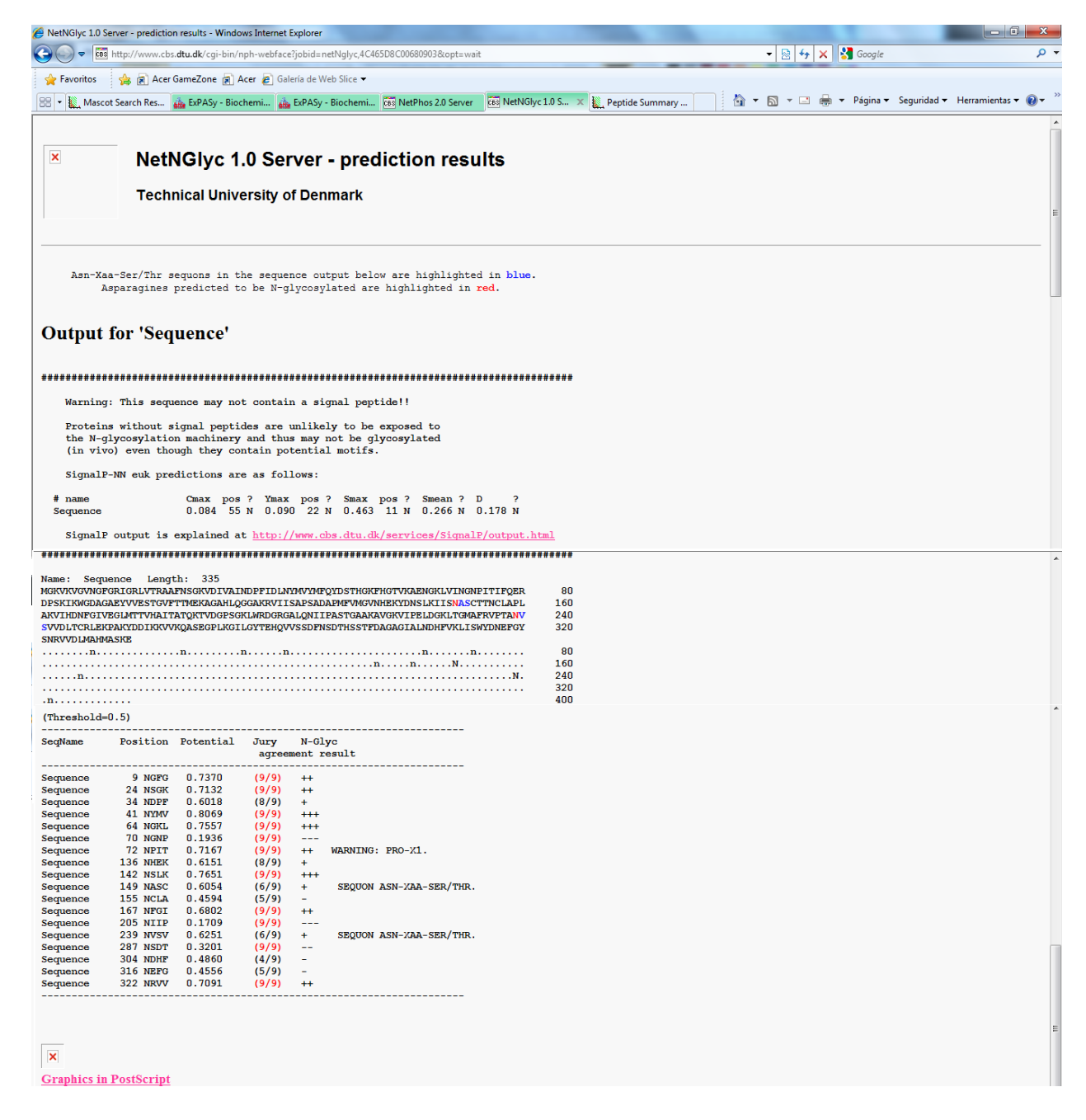


Figura 15. Ejemplo de un resultado obtenido mediante la herramienta NetGlyc. La figura es el resultado negativo de glyceraldehyde-3-phosphate dehydrogenase, de encontrarse este resultado similar en alguna proteína seleccionada se procede a descartarla.

Capítulo 6. Resultados.

6.1 Rendimiento de la extracción de fosfoproteínas y glicoproteínas de las líneas celulares MDA-MB 231, MCF7, Hs578T y Hs578BsT.

Inicialmente necesitábamos aislar glicoproteínas y fosfoproteínas de extractos totales de proteína obtenidas de células en cultivo para su posterior separación en geles de poliacrilamida. Las células fueron cultivadas de acuerdo a la metodología descrita hasta llegar a un conteo poblacional de 10⁶ células aproximadamente. Las cuales fueron procesadas de acuerdo a los protocolos de extracción. Una vez realizada la extracción se procedió a precipitar y concentrar la muestra de acuerdo a lo mencionado; es decir, en el caso de las fosfoproteínas se concentró la muestra utilizando las membranas incluidas para ultrafiltración, mientras que para las glicoproteínas se utilizó el protocolo de precipitación mediante acetona a -20°C. Ambas fracciones se reconstituyeron con un amortiguador de 10 mM Tris-Cl pH 7.4 y se cuantificó la proteína. El resultado se muestra en la Tabla 14, en ella podemos observar que la cantidad de proteína obtenida es inferior a la cantidad necesaria para los geles de 1D ó 2D, los cuales requieren de por lo menos 15 y 50 µg de proteína respectivamente. Debido a estos resultados se decidió modificar el protocolo de extracción, precipitación y concentración de las proteínas provenientes de las diferentes líneas celulares.

Tabla 14. Fracciones proteicas obtenidas de las líneas celulares MDA-MB 231, MCF7 y Hs578T por cromatografía de afinidad. Las fracciones fueron precipitadas con acetona a -20 °C y reconstituidas con amortiguador Tris-Cl pH 7.4.

Línea.	MDA-MB 231	MCF7	Hs578T
Total Glicoproteínas (µg)	482.5346	285.3744	411.7798
Glicoproteínas (µg)	3.8915	6.3293	0.3221
% Glicoproteinas	0.8065	2.2179	0.0782
Total Fosfoproteínas (µg)	553.6325	411.2536	320.1923
Fosfoproteínas (µg)	nd	nd	nd
% Fosfoproteínas	0.0000	0.0000	0.0000

*nd= no se detecto

En la segunda extracción se modificó el protocolo de precipitación. El protocolo empleado fue el de cloroformo-metanol con la finalidad de eliminar las sustancias contaminantes de los amortiguadores utilizados durante la cromatografía. Una vez precipitadas, las proteínas fueron resuspendidas en un amortiguador con 7 M Urea, 2 M Tiourea, 30 mM Tris, 4% CHAPS pH 8.5, debido a que este amortiguador posee una mayor capacidad de disolución.

El resultado del rendimiento de las fracciones obtenidas se muestra en la Tabla 15, en ella se observa que las cantidades de las fracciones finales de glicoproteínas y fosfoproteínas fueron cercanas a 50 µg, cantidad suficiente para realizar una separación electroforética por duplicado empleando geles de poliacrilamida SDS-PAGE.

Tabla 15. Fracciones proteicas obtenidas de las líneas celulares MDA-MB 231, MCF7, Hs578T, Hs578BsT por cromatografía de afinidad. Las fracciones fueron precipitadas con una mezcla de cloroformo-metanol y reconstituidas en amortiguador DIGE.

Línea.	MDA-MB 231	MCF7	Hs578t	Hs578BsT
Total Glicoproteínas (µg)	1626.4344	1317.2589	1551.1831	Nd
Glicoproteínas (μg)	55.3110	50.1428	56.8852	5.8878
% Glicoproteinas	3.4008	3.8066	3.6672	Nd
Total Fosfoproteínas (µg)	1162.6068	1276.6382	1190.3846	125.4266
Fosfoproteínas (µg)	52.5534	52.0014	59.6403	5.9514
% Fosfoproteínas	4.5203	4.0733	5.0102	4.7448

^{*}nd se detecto.

En el caso del control se obtienen rendimientos bajos, ya que el crecimiento celular utilizado fue menor al indicado en los procedimientos, pues esta línea celular tiene crecimiento muy lento. La población de células que se logró alcanzar en los cultivos era menor a 10⁴ células por caja petri, sin embargo se decidió procesarlas ya que si se dejaba incubando el cultivo más tiempo, las células entraban en el proceso de senescencia. A partir de varias extracciones se obtuvo la cantidad necesaria de fosfoproteínas y glicoproteínas para realizar un gel de SDS-acrilamida para ser teñido mediante la tinción de plata, la cual tiene una mayor sensibilidad.

6.2 Electroforesis en geles de poliacrilamida SDS-PAGE de las fracciones de fosfoproteínas y glicoproteínas de las líneas celulares MDA-MB 231, MCF7, Hs578T Y Hs578BsT obtenidas por cromatografía de afinidad.

Una vez que se obtuvieron glicoproteínas y fosfoproteínas en cantidades suficientes para un gel y su réplica, se cargó cada uno de los carriles con un volumen equivalente a 25 µg de proteína de cada una de las fracciones de fosfoproteínas (Figura 16) y de glicoproteínas (Figura 17). Se corrieron las fracciónes de proteínas totales, las fracciónes sin fosfoproteínas y las fracciónes de fosfoproteínas. Las primeras dos tienen la finalidad de monitorear que las columnas separen las proteínas adecuadamente y el carril de la fracción de fosfoproteínas es el carril del cual seleccionamos bandas. Se hizo un comparativo de bandas de las diferentes fracciones pertenecientes a la misma línea celular. En las tres fracciones se pudo observar que el patrón de bandas fue distinto y que a través de la separación cromatográfica se obtuvieron proteínas fosforiladas. Por ejemplo, en el caso de las fosfoproteínas de la línea Hs578T (carril 9), se presentó una banda con un peso molecular de aproximadamente 50 kDa. Esta banda se presentó en el extracto total y con fosfoproteínas, pero no en la fracción de la que se eliminó este tipo de proteínas por cromatografía.

En el caso de las glicoproteínas observamos un resultado similar al descrito en el gel de fosfoproteínas, por ejemplo existen bandas en los carriles de glicoproteínas de todas la líneas celulares por arriba de 250 kDa, las cuales se definieron mejor una vez que la muestra pasó por la columna de afinidad. A su vez existen bandas que no aparecieron en las fracciones de glicoproteínas, por ambas observaciones se concluye que la columna de afinidad retiene sólo cierto tipo de proteínas (glicoproteínas) y deja pasar a las que no poseen residuos de carbohidratos en su estructura.

De igual modo se cargó en otro gel un volumen equivalente a 5 µg para cada una de las fracciones en existencia del control. Este gel fue teñido con nitrato de plata y se presenta como una tinción negativa (opción incluida en el programa LABSCANER™) para tener una mayor visualización de las bandas obtenidas. Sólo se corrieron las fracciones de fosfoproteínas, glicoproteínas y totales debido a no

contarse con las demás fracciones, ya que al concentrarse y disolverse en amortiguador no se detectó la proteína (Figura 18).

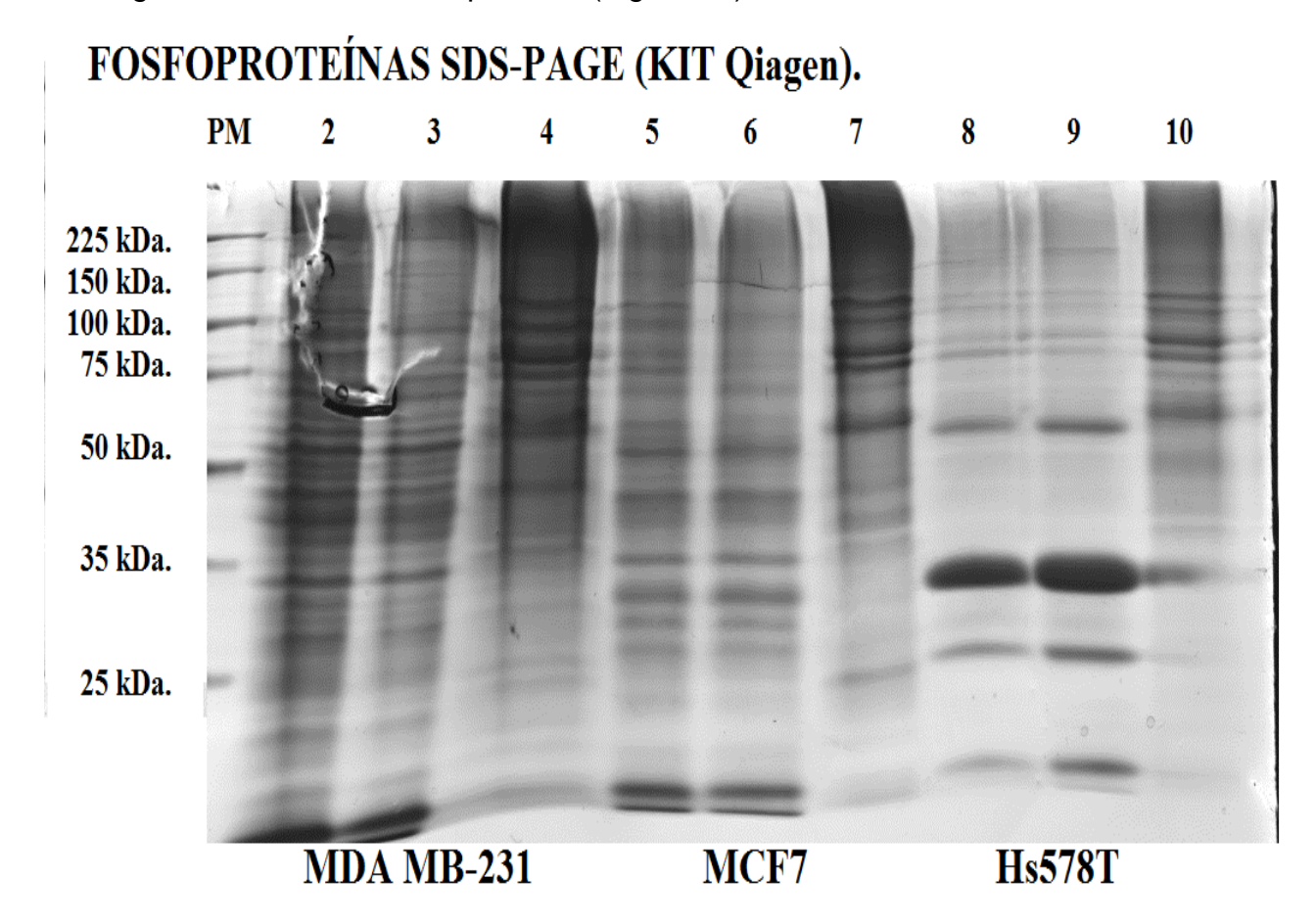


Figura 16. Gel SDS-PAGE al 12.5% de las fracciones proteicas obtenidas mediante el protocolo de extracción de fosfoproteínas de las líneas celulares MDA-MB 231, MCF7 y Hs578T. Cada carril contiene 25 μg de proteína. El gel se corrió a 120 Volts por 4 h a 4 °C, fue teñido con Azul de Coomassie y digitalizado con LABSCAN™. Los carriles 2, 5 y 8 son las fracciones totales. Los carriles 4, 7 y 10 son las fracciones sin fosfoproteínas y los carriles 3, 6 y 9 son las fracciones con fosfoproteínas de las líneas celulares.

GLICOPROTEÍNAS SDS-PAGE (KIT Qiagen)

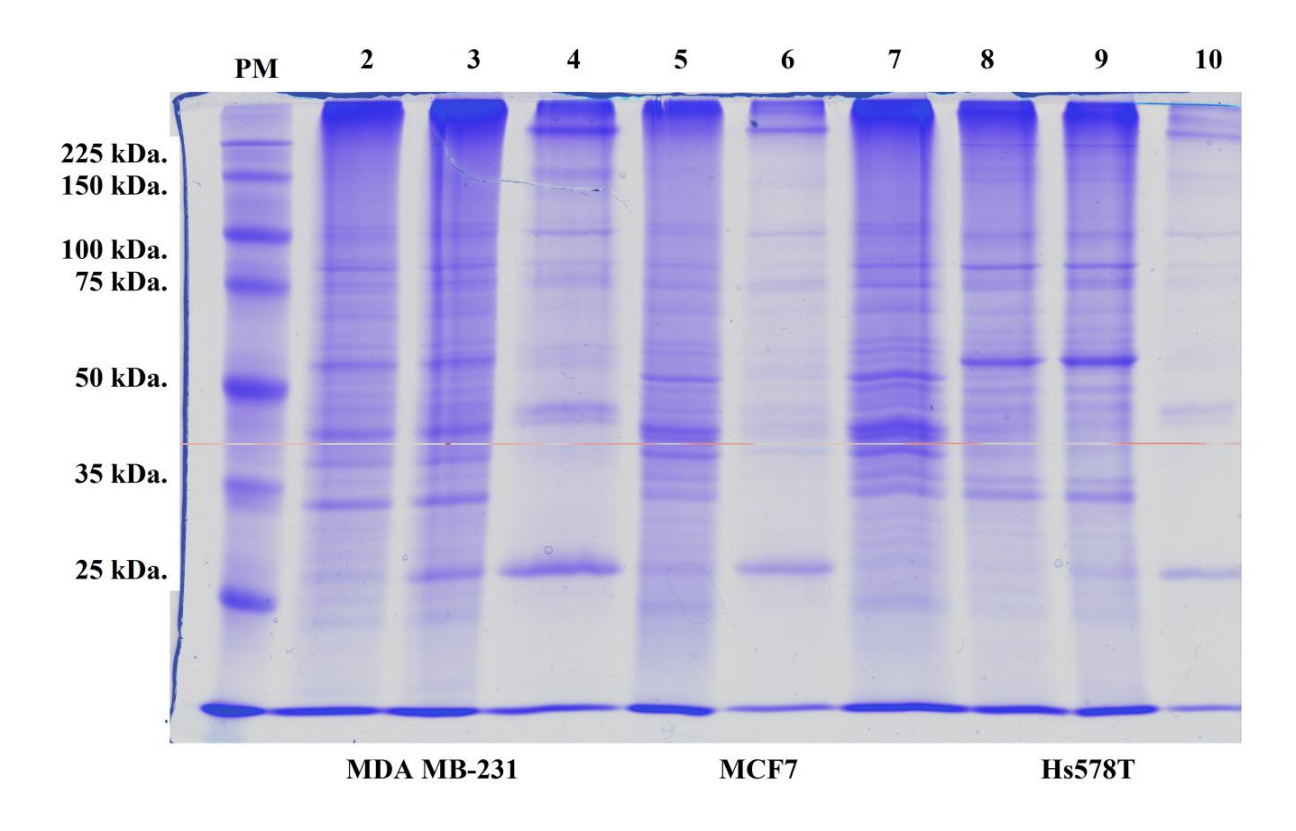


Figura 17. Gel SDS-PAGE al 12.5% de las fracciones proteicas obtenidas mediante el protocolo de extracción de glicoproteínas de las líneas celulares MDA-MB 231, MCF7 y Hs578T.

Cada carril contiene 25 μg de proteína. El gel se corrió a 120 Volts por 4 h a 4 °C, fue teñido con Azul de Coomassie y digitalizado con LABSCAN™. Los carriles 3, 5 y 9 son las fracciones totales. Los carriles 2, 6 y 7 pertenecen a las fracciones sin glicoproteínas y los carriles 4, 6 y 10 son las fracciones de glicoproteínas de las

líneas celulares.

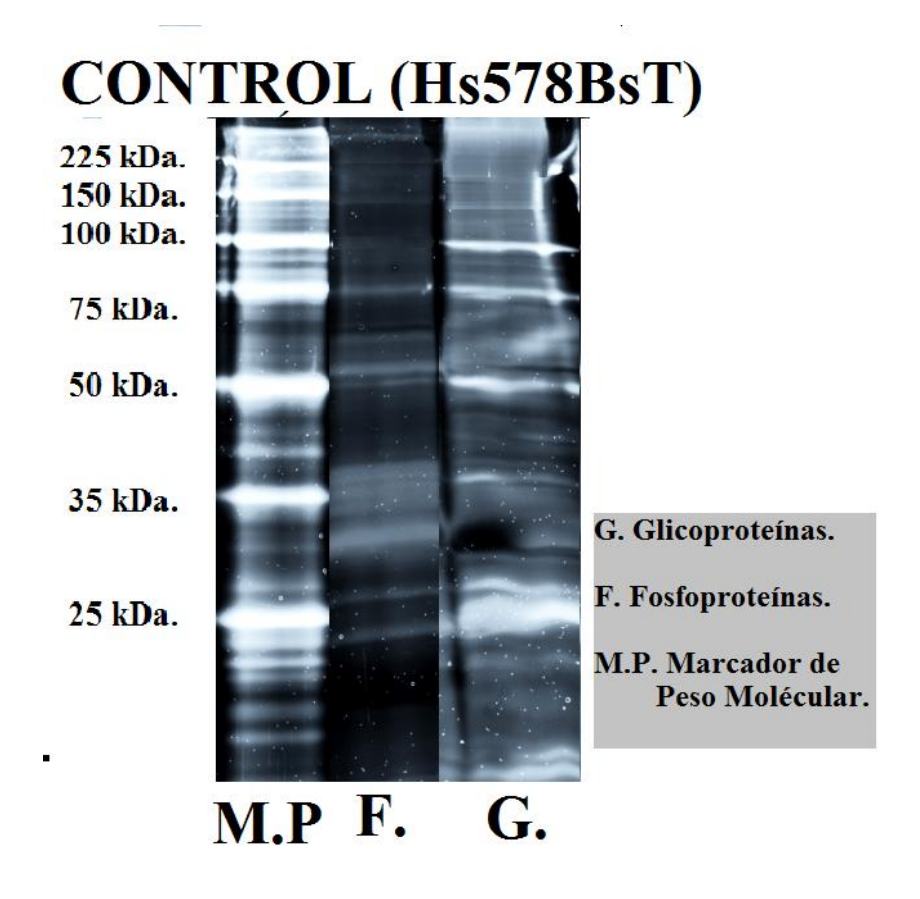


Figura 18. Gel SDS-PAGE al 12.5% de las fracciones obtenidas mediante los protocolos de extracción de glicoproteínas y fosfoproteínas de la línea celular Hs578BsT. Los carriles del gel se cargaron con un volumen equivalente 5 μg de las fracciones que contienen fosfoproteínas y glicoproteínas. El gel se corrió a 120 Volts por 4 h a 4 °C, fue teñido con nitrato de plata y digitalizado con LABSCAN™.

6.3 Comparación del patrón de bandas de las fosfoproteínas y glicoproteínas de las líneas celulares MDA-MB 231, MCF7 Y Hs578T en contra del patrón de bandas de las fosfoproteínas y glicoproteínas de la línea celular control Hs578BsT.

Se compararon las fracciones de fosfoproteínas y glicoproteínas de la línea celular control (Hs578BsT) con las de las líneas celulares MDA-MB 231, MCF7 Y Hs578T. Se seleccionaron únicamente las bandas que se encontraron presentes en las líneas celulares MDA-MB 231, MCF7 Y Hs578T y ausentes en la línea celular Hs578BsT (control).

6.3.1 Fosfoproteínas.

Se tomaron cada una de las imágenes correspondientes a las fracciones de fosfoproteínas y se compararon, de esta compración se identificaron 4 bandas que no se presentaron en el control. Estas bandas tienen los siguientes pesos moleculares (Figura 19):

- 1) Cercana a los 50 kDa.
- 2) De 100 kDa
- 3) Entre los marcadores de 75 y 100 kDa.
- 4) Entre los marcadores de 100 y 150 kD.

6.3.2 Glicoproteínas.

De acuerdo a la teoría, el tipo más común de glicosilaciones *in vivo* en los organismos son las O-glicosilaciones o bien las glicosilaciones tipo mucina, las cuales tienen un peso molecular mayor a 150 kDa. Los oligosacáridos que se adhieren a las glicoproteínas afectan directamente el peso de éstas debido a su gran tamaño, es por esta razón que esperábamos obtener diferencias entre las bandas con pesos moleculares elevados (mayores de 150 kDa), pesos similares al de las mucinas, ya que son las glicoproteínas que se han relacionado con el cáncer. En los geles que se corrieron observamos bandas arriba y debajo de 150 kDa, la observación de bandas menores a 75 kDa la acreditamos, ala degradación de estas glicoproteínas originalmente de un mayor peso molecular, y que se fragmentaron por el tratamiento de obtención. La otra opción es que el carbohidrato que tienen unido no sea de peso molecular elevado. Esto lo verificaremos en los resultados de masas mediante la técnica de LS/ESI-MS/MS (Electrospray). Los pesos de las bandas señaladas son los siguientes:

- 1) Entre 25 y 35 kDa.
- 2) 50 kDa.
- 3) Entre 50 y 75 kDa.
- 4) 150 kDa.

- 5) Mayor a 225 kDa.
- 6) Mayor a 225 kDa.
- 7) 75 kDa.

FOSFOPROTEÍNAS (Qiagen)

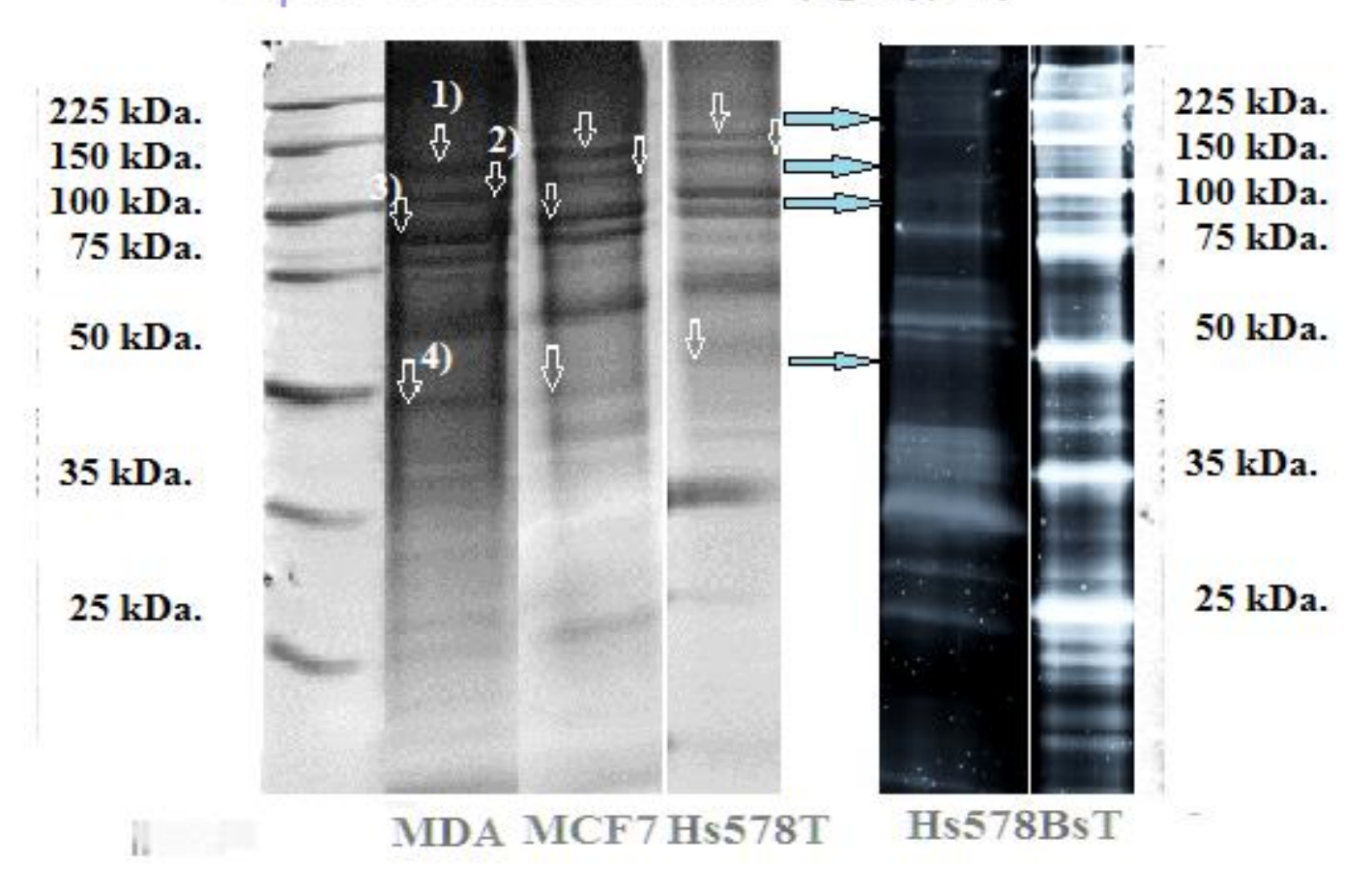


Figura 19. Bandas de fosfoproteínas de las líneas celulares MDA-MB 231, MCF7, Hs578T y Hs578BsT (línea celular control). En la figura se señalan cuatro bandas que se encuentran presentes en las líneas celulares MDA-MB 231, MCF7 y Hs578T, pero que están ausentes en la línea control Hs578B. Estas bandas fueron extraídas, digeridas y analizadas mediante LC/MS-MS/MS (Electrospray).

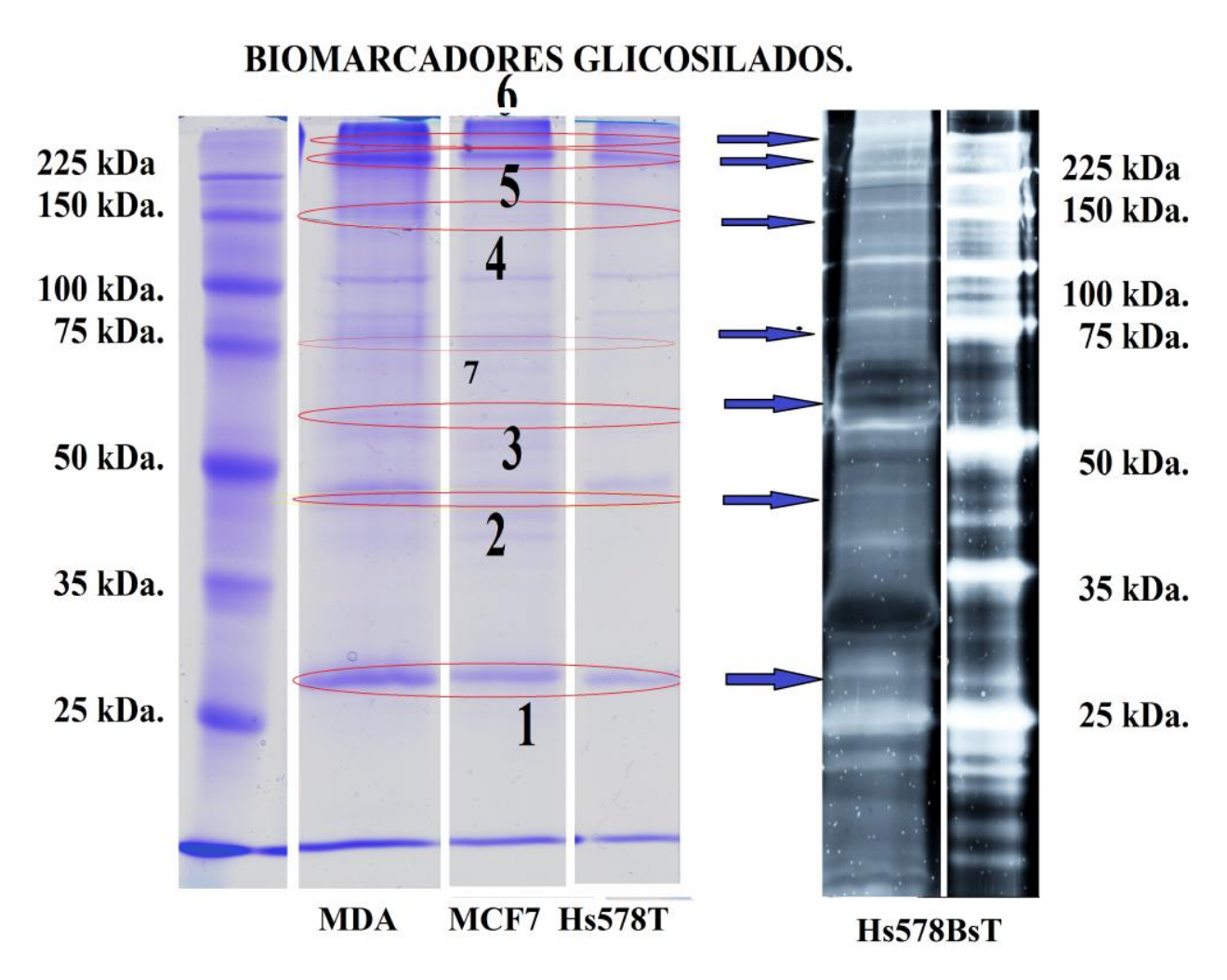


Figura 20. Bandas de glicoproteínas de líneas celulares MDA-MB 231, MCF7 Y Hs578T y Hs578BsT (línea celular control). En la figura se señalan siete bandas que se encuentran presentes en las líneas celulares MDA-MB 231, MCF7 y Hs578T, pero que están ausentes en la línea control Hs578BsT. Estas bandas fueron extraídas, digeridas y analizadas mediante LC/MS-MS/MS (Electrospray).

6.4 Resultados del análisis por LC/MS- MS/MS de las proteínas seleccionadas de los geles corridos con las fracciones obtenidas de la extracción de glicoproteínas y fosfoproteínas.

Una vez que se seleccionaron las bandas y se procesaron por LS/ESI-MS/MS, se entregó una hoja con los resultados del análisis por espectrometría de masas como la que se presenta en las Figuras 21-23 y se hace una selección de las proteínas identificadas de acuerdo a los puntos indicados en la metodología. La serie de cuadros (Figuras 21-23) corresponde a la banda número 1 de la fracción de fosfoproteínas. La Figura 23 ejemplifica una banda descartada por no posser un general mayor a 200, ni al menos 3 secuencias peptídicas con un ion score mayor a 45.

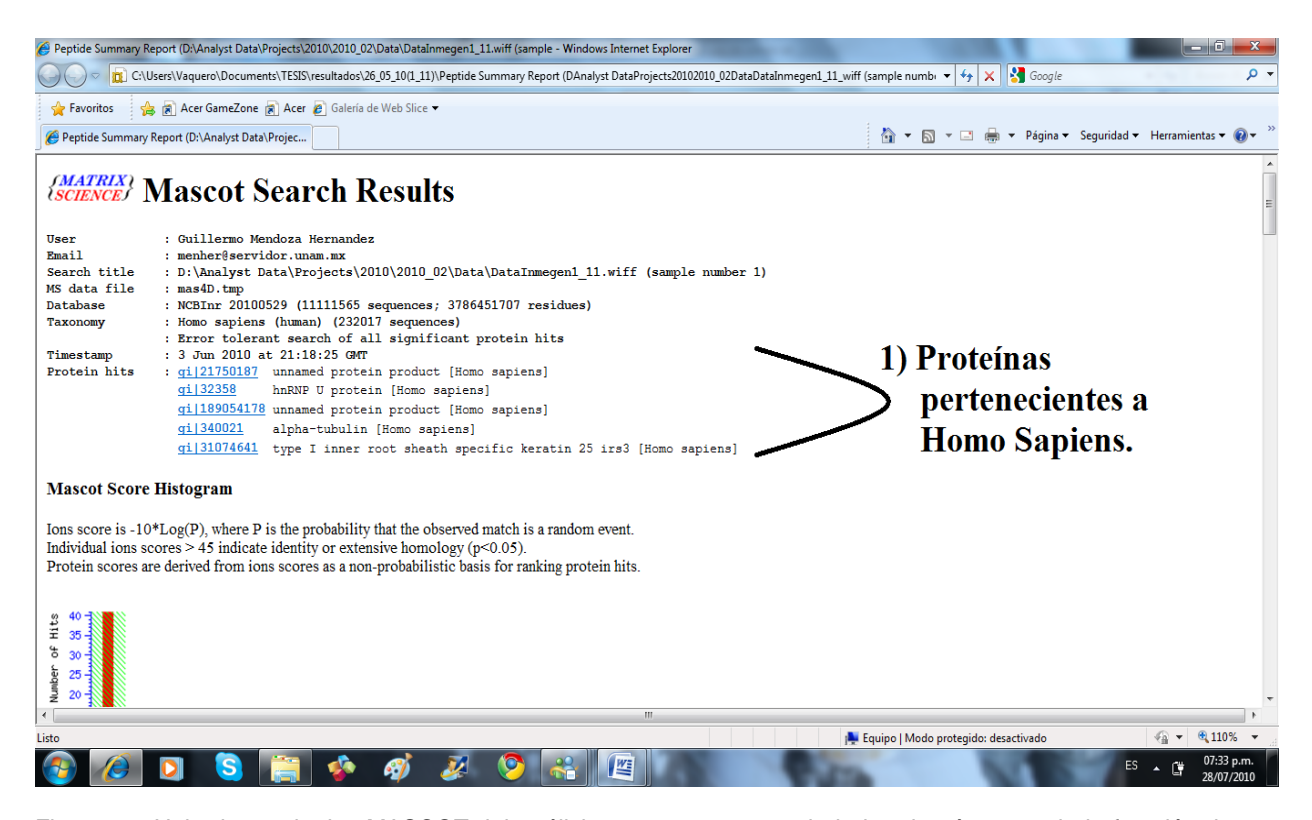


Figura 21. Hoja de resultados MASCOT del análisis por LS/ESI-MS/MS de la banda número 1 de la fracción de fosfoproteínas (1). En la Figura se muestra el resultado de la Nucleoproteína y como es que cumple con el primer punto establecido para la selección de posibles biomarcadores. Este punto se refiere a que las proteínas pertenezcan a *Homo sapiens*.



Figura 22. Hoja de resultados MASCOT del análisis por LS/ESI-MS/MS de la banda número 1 de la fracción de fosfoproteínas (2). En la figura se muestran los siguientes dos puntos necesarios para elegir un posible biomarcador. Estos son un general score mayor a 200 y 3 secuencias peptídicas con un ion score mayor a 45.

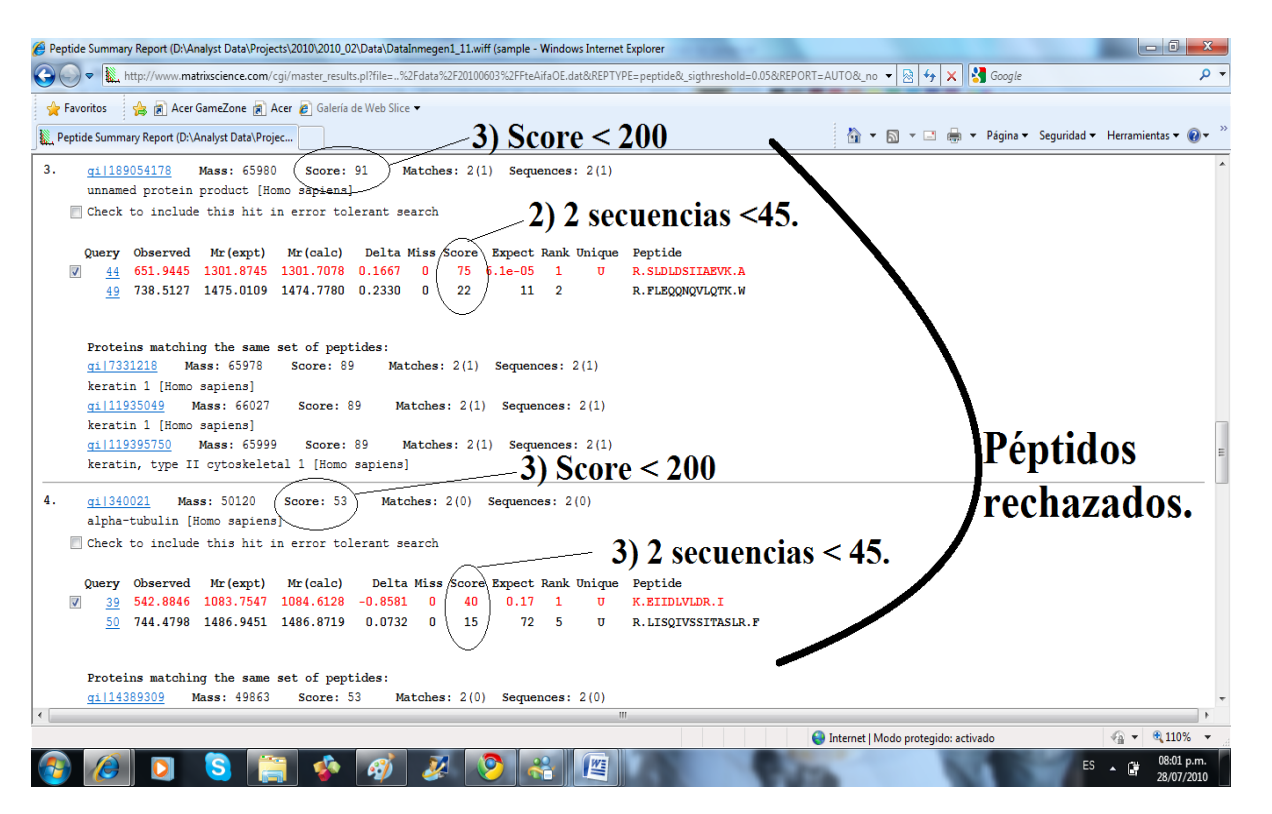


Figura 23. Hoja de resultados MASCOT de muestras identificadas como Queratina-1 y α-tubulina, En la figura se muestran resultados del análisis por LC/MS-MS/MS que fueron rechazados por no presentar un general score mayor a 200, ni poseer 3 secuencia peptídicas con un ion score mayor a 45.

Una vez seleccionada la Nucleolina (de acuerdo a los resultados de LC/MS-MS/MS), fue analizada mediante NetPhos, la cual es una herramienta diseñada para calcular la probabilidad de los residuos de aminoácidos que se pueden fosforilar (sitios de fosforilación). La herramienta entrega una página de resultados que se compone de 5 columnas: nombre de la proteína, residuo (T o S), posición, G-score, I-score, los cuales tiene un rango de 0 a 1, la columna de respuesta (Y/N). Al final hay una gráfica en donde existe una línea basal o umbral acompañada de una serie de picos correspondientes a los residuos de aminoácidos provenientes de las proteínas analizadas. Los picos que superan el umbral son los residuos capaces de fosforilarse (Figura 24). Las dos herramientas que se emplearon para la detección de sitios de glicosilación (NetOGlyc y NetNGlyc) dieron los mismos resultados.

Los puntos que utilizan las herramientas (NetPhos, NetOGlyc y NetNGlyc) para predecir si es posible o no un cambio postraduccional (fosforilación y glicosilación) son los siguientes:

- ➤ Si el G-score es >0.5, el residuo es capaz de fosforilarse o glicosilarse. Entre más elevado el puntaje, el porcentaje de confiabilidad es mayor.
- ➤ Las treoninas con un G-score < de 0.5 pero un I-score >0.5 fueron tomadas como posibles vecinos de una glicosilación o fosforilación, está modificación no está a más de 10 residuos de aminoácidos de distancia.
- Si la secuencia no es susceptible a este cambio postraduccional, el programa lo informa.
- Al final del análisis se reporta cada uno de los scores (puntajes) totales y los mayores a 0.6 son reportados como posibles sitios de fosforilación o glicosilación en la cadena polipeptídica.

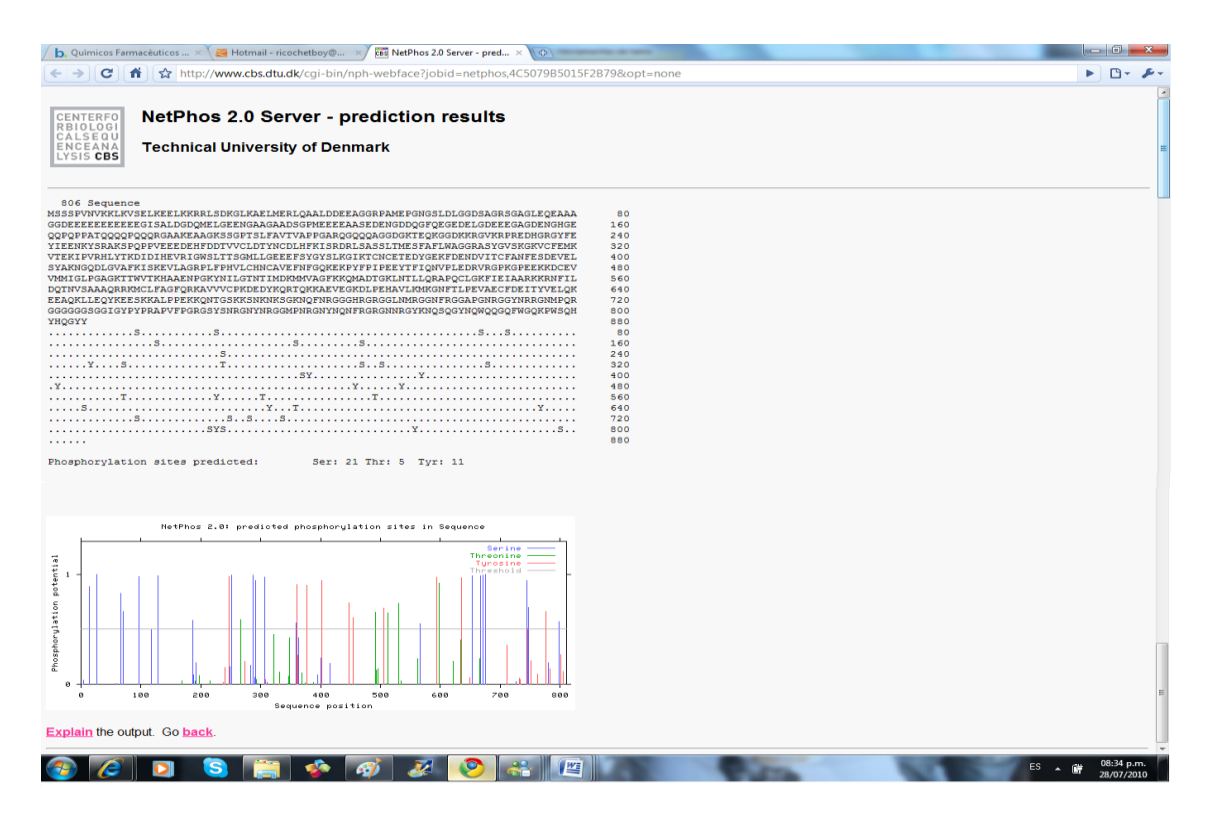


Figura 24. Hoja de resultados de NetPhos de la banda identificada como Nucleolina. En la figura observamos un resultado positivo obtenido mediante el análisis con NetPhos. Esta herramienta bioinformática nos indica el número del péptido y los péptidos que pueden sufrir una o más fosforilaciones. Los resultados se aprecian en la Ginferior de la figura, los picos que rebasan la línea media o umbral son los residuos de aminoácidos que pueden fosforilarse.

6.5 Selección final de posibles biomarcadores fosforiladas.

En la hoja de informe que entrega la herramienta bioinformática (NetPhos) se nos presenta la cantidad de fosforilaciones que pueden ocurrir a lo largo de la secuencia peptídica, el sitio y la probabilidad de que ésta ocurra. Esto lo podemos observar en la gráfica que se nos presenta al final de la hoja de resultados; si bien este programa es capaz de señalar varios posibles lugares, es necesario aclarar que el hecho de que exista una predicción positiva, no es que la proteína necesariamente se fosforile *in vivo*. Ya que el proceso de fosforilación no sólo se lleva a cabo si existe afinidad por parte de los residuos de aminoácidos hacia un grupo fosfato; sino también por la estabilidad de la proteína, la existencia de enlaces no covalentes y covalentes, la estructura tridimensional de la proteína y a las necesidades de la célula. Para cada proteína identificada se realiza un análisis idéntico en el cual mostramos el número de aminoácidos que son susceptibles a fosforilarse y la cantidad por residuos, es decir, cuántos son serinas (S), treoninas(T) o tirosinas(Y).

La Tabla 16 nos muestra que todas las proteínas seleccionadas fueron susceptibles a fosforilarse, este resutado lo corroboramos en la base de UnitProtein. Base de datos que contiene información básica de las proteínas estudiadas. De esta base de datos tomamos las siguientes características de cada una de las proteínas seleccionadas:

- 1) El número total de aminoácidos que componen la cadena peptídica,
- 2) La ubicación celular.
- 3) Funciones principales en el metabolismo de la célula.
- 4) Las PTM (Postraductional Modifications) a las cuales son sometidas in vivo.

Siendo el último criterio la prueba confirmatoria de que toda la metodología ha sido empleada correctamente, es decir que la separación cromatográfica, la identificación por LC/ESI-MS/MS, y la utilización de las herramientas bioinformáticas encaminadas al análisis proteómico dieron como resultado las proteínas enlistadas en la Tabla 16.

Tabla 16. Fosfoproteínas identificadas como posibles biomarcadores mediante LC/MS-MS/MS (Electrospray) de las líneas celulares MDA-MB 231, MCF7 y Hs578T mediante proteómica comparativa.

Banda.	Peso molecular (kDa).	Proteína.	Analisis con NetPhos. (Expasy.org)	General score de MS	Número de péptidos identificados.
1 150.	150.	nucleolin [Homo sapiens] gi 189306	Posibles sitios de fosforilación: Ser: 28 Thr: 17 Tyr: 4	408	13(3).
		hnRNP U protein [Homo sapiens] gi 32358	Posibles sitios de fosforilación: Ser: 21 Thr: 5 Tyr: 11	370	10 (3)
2	2 150	heat shock protein HSP 90-beta [Homo sapiens] gi 20149594	Posibles sitios de fosforilación: Ser: 21 Thr: 8 Tyr: 11	561	17(4)
		heat shock protein HSP 90-alpha isoform 2 [Homo sapiens] gi 154146191	Posibles sitios de fosforilación: Ser: 21 Thr: 10 Tyr: 10	357	12(3)
3	100	protein disulfide- isomerase A4 precursor [Homo sapiens] gi 4758304	Posibles sitios de fosforilación: Ser: 19 Thr: 8 Tyr: 8 No se han reportado fosforilaciones in vivo.	1376	40(18)
4	75	protein disulfide- isomerase precursor [Homo sapiens] gi 20070125	Posibles sitios de fosforilación: Ser: 13 Thr: 6 Tyr: 4 No se han reportado fosforilaciones in vivo.	946	28 (7)
		Chain A, Human Protein Disulfide Isomerase, Nmr gi 159162689	Posibles sitios de fosforilación: Ser: 1 Thr: 1 Tyr: 1 No se han reportado fosforilaciones in vivo.	315	7(3)

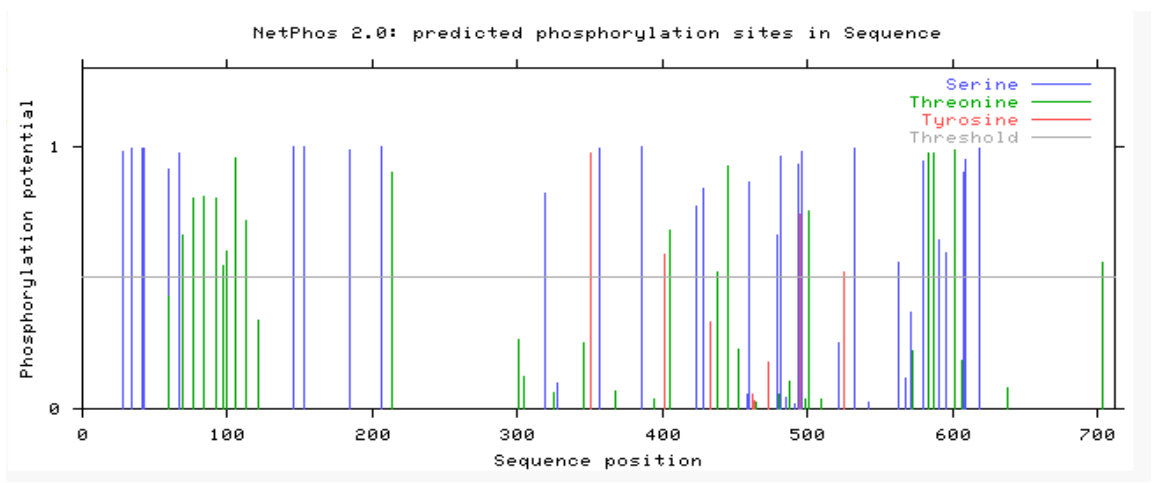


Figura 25. Sitios de fosforilación de la nucleolina (NetPhost, Expasy.org).

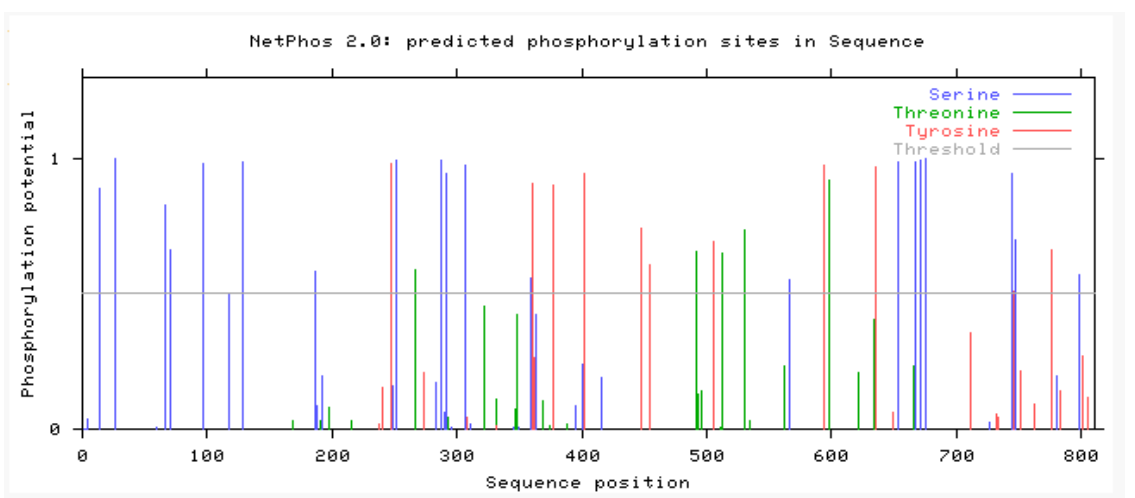


Figura 26. Sitios de fosforilación de la Ribonucleoproteina U (hnRNP U) (NetPhost, Expasy.org).

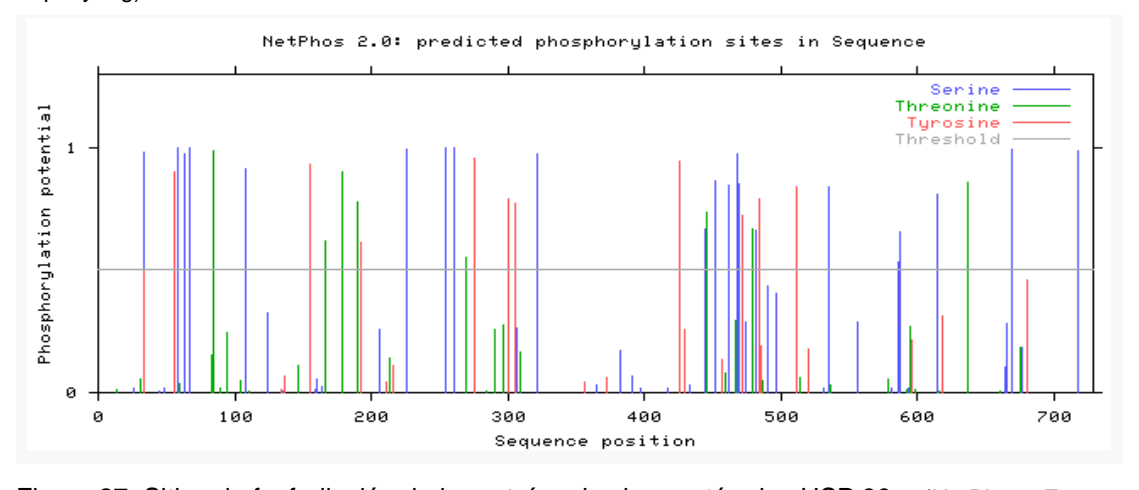


Figura 27. Sitios de fosforilación de la proteína de choque térmico HSP 90-α (NetPhost, Expasy.org).

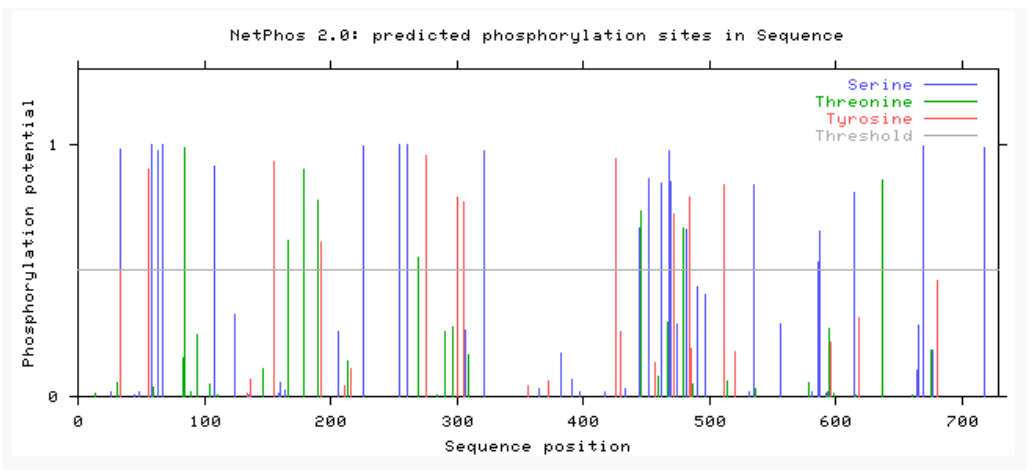


Figura 28. Sitios de fosforilación de la isoforma 2 de la proteína e choque térmico HSP 90-β (NetPhost, Expasy.org).

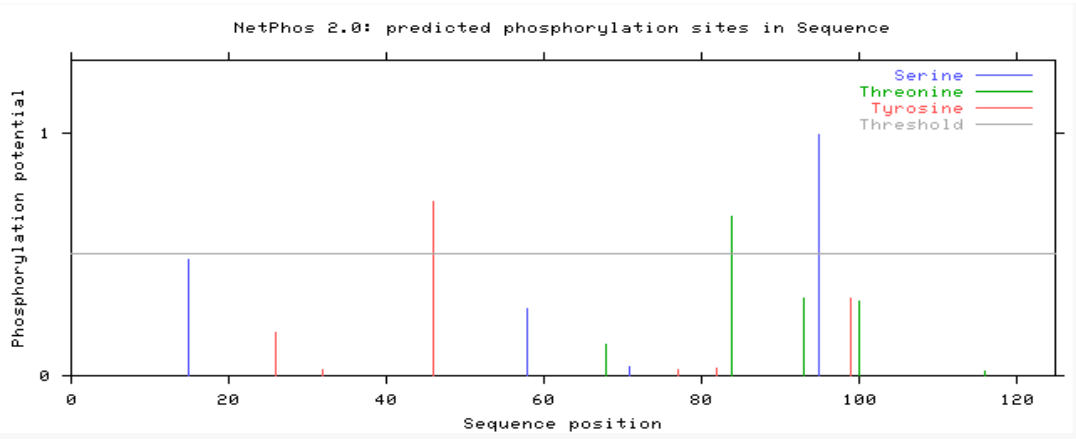


Figura 29. Sitios de fosforilación de disulfuro Isomerasa (NetPhost, Expasy.org).

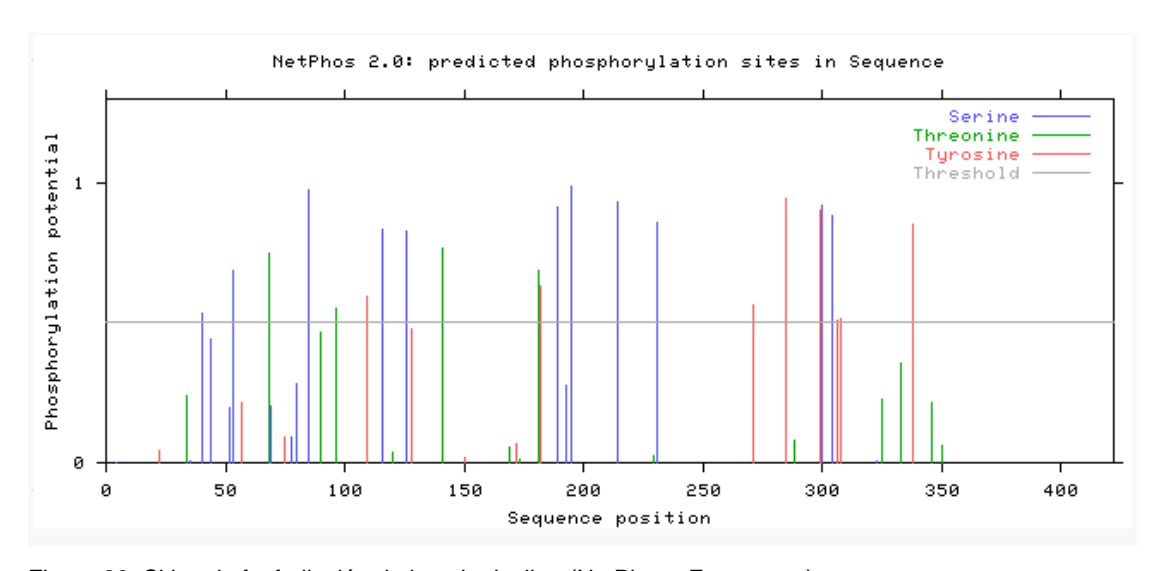


Figura 30. Sitios de fosforilación de la calreticulina (NetPhost, Expasy.org).

6.7 Selección final de posibles biomarcadores glicosilados.

Se repitió el mismo procedimiento empleado en la selección de biomarcadores fosforilados con las bandas seleccionadas de glicoproteínas. Solamente se cambió la herramienta utilizada, en lugar de utilizar Netphos se emplearon dos herramientas, la primera fue NetNGlyc, capaz de deducir *N*-glicosilaciones en secuencias peptídicas de humano y la segunda, NetOGlyC, la cual deduce las posibles *O*-glicosilaciones en proteínas de humano.

Los resultados se enlistan en la Tabla 17 y de acuerdo a la bibliografía⁷. El programa no detectó ninguna proteína capaz de modificarse mediante una *N*-glicosilación. No podemos decir con ésto que ninguna proteína enlistada sea capaz de sufrir este tipo de modificaciones, pero la probabilidad de que ocurran es mínima, razón por la cual el programa no las señala. En la Tabla 17 podemos observar que solo dos proteínas la CD44 y la proteína de 80 kDa son capaces de llevar acabo *O*-glicosilaciones en residuos de tirosina y serina. En el caso de la Subunidad α-VLA-3 y el precursor de la reticulocalbilina, el programa nos señala que no existe la probabilidad de que las *O*-glicosilaciones puedan ser llevadas a cabo, debido a que no existen sitios en los cuales se puede llevar la unión residuo-carbohidrato. Por esta razón se excluyeron de la discusión de resultados.

Tabla 17. Glicoproteínas identificadas como posibles biomarcadores mediante LC/MS-MS/MS (Electrospray) de las líneas celulares MDA-MB 231, MCF7 y Hs578T mediante proteómica comparativa.

Banda.	Peso molecular.	Proteína. <i>N-</i> ç	glicosilaciones	O-glicosilaciones.	General score de MS	Número de péptidos identificados.
1	28 kDa.		D	escartada		
2	46 kDa.		sentan N- s	el programa no señala posibles sitio de glicosilación	211	4 (2)
3	60 kDa.		De	escartada.		
4	150 kDa.	VLA-3 alpha subunit [Homo sapiens] gi 220141	In vivo no se presentan N-glicosilaciones.	In vivo no se presentan O-glicosilaciones.	267	3(1)
5 >225 kDa.	>225 kDa.	CD44E (epithelial form) [Homo sapiens] gi 29801	In vivo no se presentan N-glicosilaciones.	8 posibles sitios de O-glicosilaciones todos ellos en residuos de tirosina.	211	3(3)
		VLA-3 alpha subunit [Homo sapiens] gi 220141	In vivo no se presentan N-glicosilaciones.	In vivo no se presentan O-glicosilaciones.	260	5(3)
6	>225 kDa.	CD44E (epithelial form) [Homo sapiens] gi 29801	In vivo no se presentan N-glicosilaciones.	8 posibles sitios de O-glicosilaciones todos ellos en residuos de Tirosina.	280	5(2)
7	75 kDa.	80K-H protein [Homo sapiens] gi 182855	In vivo no se presentan N-glicosilaciones.	10 posibles sitios de <i>O</i> -glicosiación, 5 en residuos de tirosina y 5 en residuos de serina.	286	6(3)

^{*}Se descartaron las proteínas obtenidas en el análisis mediante LC/ESI-MS/MS ya que no cumplieron con los parámetros establecidos.

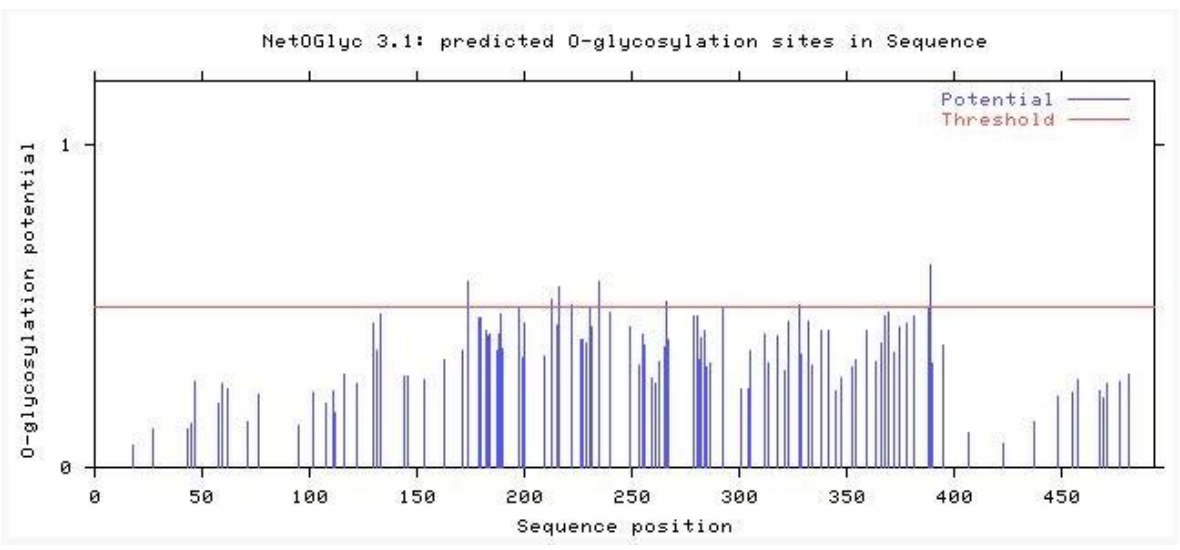


Figura 31. Posibles sitios de Glicosilación de la CD44E (NetOGly, Expasy.org).

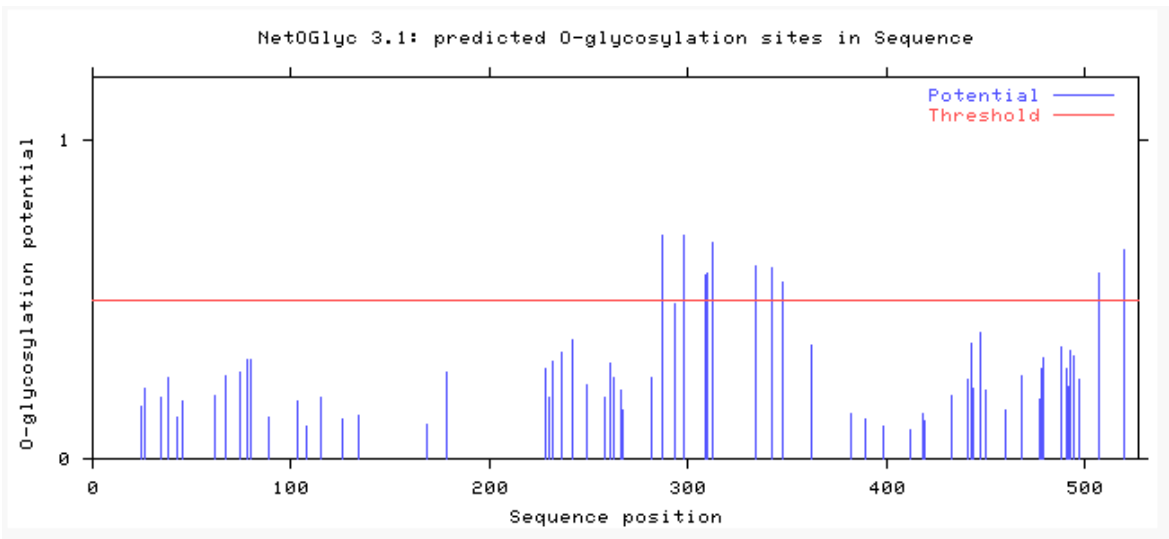


Figura 32. Posibles sitios de Glicosilación de la proteína 80K-H (NetOGly, Expasy.org).

Capítulo 7. Discusión. Biomarcadores fosforilados y glicosilados seleccionados.

En las últimas décadas, las técnicas proteómicas han tenido un gran desarrollo, pues han demostrado ser una herramienta invaluable en la identificación y caracterización de diversas biomoléculas como las proteínas. Un claro ejemplo de la importancia del desarrollo de las técnicas proteómicas son los diversos estudios en las que han sido utilizadas como herramientas principales en sus metodologías. Un elevado porcentaje de estos estudios, tienen como objetivo principal la búsqueda de diferencias en los niveles de expresión proteómico de individuos sanos respecto a individuos con alguna patología crónica, es decir, la búsqueda de biomarcadores proteicos que puedan ser utilizados para el diagnóstico y/o la terapia de estas enfermedades. Además de poder emplearse como biomarcadores de pronóstico de la enfermedad.

Uno de los errores más recurrentes en la identificación de los primeros biomarcadores fue la baja confiabilidad que presentaban las técnicas proteómicas utilizadas, la cual se adjudicó al pobre desarrollo y poco entendimiento de las técnicas empleadas. Se ha realizado un gran esfuerzo por depurarlas y optimizarlas, con la finalidad de ofrecer una mayor confiabilidad y disminuir los tiempos de análisis. La única forma en la que ésto se ha logrado, es a través de la combinación de dos o más técnicas proteómicas. Esta combinación tiene la finalidad de minimizar cualquier desventaja que pueda presentar el empleo de una sola técnica. Es por esta razón que para el desarrollo de la parte experimental de este trabajo se emplearon distintas técnicas proteómicas propuestas en las Figuras 8 y 11.

Una célula es capaz de producir hasta 5 000 proteínas en un momento y espacio determinado. Estas proteínas pueden sufrir uno o varios cambios postraduccionales, y sólo entre el 10 y 15% de estos cambios corresponden a la adición de un grupo fosfato o un oligosacarído, es decir, sólo entre un 10 y 15% son fosfoproteínas o glicoproteínas. Es por lo que, la primer técnica empleada en este trabajo, fue una separación de proteínas mediante cromatografía de afinidad para

cada uno de los grupos de interés (fosfoproteínas y glicoproteínas). La separación cromatográfica eliminó todas aquellas proteínas que no cumplieran con la característica de estar fosforiladas o glicosiladas. Ésta nos dio como resultado la reducción de más de un 95% (Tabla 15) respecto a los totales de cada una de las fracciones obtenidas para las fosfoproteínas y glicoproteínas.

Las fracciones obtenidas mediante cromatografía de afinidad fueron separadas de acuerdo a su peso molecular utilizando geles de acrilamida en una electroforesis SDS-PAGE. Los geles resultantes fueron digitalizados utilizando el programa LABSCANER ™ (Figuras 16, 17 y 18). De éstos se tomaron las fracciones que corresponden a las fosfoproteínas de las líneas celulares cancerosas (MCF7, Hs578T y MDA-MB 231) y la fracción de fosfoproteínas de la línea control Hs578BsT (Figura 19), con la finalidad de realizar un análisis comparativo del patrón de bandas (Figura 19 y 20).

En la Figura 19 podemos observar como existe una diferencia del patrón de bandas que corresponde a la fracción de fosfoproteínas de la línea celular control (Hs578BsT) respecto al patrón de bandas de las líneas celulares cancerosas (MDA-MB 231, Hs578BsT y MCF7). El resultado de este análisis comparativo fue la identificación de 4 bandas presentes en las líneas celulares cancerosas pero ausentes en la línea celular control (Figura 19). Este mismo procedimiento se realizó con las imágenes digitalizadas de los geles de las glicoproteínas (Figura 20). El resultado del análisis del patrón de bandas de las fracciones de las glicoproteínas, fue la identificación de 7 bandas que se encuentran presentes en las fracciones de glicoproteínas de las líneas celulares cancerosas pero ausentes en la fracción de la línea celular control (Hs578BsT).

Las bandas identificadas en las Figuras 19 y 20 fueron ubicadas en los geles de acrilamida. Una vez ubicadas estas bandas, se extrajeron y digirieron mediante tripsina modificada (Promega Madison) para ser analizadas por LS/ESI-MS/MS. Este análisis fue realizado con un espectrómetro de masas híbrido 3200 Q-TRAP en Tándem (Aplied Biosystems/MDS Aciex) equipado con un nano spray. Las muestras fueron inyectadas a una columna C_{18} UPLC de 0.7 μ m (5 μ m, 180 μ m x 20 mm) para ser desaladas. El desalado de las proteínas optimizó la ionización de los

péptidos cuando fueron introducidos a los espectrómetros en Tándem (MS/MS). Esta optimización disminuyó el ruido en el set de picos obtenidos. Lo cual nos proporciona una mayor confiabilidad de los resultados obtenidos, pues es más sencilla la identificación de coincidencia de los fragmentos proteicos identificados experimentalmente y los fragmentos que pertenecen a las secuencias reportadas que realiza el algoritmo de búsqueda MASCOT. Una vez desaladas las muestras son introducidas a los espectrómetros en Tándem (MS/MS) para ser fragmentadas. Los fragmentos proteicos obtenidos son capturados y analizados mediante una trampa de electrones lineal Q3 (Q3 Linear Ion Trap).

La interpretación de los set de picos obtenidos por MS/MS se realizó utilizando un algoritmo de búsqueda MASCOT (Versión 1.6 b9 Matrix Science, London.UK). En esta interpretación se establecieron los siguientes parámetros de confiabilidad de concordancia entre los fragmentos proteicos de las proteínas identificas experimentalmente y las secuencias reportadas en Sub-set de proteínas Humanas del Centro Nacional de Información Biotecnológica (http://www.ncbi.gov, NCBI):

- 1) De los fragmentos proteicos identificados al menos 3 deben de poseer una probabilidad de coincidencia calculada mayor a 0.05, es decir, deben de existir al menos 3 secuencia peptídicas identificadas con un ión score mayor a 45. Un ión score mayor a 45 nos indica que la probabilidad de que el fragmento identificado pertenezca a la secuencia reportada es elevada.
- 2) La probabilidad de homología o identidad debe ser mayor a 200, es decir, el general score debe ser mayor a 200. Sí el general score de los fragmentos proteicos identificados es mayor a 200 la probabilidad de que los fragmento pertenezcan a la secuencia reportada es elevada.

Las secuencias peptídicas que cumplan con estos parámetros, tienen una probabilidad elevada de coincidencia o similitud respecto a las secuencia peptidicas reportadas en las base de datos de NCBI.

A continuación se presenta un listado de las proteínas seleccionadas como posibles biomarcadores, las cuales cumplen con los parámetros de confiabilidad establecidos por el algoritmo se búsqueda MASCOT y los establecidos en la metodología.

Nucleolina (NCL).

Del análisis por LS/ESI-MS/MS de la banda número 1 de los geles de fosfoproteínas (Figura 19), empleando un algoritmo de búsqueda MASCOT; se identificaron un total de 13 fragmentos que pertenecen a la secuencia proteica reportada en la base de datos NCBI como Nucleolina (NCL) del *Homo sapiens*. Los 13 fragmentos identificados representan el 15% del total de la secuencia proteica de la Nucleolina (NCL).

El general score de los fragmentos fue de 408, lo que significa, que la probabilidad de homología de éstos es elevada, respecto a los fragmentos que componen la secuencia de la Nucleolina (NCL). El general score mínimo establecido de coincidencia entre las proteínas de la base de datos NCBI y la obtenida experimentalmente es 200.

De los 13 fragmentos proteicos identificados, 4 poseen un ion score mayor a 45, es decir, un porcentaje de probabilidad de coincidencia mayor a 0.05. Cumpliendo así con los parámetros de confiabilidad establecidos por el algoritmo de búsqueda MASCOT.

La nucleolina es una fosfoproteína nucleolar presente en los organismos eucariontes, la cual se encuentra relacionada con la síntesis y maduración de los ribosomas. Esta proteína se localiza en las regiones fibrilares más densas dentro del núcleo. El gen que codifica para esta proteína se compone de 14 exones y 13 intrones, los cuales representan aproximadamente 11 Kb, el producto proteico de esta secuencia es un polipéptido de 710 aminoácidos. La nucleolina contiene 13 hojas β -plegadas, 4 α -hélices (Figura 33) y es susceptible a 3 tipos de modificaciones postraduccionales: acetilación, metilación y fosforilación. Esta última puede ocurrir en 49 sitios posibles (Figura 25), pero existen reportes en los cuales se ha observado que esta proteína se puede encontrar glicosilada cuando se encuentra en la membrana celular²⁶.

La nucleolina tiene la capacidad de unirse al ADN y ARN, sus ubicaciones principales dentro de la célula son: el núcleo, nucléolo y el citoplasma.

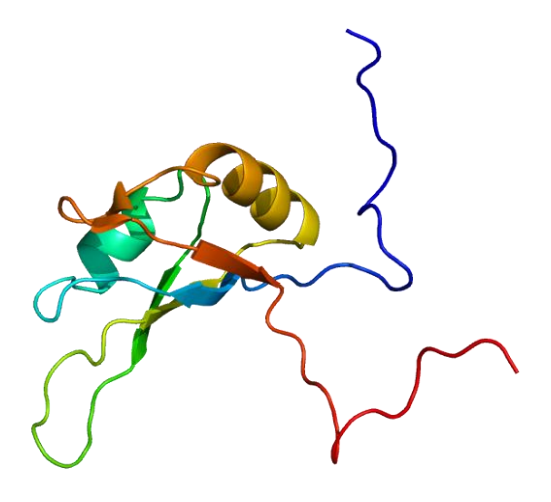


Figura 33. Estructura 3D de la nucleolina (Protein Data Bank,http://www.pdb.org/pdb/home/home.do).

La nucleolina se encuentra relacionada ampliamente con el crecimiento celular en células eucariontes, se le ha encontrado asociación con la cromatina intranucleolar y partículas preribosomales. Esta proteína induce o colabora con la descondensación de la cromatina debido a una interacción con la histona H1. Se ha reportado que juega un papel en la trascripción del pre-rARN y el ensamblaje del ribosoma, y en el proceso de la elongación transcripcional. La unión al RNA lo hace con el extremo 5'-UUAGGG-3' en el ADN con 5'-TTAGGG-3'. Gracias a técnicas inmunohistoquímicas se le ha relacionado con la expresión de BRCA1, proteína que se encuentra relacionada con el daño de ADN. Aquí se observó que BRCA1 colocalizaba con la nucleolina fosforilada, teniendo una relación de co-expresión durante las fases G1 y S del ciclo celular, y una tasa de incremento en el paso de estas fases, lo cual repercute en una mayor proliferación celular. Esto es importante, ya que el paso de G1 a S es crítico para seguir adelante en la duplicación celular y quizá uno de los más estrictos pues de aquí las células que tuvieron problemas en la replicación de su material genético son llevadas a apoptosis, impidiendo así una acumulación de fallas en el ADN. Esta correlación se pierde cuando ingresan a la fase G2 y M, en donde se rompe la interacción; este comportamiento se observó al realizar un experimento en el cual se integraron pequeños RNA de Interferencia con la finalidad de disminuir la expresión de la nucleolina; al ocurrir esto, la cantidad de BCRA1 disminuyó y con ésto, el crecimiento celular descontrolado²⁷, confirmando así que la presencia de este

complejo coadyuva al incremento de la tasa de proliferación.

Existen reportes que señalan que la nucleolina se expresa de forma simultánea con los RE (receptor de estrógenos) en células cancerosas. Ésto se pudo observar mediante inmunoflurescencia y el uso de la citometría de escáner (LSC) ²⁸. En los resultados obtenidos de este experimento se observó que la nucleolina en las fases G2 y M se encuentra de forma libre en los mismos niveles tanto en células RE positivas como en células RE negativas, pero en la fase S en las células RE negativas aumenta esta forma, mientras que en las RE positivas disminuye, lo que nos indica que hay relación entre la unión de la nucleolina con moléculas que aumentan la transcripción de BCRA1 y ER ²⁹, la expresión de los RE está relacionada con los carcinomas más agresivos durante los primeros 5 años del padecimiento y después se pierde esta correlación. Además es uno de los primeros biomarcadores empleados para el diagnóstico de Cáncer de mama y hoy en día es utilizado también como biomarcador pronóstico. Las vías en las cuales participa la nucleolina en estos procesos son desconocidas, pero se sabe que son llevadas a cabo en el núcleo y el citoplasma.

La nucleolina es transportada específicamente a la superficie de las células endoteliales en proliferación donde su función principal esta pobremente definida, aunque se sabe que participa en la angiogénesis. Una vez que se une con su ligando es activada mediante fosforilación, este comportamiento se observó por la unión de receptores con antiNLC, lo que ocasionó que se internalizaran vasos sanguíneos en la célula causando un aporte mayor de oxígeno, desencadenando la apoptosis de la célula. Esto sugiere a esta proteína como un blanco para terapia antiangiogénica³⁰.

La NCL es una candidata ideal para caracterizar las vías en las cuales interviene y con esto ver su relación con otras proteínas que participan en el mismo mecanismo de acción en la enfermedad. Para poder ser propuesta como un posible biomarcador pronóstico, diagnóstico o terapéutico.

Ribonucleoproteina U (hnRNP U).

Del análisis por LS/ESI-MS/MS de la banda número 1 de los geles de fosfoproteínas (Figura 19), empleando el algoritmo de búsqueda MASCOT; se

identificaron 10 fragmentos proteicos que pertenecen a la secuencia proteica reportada en la base de datos NCBI como la Ribonucleoproteína (hnRNP U) del *Homo sapiens*. Los fragmentos identificados representan el 13% total de la secuencia reportada como la Ribonucleoproteína (hnRNP U).

El general score es de 370 puntos, es decir 170 puntos arriba del mínimo establecido (200) por el algoritmo de calculo MASCOT. Un general score mayor a 200, significa que la probabilidad de coincidencia de los fragmentos proteicos identificados experimentalmente es elevada respecto a los fragmentos que componen la secuencia de la Ribonucleoproteína U (hnRNP U).

De los 10 fragmentos proteicos identificados, 4 poseen un ion score mayor a 45, es decir, tienen un probabilidad de coincidencia mayor a 0.05, y de acuerdo a los parámetros establecidos por el algoritmo de búsqueda MASCOT, nos indican una probabilidad de coincidencia elevada entre éstos y los fragmentos que componen la secuencia proteica de la Ribonucleoproteína U (hnRNP U).

La Ribonucleoproteína U (hnRNP U) pertenece a una subfamilia de ribonucleoproteínas (hnRNPs), las cuales forman complejos con ARN nuclear heterogéneo (hnRNP's), que es un ARN de alto peso molecular el cual no ha sido procesado, es decir el ARN recién transcrito. La proteína esta compuesta de 825 aminoácidos, con un peso aproximado de 120 kDa, se localiza en el núcleo, citoplasma y en superficie membranal, las modificaciones postraduccionales a las que es susceptible son: la fosforilación, la cual se puede dar en 37 residuos diferentes (Figura 26) y la metilación en la Arg-733 y Arg-739. Esta ribonucleoproteína es componente del complejo CRD, el cual promueve la estabilización del ARNm de c-MYC. Con la unión al pre-ARNm, la hnRNP U adquiere una elevada afinidad por SAR (scaffold-attached región) de ADN y es capaz de unirse a las cadenas dobles y sencillas de ADN y ARN dependientes de ATP. La hnRNP U participa en la apoptosis. Una vez iniciada la apoptosis la unión hnRNP-ADN se desestabiliza, pero la unión con el ARN no se ve alterada.

La isoforma U de la ribonucleoproteína es abundante en el núcleo, ésta se ha relacionado con la unión de la RNA Polimerasa II al ARNm coadyuvando a la trascripción³⁰. Esta isoforma se ha identificado como un sustrato para una cinasa

que interactúa con el ADN fosforilándose en dos sitios, contribuye a la reparación del ADN³¹ y participa en la organización de la heterocromatina³³. Si bien no existen reportes en los cuales se haya asociado a esta proteína con algún tipo de cáncer, todos los procesos en los cuales ha sido reportada tienen una íntima relación con el proceso de la transcripción, ya que interviene en el procesamiento del pre-ARNm al ARNm. Esto hace pensar que si existe una hiperfosforilación o bien una producción elevada de esta proteína podría existir un incremento en la actividad de la trascripción, lo cual se reflejaría en una mayor producción proteica y con esto la célula tendría mayor material para llevar a cabo la formación de nuevas células en un lapso muy corto, contribuyendo directamente a la tasa de proliferación en un tejido determinado. Al igual que la nucleolina, su acceso para ser analizada es complicado ya que se encuentra en el núcleo.

Proteína de choque térmico HSP 90- α isoforma 2 y la proteína de choque térmico HSP 90- β .

Ambas proteínas fueron identificadas mediante un análisis por LS/ESI-MS/MS de la banda número 2 de los geles de fosfoproteínas (Figura 19). Para la búsqueda de homología entre los fragmentos de las secuencias proteicas reportadas en la base de datos NCBI y los fragmentos proteicos identificados experimentalmente se utilizó el algoritmo de búsqueda MASCOT. El resultado de este análisis fue la identificación de 10 fragmentos proteicos que pertenecen a la secuencia proteica de HSP 90-α isoforma 2. Estos fragmentos representan un 16% de la secuencia proteica reportada y tienen un general score de 357, superando el límite mínimo establecido por el algoritmo de búsqueda MASCOT.

De los fragmentos proteicos identificados, 3 poseen un ion score mayor a 45, es decir, poseen una probabilidad de coincidencia mayor a 0.05, lo que nos indica una homología elevada entre los fragmentos proteicos identificados experimentalmente y los que componen la secuencia proteica reportada de la HSP 90-α isoforma 2.

En la misma banda se identificaron 17 fragmentos proteicos que pertenecen a la HSP 90-β. Éstos representan el 21% de la secuencia proteica reportada como la HSP 90-β.

Los 17 fragmentos proteicos identificados poseen un general score de 531, por lo que, su homología respecto a los que componen la secuencia de la HSP $90-\beta$ es elevada.

De los fragmentos proteicos identificados, 4 poseen un ion scoremayor a 0.05, es decir, poseen una probabilidad de coincidencia mayor a 0.05. Cumpliendo así con los dos parámetros de confiabilidad establecido por el algoritmo de búsqueda MASCOT.

La HSP 90-α isoforma 2 esta compuesta por 732 aminoácidos con un peso aproximado de 86 kDa. Interviene en el proceso contra el estrés celular, está compuesta por 10 α-hélices, 8 hojas β-plegada y un giro (Figura 34), su ubicación principal es el citoplasma, es propensa a dos cambios postraduccionales: la acetilación y la fosforilación la cual puede llevarse a cabo en 40 diferentes residuos (Figura 26.). Esta proteína puede interaccionar con AHSA1, FNIP1, HSF1, SMYD3 y TOMM34, TERT y PTGES3/P23, unión que es estabilizada por TERT.

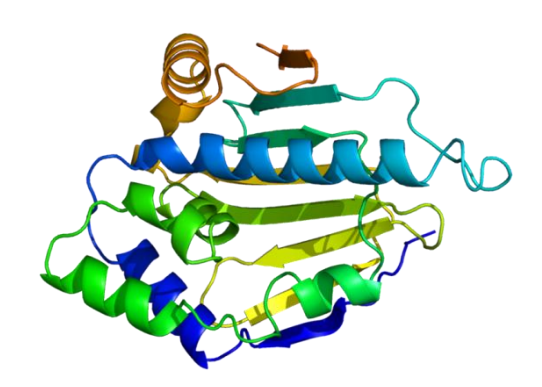


Figura 34. Estructura 3D de la Proteína de choque térmico α (Protein Data Bank,http://www.pdb.org/pdb/home/home.do).

La HSP 90- β es una proteína de 724 aminoácidos con un peso aproximado de 84 kDa. Está compuesta por 9 α -hélices, 8 β -plegadas y 3 giros (Figura 35). Al igual que la 90- α , se encuentra en el citoplasma y es susceptible a la acetilación y fosforilación en 41 residuos de aminoácidos (Figura 28). Esta proteína tiene actividad de cinasa y actúa como chaperona molecular. Al igual que la 90- α , interacciona con TP53/p53 y UNC45A .

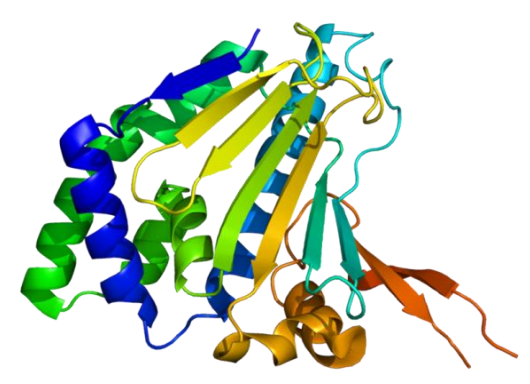


Figura 35. Proteína de choque térmico β (Protein Data Bank,http://www.pdb.org/pdb/home/home.do).

La proteína de choque térmico HSP 90 y sus isoformas son proteínas chaperonas las cuales se incrementan en carcinomas ductales de mama³⁶. Esta sobreexpresión lleva a la transcripción de un mayor número de proteínas, estas proteínas tienen diversas funciones y además incrementan la velocidad de crecimiento, ya que forman distintos complejos con oncogenes. Ambas proteínas de choque térmico están relacionadas con el plegamiento no covalente y con el desensamblaje y ensamblaje de polipéptidos o moléculas de ARN, incluyendo los procesos de oligomerización y tambien en el plegamiento y reensamblaje de proteínas y ARN desnaturalizados por estrés, por tanto son fundamentales en la respuesta al estrés. Se han relacionado con el cáncer y se han visto incrementos en los niveles de la concentración celular de HSP27 y HSP70 en el Cáncer de mama. Estos cambios dan como resultado el bloqueo de mecanismos como la apoptosis y las vías de senescencia replicativa, las cuales desencadenan la muerte de la célula. En estos procesos, la HSP90 juega un papel facilitando la transformación de estas células por la estabilización de las oncoproteínas sobre-expresadas y mutadas en tumores de Cáncer de mama, razón por la cual es un blanco perfecto para el tratamiento del carcinoma de mama y otros tipos de cáncer³⁴. También se ha demostrado relación entre la proteína p53 y la Hsp90α mediante la formación de un complejo en células de Cáncer de mama. Este complejo, una vez formado, coadyuva a la disminución de la actividad transcripcional de p53. Este complejo provoca una deficiencia de p53 y como consecuencia se origina un crecimiento descontrolado de las células. Este comportamiento se observó en un estudio realizado por Abdur Rehman y

colaboradores³⁵ en el cual se tratan a líneas celulares con PRIMA-1, que es un compuesto que actúa dependiendo de p53 y tiene la capacidad de inducir a la apoptosis gracias a la restauración de la transcripción de p53. En el experimento se observó un incremento en la cantidad de HSP90α libre en las líneas no tratadas con PRIMA-1, las cuales corresponden a las células con un crecimiento descontrolado, mientras que en los controles, que consistieron en líneas celulares con una mutación en p53, tratadas con PRIMA-1, se detectaron niveles bajos de la HSP90α libre, confirmando que la formación del complejo HSP90α-p53 interviene en el desarrollo celular descontrolado de células cancerosas aún cuando no se conocen las vías en las que interviene este complejo³⁵. Ambas isoformas se localizan en citoplasma y no son secretadas por la célula.

Disulfuro isomerasa.

En el análisis de la banda número 4 de los geles de fosfoproteínas (Figura 19) por LS/ESI-MS/MS y utilizando un algoritmo de búsqueda MASCOT; se identificaron 7 fragmentos proteicos pertenecientes a la disulfuro isomerasa. De los cuales, 3 poseen un ion score mayor a 45, es decir, tienen una probabilidad de coincidencia mayor a 0.05.

Los 7 fragmentos proteicos identificados poseen un general score de 315 y representan el 50% de la secuencia reportada en la base de datos de NCBI como la disulfuro isomerasa. El general score nos indica que los fragmentos proteicos identificados experimentalmente poseen una homología elevada a los fragmentos que componen la secuencia proteica reportada como la disulfuro isomerasa.

En la Tabla 16 podemos observar la selección de la proteína disulfuro isomerasa.

La proteína disulfuro isomerasa es una cinasa que se ha asociado con una función anticancerígena por una ruta no conocida. La ausencia de ésta afecta en la terapia contra el cáncer⁴³. Se ha relacionado su subexpresión con tipos de cáncer agresivos en estudios realizados mediante inmunohistoquímica (INHQ). En la Figura 29 se pueden observar los posibles sitios de fosforilación que puede presentar esta proteína, sin embrago no se ha observado que esta proteína pueda sufrir de fosforilaciones *in vivo* razón por la cual es excluida en este estudio de ser

un posible biomarcador fosforilado.

CD44E.

En el análisis de la banda número 6 de los geles de glicoproteínas (Figura 20) por LS/ESI-MS/MS, empleando un algoritmo de búsqueda MASCOT; se identificaron 5 fragmentos proteicos que pertenecen a la secuencia de la proteína reportada en la base de datos NCBI como la CD44E. Éstos representan un 35% de la secuencia proteica total reportada y tienen un general score de 280, lo que significa, que tienen una probabilidad elevada de pertenecer a la secuencia proteica reportada como CD44E.

De los 5 fragmentos identificados, 3 poseen un ion score mayor a 45, es decir, la probabilidad calculada de coincidencia es mayor a 0.05. Por lo tanto, la homología de los fragmentos proteicos identificados experimentalmente es elevada respecto a los fragmentos que componen la secuencia proteica de la CD44E.

La CD44E está codificada por una secuencia de 5.74 kpb, la cual origina una proteína de la que sólo se ha identificado una fracción de 742 aminoácidos. Debido a su procesamiento (splicing), se pueden encontrar diversas isoformas de las cuales su peso molecular oscila entre 85 a 230 kDa (Figura 36). Ya que sólo su primer y quinto exónes están conservados, se han encontrado en cáncer 17 de sus variables, para el caso de la CD44E o CD44, forma epitelial, los últimos 3 exones están conservados. Esta glicoproteína se localiza en la superficie celular, y tiene la capacidad de O-glicosilarse hasta en 8 sitios. Está involucrada en la interacción célula-célula, la adhesión celular y la migración, es afin al ácido hialurónico, además de tener la posibilidad de interactuar con otros ligandos como la osteopontina, la colágena y las MMPs (metaloproteinasas de matriz celular).

La CD44 participa en una gran variedad de funciones celulares como la activación, recirculación y reciclaje de linfocitos, hematopoyesis y en la metástasis de los tumores. Esta proteína funciona como un transmisor de bioseñales para contribuir con la metástasis de las células. Ésto se observó de manera fortuita en un experimento en el cual se cultivaron células MCF7, las cuales produjeron una menor cantidad de CD44 endógeno dando origen a la línea MCF7-B5, misma que

tiene un mayor potencial para proliferar, adherirse, invadir y migrar i*n vitro*, que son propiedades importantes para el desarrollo de cáncer³⁷. Esta proteína posee splicing alternativos, razón por la cual se han observado distintas isoformas.

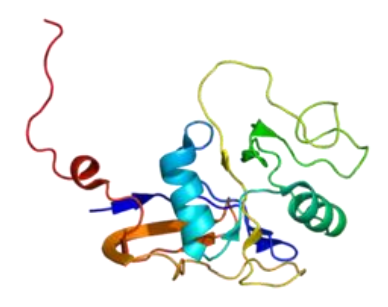


Figura 36. Estructura 3D de la proteina CD44E (Protein Data Bank,http://www.pdb.org/pdb/home/home.do).

Una de las características más sobresalientes de la isoforma E, es que su tallo exhibe un receptor de cinasa o actividad de fosfatasa, el cual se localiza fuera de la matriz extracelular. La CD44 se puede comunicar a través de varios mecanismos:

- 1) Señales directas de CD44 gracias a la unión con el ácido hialurónico, el cual activa a ciertas cinasas que se encargan de potencializar la asociación de CD44 con complejos de actina del citoesqueleto iniciando así señales que terminan en la potencialización de la migración celular.
- 2) CD44 sirve como un correceptor el cual se une a otros receptores de señalización, como los miembros de la familia de ErbB (Factores de crecimiento), los cuales están relacionados con el crecimiento celular en el cáncer, facilitando con esto la asociación de mediadores intracelulares de transducción de señales.
- 3) Funcionando como una proteína de acoplamiento de proteínas pericelulares, como las MMPs o proteínas citoplásmicas como las cinasas.
- 4) Intervención de forma directa por parte de CD44, la cual ocurre en dos pasos: el primero secretando la parte del dominio transmembranal con el consecuente desprendimiento del dominio intracelular y su traslocación nuclear funcionando como un factor de transcripción de genes.

Muchos estudios relacionan a CD44 con la metástasis en Cáncer de mama pero se ha observado una variante de CD44 que disminuye, mientras la otra aumenta en carcinomas mamarios. De acuerdo a lo publicado por Allal Ouhtit y colaboradores³⁷, la expresión de CD44s (Bajo peso molecular) se incrementa causando una disminución en los niveles de CD44E, lo cual hace a esta glicoproteína membranal una candidata ideal para ser un marcador de diagnóstico junto con su isoforma S. Existen estudios en los cuales se ha demostrado que la eficacia de Herceptin® se potencializa contra el Cáncer de mama si las células expresan deficientemente a CD44³⁸, confirmando así la implicación en el crecimiento celular y cómo entrelaza esta proteína diferentes señales biológicas. Se ha relacionado a CD44 con la generación de vasos sanguíneos para el crecimiento celular (angiogénesis) ya que pruebas en ratones demuestran que la expresión deficiente de esta proteína afecta directamente la formación del epitelio y por lo tanto la generación de nuevos vasos sanguíneos, confirmando así la participación de CD44 en la metástasis y angiogénesis. Si bien existe una disminución de CD44E endógeno y un incremento de CD44s, el primero podría emplearse para la generación de vasos, mientras que CD44s se expresa en la célula para compensar la falta de CD44E.

Proteína de 80 kDa (subunidad β de la Glucosidasa II).

Del análisis de la banda número 7 de los geles de glicoproteínas (Figura 20) por LS/ESI-MS/MS, empleando el algoritmo de búsqueda MASCOT; se identificaron 6 fragmentos proteicos que pertenecen a la secuencia proteica reportada en la base de datos NCBI como la subunidad β de la Glucosidasa II.

Estos fragmentos proteicos poseen un general score de 286 y representan el 29% de la secuencia proteica reportada. De los fragmentos proteicos identificados, 4 presentaron un ion score mayor a 45, por lo que su homología es elevada respecto a los fragmentos que componen la secuencia proteica reportada como la subunidad β de la Glucosidasa II.

La subunidad β de la Glucosidasa II (PRKCSH) se compone de 528 aminoácidos. Esta proteína se puede someter a varias modificaciones postraduccionales como la glicosilación, la cual se puede llevar a cabo en 10 residuos a lo largo de la cadena (Figura 32). Junto con el heterodímero de la subunidad α catalítica (GANAB),

conforma la Glucosidasa II, la cual es una proteína que interviene en el metabolismo de los glicanos y los *N*-glicanos. Su localización celular es en el retículo endoplásmico. Cada una de las subunidades juega un papel importante; la subunidad α es la subunidad catalítica de esta proteína y la subunidad β se encarga de proporcionar estabilidad al dominio catalítico. Se ha observado que defectos en esta proteína son causa de enfermedad poliquística en el hígado. Esta enfermedad es un desorden autosómico dominante y se caracteriza por la presencia de quistes de origen epitelial, al igual que quistes hepáticos, razón por la que tiene una actividad importante durante el desarrollo de carcinomas hepáticos.

La Glucosidasa II se ha asociado al desarrollo de carcinomas mamarios gracias a la asociación que existe con la estimulación de factores de crecimiento, principalmente con el factor de crecimiento fibroblástico 1 (FGF-1), el cual se incrementa en el cáncer. La 80K-H o subunidad β de la Glucosidasa II es la encargada de estabilizar el incremento de este factor por un mecanismo que aún se desconoce, sólo se sabe que esta proteína es un substrato de la proteína cinasa C (PKC), y que en cáncer interviene incrementándose en los procesos en los cuales está involucrada la PKC muy cerca del núcleo. Esta relación se observó gracias a estudios⁴¹ en los cuales se encontró una relación proporcional entre el FGF-1, la proteína 80K-H y el grado de tumor. Esta relación se observó al inducir la traslocación de la proteína 80K-H al núcleo, lo cual dió como resultado un mayor crecimiento celular y una mayor capacidad de invasión, todo gracias a la formación del complejo FGF-1/80K-H. Si bien no se sabe con certeza la capacidad de esta proteína para ir al núcleo y formar el complejo mencionado, se sabe que la cantidad de glicosilación se incrementa en las proteínas membranales y en enzimas como la calnexina y la calreticulina, esta última es importante en la regulación de los niveles de Ca²⁺ en la célula que interfiere directamente con la proliferación celular. Esta proteína ha sido identificada en trabajos anteriores mediante técnicas proteómicas (geles 2D y espectrometría), si bien hemos notado que existe un incremento en los niveles de calreticulina durante el Cáncer de mama en un modelo celular, esta calreticulina para ser activa necesita glicosilarse, razón por la cual se necesitaría un elevado nivel de Glucosidasa II o bien algún cambio que potencializara su actividad. Por ello es una

candidata idónea para un posible biomarcador de diagnóstico, el cual se basaría en una diferencia de expresión.

Las dos glicoproteínas CD44 y 80K-H son proteínas que se encuentran relacionadas con el crecimiento celular, ya sea interactuando con diversos factores o bien como sustratos estabilizadores de otras proteínas. Esto les da una gran ventaja sobre las fosfoproteínas reportadas, debido a que éstas se encuentran asociadas con proteínas membranales o bien alguna de sus subunidades se localizan ahí, por lo cual son candidatas ideales para posibles biomarcadores de diagnóstico o bien como blancos terapéuticos. En el caso de la 80K-H, a pesar de no conocerse la o las rutas metabólicas en las que participa, se sabe que se encuentra íntimamente relacionada con la capacidad invasiva y de crecimiento de los tumores. Es interesante ver como se ha reportado una disminución de la isoforma E y un incremento en las isoformas "s" o de bajo peso molecular, lo cual pone de manifiesto la actividad de cada una de ellas. Además, las formas fosforiladas podrían correlacionar también inversamente en su expresión implicándolas en la enfermedad.

Las herramientas proteómicas que se han ido incorporando a lo largo de los años han contribuido a la identificación de nuevos biomarcadores y blancos terapéuticos como los que se proponen en este trabajo. Estos se encuentran en la primera etapa para ser propuestos como biomarcadores de cáncer, sin embargo es alentador pensar que en un futuro podrán colaborar a reducir el elevado número de muertes por el Cáncer de mama.

Capítulo 8. Conclusiones.

De un estudio de proteómica comparativa, en el cual se utilizó cromatografía de afinidad y electroforesis SDS-PAGE para la separación de fosfoproteínas y glicoproteínas. Y para la identificación de éstas se empleo un análisis po LS/ESI-MS/MS (Electrospray) con el algoritmo de búsqueda MASCOT. De este estudio se obtuvieron 3 proteínas que son propuestas como posibles biomarcadores fosforilados.

- ✓ Nucleolina. Involucrada con la transcripción en la célula y la expresión de BRCA1, colaborando con el desarrollo celular.
- ✓ Ribonucleproteína U (hnRNAU). La cual estabiliza el ARN incrementando la cantidad de proteína transcrita.
- ✓ HSP-90. Encargada de mantener estables a las proteínas en condiciones de estrés y relacionada con la estabilización de oncogenes.

En la fracción de las proteínas glicosiladas se obtuvieron 2 proteínas, las cuales son propuestas como posibles biomarcadores.

- ✓ CD44E. Un receptor de membrana relacionado con la angiogénesis y el crecimiento celular.
- √ 80K-H. La subunidad β de la glucosidasa II que se ha asociado con la estabilización del FGF (Factor de Crecimiento Fibroblástico) y con la estabilización de la Glucosidasa II, la cual participa en la glicosilación de las proteínas.

Perspectiva.

Estas 5 proteínas tendrán que ser validadas y sometidas a los criterios que establece el Instituto Nacional de Cáncer (NCI), para poder ser propuestas como biomarcadores que coadyuven en un diagnóstico temprano de Cáncer de mama y con ésto poder contribuir a la disminución en la tasa de defunciones y pacientes afectadas con este tipo de neoplasias, mejorando su pronóstico y calidad de vida.

9. Referencias Bibliográficas.

- Bidart J, Thuillier F, Augereau C, Chalas J, Daver A, Jacob N, Labrousse Y, Voitor H. Kinetics of serum tumor marker concentrations and usefulness in clinical monitoring. Clin. Chem. 1999; 45(10):1695-1707.
- Serova O, Mazoyer S, Puget N, Dubois V, Tonin P, Shugart Y, Goldgar D, Narod SA, Lynch HT, Lenoir GM. Mutations in BRCA1 and BRCA2 in breast cancer families: are there more breast cancer-susceptibility genes?.
 Am. J. Hum. Gene. 1997; 60(5):486-495.
- 3. Huquet E, McMahon J. Differential expression of human Wnt genes 2, 3, 4, and 7B in human breast cell lines and normal and disease states of human breast tissue. Canc. Res. 1994; 54(10):2615-2621.
- Copeland III M. The Breast; Comprehensive Management of Benign and Malingnant Disorders. 3° Edition. Souders Elsevier. New York (USA) 2004.1628 p.
- 5. Ruck K. Encyclopedic reference of genomics and proteomics in molecular medicine. 2° Edition. Springer Dgante. New Jersey (USA). 2006. 2112 p.
- 6. Yoon Pin Lim. Mining the tumor Phosphoproteome for Cancer Marker. Clin. Cancer Res. 2005; 11(3):3163-3170.
- 7. Gallegos I, Coutiño R, Martínez G, Hernández P. Marcadores glicosilados en Cáncer de mama. REB. 2008; 27 (2):52-59.
- 8. Winer E, Gralow J, Diller L, Gralow J, Ozols R, Bajorin D, Cheson B, Sandler H, Winer E, Bonner J, Demetri G, Curran W, Ganz P, Kramer B, et. al. Clinical cancer advances 2008: Major research advances in cancer treatment, prevention, and screening—A report from the American Society of Clinical

- Oncology. J. Clin Oncol. 2009; 27(5): 812-826.
- Ruin P. Oncología Clínica: Un enfoque multidisciplinario para Médicos y estudiantes. Diork Servicios Integrales de Edición (traductor). 8ª Edición. Elvieser Science. New York (USA). 2002.937 p.
- 10. Dalkic E. Cancer-Drug Associations: A Complex System. 3° Edition. Plos One. London (UK) 2010. 554 p.
- 11.Cross D. Gene Therapy for Cancer Treatment: Past, Present and Future, Clin. Med. Res. 2006; 4(3): 218–227.
- 12. Aragues R, Sander C, Baldo Oliva. Predicting cancer involvement of genes from heterogeneous data. BMC Biol. 2008; 9(172):1-18.
- 13. Kim H. Expression of MT-1 MMP, MMP2, MMP9 and TIMP2 mRNAs in ductal carcinoma *in situ* and invasive ductal carcinoma of the breast. J. Med. 2006; 47(3):333–342.
- 14.Lanfranchi A. Normal breast physiology: The reasons hormonal contraceptives and induced abortion increase breast-cancer risk. Clin. Med. 2009; 76(3):236–249.
- 15. Meibodi NT, Ghoyunlu VM, Javidi Z, Nahidi Y. Clinicopathologic evaluation of mammary Paget's disease. Indian J Dermatol. 2008; 53(1):21–23.
- 16. Ramachandra S, Machin L, Ashley S, Monaghan P, Gusterson BA. Immunohistochemical distribution of c-erB-2 in *in-situ* breast carcinoma: a detailed morphological analysis. J. Pathol. 1990; 16(17):7-14.

- 17. Hamdan M, Dominic M, Nibbering D, et al. Cancer biomarkers: Analitics techniques for discovery. J. Biol. Med. 2007; 80(3):137–138.
- 18. Theodore L, De Vita V. Cancer Principles and Practic of Oncology. 8° Edition. Souders Elsevier. New York (USA). 2004. 2035p.
- 19. Qiagen. Qproteome [™] Glycoprotein Fractionation Handbook, 2° Edition. Qiagen Sample and Assay. Darmstadt (Germany). 2007. 32p.
- 20. Donegan W, Spratt J. Cancer of Breast. 5° Edition. Souders Elsevier. New Jersey (USA). 2002. 1050p.
- 21.Redel G. Encyclopedic Dictionary of Genetics, Genomics and Proteomics. 2° Edition.Springer. London (UK). 2006. 129p.
- 22. Hamdan M, Righetti P. Proteomics today: protein Assassment and Biomarkers Using Mass Spectrometry, 2D Electrophoresis, and Microarray Technology. 1° Edition. John Wiley and Sons. New Jersey (USA). 2005.426p.
- 23. Wilson S, Suk W. Biomarkers of Environmentally Associated Disease: Technologies, Conceps and Perspectives. 1° Edition. John Wiley and Sons. New Jersey (USA). 2002. 582p.
- 24.Nelson D, Cox M. Lehninger Biochemistry Principles. 3° Edición. Worth Publishers. New York (USA). 2005. 1119p.
- 25.Gerald Karp. Biología Celular y Molecular: Conceptos y Experimentos. 3°Edición. Mc-Graw Hill Interamericana. 2000. 899p.

- 26. Przybyło M, Pocheć E, Drabik A, Silberring J, Kremser M, Schadendorf D, Laidler P, Lityńska A. The new face of nucleolin in human melanoma. Cancer Immunol. Immun. 2009; 58(9):1471-80.
- 27.Tulchin N, Chambon M, Juan G, Dikman S, Strauchen J, Ornstein L, Billack B, Woods NT, Monteiro AN. BRCA1 protein and nucleolin colocalize in breast carcinoma tissue and cancer cell lines. Am J. Pathol. 2010; 176(3):1203-1214.
- 28.Masiuk M, Urasinska E, Domagala W. Simultaneous measurement of nucleolin and estrogen receptor in breast cancer cells by laser scanning cytometry. Anticancer. Res. 2004; 24(2B):963-966.
- 29. Masiuk M, Urasinska E, Domagala W. Intranuclear nucleolin distribution during cell cycle progression in human invasive ductal breast carcinomas in relation to estrogen receptor status. Anticancer Res. 2007; 27(6B): 3957-3962.
- 30. Fogal V, Sugahara K, Ruoslahti E, Christian S. Cell surface nucleolin antagonist causes endothelial cell apoptosis and normalization of tumor vasculature. Angiogenesis. 2009; 12(1):91-100.
- 31. Kiledjian M, Dreyfuss G. Primary structure and binding activity of the hnRNPU protein: binding RNA through RGG box. The EMBO J. 1992; 11(7):2655 2664.
- 32.Berglund F, Clarke P. hnRNP-U is a specific ADN-dependent protein kinase substrate phosphorylated in response to ADN double-strand breaks. Biochem. Biophys. Res. Commun. 2009; 381(1):159-164.

- 33.Ameyar-Zazoua M, Souidi M, Fritsch L, Robin P, Thomas A, Hamiche A, Percipalle P, Ait-Si-Ali S, Harel-Bellan A. Physical and functional interaction between heterochromatin protein 1alpha and the RNA-binding protein heterogeneous nuclear ribonucleoprotein U. J. Biol Chem. 2009; 284(41):27974-9.
- 34. Calderwood S. Heat shock proteins in breast cancer progression A suitable case for treatment?. Int J Hyperthermia. 2010; 26 (7):681-685.
- 35. Rehman A, Chahal MS, Tang X, Bruce JE, Pommier Y, Daoud SS. Proteomic identification of heat shock protein 90 as a candidate target for p53 mutation reactivation by PRIMA-1 in breast cancer cells. Breast Cancer Res. 2005; 7(5):765–774.
- 36.Zagouri F, Sergentanis T, Nonni A, Papadimitriou C, Michalopoulos N, Domeyer P, Theodoropoulos G, Lazaris A, Patsouris E, Zogafos E, Pazaiti A, Zografos G. Hsp90 in the continuum of breast ductal carcinogenesis: Evaluation in precursors, preinvasive and ductal carcinoma lesions. BMC Cancer. 2008; 10(353):1-9.
- 37. Ouhtit A, Zakaria Y, Elmageed A, Abdraboh M, Lioe T, Raj M. *In vivo* Evidence for the Role of CD44s in Promoting Breast Cancer Metástasis to the Liver. Am. J. Pathol. 2007; 171(6):2033-2039.
- 38.Cavaliere C, Corvigno S, Galgani M, Limite G, Nardone A, Veneziani BM.Combined inhibitory effect of formestane and herceptin on a subpopulation of CD44+/CD24low breast cancer cells. Cancer. Sci. 2010; 10(7):1661–1669.
- 39.Cao G, Savani RC, Fehrenbach M, Lyons C, Zhang L, Coukos G, Delisser HM.. Involvement of Endothelial CD44 during *in vivo* Angiogenesis. Am. J. Pathol.2006; 169(1):325-336.

- 40.MeTappel A. Lysosomal enzymes and initiation of breast cancer. Med. Hypo. 2005; 64(2):288-289.
- 41. Forough R, Lindner L, Partridge C, Jones B, Guy G, Clark G. Elevated 80K-H protein in breast cancer: a role for FGF-1 stimulation of 80K-H. Int. J. Biol. Markers. 2003; 18(2):89-98.
- 42. Sánchez E, Rísquez R, Chasseraud M, Ahidouch A, Ortiz C, Ouadid-Ahidouch H, García JM. Synthesis of N-, S-, and C-glycoside castanospermine analogues with selective neutral alpha-glucosidase inhibitory activity as antitumour agents. Chem. Commun. 2010; 46(29):5328-5330.
- 43. Huang S, Tomich J, Wu H, Jongs A, Holcenbergo J. Human deoxycytidine kinase. Sequence of cADN clones and analysis of expression in cell lines with and without enzyme activity. J. Biol. Chem. 1989; 264(6):14762-14768.
- 44. Qiagen. Phosphoprotein Handbook. Qiagen Sample and Assay Second Edition. Darmstadt (Germany). 2007. 27p.
- 45. Farmacología Básica: http://farmacologiabasica.blogspot.com (Octubre, 2010)
- 46. National Institute of Cancer: http://www.cancer.gov/ (Mayo, 2010).
- 47. World Heart Organization: http://www.who.int/en/ (Abril, 2010).
- 48. Protein Date Base: http://www.pdb.org/pdb/home/home.do (Julio, 2010).

ANEXO I.

Técnicas para la identificación de proteínas.

Cromatografía. Si bien se ha tenido un gran desarrollo en diversas técnicas espectrométricas que permiten identificar cambios postraduccionales de miles de proteínas o identificarlas a partir de uno de sus fragmentos, la separación de éstas en grupos que posean características semejantes como el peso molecular o un cambio postraduccional, como la fosforilación y glicosilación por mencionar algunos, reducen el tiempo de análisis considerablemente, debido a la disminución en el grupo de análisis.

Existen diferentes tipos de cromatografías, las cuales se dividen en dos grandes grupos: el primero es el de adsorción y ejemplos de este grupo son la cromatografía de intercambio iónico, la de fase inversa, la de fase normal entre otras. El segundo grupo es el de no adsorción algunos ejemplos son la filtración en gel y la exclusión molecular.

Una de las cromatografías más empleadas por el elevado porcentaje de selectividad hacia los sustratos es la cromatografía de afinidad. En está cromatografía la proteína a purificar posee afinidad específica por un ligando como su cofactor, un anticuerpo o un ión metálico. Lo que ocasiona una interacción especifica entre moléculas. La columnas cromatográficas se componen por una matriz o fase sólida en la cual se encuentran anticuerpos o moléculas afines hacia ciertos grupos químicos (fosfatos, carbohidratos), por la cual pasa la fase móvil, que contiene una mezcla de diversas proteínas originando una interacción péptido-matriz mediante enlaces débiles de los tipos de Van der Waals, enlaces de hidrógeno, hidrofobicidad o interacciones iónicas. Estos enlaces se pueden debilitar mediante un amortiquador que posea características distintas a las de la fase móvil inicial, generalmente un pH distinto. En el caso de la cromatografía de afinidad se utiliza una solución que contiene ligandos libres. Las proteínas eluidas se pueden analizar por geles 1D y 2D o bien mediante diferentes variantes de espectrometría de masas.

En la separación de fosfoproteínas, las columnas de afinidad más utilizadas son aquellas que contienen en la matriz anticuerpos contra treonina, tirosina y serina fosforilada. Para la separación de glicoproteínas las columnas más empleadas son las que contienen lectinas de origen vegetal por ejemplo la Concavalina A (Con A).

- ➤ Cromatografía líquida de alta resolución (HPLC). Es una herramienta utilizada para la identificación de proteínas que tiene como característica principal la utilización de bombas que deben: ser resistente a la corrosión, alcanzar presiones estables de hasta 6000 psi, estar libre de pulsaciones, ser capaces de generar intervalos de caudales de flujo que vallan de 0.1 mL/min hasta 10 mL/min, permitir un control y reproducibilidad de elución del solvente. Estas características permiten que la velocidad a la cual corre la fase móvil sobre la estacionaria disminuya y así el tiempo de contacto entre fases sea mayor, obteniendo una mayor resolución. Existen variantes de esta técnica debido a la utilización de diferentes matrices:
 - Cromatografía de adsorción. En donde la fase sólida es un sólido generalmente sílice (silica) o en ocasiones alúmina.
 - Cromatografía de reparto. En donde se unen covalentemente compuestos químicos a un soporte de sílica. Ésta se subdivide en fase normal y fase reversa, en la primera se utilizan como fase sólida compuestos polares (agua, trientilenglicol) y en la fase móvil se utilizan compuestos no polares, por lo tanto las moléculas de este tipo eluyen primero. Para la fase reversa se utilizan matrices no-polares (hidrocarburos alifáticos) y como fase móvil sustancias polares por lo cual moléculas con estas características eluyen primero.
 - Cromatografía Iónica. En está se utilizan columnas rellenas con resinas de intercambio iónico y se emplean para la separación e identificación de moléculas que se comportan como iones.
 - Cromatografía de exclusión molecular. La fase estacionaria de este tipo de cromatografía se compone por partículas poliméricas o de

sílice, las cuales contienen una red uniforme de poros que llevan a cabo un fraccionamiento de acuerdo al tamaño molecular, eluyendo primero las moléculas de mayor tamaño y por último las de menor tamaño.

Electroforesis en SDS-PAGE. Esta técnica de separación se basa en la migración de proteínas cargadas a través de un campo eléctrico que va de negativo a positivo. Este método de purificación no es comúnmente utilizado para muestras grandes, ya que existen técnicas más simples que no afectan tanto la estructura de las proteínas a analizar ni su función. Por eso, este tipo de electroforesis se utiliza como método analítico, es decir, en el caso de estructuras proteómicas, para proteómica cualitativa y de identificación. Es recomendada para muestras pequeñas (no mayores a 30 μg), en las cuales se tenga la finalidad de identificar la presencia o ausencia de alguna proteína o bien para una proteómica comparativa, en la cual se haya utilizado una purificación en condiciones fuertes.

Esta electroforesis se basa en la masa molecular de los péptidos, generalmente se busca cargar a las proteínas negativamente mediante el uso de un amortiguador con un pH más elevado que el pl de cualquiera de las proteína a separar, para que éstos sean capaces de migrar hacia el polo positivo. La separación se realiza en geles hechos de un polímero reticulado llamado poliacrilamida, la cual actúa como un tamiz molecular, retardando la migración de las proteínas aproximadamente en proporción a su relación carga-masa. Esta migración puede verse afectada por la estructura cuaternaria de la proteína, por lo cual se emplean detergentes encargados de romper cualquier tipo de enlace (inter e intracatenario) y garantizando que la estructura de la proteína no sea un factor que altere la migración, el detergente más utilizado es el Dodecil Sulfato de Sodio (SDS), el cual además de hacer que las proteínas pierdan su estructura nativa por la unión a las zonas apolares del péptido, otorga un carga negativa adicional proporcional al tamaño de los péptidos ya que por que cada dos

aminoácidos existe una molécula de SDS. El resultado de este método es la obtención de bandas a lo largo del polímero (Figura 37) pueden visualizarse gracias a una tinción con Azul de Coomassie o con nitrato de plata. Las bandas teñidas pueden ser comparadas entre sí o con algún grupo control, el empleo de marcadores de pesos moleculares facilita esta operación.

Una de las grandes desventajas que presenta esta técnica es que en una banda se pueden encontrar varias proteínas que poseen el mismo peso molecular pero diferente pl, para solucionar este problema surge la electroforesis en 2 dimensiones (2D).

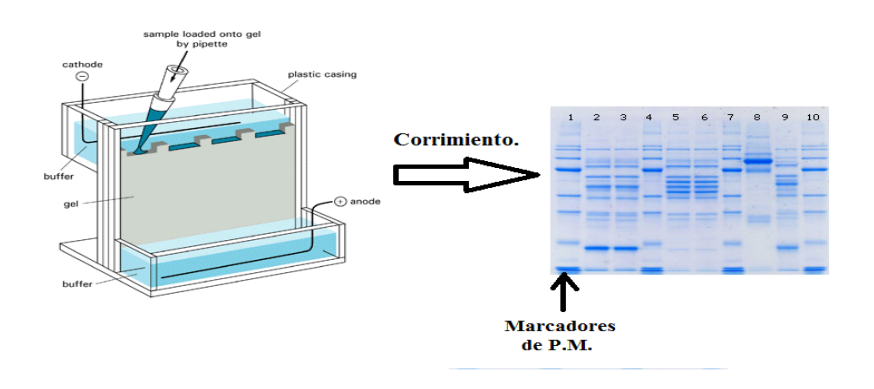


Figura 37. Electroforesis SDS-PAGE. La figura nos muestra la dirección en la cual se encuentra el campo eléctrico y un gel típico resultante de esta técnica teñido con Azul de Coomassie (Nelson y Cox, 2000).

Electroforesis 2D. Su importancia radica en la capacidad que posee para separar miles de proteínas en un solo análisis, lo que hace que tenga un papel importante en la identificación de proteínas expresadas en diferentes enfermedades.

La electroforesis 2D (dos dimensiones) nace de la combinación de dos técnicas; la primera denominada "separación horizontal", que se basa en el enfoque isoeléctrico, el cual separa proteínas de acuerdo a su pl. En este paso se utilizan bandas de acrilamidas de cierta longitud (5, 10 y 18 cm) y rangos de pH que pueden cubrir sólo un intervalo o bien toda la escala (1-14). El fundamento de esta técnica, es el establecimiento de un gradiente

de pH en la tira de acrilamida permitiendo que una mezcla de ácidos y bases orgánicas de bajo peso molecular se distribuyan en un campo eléctrico generado a través del gel. Cuando una muestra de proteínas es aplicada, cada proteína migrará hasta llegar al pH que coincida con su pl, resolviendo así la desventaja de los geles 1D que es, tener proteínas con un mismo peso molecular pero diferente pl. La segunda etapa consiste en la separación por el uso de la electroforesis SDS-PAGE o "separación vertical", la cual hace una separación por peso molecular. El resultado de estas etapas es la obtención de un gel en el cual se identifican manchas.

Una vez que se han separado las proteínas por estos métodos, se puede obtener información de cada una de las manchas en bases de datos (Expasy.org). También se puede seleccionar las manchas de importancia y analizarse por espectrometría de masas. Existen variantes de esta técnica entre la que destaca el DIGE (Difference in gel electrophoresis). En esta variante se emplean flouróforos (CyDy´e), que puede marcar distintas muestras, permitiendo así la generación de una mezcla de varias muestras y realizando una comparación entre éstas, gracias al teñido con los flouróforos.

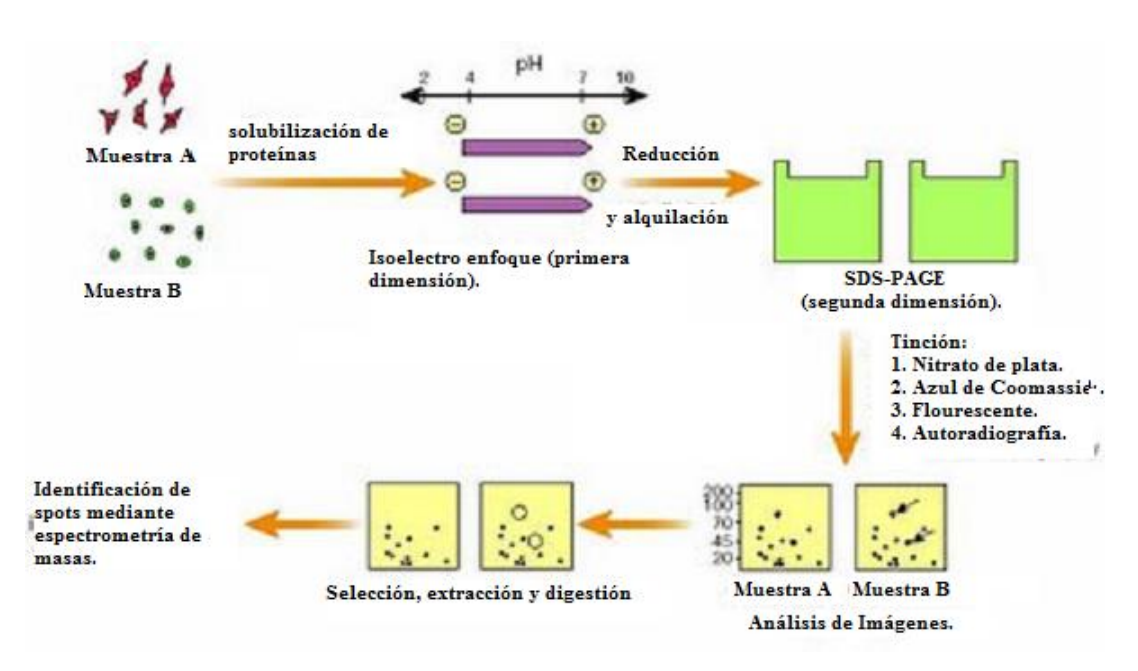


Figura 38. Análisis por Geles 2D (Farmacología básica, http://farmacologiabasica.blogspot.com).

- Chips de proteínas o microarreglos. De éstos se pueden obtener varia información de proteínas que pueden estar alteradas en ciertas enfermedades. Esta información incluye dos rubros, el primero, la determinación de los niveles de expresión y el segundo la determinación de interacciones selectivas con otras biomoléculas. Eexisten matrices de fase inversa que tienen la capacidad de inmovilizar un gran repertorio de proteínas. Estos microareglos pueden obtenerse de forma comercial (previamente diseñados) o diseñarse de acuerdo a su uso. La aplicación clínica más utilizada para este tipo de microareglos es la identificación de proteínas capaces de producir anticuerpos en enfermedades autoinmunes, por ejemplo el lupus eritematoso o la artritis reumatoide. Las matrices más empleadas para este tipo de arreglos son de alta densidad (> 100 elementos/matriz), en las cuales se colocan los anticuerpos de las proteínas que se pretenden identificar y la muestra debe ser etiquetada directamente con un fluoróforo o un hapteno o bien un elemento que permita la develación del resultado. Posteriormente las proteínas son cuantificadas mediante un detector. Existen además de la técnica descrita, diversas variantes como las siguientes:
 - ✓ Microarreglos microspot ELISA y anticuerpos. Son utilizados para trazar el perfil cuantitativo de la expresión de proteínas en cultivos celulares o de muestras clínicas. Las matrices son de baja densidad (9 a 100 elementos/matriz). En este tipo de microarreglos los anticuerpos son conocidos y se pretenden capturar antígenos de las muestras analizadas. Para la detección del antígeno, éste debe ser marcado directamente con un fluoróforo, o un segundo ligante, generando así un ensayo similar a una ELISA.
 - ✓ Microarreglos de captura de un solo anticuerpo. Se utilizan para la obtención de un perfil cualitativo. Este ensayo consiste en múltiples anticuerpos conocidos, que se encuentran fijos a una superficie sólida. Los microareglos detectan la presencia de antígenos en una muestra. Una vez empleado el microarreglo se realiza una

- comparación entre muestras de organismos enfermos y un control o muestra normal. En este tipo de microarreglos, los anticuerpos son unidos a una matriz a la cual se le agrega la muestra y se procede a la adición de un hapteno, capaz de indicar si la reacción antígeno-anticuerpo se ha llevado a cabo.
- ✓ Microarreglos de antígenos fase inversa. La aplicación de los arreglos de antígenos es la detección de auto-anticuerpos en enfermedades autoinmune. Se utilizan matrices de baja densidad y se utiliza suero o plasma como muestras. Este microarreglo empleado para el tratamiento de varias muestras con la finalidad de detectar un pequeño número de antígenos (1 a 3). La detección se realiza con anticuerpos relacionados con un fluorocromo o reactivo de detección de color.
- Espectrometría de masas. Esta técnica es la más utilizada para la identificación de secuencias de polipéptidos cortos; se ha convertido en una herramienta invaluable para la identificación rápida de proteínas desconocidas. En la espectrometría de masas primero el analito es ionizado con vacío, con la finalidad de cargarlo y que así pueda ser introducido a un campo eléctrico o magnético; los caminos que puede tomar a través del campo son una función de la relación masa-carga-radio característica de cada uno de ellos, lo que permite la deducción del tamaño con gran precisión. Durante mucho tiempo esta técnica no se utilizó en macromoléculas debido a las condiciones extremas a las que someten, fue hasta finales de la década de los 80´s en donde surgieron variables menos destructivas con las que puderon realizarse un análisis en macromoléculas, de estas técnicas destacan:
 - Tándem MS o MS/MS. Es una herramienta para la obtención de secuencias polipeptídicas. Su funcionamiento es el siguiente: la solución que contienen las proteínas desconocidas, es tratada con proteasas o reactivos químicos que hidrolizan y generan péptidos

pequeños. Esta mezcla es inyectada en un dispositivo integrado por dos espectrómetros de masas acoplados por un sistema de vacio (Figura 39); en el primer espectrómetro se ordenan los fragmentos ionizados y fragmentados de manera que sólo unos cuantos pasen hacia la cámara de vacío donde se fragmentan aún más y acceden al segundo espectrómetro. Esta operación se hace con la menor cantidad de agua posible. En el segundo espectrómetro la medida de todos los péptidos se encuentra en función de la relación a m/z; los fragmentos generan uno o varios conjuntos de picos, los cuales representan todos los fragmentos obtenidos por el espectrómetro y la cámara de vacío. El tamaño de estas partículas depende de los puntos de rupturas en la proteína, o de la posición del caboxilo o amino terminal. Esta técnica es capaz de identificar con un alto porcentaje de certeza a cada uno de los aminoácidos en una cadena peptídica, excepto en los residuos de leucina e isoleucina.

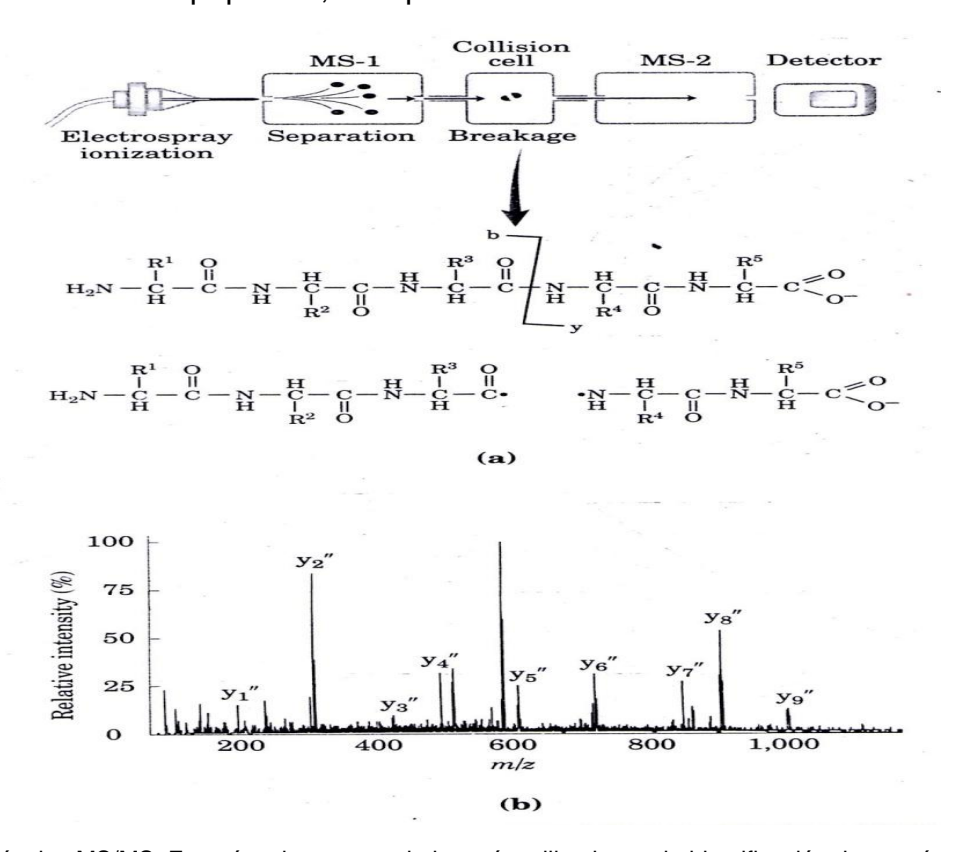


Figura 39. Técnica MS/MS. Esta téncnica es una de las más utilizadas en la identificación de proteínas (Nelson y Cox, 2005).

• MALDI MS o TOF (matrix-assisted laser desorption/ionization mass spectrometry). Descrita por primera vez en 1988 por Tanaka, Karas y Hillen Kamp, hoy en día es una de las técnicas de ionización no volátiles más empleadas. En está técnica la principal modificación es que las proteínas son colocadas en una matriz "light-absorbing" con una concentración cercana a 10 mg/L (Tabla 20); las proteínas deben haber sido previamente disueltas en un solvente adecuado con una concentración de picomoles en microLs. Tanto la matriz como la muestra son colocadas en una plataforma que es introducida al espectrómetro de masas para ser expuesta a pulsos de láser. La finalidad de estos pulsos es la de ionizar a la matriz y a la muestra. La naturaleza de los pulsos es hecha por analizadores TOF o bien analizadores de masas (MS). Una vez ionizada son desorbidas por la matriz e introducidas al sistema de vacío y llevadas a un detector (Figura 40), un punto fundamental en la realización de esta técnica es la elección de la matriz, ya que existen reportes de matrices que generan un mayor desempeño en ciertas muestra (Tabla 18).

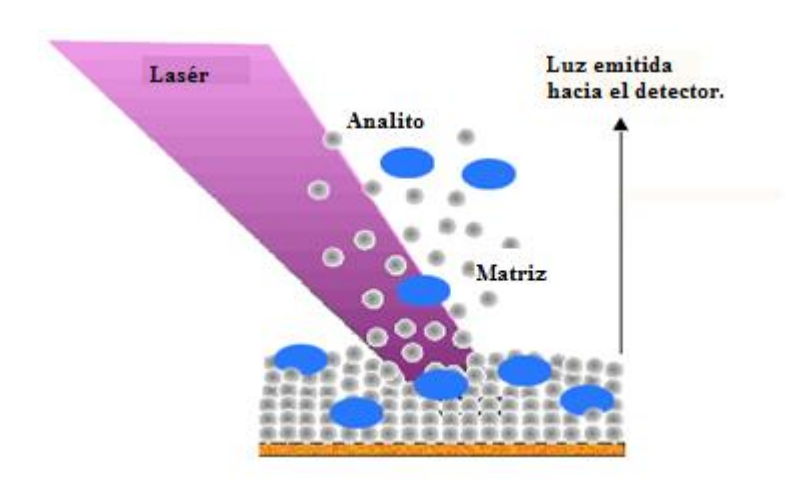


Figura 40. Técnica MALDI-TOF (Biopedia Org, http://biopedia.org).

Tabla 18. Matices empleadas para la identificación de proteínas mediante MALDI MS. Las matrices que se enlistan en la tabla son las más comúnmente empleadas para la realización de MALDI MS (Zhu y Karas, 1995).

Matriz		Aplicación.						
Ácido 2	,5-Dihydroxybenzoico (DHB)	Péptidos,	proteínas,	lípidos	у			
		oligosacáridos.						
Ácido	o 3,5-Dimetoxi-4-hidroxicinámico Péptidos, proteínas y glicoproteínas.							
(acido s	sinapinico)							
Ácido	α-Ciano-4-hidroxicinmico	Péptidos,	proteínas,	lípidos	У			
(CHCA)		oligonucleóti	idos.					

 ESI-MS (electrospray ionization mass spectrometry). Es la segunda técnica más empleada para la identificación de péptidos descrita por Dole (Dole, 1968). La técnica del electrospray consiste fundamentalmente en que las cadenas polipedtídicas en solución son directamente forzadas a que la solución que las contiene cambie al estado gaseoso en una cámara de vacío y de ahí son trasladadas a un detector.

En 1990 se realiza una variante denominada nanoESI (Wilm y Mann, 1996), en la cual se utilizan flujos lentos de la solución (20-40 nL/min) que pasan a través de una aguja cargada que se mantiene con un elevado potencial, dispersando la solución en una fina nube de microgotas. El solvente que rodea las macromoléculas es evaporado rápidamente y el resultado de esto son iones de las macromoléculas cargados y así son introducidos a una fase gaseosa no destructiva; los protones adicionados en el proceso en el cual el analito pasa por la aguja le dan una carga adicional a la macromolécula y la relación m/z de la molécula puede ser analizada en la cámara de vacío por un detector de espectrometría de masa o MS (Figura 41).

El resultado de cada una de estas técnicas se puede entregar en diferentes formatos, de acuerdo a la base de datos empleadas para su identificación (Figura 41).

Si bien existe una gran combinación de técnicas que son utilizadas para la identificación de cambios postraduccionales, las descritas son las más empleadas para la identificación de proteínas que puedan servir con fines de posibles biomarcadores de diagnóstico, pronóstico o terapéuticos.

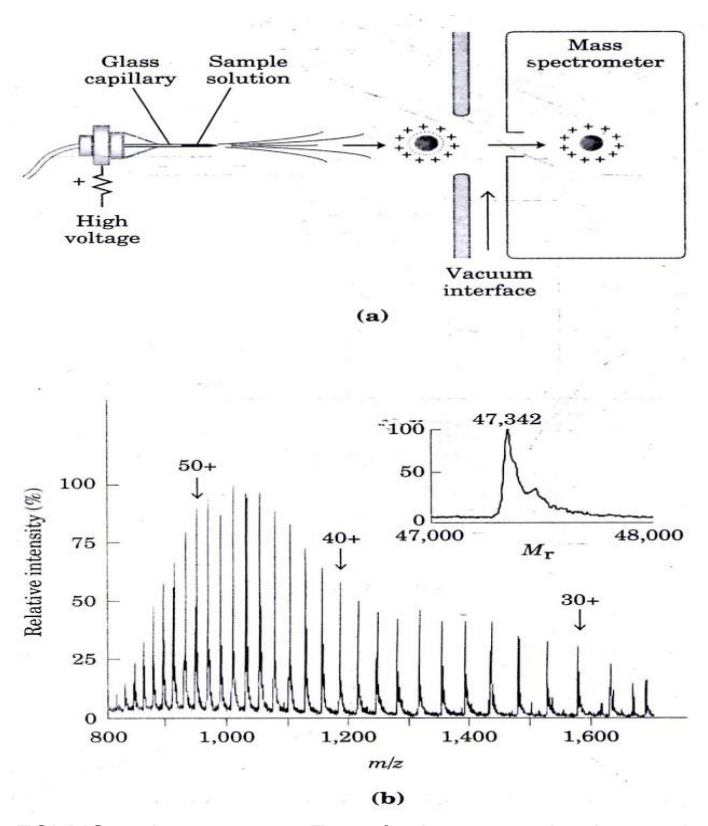


Figura 42. Técnica ESI-MS o electroespray. Esta técnica es empleada para la identificación de proteínas (Nelson y Cox, 2005).

ANEXO II.

Preparación de medios de cultivo y amortiguadores empleados en la identificación de biomarcadores fosforilados y glicosilados.

- 1) Medios de cultivo
- a. Formulación del Medio modificado de Eagle's Dulbecco's o DMEM(ATCC, No. de catálogo 30-2002), el cual fue utilizado en el cultivo de las líneas celulares MCF7, Hs578T y Hs578BsT.

Tabla 19. Componentes de 1L de medio de cultivo DMEM (ATCC, http://www.atcc.org/).

Componentes.	de cultivo DMEM (ATCC, http://www.atcc.or Cocentración (g/L)
Sales Inc	orgánicas.
CaCl2 (anidro)	0.20000
Fe(NO3)3-9H2O	0.00010
MgSO4 (anidro)	0.09770
KCI	0.40000
NaHCO3	1.50000
NaCl	6.40000
NaH2PO4-H2O	0.12500
Amino	ácidos
L-Arginina-HCl	0.08400
L-Cistina	0.06260
L-Glutamina	0.58400
Glicina	0.03000
L-Histidina·HCI·H2O	0.04200
L-Isoleucina	0.10500
L-Lisina·HCI	0.14600
L-Metionina	0.03000
L-fenilalalina 0.06600	0.06600
L-Serina 0.04200	0.04200
L-Treonina 0.09500	0.09500
L-Triptofano 0.01600	0.01600
L-Tirosina-2Na-2H2O	0.10379
L-Valina	0.09400
	1

b. Formulación de Medio de Leibovitz´s (ATCC, No. de catálogo 30-2008), el cual fue empleado en el cultivo de la línea celular MDA-MB231

Tabla 20. Componentes del medio de Leibovitz's (ATCC, http://www.atcc.org/).

Componentes.	Cocentración (g/L)
Sales Ir	norgánicas.
CaCl2 (anidro)	0.14000
MgCl2·6H2O 0.20000	MgCl2·6H2O 0.20000
MgSO4 (anidro)	0.09767
KCI	0.40000
KH ₂ PO ₄	0.06000
NaCl	8.00000
NaH2PO4	0.19000 o ácidos
L-Arginina(base)	0.50000
L-Alanina	0.22500
L-Asparagina·H2O	0.50000
Glicina	0.20000
L-Cisteina (base)	0.12000
L-Glutamina	0.30000
L-Histidina (base)	0.25000
L-Isoleucina	0.12500
L-Leucina	0.12500
L-Serina 0.04200	0.20000
L-Treonina 0.09500	0.30000
L-Triptofano 0.01600	0.02000
L-Tirosina-2Na-2H2O	0.43000
L-Valina	0.10000
L-Lisina·HCl	0.09370
L-Metionina	0.07500
L-fenilalalina	0.12500
Vita	minas.
Cloruro de Colina	0.00100
Riboflavina-5-PO ₄ PO ₄ ·Na-2H2O	0.00010
Mio-Inositol	0.00200
Nicotinamida	0.00100
Ácido D-Pantotenico	0.00100
Acido Fólico	0.00100
Tiamina-PO4-CI-2H2O	0.00100
D-Galactosa	0.90000
Rojo de Fenol, Sal de Sodio	0.01000
Piruvato de Sodio	0.55000

2) Preparación de Amortiguadores.

a) Buffer HEPES (1 L):

10mM HEPES 2.38=HEPES (M.M 238.31 g/mol).

150 mM NaCl 8.77=NaCl (M.M 58.44 g/mol).

Disolver HEPES y NaCl en 900 mL de agua destilada y ajustar pH a 7.4 usando NaOH.

Ajustar el volumen a 1 L.

b) Buffer 1xTBS (1 L):

10mM Tris-Cl=1.21g de Tris base (P.M 121.14 g/mol).

150 mM NaCl=8.77 g de NaCl (M.M 58.44 g/mol).

Disolver Tris-Cl y NaCl en 900 mL de agua destilada y ajustar pH a 7.4 usando HCl. Ajustar el volumen a 1L.

c) Amortiguador para Electroforesis SDS LaemmLi. (10X).

Compuesto.	Concentración.	Masa o Volumen.
Tris base (P.M 121.1)	250 mM	303 g
Glicina (P.M 75.07)	1.92 M	1441 g
SDS (P.M 288.38)	1% (w/v)	100 g
Agua bi-destilada	-	10L

• El pH de esta solución puede no está ajustado.

d) Solución de Azul de Bromofenol.

Compuesto.	Concentración.	Masa o Volumen.
Azul de Bromofenol.	1%	100 mg
Tris-base	50 mM	60 mg
Agua bi-destilada		10mL

e) Solución SDS 10%.

Compuesto.	Concentración.	Masa o Volumen.		
SDS (P.M 288.38)	10% (w/v)	5.0 g		
Agua bi-destilada		50mL		

[•] Filtrar la solución a través de un filtro de 0.45 µm. Almacenar a temperatura ambiente.

f) Persulfato de amonio (PSA) al 10%.

Compuesto.	Concentración.	Masa o Volumen.
Persulfato de Amonio (P.M 228.20)	10% (w/v)	1.0g
Agua bi-destilada		10mL

Si se presentan cristales, preparar nueva solución.

g) Azul de Comassie al 5% G-250.

Compuesto.	Concentración.	Masa o Volumen.		
Azul de Coomassie G-250	5%	0.5g		
Agua bi-destilada		a 10 mL		

Agitar por algunos minutos hasta que se disperse el Aul de Coomassie. El colorante no se disuelve por completo.

h) DIGE.- 7M Urea, 2M Tiourea, 30 mM Tris, 4% CHAPS pH 8.5

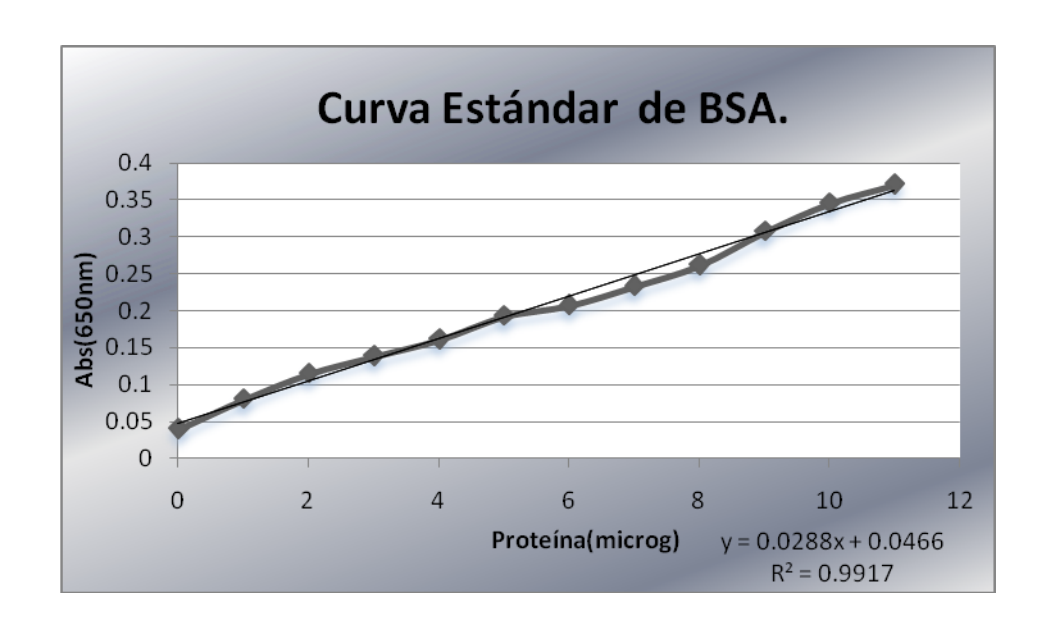
ANEXO III.

Tablas y cálculos para la cuantificación de las fracciones de fosfoproteínas y glicoproteínas obtenidas mediante cromatografía de afinidad.

A. Primera separación.

Tabla 21. Valores de absorbancia para el cálculo de la curva estándar de BSA.

	CURVA ESTÁNDAR											
Proteína(mg)	0	1	2	3	4	5	6	7	8	9	10	11
Abs sin prot.	0.0496	0.0488	0.0485	0.0503	0.0487	0.0482	0.0468	0.0484	0.0486	0.0466	0.047	0.0418
Abs con prot.	0.0896	0.1294	0.1637	0.1892	0.2102	0.2412	0.2546	0.2822	0.3108	0.3541	0.3931	0.4131
Absorbancia.	0.04	0.0806	0.1152	0.1389	0.1615	0.193	0.2078	0.2338	0.2622	0.3075	0.3461	0.3713



Gráfica 1. Curva estándar de BSA (0µg-11µg). Absorbancia vs Concentración de Proteína.

GLICOPROTEÍNAS.

Tabla 22. Cuantificación de las fracciones de glicoprotéinas obtenidas por cromatografía de afinidad de la línea celular MDA-MB 231. Fracciones fueron precipitadas con Acetona (-20) y reconstituidas en Buffer tris pH 7.4.

Muestra	MDA	total.	MDA s	/Glico	MDA GLICO	
Volumen cargado (µL).	3	3	3	3	3	3
Sin proteína.	0.0471	0.0475	0.0418	0.0425	0.0463	0.0476
Con proteína.	0.6617	0.6514	0.6603	0.6556	0.5764	0.5969
Diferencia	0.1644	0.1537	0.1683	0.1629	0.0799	0.0991
Proteína (mg).	2.4268	3.3636	4.0622	3.8038	-0.1675	0.7512
Concentración (mg/mL).	0.8089	1.1212	1.3541	1.2679	-0.0558	0.2504
Promedio.	0.9	651	1.3110		0.0973	
Volumen total obtenido (µL).	10	00	1000		300	
Volumen original de muestra (µL).	10	00	500		30	0
Volumen de resupensión (µL).	5	0	15	50	40)
Factor de disolución.	1	0	2	<u> </u>	1	
μg resuspendidos.	48.2535		196.6507		3.8915	
Total (µg).	482.	5346	393.3	3014	3.8915	

Tabla 23. Cuantificación de las fracciones de glicoprotéinas obtenidas por cromatografía de afinidad de la línea celular MCF7. Fracciones fueron precipitadas con Acetona (-20) y reconstituidas en Buffer tris pH 7.4.

Muestra	Total I	MCF7	MCF7	s/Glico	MCF7 GLICO	
Volumen cargado (µL).	4	4	4	4	4	4
Sin proteína.	0.0477	0.0458	0.0479	0.0479	0.0487	0.0465
Con proteína.	1.0955	1.1087	1.0909	1.0112	1.0482	1.0177
Diferencia	0.139	0.1541	0.1342	0.0545	0.0907	0.0624
Proteína (mg).	2.0914	2.4746	1.9695	-0.0533	0.8655	0.1472
Concentración (mg/mL).	0.5228	0.6187	0.4924	-0.0133	0.2164	0.0368
Promedio.	0.5	707	0.2395		0.1266	
Volumen total obtenido (µL).	10	00	1000		300	
Volumen original de muestra (µL).	10	00	500		30	00
Volumen de resupensión (µL).	5	0	1:	50	5	0
Factor de disolución.	10			2	1	
μg resuspendidos.	28.5374		35.9296		6.3293	
Total (µg).	285.3	3744	71.8	3591	6.3293	

Tabla 24. Cuantificación de las fracciones de glicoprotéinas obtenidas por cromatografía de afinidad de la línea celular Hs578T. Fracciones fueron precipitadas con Acetona (-20) y reconstituidas en Buffer tris pH 7.4.

Muestra	Hs578	3 total.	Hs578T	Hs578T s/GLICO		t glico
Volumen cargado (μL).	4	4	4	4	4	4
Sin proteína.	0.0471	0.0481	0.0428	0.0415	0.0487	0.048
Con proteína.	0.6472	0.6525	0.6885	0.6737	0.6012	0.5929
Diferencia	0.1499	0.1542	0.1955	0.182	0.0525	0.0947
Proteína (mg).	3.2058	3.3827	5.0823	4.5267	-0.8025	0.9342
Concentración (mg/mL).	0.8014	0.8457	1.2706	1.1317	-0.2006	0.2335
Promedio.	0.82	235	1.2011		0.0164	
Volumen total obtenido (µL).	10	00	1000		300	
Volumen original de muestra (μL).	10	00	50	00	30	0
Volumen de resupensión (µL).	5	0	15	50	20)
Factor de disolución.	10		2	2	1	
μg resuspendidos.	41.1780		180.1698		0.3292	
Total (µg).	411.7	7798	360.	3395	0.3292	

FOSFOPROTEÍNAS.

Tabla 25. Cuantificación de las fracciones de fosfoproteínas obtenidas por cromatografía de afinidad de la línea celular MDA-MB-231. Fracciones fueron precipitadas con Acetona (-20) y reconstituidas en Buffer tris pH 7.4.

Muestra	TOTALES	S MDA	S/FOSF	O MDA	FOSF) MDA
Volumen cargado (μL).	2	2	2	2	2	2
Sin proteína.	0.0483	0.0452	0.0499	0.0441	0.0479	0.0458
Con proteína.	0.7276	0.7303	0.7074	0.6907	0.6106	0.6008
Diferencia	0.0939	0.0997	0.0721	0.0612	-0.0227	-0.0304
Proteína (mg).	1.3937	1.5590	0.7726	0.4621	-1.9282	-2.1476
Concentración (mg/mL).	0.6969	0.7795	0.3863	0.2311	-0.9641	-1.0738
Promedio.	0.738	82	0.3087		-1.0189	
Volumen total obtenido (μL).	500	0	10000		2500	
Volumen original de muestra (µL).	500)	50	00	25	00
Volumen de resupensión (µL).	75		7	5	2	5
Factor de disolución.	10		2	0	1	l
μg resuspendidos.	55.3632		23.1517			
Total (µg).	553.6325		463.0342			

Tabla 26. Cuantificación de las fracciones de fosfoproteínas obtenidas por cromatografía de afinidad de la línea celular MCF7. Fracciones fueron precipitadas con Acetona (-20) y reconstituidas en Buffer tris pH 7.4.

Muestra	TOTALE	S MCF7	S/FOSF	O MCF7	FOSFO MCF7	
Volumen cargado (μL).	2	2	2	2	2	2
Sin proteína.	0.0413	0.0426	0.0418	0.0417	0.0487	0.0465
Con proteína.	0.7171	0.7053	0.6862	0.6929	0.5765	0.5853
Diferencia	0.0904	0.0773	0.0590	0.0658	-0.0576	-0.0466
Proteína (mg).	1.2940	0.9208	0.3994	0.5932	-2.9225	-2.6091
Concentración (mg/mL).	0.6470	0.4604	0.1997	0.2966	-1.4613	-1.3046
Promedio.	0.5	537	0.2481		-1.3829	
Volumen total obtenido (µL).	50	00	100	000	25	00
Volumen original de muestra (μL).	50	00	50	00	25	00
Volumen de resupensión (µL).	10	00	7	0	2	5
Factor de disolución.	1	0	2	0	1	
μg resuspendidos.	55.3704		17.3704			
Total (µg).	553.7	7037	347.	4074		

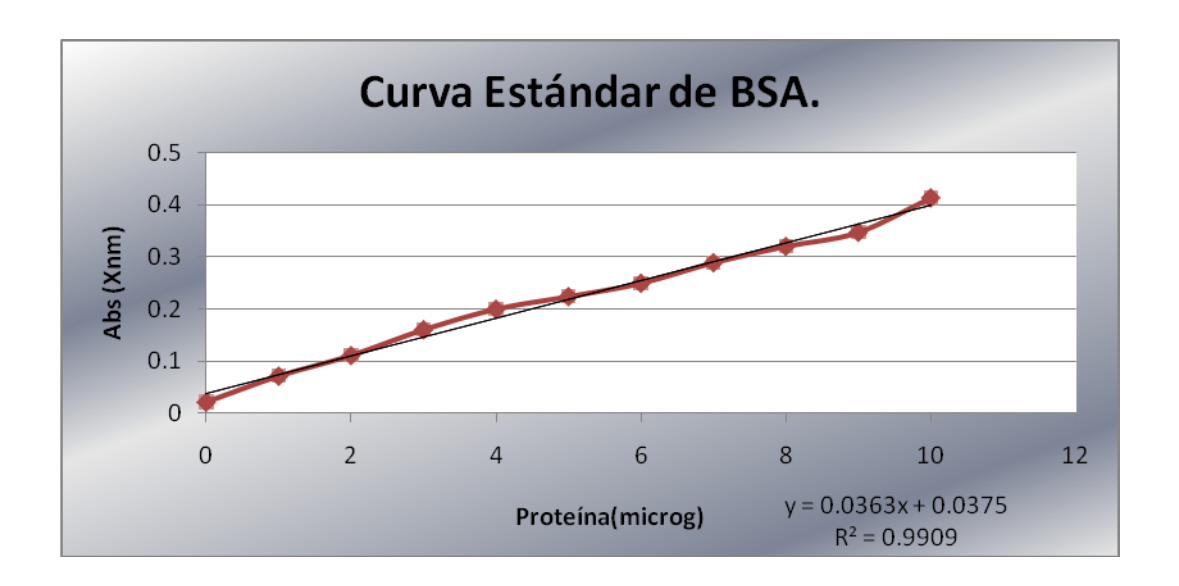
Tabla 27. Cuantificación de las fracciones de fosfoproteínas obtenidas por cromatografía de afinidad de la línea celular Hs578T. Fracciones fueron precipitadas con Acetona (-20) y reconstituidas en Buffer tris pH 7.4.

Muestra	TOTALES	Hs578T	S/FOSFC	Hs578T	FOSFO	Hs578T
Volumen cargado (µL).	2	2	2	2	2	2
Sin proteína.	0.0408	0.0436	0.0443	0.0415	0.0487	0.048
Con proteína.	0.7066	0.6985	0.6836	0.6775	0.6112	0.6219
Diferencia	0.0804	0.0695	0.0539	0.0506	-0.0229	-0.0115
Proteína (mg).	1.0091	0.6986	0.2541	0.1601	-1.9339	-1.6091
Concentración (mg/mL).	0.5046	0.3493	0.1271	0.0801	-0.9670	-0.8046
Promedio.	0.42	269	0.1036		-0.8858	
Volumen total obtenido (µL).	50	00	10000		2500	
Volumen original de muestra (μL).	50	00	50	00	25	00
Volumen de resupensión (µL).	7	5	7	0	2	5
Factor de disolución.	1	0	2	0	,	1
μg resuspendidos.	32.0192		7.2493			
Total (µg).	320.	1923	144.	9858		

B. Segunda separación.

Tabla 28. Valores de absorbancia para calcular la curva estándar de BSA.

	CURVA ESTÁNDAR										
Proteína(µg)	0	1	2	3	4	5	6	7	8	9	10
Abs. sin prot.	0.041	0.0425	0.0448	0.0423	0.0415	0.0424	0.0421	0.0418	0.0407	0.0416	0.0418
Abs. Con prot.	0.0628	0.1142	0.156	0.2029	0.2415	0.2665	0.2917	0.3309	0.361	0.3887	0.455
Absorbancia.	0.0218	0.0717	0.1112	0.1606	0.2	0.2241	0.2496	0.2891	0.3203	0.3471	0.4132



Gráfica 2. Curva estándar de BSA (0µg-10µg). Absorbancia vs. Concentración de Proteína.

GLICOPROTEÍNAS.

Tabla 29. Cuantificación de las fracciones de glicoproteínas obtenidas por cromatografía de afinidad de la línea celular MDA-MB 231. Fracciones fueron precipitadas con cloroformo-metanol (-20) y reconstituidas en Buffer DIGE.

Muestra	MDA to	otal.	MDA s/	Glico	MDA GLICO	
Volumen cargado (µL).	3	3	3	3	3	3
Sin proteína.	0.0403	0.0422	0.0410	0.0411	0.0414	0.0421
Con proteína.	0.7619	0.7558	0.7803	0.7956	0.6588	0.6653
Diferencia	0.2714	0.2634	0.2891	0.3043	0.1672	0.1730
Proteína (mg).	6.9038	8.6124	9.8421	10.5694	4.0096	4.2871
Concentración (mg/mL).	2.3013	2.8708	3.2807	3.5231	1.3365	1.4290
Promedio.	2.586	60	3.4019		1.3	828
Volumen total obtenido (µL).	1000)	1000		300	
Volumen original de muestra (µL).	100		500		30	00
Volumen de resupensión (µL).	50		150)	4	0
Factor de disolución.	10		2		1	
μg resuspendidos.	129.3017		510.2871		55.3110	
Total (µg).	1293.0172		1020.5742		55.3110	

Tabla 30. Cuantificación de las fracciones de glicoproteínas obtenidas por cromatografía de afinidad de la línea celular MCF7. Fracciones fueron precipitadas con cloroformo-metanol y reconstituidas en Buffer DIGE.

Muestra	Total M	ICF7	MCF7 s	/Glico	MCF7 GLICO	
Volumen cargado (µL).	4	4	4	4	4	4
Sin proteína.	0.0402	0.0414	0.041	0.0413	0.0416	0.0414
Con proteína.	1.4255	1.4173	1.5969	1.6112	1.1412	1.1887
Diferencia	0.4765	0.4671	0.6471	0.6611	0.1908	0.2385
Proteína (mg).	10.6574	10.4188	14.9873	15.3426	3.4061	4.6168
Concentración (mg/mL).	2.6643	2.6047	3.7468	3.8357	0.8515	1.1542
Promedio.	2.63	45	3.7912		1.0029	
Volumen total obtenido (µL).	100	0	1000		300	
Volumen original de muestra (μL).	100)	500		300	
Volumen de resupensión (µL).	50		150)	5	0
Factor de disolución.	10		2		1	
μg resuspendidos.	131.7259		568.6865		50.1428	
Total (µg).	1317.2589		1137.3731		50.1428	

Tabla 31. Cuantificación de las fracciones de glicoproteínas obtenidas por cromatografía de afinidad de la línea celular Hs578T. Fracciones fueron precipitadas con cloroformo-metanol y reconstituidas en Buffer DIGE.

Muestra	Hs578	total.	Hs578T s	GLICO	Hs578t glico	
Volumen cargado (µL).	4	4	4	4	4	4
Sin proteína.	0.0415	0.0421	0.0428	0.0415	0.041	0.0424
Con proteína.	0.8634	0.8677	0.9785	1.0037	0.8661	0.8593
Diferencia	0.3717	0.3754	0.4855	0.512	0.3251	0.3667
Proteína (mg).	12.3333	12.4856	17.0165	18.1070	10.4156	12.1276
Concentración (mg/mL).	3.0833	3.1214	4.2541	4.5267	2.6039	3.0319
Promedio.	3.10236	6255	4.390432099		2.817901235	
Volumen total obtenido (µL).	100	0	1000		300	
Volumen original de muestra (µL).	100)	500)	30	00
Volumen de resupensión (µL).	50	ı	150)	20	
Factor de disolución.	10	ı	2		1	
μg resuspendidos.	155.1183		658.5648		56.3580	
Total (µg).	1551.1831		1317.1296		56.3580	

FOSFOPROTEÍNAS.

Tabla 32. Cuantificación de las fracciones de glicoproteínas obtenidas por cromatografía de afinidad de la línea celular MDA. Fracciones fueron precipitadas con cloroformo-metanol y reconstituidas en Buffer DIGE.

Muestra	TOTALES MDA		S/FOSFO MDA		FOSFO MDA	
Volumen cargado (µL).	2	2	2	2	2	2
Sin proteína.	0.0463	0.0432	0.0409	0.0421	0.0414	0.0416
Con proteína.	0.7876	0.7803	0.7174	0.7207	0.8011	0.8378
Diferencia	0.1559	0.1517	0.0911	0.0932	0.1743	0.2108
Proteína (mg).	3.1601	3.0405	1.3140	1.3738	3.6843	4.7242
Concentración (mg/mL).	1.5801	1.5202	0.6570	0.6869	1.8422	2.3621
Promedio.	1.5	501	0.6719		2.1021	
Volumen total obtenido (µL).	50	00	10000		2500	
Volumen original de muestra (µL).	50	00	50	00	25	00
Volumen de resupensión (µL).	7	5	7	5	2	5
Factor de disolución.	10		2	0	1	
μg resuspendidos.	116.2607		50.3953		52.5534	
Total (µg).	1162.	6068	1007.	9060	52.5534	

Tabla 33. Cuantificación de las fracciones de glicoproteínas obtenidas por cromatografía de afinidad de la línea celular MCF7. Fracciones fueron precipitadas con cloroformo-metanol y reconstituidas en Buffer DIGE.

Muestra	TOTALES	MCF7	S/FOSFO	MCF7	FOSFO MCF7	
Volumen cargado (μL).	2	2	2	2	2	2
Sin proteína.	0.0409	0.0405	0.0425	0.0421	0.0417	0.0411
Con proteína.	0.7688	0.7526	0.7245	0.7322	0.8118	0.8238
Diferencia	0.1425	0.1267	0.0966	0.1047	0.1847	0.1973
Proteína (mg).	2.7783	2.3282	1.4707	1.7014	3.9806	4.3396
Concentración (mg/mL).	1.3892	1.1641	0.7353	0.8507	1.9903	2.1698
Promedio.	1.276	66	0.7930		2.0801	
Volumen total obtenido (µL).	5000)	10000		2500	
Volumen original de muestra (µL).	500		500		25	00
Volumen de resupensión (µL).	100		70		2	5
Factor de disolución.	10		20		1	
μg resuspendidos.	127.6638		55.5114		52.0014	
Total (µg).	1276.6382		1110.2279		52.0014	

Tabla 34. Cuantificación de las fracciones de glicoproteínas obtenidas por cromatografía de afinidad de la línea celular Hs578T. Fracciones fueron precipitadas con cloroformo-metanol y reconstituidas en Buffer DIGE.

Muestra	TOTALES	S Hs578T	S/FOSFO Hs578T		FOSFO Hs578T	
Volumen cargado (µL).	2	2	2	2	2	2
Sin proteína.	0.0406	0.0409	0.0413	0.0425	0.0416	0.0420
Con proteína.	0.7766	0.7885	0.7236	0.7305	0.8335	0.8458
Diferencia	0.1506	0.1622	0.0969	0.1026	0.2065	0.2184
Proteína (mg).	3.0091	3.3396	1.4792	1.6416	4.6017	4.9407
Concentración (mg/mL).	1.5046	1.6698	0.7396	0.8208	2.3009	2.4704
Promedio.	1.58	872	0.78	802	2.3	856
Volumen total obtenido (µL).	50	00	100	000	25	00
Volumen original de muestra (µL).	50	00	50	00	25	00
Volumen de resupensión (µL).	7	5	7	0	2	5
Factor de disolución.	1	0	2	0	,	
μg resuspendidos.	119.0	0385	54.6	3140	59.6	3403
Total (µg).	1190.	3846	1092.	.2792	59.6	403

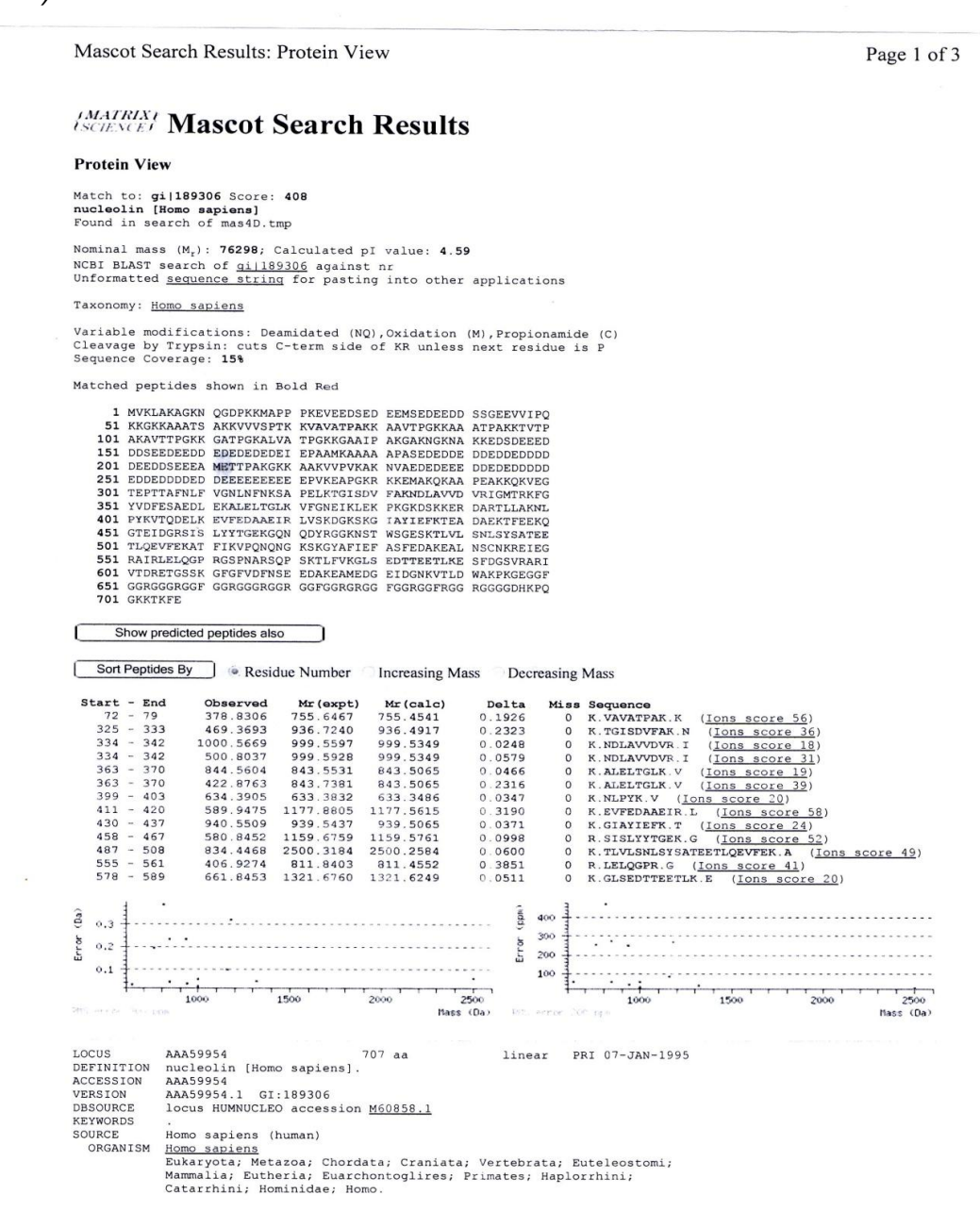
Tabla 35. Cuantificación de las fracciones de glicoproteínas obtenidas por cromatografía de afinidad de la línea celular Hs578BsT. Fracciones fueron precipitadas con cloroformo-metanol y reconstituidas en Buffer DIGE.

Muestra	TOTALES	Hs578BsT	S/FOSFO	Hs578BsT	FOSFO H	ls578BsT
Volumen cargado (µL).	2	2	2	2	2	2
Sin proteína.	0.0401	0.0414	0.0416	0.0414	0.0410	0.0414
Con proteína.	0.6567	0.6523	0.6892	0.6998	0.6522	0.6611
Diferencia	0.1166	0.1109	0.1476	0.1584	0.1112	0.1197
Proteína (mg).	0.5154	0.3208	1.5734	1.9420	0.3311	0.6212
Concentración (mg/mL).	0.2577	0.1604	0.7867	0.9710	0.1655	0.3106
Promedio.	0.2	090	0.8	788	0.23	381
Volumen total obtenido (µL).	20	00	20	00	25	00
Volumen original de muestra (µL).	25	50	20	00	25	00
Volumen de resupensión (µL).	7	5	7	5	2	5
Factor de disolución.	8	3	,	1	1	
μg resuspendidos.	15.6	783	65.9	130	5.9	514
Total (µg).	125.	4266	65.9	130	5.9	514

ANEXO III.

Resultados de LC/MS-MS/MS de las fosfoproteínas y glicoproteínas seleccionadas como posibles biomarcadores.

1) Nucleolina.



 $http://www.matrixscience.com/cgi/protein_view.pl? file=../data/20100603/FteAifaOE.dat... \\ 06/09/20100603/FteAifaOE.dat... \\ 06/09/201060603/FteAifaOE.dat... \\ 06/09/20100603/FteAifaOE.dat... \\ 06/09/201006000603/FteAifaOE.dat... \\ 06/09/20100603/FteAifaOE.dat... \\ 06/09/20100600603/FteAifaOE.dat... \\ 06/09/201006000603/FteAifaOE.dat... \\ 06/$

Mascot Search Results: Protein View

Page 3 of 3

```
/coded_by="join(M60858.1:1181..1198,M60858.1:2159..2275,M60858.1:3439..3916,M60858.1:4587..4784,M60858.1:3439..3916,M60858.1:4587..4784,M60858.1:6307..6431,M60858.1:5103..7160,M60858.1:6307..76431,M60858.1:7032..7160,M60858.1:7620..7777,M60858.1:8292..8415,M60858.1:8652..8785,M60858.1:8292..8415,M60858.1:9792..10006,M60858.1:10140..10216)"
/db_xref="GDB:G00-125-908"
```

Mascot: http://www.matrixscience.com/

Page 1 of 2

Mascot Search Results: Protein View

IMATRIX! Mascot Search Results

```
Protein View
```

REFERENCE AUTHORS TITLE JOURNAL REFERENCE

Kiledjian, M. Direct Submission

```
Match to: gi|32358 Score: 370
hnRNP U protein [Homo sapiens]
Found in search of mas4D.tmp
Nominal mass (M,): 88890; Calculated pl value: 5.60
NCBI BLAST search of <a href="mailto:qii32358">qii32358</a> against nr
Unformatted <a href="mailto:sequence-string">sequence-string</a> for pasting into other applications
Variable modifications: Deamidated (NQ),Oxidation (M),Propionamide (C)
Cleavage by Trypsin: cuts C-term side of KR unless next residue is P
Sequence Coverage: 13%
Matched peptides shown in Bold Red
         1 MSSSPVNYKK LKVSELKEEL KKRRLSDKGL KARLMERLQA ALDDEEAGGR
51 PAMPPGNGSL DLGGDBAGRS GAGLEQEAAA GGDEEEEEE EEEEGISALD
101 GDWELGEEN GAAGAADSGP MEREBAASED ENGDDGFGE GEDELGDEE
151 GAGDGNHGE QOPQPATQO QOPQQRGAA KEAAGKSSGP TSLFAVTVAP
201 PGARQGQQA GGDGKTECKG GDKKRGVKRP REDHIGRGYFE YLFENKYSRA
251 KSPGPPVEEE DEHFDDTVVC LDTYNCDLHF KI SKBRLSAS SLTMESFAFL
301 WAGGRASYGV SKGKVCFEMK VTEKIFVRHL YTKDIDIBEV RIGWSLTTSG
315 MLLGEBEFFSY GYSLKGIKTC NCETEDDYGEK FDENDVITCF ANFESDEVEL
401 SYANNGQDLG VAFKISKEVL AGRPLFPHVL CHNCAVEFNF GGKEKFYFFI
451 PREVTFTQNN PLEBDRYGFK GFERKDCEV VMM GLEGAG KTTWTKHRAD
501 ENFGKYNILG TNTTMDNMW AGFKKOMADT GKLNTLUGRA PGCLGKFEI
551 AARKRENFIL DGTNWAAAAQ RKRMCLFAFG FGKRAVVVCFR DEDYKGTTGK
601 KAEVEGKDLP EKANNTGKK SOKNONTGKK SNKNNSGKNO PENRGGHGRG GGLMMGGNF
701 RGGAPGREG YNRRGKMPOR GGGGGGSGGI GYPYPRAPVF PGRGSYSNRG
701 NNRRGMPNR GNYNONFRGR GNNRGYKNGS QGYNOWQQGQ FWGQKFWSQH
801 YHQGYY
            Show predicted peptides also
          Sort Peptides By Residue Number Increasing Mass Decreasing Mass

        Observed
        Mr (expt)
        Mr (calc)

        857, 9875
        1713, 9964
        1713, 9964

        646, 3953
        1290, 7761
        1290, 5768

        498, 7952
        995, 5758
        995, 5036

        908,8046
        2723,3921
        2724, 3323

        429,4341
        856,8536
        856,5130

        819,5357
        618,5295
        818,4650

        410,3668
        818,7190
        818,4650

        824,4743
        1646,9340
        1646,8376

        511,3428
        1020,6711
        1020,5604

                                                                                                                                           Mr (calc)
1713.9050
1290.5768
                                                                                                                                                                                                 0.0554
0.1993
0.0722
-0.9402
0.0684
0.3406
0.0644
                                  204
246
                                517
539
553
553
571
616
                                                                                                                                                                                                   0.2540
0.0964
0.1107
                                                                                                                                                                                                                    ĝ 250 -----
                                                                                                                                                                                                                             -250
                                             CAM46472 806 aa
hnRNP U protein [Homo sapiens].
CAM46472
CAM46472.1 GI:32358
embl accession X65488.1
                                                                                                                                                                                                               linear PRI 18-APR-2005
                                                 .
Homo sapiens (human)
   SOURCE
ORGANISM
                                            Homo sapiens (human)
Homo sapiens
Eukaryota; Metazoa; Chordata; Craniata; Vertebrata; Euteleostomi;
Mammalia; Eutheria; Euarchontoglires; Primates; Haplorrhini;
Catarrhini; Hominidae; Homo.

1 (residues 1 to 806)
Kiledian,M. and Dreyfuss,G.
Primary structure and binding activity of the hnRNP U protein:
binding RNA through RGG box
EMBO J. 11 (7), 2655-2664 (1992)
1628625
2 (residues 1 to 806)
Kiledian,M.
```

```
PA 19104-6148, USA
Location/Qualifiers
1..806
/organism="Hemo sapiens"
/strain="Hela D98"
/db xref="taxon:9606"
/clone="pGem-U21.1"
/lone=1lb="lambda GT11"
1..806
/product="hnRNP U protein"
328..443
/region_name="SPRY"
/note="SPRY domain; cl02614"
/db xref="CDD:155014"
480..630
/region_name="NRN"
/note="Nucleoside/nucleotide kinase (NK) is a protein superfamily consisting of multiple families of enzymes that share syncutrus is milarity and are functionally related to the catalysis of the reversible phosphate group transfer from nucleoside...; cl11962"
/db xref="CDD:175.376"
1..806
/gene="U21.1"
/coded_by="X65488.1:42..2462"
/db xref="GOB:347588"
/db xref="GOB:080838"
/db xref="GOB:080838"
/db xref="FORE:1548"
/db xref="FORE:1548"
/db xref="FORE:1282"
/db xref="UniProtKB/Swiss-Prot:000834"
FEATURES source
                                      Region
                                      Region
                                      CDS
```

Mascot: http://www.matrixscience.com/

Mascot Search Results: Protein View

448

IMATRIXI Mascot Search Results Protein View Match to: gi|20149594 Score: 561 heat shock protein HSP 90-beta [Homo sapiens] Found in search of mas52.tmp Nominal mass $(M_{\rm p})$: 83212; Calculated pI value: 4.97 NCBI BLAST search of $\underline{qi|20149594}$ against nr Unformatted $\underline{sequence\ string}$ for pasting into other applications Taxonomy: Homo sations Links to retrieve other entries containing this sequence from NCBI Entrex: dil7865718 from Homo sapiens dil386586 from Homo sapiens dil13865818 from Homo sapiens dil15680260 from Homo sapiens dil15803655 from Homo sapiens dil1580360 from Homo sapiens dil1680360 from Homo sapiens dil1680370 from Homo sapiens dil116824663 from Homo sapiens dil119624663 from Homo sapiens dil119624665 from Homo sapiens dil119624665 from Homo sapiens dil119627665 from Synthetic construct dil168277956 from Synthetic construct dil168277956 from Homo sapiens dil189053381 from Homo sapiens Variable modifications: Deamidated (NQ),Oxidation (M),Propionamide (C) Cleavage by Trypsin: cuts C-term side of KR unless next residue is P Sequence Coverage: 21% Matched peptides shown in Bold Red 1 MPECYHHGEE EVETFAFQAE IAQLMSLIIN TFYSNKEIFL RELISNASDA 51 LDKIRYBSLT DEPSKLDSCKE LKIDIINPPQ ERTITLVDTG IGMTKADLIN 101 NLGTIANSGT KAFMEALQAG ADISMIGGFG VGFYSAYLVA EKVVVITKHN 101 DDGOVAMESA SAGSFTVARAD HGEPIGRGTK VILHLKEDGO ETLERSRYKE 201 VVKKHSQPIG YPITLYLEKE REKEISDDEA EERGEKEED DKODEERPK 201 LVVKKHSQPIG YPITLYLEKE REKEISDDEA EERGEKEED DKODEERPK 201 LVGGOBEDD SGKDKKKKKK KLEKYLDOG ELHKTKPIPT RNPUDITGED 301 YGEFYKSLIN DWEDHLAVKH FSVEGQLEFR ALLFIPRAP FDLFENKKK 301 NNIKLYVRRV FIMDSCDELI PEYLMFIRGV VDSEDLPLNI SKEMLOGSKI 401 LKVIRKNIVK KCLELFSELA EDKENYKKFY EAFSKNLAG HEDDITNRR 401 LKVIRKNIVK KCLELFSELA EDKENYKKFY EAFSKNLAG HEDDITNRR 401 LKVIRKRGFEV VYMTEPIDEY CVQLIKEFDG KSLVSVTREG LELPEDEEK 501 ERVRRGFEV VYMTEPIDEY CVQLIKEFDG KSLVSVTREG LELPEDEEK 501 NKMESSKAF ENLCKLMKEI LDKKVEKVTI SNRLVSSPCC IVTSTYGKTA 601 NMERINKAQA LRONSTMGYM MAKKHLEIND DHFIVETING KREAVKNOKA 651 VKDLVVLLFE TALLSSGFSI EDPOTHSNRI YRMIKLGLGI DEDEVAAEEP 701 NAAVPDEIPP LEGDEDASRM EEVD Show predicted peptides also Sort Peptides By Residue Number Increasing Mass Decreasing Mass Observed Mr (expt) Mr (cal 2) 1677, 4770, 676, 4697, 676, 3908, 638, 3880, 1274, 7615, 1274, 6354, 621, 9072, 1241, 798, 1241, 6879, 658, 4870, 657, 4798, 657, 4798, 657, 4798, 657, 4798, 657, 4325, 656, 3643, 1310, 7141, 1310, 5626, 905, 0201, 1808, 0256, 1808, 9349, 576, 3857, 1150, 7568, 1150, 5506, 451, 3274, 900, 6401, 900, 5181, 415, 3940, 828, 7734, 828, 5221, 757, 4304, 5122, 8463, 1512, 7784, 461, 3435, 890, 6724, 890, 4174, 571, 3334, 1140, 6523, 1140, 5523, 625, 3797, 1248, 7449, 1248, 6098, 733, 5063, 732, 4990, 732, 4382, 523, 4138, 1044, 8130, 1044, 5927 Miss Sequence 0 K.EIFER.E (lons score 21) 0 R.ELISHARDALDK.I (lons score 78) 0 R.YESLIDPSK.L (lons score 78) 0 K.ADLINNLGTIAK.S (lons score 78) 0 K.VUVITK.B (lons score 33) 0 K.VIHEK.E (lons score 34) 0 K.EDOTEVIEER.R (lons score 34) 0 K.BOPIGVPITULEE.E Deamidated (NO) (lons score 17) 0 K.YIDQEELNK.T (lons score 25) 0 K.TKPIWTR.N (lons score 24) 0 R.ALLEIPR.R (lons score 24) 0 R.ALLEIPR.R (lons score 47) 0 R.GVVDSEDLPLNISR.E (lons score 63) 0 K.FYEAFSK.N (lons score 47) 0 K.GUNDSERVER.R (lons score 34) 0 K.GUNDSERVER.R (lons score 34) 0 K.SUSVYTK.E (lons score 34) Delta 0.0789 0.1261 0.1967 0.1019 0.1019 0.0373 0.3371 0.1515 -0.9093 0.2062 0.1220 0.2513 0.0679 - 148 - 148 - 186 - 196 - 219 - 284 - 291 - 337 - 392 - 435

http://www.matrixscience.com/cgi/protein_view.pl?file=../data/20100603/FteAifsEO.dat... 07/09/2010

0.1000 0.1350 0.2203 Page 1 of 4

```
DEFINITION
ACCESSION
                                    neat shock protein HSF 90-beta [HCBD saple.8]. NP 031381 NF 031381.2 GI:20149594
  VERSION
  DBSOURCE
                                     REFSEQ: accession NM_007355.2
                                      Homo sapiens (human)
  SOURCE
                                    Homo sapiens (human)
Homo sapiens
Eukaryota; Metazoa; Chordata; Craniata; Vertebrata; Euteleostomi;
Mammalia; Eutheria; Euarchontoglires; Primates; Haplorrhini;
Catarrhini; Hominidae; Homo.
1 (residues 1 to 724)
Zurawska, Jurbanski, J., Matuliene, J., Baraniak, J., Klejman, M.P.,
Filipek, S., Matulis, D. and Bieganowski, P.
Mutations that increase both Hsp90 ATPase activity in vitro and
Hsp90 drug resistance in vivo
Biochim. Biophys. Acta 1803 (5), 575-583 (2010)
20226818
      ORGANISM
 REFERENCE
      AUTHORS
      TITLE
                                    Biochim. Blophys. Acta 1803 (5), 575-583 (2010)
20226818
GeneRIF: findings present novel Hsp90 mutants that render cells resistant to Hsp90 inhibitors; show that the resistance depends on the increased APPase turnover due to enhanced interaction with Aha1 2 (residues 1 to 724)
Chadil, A., Feits, S.J., Wang, O., Sullivan, W.F., Botuyan, M.V., Fauq, A., Ramirez-Alvarado, M. and Mer, G.
Celastrol inhibits Hsp90 chaperoning of steroid receptors by inducing fibrillization of the Co-chaperone p23
J. Biol. Chem. 285 (6), 4224-4231 (2010)
13996313
          PUBMED
       REMARK
  REFERENCE
       TITLE
       JOURNAL
          PUBMED
                                      19996313
                                    13996313
GeneRIF: Data show that the small molecule celastrol inhibits the Hsp90 chaperoning machinery by inactivating the co-chaperone p23, resulting in a more selective destabilization of steroid receptors. 3 (residues 1 to 724)
Zhang, T., Li, Y., Yu, Y., Zou, P., Jiang, Y. and Sun, D. Characterization of celastrol to inhibit hsp90 and cdc37
       REMARK
  REFERENCE
       AUTHORS
TITLE
                                       interaction
       JOURNAL.
                                      J. Biol. Chem. 284 (51), 35381-35389 (2009)
       PUBMED
REMARK
                                    1985.314
GeneRJF: celastrol may represent a new class of Hsp90 inhibitor by modifying Hsp90 C terminus to allosterically regulate its chaperone activity and disrupt Hsp90-Cdc37 complex.
4 (residues 1 to 724)
Hosgood, H.D. III, Zhang, L., Shen, M., Berndt, S.I., Vermeulen, R., Li, G., Yin, S., Yeager, M., Yuenger, J., Rothman, N., Chanock, S., Smith, M., and Lar, Q.
Association between generic variants in VEGF, ERCC3 and occurational between harmatorivicity.
  REFERENCE
       AUTHORS
       TITLE
                                     occupational benzene haematotoxicity
Occup Environ Med 66 (12), 848-853 (2009)
        JOURNAL
                                     GeneRIF: Observational study of gene-disease association. (HuGE
       REMARK
                                            (residues : to 724)
                                      van de Sluis,B., Groot,A.J., Vermeulen,J., van der Wall,E., van Diest,P.J., Wijmenga,C., Klomp,L.W. and Vooljs,M. COMMD! Promotes pVHL and O2-Independent Proteolysis of HIF-lalpha via HSP90/70
       AUTHORS
       TITLE
       JOURNAL
                                      PLOS ONE 4 (10), E7332 (2009)
                                      19802386
GeneRIF: COMMDI has a role in conjunction with HSP90beta/HSP70 in the ubiquitin and O(2)-independent regulation of HIF-lalpha Publication Status: Online-Only 6 (sites)
       PUBME D
REMARK
  REFERENCE
                                      6 (sites)
Rikova, K., Guo, A., Zeng, Q., Fossemato, A., Yu, J., Haack, H.,
Nardone, J., Lee, K., Reeves, C., Li, Y., Hu, Y., Tar, Z., Stokes, Y.,
Silivan, L., Mitchell, J., Wetzel, R., Macnelli, J., Ren, J.M.,
Yuan, J., Bakalarski, C.E., Villen, J., Kornhauser, J.M., Smith, B.,
Li, D., Zhou, X., Gygi, S.P., Gu, T.L., Polakiewicz, R.D., Rush, J. a:
Comb, M.J.
Global survey of possency vosting standing identifies agreements
       AUTHORS
                                       Global survey of phosphotyrosine signaling identifies oncogenic
                                     kinases in lung cancer
Cell 131 (6), 1190-1203 (2007)
18083107
7 (sites)
        JOURNAL
  PUBMED
REFERENCE
```

```
AUTHORS
                            Sugiyama, N., Masuda, T., Shinoda, K., Nakamura, A., Tomita, M. and
                               shihama, Y.
                            Isninama,r.
Phosphopeptide enrichment by aliphatic hydroxy acid-modified metal oxide chromatography for nano-LC-MS/MS in proteomics applications Mol. Cell Proteomics 6 (6), 1103-1109 (2007)
    TITLE
     JOURNAL
      PUBMED
                            17322306
REFERENCE
                            8 (sites)
Matsuoka,S., Ballif,B.A., Smogorzewska,A., McDonald,E.R. III,
                            Hurov,K.E., Luo,J., Bakalarski,C.E., Zhao,Z., Solimini,N.,
Lerenthal,Y., Shiloh,Y., Gygi,S.P. and Elledge,S.J.
ATM and ATR substrate analysis reveals extensive protein networks
responsive to DNA damage
Science 316 (5828), 1160-1166 (2007)
    TITLE
    JOURNAL
                            17555332
9 (sites)
Nousiainen, M., Siiije, H.H., Saier, G., Nigg, H.A. and Korner, R.
Phosphoproteome analysis of the human mitotic spindle
Proc. Natl. Acad. Sci. U.S.A. 103 (14), 5391-5396 (2006)
       PURMED
REFERENCE
    AUTHORS
TITLE
     JOURNAL
                            10 (sites)
Rush, J., Moritz, A., Lee, K.A., Guo, A., Goss, V.L., Spek, E.J.,
Zhang, H., Zha, X.M., Polakiewicz, R.D. and Comb, M.J.
Immunoaffinity profiling of tyrosine phosphorylation in cancer
REFERENCE
    TITLE
     JOURNAL
                            Nat. Biotechnol. 23 (1), 94-101 (2005)
                            11 (sites)
11 (sites)
Beauscleil,S.A., Jedrychowski,M., Schwartz,D., Ellas,J.E.,
Villen,J., Li,J., Cohn,M.A., Cantley,L.C. and Gygi,S.P.
Large-scale characterization of HeLa cell nuclear phosphoproteins
Proc. Natl. Acad. Sci. U.S.A. 101 (33), 12130-12135 (2004)
      PUBMED
REFERENCE
     TITLE
     JOURNAL
PUBMED
                              15302935
12 (residues 1 to 724)
REFERENCE
                            12 (residues 1 to 724)
Tang,P.Z., Gannon,M.J., Andrew,A. and Miller,D.
Evidence for cestrogenic regulation of heat shock protein
expression in human endometrium and steroid-responsive cell lines
Eur. J. Endocrinol. 133 (5), 598-605 (1995)
7581991
13 (residues 1 to 724)
    AUTHORS
TITLE
     JOURNAL.
PUBMED
REFERENCE
                            Rebbe, N.F., Hickman, W.S., Ley, T.J., Stafford, D.W. and Hickman, S. Nucleotide sequence and regulation of a human 90-kDa heat shock
    AUTHORS
TITLE
                            protein gene
J. Biol. Chem. 264 (25), 15006-15011 (1989)
     JOURNAL
                            2. Both Chem 201 (22)
14 (residues 1 to 724)
Lees-Willer,S.P. and Anderson,C.W.
Two human 90-kDa heat shock proteins are phosphorylated in vivo at conserved serines that are phosphorylated in vitro by casein kinase
PUBMED
REFERENCE
    AUTHORS
     TITLE
                                 Biol. Chem. 264 (5), 2431-2437 (1989)
     JOURNAL.
                            13. Hol. Chem. 204 (3), 2431-243. (1289), 249515 [15] (residues 1 to 724) Hoffmann, T. and Hovemann, B. Heat-shock proteins, Hsp84 and Hsp86, of mice and men: two related genes encode formerly identified tumour-specific transplantation
PUBMED
REFERENCE
    AUTHORS
                              antigens
    JOURNAL.
                            Gene 74 (2), 491-501 (1988)
PUBMED
REFERENCE
                            2469626
16 (residues 1 to 724)
                            Rebbe, N. F., Ware, J., Bertina, R.M., Modrich, P. and Stafford, D.W. Nucleotide sequence of a cDNA for a member of the human 90-kDa heat-shock protein family Gene 53 (2-3), 235-245 (1987)
    AUTHORS
TITLE
     JOURNAL
                            PROVISIONAL REFSEO: This record has not yet been subject to final NCBI review. The reference sequence was derived from <u>BC004928.1</u>. On Apr 15, 2002 this sequence version replaced gl:6680307.
                              Summary: HSP90 proteins are highly conserved molecular chaperones
                             that have key roles in signal transduction, protein folding, protein degradation, and morphologic evolution. HSP90 proteins normally associate with other cochaperones and play important roles
                            normally associate with other cochaperones and play important roles in folding newly synthesized proteins or stabilizing and refolding denatured proteins after stress. There are I major cytosolic HSP90 proteins, HSP90ANI (MIM 140571), an inducible form, and HSP90ANI, a constitutive form. Other HSP90 proteins are found in endoplasmic reticulum (HSP90BI; MIM 191175) and mitochondria (TRAPI; MIM 606219) (Chen et al., 2005 [PubMed 16269234]).[supplied by OMIM].
                             Publication Note: This RefSeq record includes a subset of the publications that are available for this gene. Please see the Entrez Gene record to access additional publications.
FEATURES
                                                  Location/Qualifiers
                                                  1..724
/organism="Homo sapiens"
```

```
/db_xref="taxon:<u>9606</u>"
/chromosome="6"
/map="6p12"
                                        /map="epi2"
1.724
/product="heat shock protein HSP 90-beta"
/note="heat shock 90kD protein 1, beta; heat shock protein beta; heat shock 90kDa protein 1, beta; HSP84; HSP 84; HSP 90; heat shock 84 kDa"
/calculated_mol_wt=83133
315-188
Protein
                                        /calculated_moi_wt-83133
35..188
7-egion_name="HATFase_c"
/note="Histidine kinase-like ATPases; This family includes several ATP-binding proteins for example: histidine kinase, DNA gyrase B, topoisomerases, heat shock protein HSP90, phytochrome-like ATPases and DNA mismatch repair proteins; cl00075"
/db_xref="CDD:173995"
191..2219
/note="HSP90"
/note="HSP90 protein; pfam00183"
/db_xref="CDD:109245"
226
Region
Region
                                          /ab xref="CDD:109249"
226
/site_type="phosphorylation"
/experiment="experimental evidence, no additional details recorded"
/citation=17|
255
Site
Site
                                          /site_type="phosphorylation" /experiment="experimental evidence, no additional details recorded"
                                          /citation=[9]
/citation=[11]
255
Site
                                          /site_type="phosphorylation"
/experiment="experimental evidence, no additional details recorded"
/citation=[2]
Site
                                          /site_type="phosphorylation"
/experiment="experimental evidence, no additional details recorded"
                                          recorded"
/citation=[11]
276..724
/region_name="HSP90"
/note="HSP90 protein; pfam00183"
/db_xref="CDD:109249"
297
Region
Site
                                          /site_type="phosphorylation"
/experiment="experimental evidence, no additional details recorded"
                                          /citation=[8]
                                          484 /site_type="phosphorylation" /experiment="experimental evidence, no additional details recorded" /citation=[10]
Site
                                          'site type-"phosphorylation"
/experiment="experimental evidence, no additional details recorded"
                                          /citation=[<u>6</u>]
1..724
/gene="HSP90AB1"
CLS
                                         /gene_synonym="D65182; FLJ26984; HSP90-BETA; HSP90B; HSP22; HSPCB"
/coded_by="MM_007355.2:85..2259"
/db_xref="CODS:cODS4909.1"
/db_xref="GeneID:3326"
/db_xref="H6N0:525b"
/db_xref="MHRD:9676."
/db_xref="MHRD:9676."
```

Mascot: http://www.matrixscience.com/

4) Subunidad α de la isoforma II de la proteína de choque térmico (HSP 90-α II)

Mascot Search Results: Protein View

Page 1 of 3

(MATRIX) Mascot Search Results

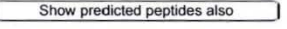
```
Protein View
```

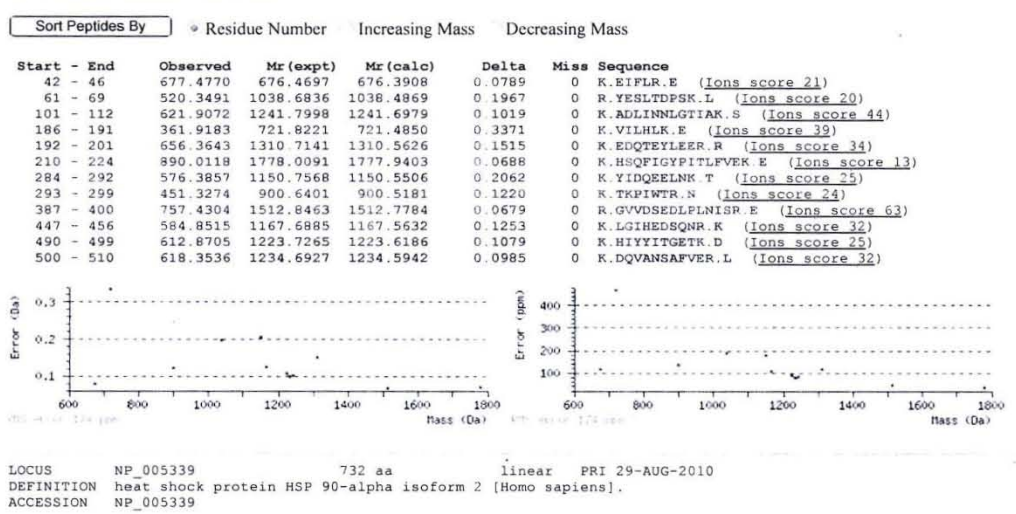
```
Match to: gi|154146191 Score: 357
heat shock protein HSP 90-alpha isoform 2 [Homo sapiens]
Found in search of mas52.tmp

Nominal mass (M,): 84607; Calculated pI value: 4.94

NCBI BLAST search of gi|154146191 against nr
Unformatted sequence string for pasting into other applications

Taxonomy: Homo sapiens
Links to retrieve other entries containing this sequence from NCBI Entrez:
gi|92090606 from Homo sapiens
gi|1703087 from Homo sapiens
gi|13106339 from Homo sapiens
gi|111306339 from Homo sapiens
gi|111306339 from Homo sapiens
gi|11158255666 from Homo sapiens
gi|1158255666 from Homo sapiens
gi|1158255666 from Homo sapiens
gi|1158255666 from Homo sapiens
gi|1158256646 from Homo sapiens
gi|115825667 from Homo sapiens
gi|1158256640 from Homo sapiens
gi|115825
```





```
VERSION
                   NP 005339.3 GI:154146191
DBSOURCE
                   REFSEQ: accession NM 005348.3
KEYWORDS
SOURCE
                    Homo sapiens (human)
  ORGANISM
                   Homo sapiens
                    Eukaryota; Metazoa; Chordata; Craniata; Vertebrata; Euteleostomi;
                   Mammalia; Eutheria; Euarchontoglires; Primates; Haplorrhini;
Catarrhini; Hominidae; Homo.
REFERENCE
                   1 (residues 1 to 732)
Qin,Z., DeFee,M., Isaacs,J.S. and Parsons,C.
Extracellular Hsp90 serves as a co-factor for MAPK activation and
   AUTHORS
   TITLE
                    latent viral gene expression during de novo infection by KSHV
Virology 403 (1), 92-102 (2010)
   JOURNAL
                   Virology 403 (1), 92-102 (2010) 20451233 GeneRIF: The authors show that extracellular Hsp90 inhibition suppresses human herpesvirus 8 gene expression during de novo infection, and that this effect is mediated largely through the inhibition of mitogen-activated protein kinase activation. 2 (residues 1 to 732) Cruickshanks, N., Shervington, L., Patel, R., Munje, C., Thakkar, D. and Shervington, A.
    PUBMED
   REMARK
REFERENCE
   AUTHORS
                    Shervington, A.
  TITLE
                    Can hsp90alpha-targeted siRNA combined with TMZ be a future therapy
                    for glioma?
                   Cancer Invest. 28 (6), 608-614 (2010)
   JOURNAL
     PUBMED
                   20210521
GeneRIF: Hsp90alpha-targeted siRNA combined with temozolomide
   REMARK
                    enhanced chemosensitivity of glioma cells.
3 (residues 1 to 732)
REFERENCE
                   Olson, J.E., Wang, X., Pankratz, V.S., Fredericksen, Z.S., Vachon, C.M., Vierkant, R.A., Cerhan, J.R. and Couch, F.J. Centrosome-related genes, genetic variation, and risk of breast
  AUTHORS
                    cancer
   JOURNAL
                    Breast Cancer Res. Treat. (2010) In press
                   20508983
GeneRIF: Observational study of gene-disease association. (HuGE
    PUBMED
   REMARK
                    Navigator)
                    Publication Status: Available-Online prior to print
REFERENCE
                    4 (residues 1 to 732)
                    Johnston, M., Geoffroy, M.C., Sobala, A., Hay, R. and Hutvagner, G.
  AUTHORS
                   HSP90 protein stabilizes unloaded argonaute complexes and microscopic P-bodies in human cells
   TITLE
   JOURNAL
                   Mol. Biol. Cell 21 (9), 1462-1469 (2010)

20237157

GeneRIF: Data suggests that HSP90 protein chaperones Argonautes
     PUBMED
   REMARK
                    before binding RNA and may facilitate efficient loading of small
                    RNA.
REFERENCE
                         (residues 1 to 732)
                    McCready, J., Sims, J.D., Chan, D. and Jay, D.G.
Secretion of extracellular hsp90alpha via exosomes increases cancer
   TITLE
                   cell motility: a role for plasminogen activation BMC Cancer 10, 294 (2010)
   JOURNAL
     PUBMED
                   20553606
GeneRIF: Hsp90alpha is released by invasive cancer cells via
   REMARK
                    exosomes and activates plasmin, a second protease that acts in
                    cancer cell invasion.
Publication Status: Online-Only
                   Publication Status: Online-Only
6 (residues 1 to 732)
Shaknovich,R., Shue,G. and Kohtz,D.S.
Conformational activation of a basic helix-loop-helix protein
(MyoOl) by the C-terminal region of murine HSP90 (HSP84)
Mol. Cell. Biol. 12 (11), 5059-5068 (1992)
REFERENCE
   TITLE
   JOURNAL
                   Mod. Cell. Biol. 12 (11), 5059-5068 (1992)
1406681
7 (residues 1 to 732)
Nemoto, T., Ohara-Nemoto, Y. and Ota, M.
Association of the 90-kDa heat shock protein does not affect the ligand-binding ability of androgen receptor
J. Steroid Biochem. Mol. Biol. 42 (8), 803-812 (1992)
     PUBMED
REFERENCE
   AUTHORS
   TITLE
   JOURNAL
PUBMED
REFERENCE
                       (residues 1 to 732)
   AUTHORS
                   Hutchison,K.A., Brott,B.K., De Leon,J.H., Perdew,G.H., Jove,R. and Pratt,W.B.
   TITLE
                    Reconstitution of the multiprotein complex of pp60src, hsp90, and
                    p50 in a cell-free system
J. Biol. Chem. 267 (5), 2902-2908 (1992)
   JOURNAL
                    1310678
9 (residues 1 to 732)
     PUBMED
REFERENCE
                   9 (residues 1 to 732)
Ozawa, K., Murakami, Y., Eki, T., Soeda, E. and Yokoyama, K.
Mapping of the gene family for human heat-shock protein 90 alpha to
chromosomes 1, 4, 11, and 14
Genomics 12 (2), 214-220 (1992)
   AUTHORS
   TITLE
   JOURNAL.
                    1740332
```

```
REFERENCE
                                   10 (residues 1 to 732)
                                  10 (residues 1 to 732)
Yamazaki,M., Tashiro,H., Yokoyama,K. and Soeda,E.
Molecular cloning of cDNA encoding a human heat-shock protein whose expression is induced by adenovirus type 12 ElA in HeLa cells
Agric. Biol. Chem. 54 (12), 3163-3170 (1990)
1368637
VALIDATED REFSEQ: This record has undergone validation or
    AUTHORS
TITLE
     JOURNAL
        PUBMED
COMMENT
                                  preliminary review. The reference sequence was derived from DC303876.1, AJ890083.1 and AI250920.1.
On Jul 28, 2007 this sequence version replaced gi:40254816.
                                    Summary: HSP90 proteins are highly conserved molecular chaperones
                                   that have key roles in signal transduction, protein folding, protein degradation, and morphologic evolution. HSP90 proteins normally associate with other cochaperones and play important roles
                                  in folding newly synthesized proteins or stabilizing and refolding denatured proteins after stress. There are 2 major cytosolic HSP90 proteins, HSP90AAI, an inducible form, and HSP90ABI (MIM 140572), a constitutive form. Other HSP90 proteins are found in endoplasmic reticulum (HSP90BI; MIM 19175) and mitochondria (TRAPI; MIM
                                    606219) (Chen et al., 2005 [PubMed 16269234]).[supplied by OMIM].
                                  Transcript Variant: This variant (2) differs in the 5' UTR and coding sequence compared to variant 1. The resulting isoform (2) is shorter at the N-terminus compared to isoform 1.
                                  Publication Note: This RefSeq record includes a subset of the publications that are available for this gene. Please see the Entrez Gene record to access additional publications.

Location/Qualifiers
FEATURES
                                                            Location/Qualifiers
1.732
/organism="Homo sapiens"
/db_xref="taxon:9606"
/chromosome="14"
/map="14q32.33"
1.732
/product="heat shock protein HSP 90-alpha isoform 2"
/note="heat shock 90kD protein 1, alpha; heat shock 90kDa protein 1, alpha; heat shock 90kD protein 1, alpha-like 4; heat shock 90kD protein, alpha-like 4; heat shock 90kD protein 1, alpha-like 4; heat shock 90kD protein HSP 90-alpha"
/calculated_mol_wt=84529
40..193
              source
              Protein
              Region
                                                             40..193
/region_name="HATPase_c"
/note="Histidine kinase-like ATPases; This family includes several ATP-binding proteins for example: histidine kinase, DNA gyrase B, topoisomerases, heat shock protein HSP90, phytochrome-like ATPases and DNA mismatch repair proteins; cl00075"
/db_xref="CDD:173995"
196..226
/region_name="HSP90"
                                                             /region_name="HSP90"
/note="Hsp90 protein; pfam00183"
/db_xref="CDD:109249"
290..732
              Region
              Region
                                                               /region_name="HSP90"
/note="Hsp90 protein; pfam00183"
/db_xref="CDD:<u>109249</u>"
1..732
              CDS
                                                                /gene="HSP90AA1"
                                                               /gene_synonym="FLJ31884; HSP86; Hsp89; HSP89A; Hsp90;
HSP90A; HSP90N; HSPC1; HSPCA; HSPCAL1; HSPCAL4; HSPN;
                                                               /coded_by="NM_005348.3:191..2389"
                                                               //ocded_by= Nm_003340:1911.2369
//ocde="isoform 2 is encoded by transcript variant 2"
//db_xref="CcDS:CCDS9967.1"
//db_xref="GeneID:3320"
//db_xref="HGNC:5253"
//db_xref="HPRD:00777"
//db_xref="MIM:140571"
```

Mascot: http://www.matrixscience.com/

ANEXO IV.

Resultados obtenidos del análisis con las herramientas NetPhos y NetOGly (Expasy.org) de las fosfoproteínas y glicoproteínas seleccionada como posibles biomarcadores de Cáncer de mama. NetPhos.

1) Nucleolina.

NetPhos 2.0 Server - prediction results

Page 1 of 3



NetPhos 2.0 Server - prediction results

Technical University of Denmark

707 Sequence	
MVKLAKAGKNOGDPKKMAPPPKEVEEDSEDEEMSEDEEDDSSGEEVVIPQKKGKKAAATSAKKVVVSPTKKVAVATPAKK	80
AAVTPGKKAAATPAKKTVTPAKAVTTPGKKGATPGKALVATPGKKGAAIPAKGAKNGKNAKKEDSDEEEDDDSEEDEEDD	160
EDEDEDEDE I EPAAMKAAAAAPASEDEDDEDDEDDEDDDDDEEDDSEEEAMETTPAKGKKAAKVVPVKAKNVAEDEDEEE	240
DDEDEDDDDDDEDDDDDDDDEEEEEEEEEPVKEAPGKRKKEMAKQKAAPEAKKQKVEGTEPTTAFNLFVGNLNFNKSA	320
PELKTGISDVFAKNDLAVVDVRIGMTRKFGYVDFESAEDLEKALELTGLKVFGNEIKLEKPKGKDSKKERDARTLLAKNL	400
PYKVTODELKEVFEDAAEIRLVSKDGKSKGIAYIEFKTEADAEKTFEEKOGTEIDGRSISLYYTGEKGQNQDYRGGKNST	480
WSGESKTLVLSNLSYSATEETLQEVFEKATFIKVPQNQNGKSKGYAFIEFASFEDAKEALNSCNKREIEGRAIRLELQGP	560
RGSPNARSOPSKTLFVKGLSEDTTEETLKESFDGSVRARIVTDRETGSSKGFGFVDFNSEEDAKEAMEDGEIDGNKVTLD	640
WAKPKGEGGFGGRGGGRGGFGGRGGFGGRGGFGGRGGFRGGRGGGDHKPQGKKTKFE	720
	80
TTTT	160
SST	240
S.	320
YS	400
.YTSSTTSSS.	480
.S	560
.SSTTSSTSSS	640
T	720

Phosphorylation sites predicted:Ser: 28 Thr: 17 Tyr: 4

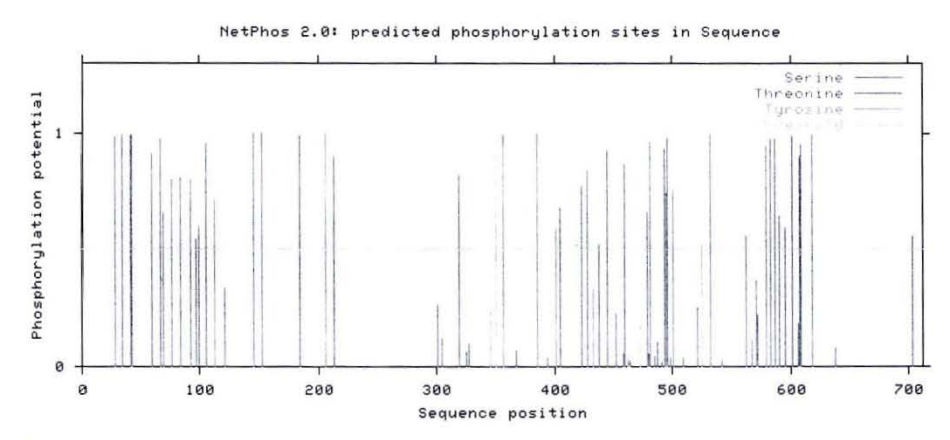
	Serine predictions				
Name	Pos	Context	Score	Pred	
		v			
Sequence	28	VEEDSEDEE	0.983	*S*	
Sequence	34	DEEMSEDEE	0.994	*S*	
Sequence	41	EEDDSSGEE	0.996	*S*	
Sequence	42	EDDSSGEEV	0.996	*S*	
Sequence	60	AAATSAKKV	0.914	*S*	
Sequence	67	KVVVSPTKK	0.975	*S*	
Sequence	145	KKEDSDEEE	0.998	*S*	
Sequence	153	EDDDSEEDE	0.998	*S*	
Sequence	184	AAPASEDED	0.988	*S*	
Sequence	206	EEDDSEEEA	0.997	*S*	
Sequence	319	NFNKSAPEL	0.821	*S*	
Sequence	328	KTGISDVFA	0.101		
Sequence	356	VDFESAEDL	0.994	*S*	
Sequence	386	KGKDSKKER	0.998	*5*	
Sequence	423	IRLVSKDGK	0.775	*S*	
Sequence	428	KDGKSKGIA	0.838	*S*	
Sequence	458	IDGRSISLY	0.054		
Sequence	460	GRSISLYYT	0.866	*S*	
Sequence	479	GGKNSTWSG	0.665	*S*	
Sequence	482	NSTWSGESK	0.965	*S*	
Sequence	485	WSGESKTLV	0.042		
Sequence	491	TLVLSNLSY	0.019		
Sequence	494	LSNLSYSAT	0.931	*S*	
Sequence	496	NLSYSATEE	0.980	*S*	
Sequence	522	ONGKSKGYA	0.254		

 $http://www.cbs.dtu.dk/cgi-bin/nph-webface?jobid=netphos, 4C844637023321BB\&opt=no... \\ 06/09/2010$

Sequence	532	IEFASFEDA	0.993	*S*
Sequence	542	EALNSCNKR	0.022	
Sequence	563	GPRGSPNAR	0.556	*S*
Sequence	568	PNARSQPSK	0.119	
Sequence	571	RSQPSKTLF	0.370	•
Sequence	580	VKGLSEDTT	0.947	*S*
Sequence	591	TLKESFDGS		*S*
	595		0.646	
Sequence	608	SFDGSVRAR	0.595	*S*
Sequence	609	RETGSSKGF	0.901	*S*
Sequence	619	ETGSSKGFG	0.950	*5*
Sequence	619	VDFNSEEDA	0.996	*S*
	Thr	eonine predi	ctions	
Name	Pos	Context	Score	Pred
Sequence	59	KAAATSAKK	0.431	
Sequence	69	VVSPTKKVA	0.660	*T*
Sequence	76	VAVATPAKK	0.801	*T*
Sequence	84	KAAVTPGKK	0.810	*T*
Sequence	92	KAAATPAKK	0.801	*T*
Sequence	97	PAKKTVTPA	0.547	*T*
Sequence	99	KKTVTPAKA	0.603	*T*
Sequence	105	AKAVTTPGK	0.045	
Sequence	106	KAVTTPGKK	0.959	*T*
Sequence	113	KKGATPGKA	0.715	*T*
Sequence	121	ALVATPGKK	0.336	
Sequence	213	EAMETTPAK	0.161	
Sequence	214	AMETTPAKG	0.900	*T*
Sequence	301	KVEGTEPTT	0.262	
Sequence	304	GTEPTTAFN	0.038	
Sequence	305	TEPTTAFNL	0.121	
Sequence	325	PELKTGISD	0.063	
Sequence	346	RIGMTRKFG	0.251	
Sequence	367	ALELTGLKV	0.066	
Sequence	394	RDARTLLAK	0.034	
Sequence	405	PYKVTODEL	0.683	*T*
Sequence	438	IEFKTEADA	0.522	*T*
Sequence	445	DAEKTFEEK	0.929	*T*
Sequence	452			
	464	EKQGTEIDG	0.227	
Sequence		SLYYTGEKG	0.027	
Sequence	480	GKNSTWSGE	0.056	
Sequence	487	GESKTLVLS	0.102	
Sequence	498	SYSATEETL	0.034	+ 77 +
Sequence	501	ATEETLQEV	0.757	*T*
Sequence	510	FEKATFIKV	0.034	
Sequence	573	QPSKTLFVK	0.223	
Sequence	583	LSEDTTEET	0.975	*T*
Sequence	584	SEDTTEETL	0.235	
Sequence	587	TTEETLKES	0.978	*T*
Sequence	602	ARIVTDRET	0.987	*T*
Sequence	606	TDRETGSSK	0.183	
Sequence	638	GNKVTLDWA	0.081	
Sequence	704	QGKKTKFE-	0.560	*T*
	Tyre	osine predic	tions	
Name	Pos	Context	Score	Pred
Sequence	351	RKFGYVDFE	0.977	*Y*
	402			*Y*
Sequence	402	KNLPYKVTQ	0.586	- 1 -

 $http://www.cbs.dtu.dk/cgi-bin/nph-webface?jobid=netphos, 4C844637023321BB\&opt=no... \\ 06/09/2010 \\ 10/10/20$

Sequence	433	KGIAYIEFK	0.331	
Sequence	462	SISLYYTGE	0.053	
Sequence	463	ISLYYTGEK	0.029	
Sequence	473	QNQDYRGGK	0.177	
Sequence	495	SNLSYSATE	0.739	* Y *
Sequence	525	KSKGYAFIE	0.522	* Y *
		^		



Explain the output. Go back.

http://www.cbs.dtu.dk/cgi-bin/nph-webface?jobid=netphos,4C844637023321BB&opt=no... 06/09/2010

NetPhos 2.0 Server - prediction results

Page 1 of 3



NetPhos 2.0 Server - prediction results

Technical University of Denmark

806 Sequence ${\tt MSSSPVNVKLKVSELKEELKKRRLSDKGLKAELMERLQAALDDEEAGGRPAMEPGNGSLDLGGDSAGRSGAGLEQEAAA}$ GGDEEEEEEEEEGISALDGDQMELGEENGAAGAADSGPMEEEEAASEDENGDDQGFQEGEDELGDEEEGAGDENGHGE 160 QQPQPPATQQQQPQQRGAAKEAAGKSSGPTSLFAVTVAPPGARQGQQQAGGDGKTEQKGGDKKRGVKRPREDHGRGYFE 240 YIEENKYSRAKSPQPPVEEEDEHFDDTVVCLDTYNCDLHFKISRDRLSASSLTMESFAFLWAGGRASYGVSKGKVCFEMK 320 VTEKIPVRHLYTKDIDIHEVRIGWSLTTSGMLLGEEEFSYGYSLKGIKTCNCETEDYGEKFDENDVITCFANFESDEVEL 400 SYAKNGQDLGVAFKISKEVLAGRPLFPHVLCHNCAVEFNFGQKEKPYFPIPEEYTFIQNVPLEDRVRGPKGPEEKKDCEV 480 VMMIGLPGAGKTTWVTKHAAENPGKYNILGTNTIMDKMMVAGFKKQMADTGKLNTLLQRAPQCLGKFIEIAARKKRNFIL 560 DQTNVSAAAQRRKMCLFAGFQRKAVVVCPKDEDYKQRTQKKAEVECKDLPEHAVLKMKGNFTLPEVAECFDEITYVELQK EEAQKLLEQYKEESKKALPPEKKQNTGSKKSNKNKSGKNQFNRGGGHRGRGGLNMRGGNFRGGAPGNRGGYNRRGNMPQR GGGGGGSGGIGYPYPRAPVFPGRGSYSNRGNYNRGGMPNRGNYNQNFRGRGNNRGYKNQSQGYNQWQQGQFWGQKPWSQHS......S.......S.......S.......S...... 320Y.....Y 400 480 560 640 720Y......s..

Phosphorylation sites predicted: Ser: 21 Thr: 5 Tyr: 11

Serine predictions

Name	Pos	Context	Score	Pred
		V		
Sequence	2	MSSSPV	0.002	
Sequence	3	MSSSPVN	0.003	
Sequence	4	-MSSSPVNV	0.034	
Sequence	14	KLKVSELKE	0.891	*S*
Sequence	26	KRRLSDKGL	0.998	*S*
Sequence	59	PGNGSLDLG	0.009	
Sequence	66	LGGDSAGRS	0.827	*S*
Sequence	70	SAGRSGAGL	0.660	*S*
Sequence	97	EEGISALDG	0.984	*S*
Sequence	118	GAADSGPME	0.501	*S*
Sequence	128	EEAASEDEN	0.990	*S*
Sequence	187	AAGKSSGPT	0.581	*S*
Sequence	188	AGKSSGPTS	0.087	
Sequence	192	SGPTSLFAV	0.194	
Sequence	248	ENKYSRAKS	0.158	
Sequence	252	SRAKSPQPP	0.995	*S*
Sequence	283	HFKISRDRL	0.172	
Sequence	288	RDRLSASSL	0.991	*S*
Sequence	290	RLSASSLTM	0.064	
Sequence	291	LSASSLTME	0.947	*S*
Sequence	296	LTMESFAFL	0.004	

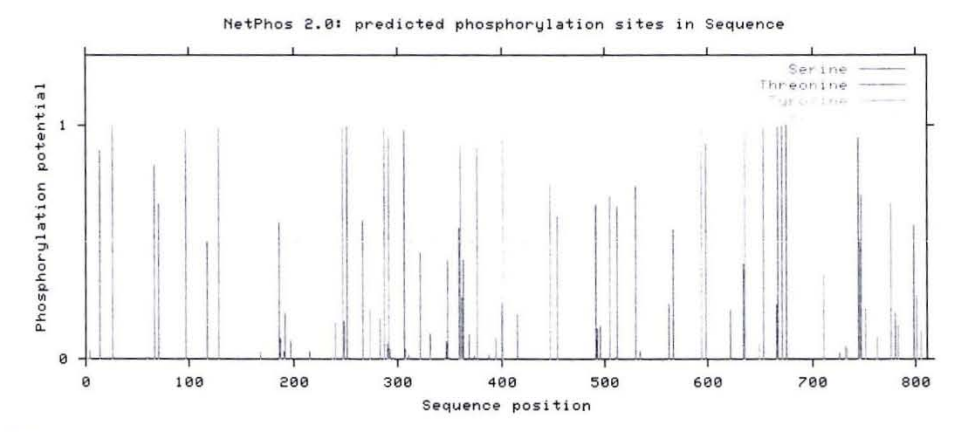
http://www.cbs.dtu.dk/cgi-bin/nph-webface?jobid=netphos,4C84468A03FC3FE3&opt=n... 07/09/2010

Sequence	307	GGRASYGVS	0.976	*S*
Sequence	311	SYGVSKGKV	0.017	
Sequence	345	RIGWSLTTS	0.006	
Sequence	349	SLTTSGMLL	0.004	
Sequence	359	EEEFSYGYS	0.558	*S*
Sequence	363	SYGYSLKGI	0.425	
Sequence	395	ANFESDEVE	0.084	
Sequence	401	EVELSYAKN	0.238	
Sequence	416	AFKISKEVL	0.189	
Sequence	566	QTNVSAAAQ	0.551	*S*
Sequence	654	YKEESKKAL	0.985	*S*
Sequence	668	QNTGSKKSN	0.987	*S*
Sequence	671	GSKKSNKNK	0.992	*S*
Sequence	676	NKNKSGKNQ	0.997	*S*
Sequence	727	GGGGSGGIG	0.022	
Sequence	745	PGRGSYSNR	0.945	*S*
Sequence	747	RGSYSNRGN	0.696	*S*
Sequence	780	YKNQSQGYN	0.196	
Sequence	798	QKPWSQHYH	0.568	*S*
	Thre	eonine predi	ctions	
Name	Pos	Context	Score	Pred
Sequence	168	QPPATQQQQ	0.031	
Sequence	191	SSGPTSLFA	0.028	
Sequence	197	LFAVTVAPP	0.080	
Sequence	216	GDGKTEQKG	0.032	
Sequence	267	HFDDTVVCL	0.587	*T*
Sequence	273	VCLDTYNCD	0.031	
Sequence	293	ASSLTMESF	0.044	
Sequence	322	EMKVTEKIP	0.452	
Sequence	332	RHLYTKDID	0.111	
Sequence	347			
		GWSLTTSGM	0.076	
The second second second		GWSLTTSGM WSLTTSGML	0.076	
Sequence	348	WSLTTSGML	0.426	:
Sequence Sequence	348 369	WSLTTSGML KGIKTCNCE	0.426	:
Sequence Sequence Sequence	348 369 374	WSLTTSGML KGIKTCNCE CNCETEDYG	0.426 0.105 0.015	:
Sequence Sequence Sequence Sequence	348 369 374 388	WSLTTSGML KGIKTCNCE CNCETEDYG NDVITCFAN	0.426 0.105 0.015 0.018	:
Sequence Sequence Sequence Sequence Sequence	348 369 374 388 455	WSLTTSGML KGIKTCNCE CNCETEDYG NDVITCFAN PEEYTFIQN	0.426 0.105 0.015 0.018 0.056	:
Sequence Sequence Sequence Sequence Sequence Sequence	348 369 374 388 455 492	WSLTTSGML KGIKTCNCE CNCETEDYG NDVITCFAN PEEYTFIQN GAGKTTWVT	0.426 0.105 0.015 0.018 0.056 0.658	:
Sequence Sequence Sequence Sequence Sequence Sequence Sequence	348 369 374 388 455 492 493	WSLTTSGML KGIKTCNCE CNCETEDYG NDVITCFAN PEEYTFIQN GAGKTTWVT AGKTTWVTK	0.426 0.105 0.015 0.018 0.056 0.658 0.131	:
Sequence Sequence Sequence Sequence Sequence Sequence Sequence Sequence	348 369 374 388 455 492 493 496	WSLTTSGML KGIKTCNCE CNCETEDYG NDVITCFAN PEEYTFIQN GAGKTTWVT AGKTTWVTK TTWVTKHAA	0.426 0.105 0.015 0.018 0.056 0.658 0.131 0.139	:
Sequence	348 369 374 388 455 492 493 496 511	WSLTTSGML KGIKTCNCE CNCETEDYG NDVITCFAN PEEYTFIQN GAGKTTWVT AGKTTWVTK TTWVTKHAA NILGTNTIM	0.426 0.105 0.015 0.018 0.056 0.658 0.131 0.139 0.005	*T*
Sequence	348 369 374 388 455 492 493 496 511 513	WSLTTSGML KGIKTCNCE CNCETEDYG NDVITCFAN PEEYTFION GAGKTTWVT AGKTTWVTKHAA NILGTNTIM LGTNTIMDK	0.426 0.105 0.015 0.018 0.056 0.658 0.131 0.139 0.005 0.648	*T*
Sequence	348 369 374 388 455 492 493 496 511 513 530	WSLTTSGML KGIKTCNCE CNCETEDYG NDVITCFAN PEEYTFIQN GAGKTTWVT AGKTTWVTK TTWVTKHAA NILGTNTIM LGTNTIMDK QMADTGKLN	0.426 0.105 0.015 0.018 0.056 0.658 0.131 0.139 0.005 0.648 0.738	*T* *T* *T*
Sequence	348 369 374 388 455 492 493 496 511 513 530 535	WSLTTSGML KGIKTCNCE CNCETEDYG NDVITCFAN PEEYTFIQN GAGKTTWVT AGKTTWVTK TTWVTKHAA NILGTNTIM LGTNTIML CMADTGKLN GKLNTLLQR	0.426 0.105 0.015 0.018 0.056 0.658 0.131 0.139 0.005 0.648 0.738 0.029	*T*
Sequence	348 369 374 388 455 492 493 496 511 513 530 535 563	WSLTTSGML KGIKTCNCE CNCETEDYG NDVITCFAN PEEYTFIQN GAGKTTWVT AGKTTWVTK TTWVTKHAA NILGTNTIM LGTNTIML GMADTGKLN GKLNTLLQR ILDQTNVSA	0.426 0.105 0.015 0.018 0.056 0.658 0.131 0.139 0.005 0.648 0.738 0.029 0.230	*T* *T* *T*
Sequence	348 369 374 388 455 492 493 496 511 513 530 535 563 598	WSLTTSGML KGIKTCNCE CNCETEDYG NDVITCFAN PEEYTFIQN GAGKTTWVT AGKTTWVTK TTWVTKHAA NILGTNTIM LGTNTIMDK QMADTGKLN GKLNTLLQR ILDQTNVSA YKQRTQKKA	0.426 0.105 0.015 0.018 0.056 0.658 0.131 0.139 0.005 0.648 0.738 0.029 0.230 0.920	*T* *T* *T*
Sequence	348 369 374 388 455 492 493 496 511 513 530 535 563 598 622	WSLTTSGML KGIKTCNCE CNCETEDYG NDVITCFAN PEEYTFION GAGKTTWVT AGKTTWVTK TTWVTKHAA NILGTNTIM LGTNTIMDK QMADTGKLN GKLNTLLQR ILDQTNVSA KGNFTLPEV	0.426 0.105 0.015 0.018 0.056 0.658 0.131 0.139 0.005 0.648 0.738 0.029 0.230 0.230	*T* *T* *T* *T*
Sequence	348 369 374 388 455 492 493 496 511 513 530 535 563 598	WSLTTSGML KGIKTCNCE CNCETEDYG NDVITCFAN PEEYTFIQN GAGKTTWVT AGKTTWVTK TTWVTKHAA NILGTNTIM LGTNTIMDK QMADTGKLN GKLNTLLQR ILDQTNVSA YKQRTQKKA	0.426 0.105 0.015 0.018 0.056 0.658 0.131 0.139 0.005 0.648 0.738 0.029 0.230 0.920	*T* *T* *T*

Pos	Context	Score	Pred
	V		
238	HGRGYFEYI	0.018	
241	GYFEYIEEN	0.152	
247	EENKYSRAK	0.981	* Y *
274	CLDTYNCDL	0.208	
308	GRASYGVSK	0.044	
	238 241 247 274	238 HGRGYFEYI 241 GYFEYIEEN 247 EENKYSRAK 274 CLDTYNCDL	V 238 HGRGYFEYI 0.018 241 GYFEYIEEN 0.152 247 EENKYSRAK 0.981 274 CLDTYNCDL 0.208

 $http://www.cbs.dtu.dk/cgi-bin/nph-webface?jobid=netphos, 4C84468A03FC3FE3\&opt=n... \\ 07/09/2010$

Sequence	331	VRHLYTKDI	0.014	
Sequence	360	EEFSYGYSL	0.907	*Y*
Sequence	362	FSYGYSLKG	0.265	
Sequence	377	ETEDYGEKF	0.903	*Y*
Sequence	402	VELSYAKNG	0.947	* Y *
Sequence	447	KEKPYFPIP	0.739	*Y*
Sequence	454	IPEEYTFIQ	0.610	*Y*
Sequence	506	NPGKYNILG	0.695	*Y*
Sequence	594	KDEDYKQRT	0.977	* Y *
Sequence	635	DEITYVELQ	0.967	* Y *
Sequence	650	LLEQYKEES	0.062	
Sequence	711	NRGGYNRRG	0.353	4
Sequence	732	GGIGYPYPR	0.053	
Sequence	734	IGYPYPRAP	0.041	
Sequence	746	GRGSYSNRG	0.512	*Y*
Sequence	752	NRGNYNRGG	0.212	
Sequence	763	NRGNYNQNF	0.090	
Sequence	776	NNRGYKNQS	0.663	* Y *
Sequence	783	QSQGYNQWQ	0.144	
Sequence	801	WSQHYHQGY	0.271	
Sequence	805	YHQGYY	0.081	
Sequence	806	HQGYY	0.115	
The same of the sa		^		



Explain the output. Go back.

http://www.cbs.dtu.dk/cgi-bin/nph-webface?jobid=netphos,4C84468A03FC3FE3&opt=n... 07/09/2010

NetPhos 2.0 Server - prediction results

Page 1 of 3



NetPhos 2.0 Server - prediction results

Technical University of Denmark

724 Sequence MPEEVHHGEEEVETFAFQAEIAQLMSLIINTFYSNKEIFLRELISNASDALDKIRYESLTDPSKLDSGKELKIDIIPNPQ ERTLTLVDTGIGMTKADLINNLGTIAKSGTKAFMEALQAGADISMIGQFGVGFYSAYLVAEKVVVITKHNDDEQYAWESS AGGSFTVRADHGEPIGRGTKVILHLKEDQTEYLEERRVKEVVKKHSQFIGYPITLYLEKEREKEISDDEAEEEKGEKEEE 320 DKDDEEKPKIEDVGSDEEDDSGKDKKKKTKKIKEKYIDQEELNKTKPIWTRNPDDITQEEYGEFYKSLTNDWEDHLAVKH FSVEGQLEFRALLFIPRRAPFDLFENKKKKNNIKLYVRRVFIMDSCDELIPEYLNFIRGVVDSEDLPLNISREMLQQSKI 400 LKVIRKNIVKKCLELFSELAEDKENYKKFYEAFSKNLKLGIHEDSTNRRRLSELLRYHTSQSGDEMTSLSEYVSRMKETQ 480 KSIYYITGESKEOVANSAFVERVRKRGFEVVYMTEPIDEYCVOOLKEFDGKSLVSVTKEGLELPEDEEEKKKMEESKAKF 560 ENLCKLMKEILDKKVEKVTISNRLVSSPCCIVTSTYGWTANMERIMKAOALRDNSTMGYMMAKKHLEINPDHPIVETLRO 640 KAEADKNDKAVKDLVVLLFETALLSSGFSLEDPQTHSNRIYRMIKLGLGIDEDEVAAEEPNAAVPDEIPPLEGDEDASRM 720 800YS....YS....YS...S...S...S... 80 160 240 .S.....Y....ST....S....S....S.S.Y....T. 560 .S.Y......S....... 640 720s...s.. 800

Phosphorylation sites predicted: Ser: 21 Thr: 8 Tyr: 11

Serine predictions

Name	Pos	Context	Score	Pred
Sequence	26	AQLMSLIIN	0.016	
Sequence	34	NTFYSNKEI	0.982	*S*
Sequence	45	RELISNASD	0.006	
Sequence	48	ISNASDALD	0.016	
Sequence	58	IRYESLTDP	0.997	*S*
Sequence	63	LTDPSKLDS	0.976	*S*
Sequence	67	SKLDSGKEL	0.998	*S*
Sequence	108	TIAKSGTKA	0.916	*S*
Sequence	124	GADISMIGQ	0.328	
Sequence	135	VGFYSAYLV	0.004	
Sequence	159	YAWESSAGG	0.011	
Sequence	160	AWESSAGGS	0.057	
Sequence	164	SAGGSFTVR	0.024	
Sequence	206	VKKHSQFIG	0.255	
Sequence	226	EKEISDDEA	0.996	*S*
Sequence	255	EDVGSDEED	0.997	*S*
Sequence	261	EEDDSGKDK	0.998	*S*
Sequence	307	EFYKSLTND	0.265	-
Sequence	322	VKHFSVEGQ	0.972	*S*
Sequence	365	FIMDSCDEL	0.033	
Sequence	383	GVVDSEDLP	0.172	
Sequence	391	PLNISREML	0.066	
Sequence	398	MLQQSKILK	0.018	

http://www.cbs.dtu.dk/cgi-bin/nph-webface?jobid=netphos,4C8446CC03FD03D2&opt=n... 07/09/2010

NetPhos 2.0 Server - prediction results

Page 2 of 3

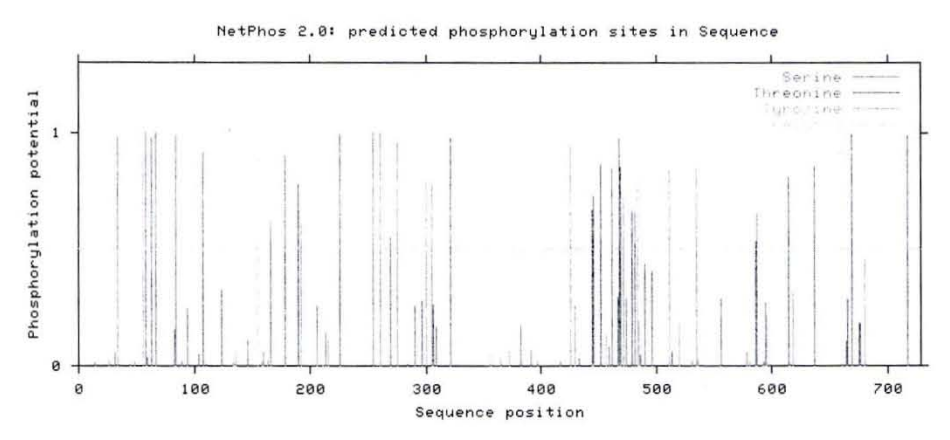
Sequence	417	LELFSELAE	0.021	- 2
Sequence	434	YEAFSKNLK	0.033	
Sequence	445	IHEDSTNRR	0.666	*S*
Sequence	452	RRRLSELLR	0.863	*S*
Sequence	460	RYHTSQSGD	0.039	
Sequence	462	HTSQSGDEM	0.844	*S*
Sequence	468	DEMTSLSEY	0.976	*S*
Sequence	470	MTSLSEYVS	0.852	*S*
Sequence	474	SEYVSRMKE	0.291	540
Sequence	482	ETQKSIYYI	0.664	*S*
Sequence	490	ITGESKEQV	0.433	
Sequence	497	QVANSAFVE	0.407	
Sequence	532	FDGKSLVSV	0.018	
Sequence	535	KSLVSVTKE	0.841	*S*
Sequence	556	KMEESKAKF	0.291	
Sequence	581	KVTISNRLV	0.019	
Sequence	586	NRLVSSPCC	0.535	*S*
Sequence	587	RLVSSPCCI	0.656	*S*
Sequence	594	CIVTSTYGW	0.016	200
Sequence	615	LRDNSTMGY	0.812	*S*
Sequence	665	TALLSSGFS	0.106	
Sequence	666	ALLSSGFSL	0.280	
Sequence	669	SSGFSLEDP	0.995	*S*
Sequence	677	PQTHSNRIY	0.184	
Sequence	718	DEDASRMEE	0.990	*S*

Threonine predictions

Name	Pos	Context	Score	Pred
Sequence	14	EEVETFAFO	0.011	
Sequence	31	LIINTFYSN	0.056	
Sequence	60	YESLTDPSK	0.038	11.0
Sequence	83	PQERTLTLV	0.155	0.00
Sequence	85	ERTLTLVDT	0.985	*T*
Sequence	89	TLVDTGIGM	0.021	
Sequence	94	GIGMTKADL	0.244	
Sequence	104	NNLGTIAKS	0.052	
Sequence	110	AKSGTKAFM	0.008	243
Sequence	147	VVVITKHND	0.108	-
Sequence	166	GGSFTVRAD	0.621	*T*
Sequence	179	IGRGTKVIL	0.902	*T*
Sequence	190	KEDOTEYLE	0.776	*T*
Sequence	214	GYPITLYLE	0.144	
Sequence	269	KKKKTKKIK	0.550	*T*
Sequence	285	ELNKTKPIW	0.008	
Sequence	290	KPIWTRNPD	0.258	
Sequence	297	PDDITOEEY	0.276	
Sequence	309	YKSLTNDWE	0.166	
Sequence	446	HEDSTNRRR	0.738	*T*
Sequence	459	LRYHTSOSG	0.078	
Sequence	467	GDEMTSLSE	0.297	
Sequence	479	RMKETOKSI	0.670	*T*
Sequence	487	IYYITGESK	0.051	
Sequence	514	VVYMTEPID	0.060	
Sequence	537	LVSVTKEGL	0.029	
Sequence	579	VEKVTISNR	0.053	
Sequence	593	CCIVTSTYG	0.010	
Sequence	595	IVTSTYGWT	0.271	
Sequence	599	TYGWTANME	0.015	2
Sequence	616	RDNSTMGYM	0.005	
Sequence	637	PIVETLROK	0.861	*T*

 $http://www.cbs.dtu.dk/cgi-bin/nph-webface?jobid=netphos, 4C8446CC03FD03D2\&opt=n... \ \ 07/09/2010$

Name	Pos	Context	Score	Pred
_		v		-
Sequence	33	INTFYSNKE	0.501	*Y*
Sequence	56	DKIRYESLT	0.903	*Y*
Sequence	134	GVGFYSAYL	0.012	
Sequence	137	FYSAYLVAE	0.068	
Sequence	155	DDEQYAWES	0.933	* Y *
Sequence	192	DQTEYLEER	0.615	* Y *
Sequence	211	QFIGYPITL	0.040	
Sequence	216	PITLYLEKE	0.112	
Sequence	276	IKEKYIDQE	0.957	* Y *
Sequence	301	TQEEYGEFY	0.793	*Y*
Sequence	305	YGEFYKSLT	0.772	*Y*
Sequence	356	NIKLYVRRV	0.040	
Sequence	373	LIPEYLNFI	0.062	
Sequence	426	DKENYKKFY	0.945	* Y *
Sequence	430	YKKFYEAFS	0.258	
Sequence	457	ELLRYHTSQ	0.135	
Sequence	472	SLSEYVSRM	0.724	*Y*
Sequence	484	QKSIYYITG	0.790	*Y*
Sequence	485	KSIYYITGE	0.188	
Sequence	512	FEVVYMTEP	0.840	*Y*
Sequence	520	PIDEYCVQQ	0.177	
Sequence	596	VTSTYGWTA	0.215	
Sequence	619	STMGYMMAK	0.315	
Sequence	681	SNRIYRMIK	0.461	



Explain the output. Go back.

http://www.cbs.dtu.dk/cgi-bin/nph-webface?jobid=netphos,4C8446CC03FD03D2&opt=n... 07/09/2010

4) Subunidad β de la isoforma II de la proteína de choque térmico (HSP 90-α II).

NetPhos 2.0 Server - prediction results

Page 1 of 4



NetPhos 2.0 Server - prediction results

Technical University of Denmark

781 Sequence	
MPEETQTQDQPMEEEEVETFAFQAEIAQLMSLIINTFYSNKEIFLRELISNSSDALDKIRYESLTDPSKLDSGKELHINL	80
IPNKQDRTLTIVDTGIGMTKADLINNLGTIAKSGTKAFMEALQAGADISMIGQFGVGFYSAYLVAEKVTVITKHNDDEQY	160
AWESSAGGSFTVRTDTGEPMGRGTKVILHLKEDQTEYLEERRIKEIVKKHSQFIGYPITLFVEKERDKEVSDDEAEEKED	240
KEEEKEKEEKESEDKPEIEDVGSDEEEEKKDGDKKKKKKIKEKYIDQEELNKTKPIWTRNPDDITNEEYGEFYKSLTNDW	320
EDHLAVKHFSVEGQLEFRALLFVPRRAPFDLFENRKKKNNIKLYVRRVFIMDNCEELIPEYLNFIRGVVDSEDLPLNISR	400
EMLQQSKILKVIRKNLVKKCLELFTELAEDKENYKKFYEQFSKNIKLGIHEDSQNRKKLSELLRYYTSASGDEMVSLKDY	480
CTRMKENQKHIYYITGETKDQVANSAFVERLRKHGLEVIYMIEPIDEYCVQQLKEFEGKTLVSVTKEGLELPEDEEEKKK	560
QEEKKTKFENLCKIMKDILEKKVEKVVVSNRLVTSPCCIVTSTYGWTANMERIMKAQALRDNSTMGYMAAKKHLEINPDH	640
SIIETLRQKAEADKNDKSVKDLVILLYETALLSSGFSLEDPQTHANRIYRMIKLGLGIDEDDPTADDTSAAVTEEMPPLE	720
GDDDTSRMEEVDGIREFNPHEATSHXCKPRXTEINHSPALPHAISXFXRMHXMXSAPIENS	800
T.TYSYSYS	80
T	160
SS	240
YYYYYYYY	320
S	400
SSSS	480
YYYY	560
T	640
STS	720
TSSS	800

Phosphorylation sites predicted:Ser: 23 Thr: 10 Tyr: 10

Serine predictions

Name	Pos	Context	Score	Pred
		V		
Sequence	31	AQLMSLIIN	0.016	
Sequence	39	NTFYSNKEI	0.982	*S*
Sequence	50	RELISNSSD	0.029	
Sequence	52	LISNSSDAL	0.157	
Sequence	53	ISNSSDALD	0.025	
Sequence	63	IRYESLTDP	0.997	*S*
Sequence	68	LTDPSKLDS	0.976	*S*
Sequence	72	SKLDSGKEL	0.997	*S*
Sequence	113	TIAKSGTKA	0.916	*S*
Sequence	129	GADISMIGQ	0.328	
Sequence	140	VGFYSAYLV	0.004	
Sequence	164	YAWESSAGG	0.011	
Sequence	165	AWESSAGGS	0.057	
Sequence	169	SAGGSFTVR	0.026	
Sequence	211	VKKHSQFIG	0.837	*S*
Sequence	231	DKEVSDDEA	0.997	*S*
Sequence	252	EEKESEDKP	0.987	*S*
Sequence	263	EDVGSDEEE	0.997	*S*
Sequence	315	EFYKSLTND	0.265	
Sequence	330	VKHFSVEGQ	0.972	*S*
Sequence	391	GVVDSEDLP	0.172	
Sequence	399	PLNISREML	0.066	
Sequence	406	MLQQSKILK	0.018	

http://www.cbs.dtu.dk/cgi-bin/nph-webface?jobid=netphos,4C84471703EB1B4D&opt=n... 07/09/2010

Sequence	442	YEQFSKNIK	0.020	
Sequence	453	IHEDSQNRK	0.701	*S*
Sequence	460	RKKLSELLR	0.015	
Sequence	468	RYYTSASGD	0.059	
Sequence	470	YTSASGDEM	0.954	*S*
Sequence	476	DEMVSLKDY	0.996	*S*
Sequence	505	QVANSAFVE	0.574	*S*
Sequence	543	KTLVSVTKE	0.463	
Sequence	589	KVVVSNRLV	0.036	
Sequence	595	RLVTSPCCI	0.707	*S*
Sequence	602	CIVTSTYGW	0.016	
Sequence	623	LRDNSTMGY	0.812	*S*
Sequence	641	NPDHSIIET	0.997	*S*
Sequence	658	KNDKSVKDL	0.998	*S*
Sequence	673	TALLSSGFS	0.106	
Sequence	674	ALLSSGFSL	0.280	
Sequence	677	SSGFSLEDP	0.995	*S*
Sequence	709	ADDTSAAVT	0.864	*S*
Sequence	726	DDDTSRMEE	0.993	*S*
Sequence	744	HEATSHXCK	0.918	*S*
Sequence	757	EINHSPALP	0.718	*S*
Sequence	765	PHAISXFXR	0.007	
Sequence	775	HXMXSAPIE	0.004	
Sequence	781	PIENS	0.006	
		^		

Threonine predictions

Name	Pos	Context	Score	Pred
		v		
Sequence	5	MPEETQTQD	0.561	*T*
Sequence	7	EETQTQDQP	0.866	*T*
Sequence	19	EEVETFAFQ	0.011	
Sequence	36	LIINTFYSN	0.056	
Sequence	65	YESLTDPSK	0.038	
Sequence	88	KQDRTLTIV	0.022	
Sequence	90	DRTLTIVDT	0.991	*T*
Sequence	94	TIVDTGIGM	0.026	
Sequence	99	GIGMTKADL	0.244	
Sequence	109	NNLGTIAKS	0.052	
Sequence	115	AKSGTKAFM	0.008	
Sequence	149	AEKVTVITK	0.011	
Sequence	152	VTVITKHND	0.251	
Sequence	171	GGSFTVRTD	0.467	
Sequence	174	FTVRTDTGE	0.074	
Sequence	176	VRTDTGEPM	0.867	*T*
Sequence	184	MGRGTKVIL	0.831	*T*
Sequence	195	KEDQTEYLE	0.776	*T*
Sequence	219	GYPITLFVE	0.210	
Sequence	293	ELNKTKPIW	0.008	
Sequence	298	KPIWTRNPD	0.258	
Sequence	305	PDDITNEEY	0.078	
Sequence	317	YKSLTNDWE	0.166	
Sequence	425	LELFTELAE	0.015	
Sequence	467	LRYYTSASG	0.162	
Sequence	482	KDYCTRMKE	0.056	
Sequence	495	IYYITGETK	0.025	
Sequence	498	ITGETKDOV	0.686	*T*
Sequence	540	FEGKTLVSV	0.298	
Sequence	545	LVSVTKEGL	0.029	
Sequence	566	EEKKTKFEN	0.657	*T*
Sequence	594	NRLVTSPCC	0.092	
Sequence	601	CCIVTSTYG	0.010	

7. jutp 26syw.cbs.dtu.dk/cgi-bin/nph-webface?jobid=netphos,4C84471703EB1B4D&opt=n... 07/09/2010 мэјл илезу цолго дезирка устану илезу позеру позеру

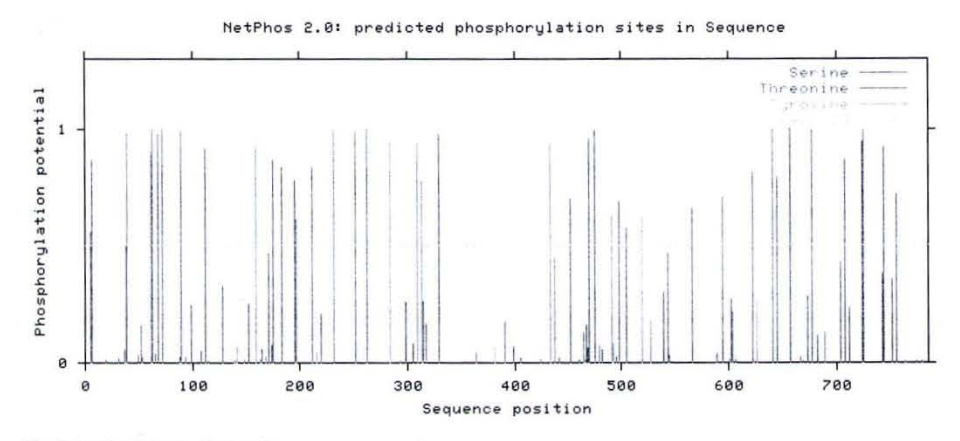
NetPhos 2.0 Server - prediction results

Sequence	603	IVTSTYGWT	0.271	
Sequence	607	TYGWTANME	0.015	
Sequence	624	RDNSTMGYM	0.005	
Sequence	645	SIIETLRQK	0.789	*T*
Sequence	669	LLYETALLS	0.008	
Sequence	683	EDPOTHANR	0.115	
Sequence	704	EDDPTADDT	0.431	
Sequence	708	TADDTSAAV	0.403	
Sequence	713	SAAVTEEMP	0.234	
Sequence	725	GDDDTSRME	0.944	*T*
Sequence	743	PHEATSHXC	0.380	
Sequence	752	KPRXTEINH	0.355	
		^		

Tyrosine predictions

Name	Pos	Context	Score	Pred	
Sequence	38	INTFYSNKE	0.501	* Y *	
Sequence	61	DKIRYESLT	0.903	* Y *	
Sequence	139	GVGFYSAYL	0.012		
Sequence	142	FYSAYLVAE	0.068		
Sequence	160	DDEQYAWES	0.933	*Y*	
Sequence	197	DQTEYLEER	0.615	*Y*	
Sequence	216	QFIGYPITL	0.040		
Sequence	284	IKEKYIDQE	0.957	* Y *	
Sequence	309	TNEEYGEFY	0.939	*Y*	
Sequence	313	YGEFYKSLT	0.772	*Y*	
Sequence	364	NIKLYVRRV	0.040		
Sequence	381	LIPEYLNFI	0.062		
Sequence	434	DKENYKKFY	0.945	*Y*	
Sequence	438	YKKFYEQFS	0.445		
Sequence	465	ELLRYYTSA	0.127		
Sequence	466	LLRYYTSAS	0.014		
Sequence	480	SLKDYCTRM	0.074		
Sequence	492	QKHIYYITG	0.632	*Y*	
Sequence	493	KHIYYITGE	0.077		
Sequence	520	LEVIYMIEP	0.620	*Y*	
Sequence	528	PIDEYCVQQ	0.177		
Sequence	604	VTSTYGWTA	0.215		
Sequence	627	STMGYMAAK	0.257		
Sequence	667	VILLYETAL	0.026		
Sequence	689	ANRIYRMIK	0.130		

 $http://www.cbs.dtu.dk/cgi-bin/nph-webface?jobid=netphos, 4C84471703EB1B4D\&opt=n... \\ 07/09/2010$



Explain the output. Go back.

 $http://www.cbs.dtu.dk/cgi-bin/nph-webface?jobid=netphos, 4C84471703EB1B4D\&opt=n... \\ 07/09/2010$

NetNGlyc 1.0 Server - prediction results

Page 1 of 2



NetNGlyc 1.0 Server - prediction results

Technical University of Denmark

Asn-Xaa-Ser/Thr sequons in the sequence output below are highlighted in ${\bf blue}$. Asparagines predicted to be N-glycosylated are highlighted in ${\bf red}$.

Output for 'Sequence'

Name: Sequence Length: 493	
MDKFWWHAAWGLCLVPLSLAQIDLNITCRFAGVFHVEKNGRYSISRTEAADLCKAFNSTLPTMAQMEKALSIGFETCRYG	80
FIEGHVVIPRIHPNSICAANNTGVYILTYNTSQYDTYCFNASAPPEEDCTSVTDLPNAFDGPITITIVNRDGTRYVQKGE	160
YRTNPEDIYPSNPTDDDVSSGSSSERSSTSGGYIFYTFSTVHPIPDEDSPWITDSTDRIPRTNMDSSHSTTLQPTANPNT	240
GLVEDLDRTGPLSMTTQQSNSQSFSTSHEGLEEDKDHPTTSTLTSSNRNDVTGGRRDPNHSEGSTHLLEGYTSHYPHTKE	320
SRTFIPVTSAKTGSFGVTAVTVGDSNSNVNRSLSGDQDTFHPSGGSHTTHGSESDGHSHGSQEGGANTTSGPIRTPQIPE	400
WLIILASLLALALILAVCIAVNSRRRCGQKKKLVINSGNGAVEDRKPSGLNGEASKSQEMVHLVNKESSETPDQFMTADE	480
TRNLQNVDMKIGV	
	80
nnNNnnnn.	160
n	240
nn.	320
	400
nnnnnn.	480
n	560

(Threshold=0.5)

SeqName	Position	Potential	Jury agreement	N-Gl resu		
Sequence	25 NITC	0.7530	(9/9)	+++	SEQUON ASI	N-XAA-SER/THR.
Sequence	39 NGRY	0.6472	(7/9)	+		
Sequence	57 NSTL	0.7594	(9/9)	+++	SEQUON ASI	N-XAA-SER/THR.
Sequence	94 NSIC	0.6463	(8/9)	+		
Sequence	100 NNTG	0.4908	(6/9)	-	SEQUON ASI	N-XAA-SER/THR.
Sequence	101 NTGV	0.6187	(8/9)	+		
Sequence	110 NTSQ	0.6913	(9/9)	++	SEQUON ASI	N-XAA-SER/THR.
Sequence	120 NASA	0.5967	(6/9)	+	SEQUON ASI	N-XAA-SER/THR.
Sequence	137 NAFD	0.6459	(9/9)	++		
Sequence	149 NRDG	0.6422	(7/9)	+		
Sequence	164 NPED	0.7314	(9/9)	++	WARNING: P	RO-X1.
Sequence	172 NPTD	0.6689	(9/9)	++	WARNING: P	RO-X1. SEQUON ASN-XAA-SER/THR
Sequence	223 NMDS	0.6997	(9/9)	++		
Sequence	237 NPNT	0.4517	(6/9)	1-1		
Sequence	239 NTGL	0.7009	(9/9)	++		
Sequence	260 NSQS	0.6551	(9/9)	++		
Sequence	287 NRND	0.5933	(8/9)	+		
Sequence	289 NDVT	0.3702	(8/9)	-		
Sequence	299 NHSE	0.3889	(8/9)	-	SEQUON AS	N-XAA-SER/THR.
Sequence	346 NSNV	0.5609	(7/9)	+		
Sequence	348 NVNR	0.6819	(9/9)	++		
Sequence	350 NRSL	0.6722	(9/9)	++	SEQUON AS	N-XAA-SER/THR.
Sequence	387 NTTS	0.6313	(8/9)	+	SEQUON AS	N-XAA-SER/THR.
Sequence	422 NSRR	0.6748	(9/9)	++		

 $http://www.cbs.dtu.dk/cgi-bin/nph-webface?jobid=netNglyc, 4C844A1E027C45A7\&opt=... \\ 07/09/2010 \\$

NetNGlyc 1.0 Server - prediction results

Sequence	436	NSGN	0.4734	(7/9)	-	
Sequence	439	NGAV	0.5226	(6/9)	+	
Sequence	451	NGEA	0.6176	(8/9)	+	
Sequence	465	NKES	0.6771	(8/9)	+	
Sequence	483	NLQN	0.5161	(3/9)	+	
Sequence	486	NVDM	0.4709	(6/9)	-	

×

Graphics in PostScript

Explain the output. Go back.

 $http://www.cbs.dtu.dk/cgi-bin/nph-webface?jobid=netNglyc, 4C844A1E027C45A7\&opt=... \ \ 07/09/2010$



NetOGlyc 3.1 Server - prediction results

Technical University of Denmark

Name: Sequence Leng MDKFWWHAAWGLCLVPLSLAQIDLNITC FIEGHVVIPRIHPNSICAANNTGVYLLT	RFAGVE					
YRTNPEDIYPSNPTDDDVSSGSSSERSS						
GLVEDLDRTGPLSMTTQQSNSQSFSTSH						
SRTFIPVTSAKTGSFGVTAVTVGDSNSN						
WLIILASLLALALILAVCIAVNSRRRCG	QKKKLV	INSGN	GAVEDRKPS	SGLNGEASE	(SQEM	VHLVNKESSETPDQFMTADE
TRNLQNVDMKIGV						
				т 1		т т
Name	S/T	Pos	G-score	I-score	Y/N	Comment
Sequence	S	18	0.071	0.028		=
Sequence	T	27	0.119	0.053		-
Sequence	S	43	0.121	0.040		-
Sequence	S	45	0.137	0.028		=
Sequence	T	47	0.266	0.199		-
Sequence	S	58	0.201	0.041		-
Sequence	T	59	0.259	0.054		-
Sequence	T	62	0.241	0.312		-
Sequence	S	71	0.141	0.082		-
Sequence	T	76	0.225	0.034		-
Sequence	S	95	0.133	0.021		
Sequence	T	102	0.232	0.025		-
Sequence	T	108	0.196	0.058		-
Sequence	T	111	0.239	0.057	*	
Sequence	T	116	0.107	0.018		-
Sequence Sequence	S	122	0.263	0.109		Ξ.
Sequence	T	130	0.444	0.109		-
Sequence	S	131	0.360	0.111		_
Sequence	T	133	0.474	0.298		_
Sequence	Т	144	0.282	0.079		-
Sequence	T	146	0.281	0.078		-
Sequence	T	153	0.270	0.032		-
Sequence	T	163	0.334	0.084		-
Sequence	S	171	0.365	0.462		-
Sequence	T	174	0.577	0.233	T	.=
Sequence	S	179	0.463	0.098		-
Sequence	S	180	0.464	0.120		-
Sequence	S	182	0.426	0.019		: -
Sequence	S	183	0.410	0.020		-
Sequence	S	184	0.414	0.034		·

NetPhos 2.0 Server - prediction results

Page 3 of 3

Sequence	S	187	0.362	0.023		-
Sequence	S	188	0.412	0.089		_
Sequence	T	189	0.476	0.068		-5
Sequence	S	190	0.367	0.060		-
Sequence	T	197	0.494	0.055		-
Sequence	S	199	0.340	0.023		-
Sequence	T	200	0.450	0.159		-
Sequence	S	209	0.347	0.031		-
Sequence	T	213	0.520	0.091	T	_
Sequence	S	215	0.444	0.021		-
Sequence	T	216	0.561	0.114	T	-
Sequence	T	222	0.502	0.020	T	
Sequence	S	226	0.397	0.025		_
Sequence	S	227	0.394	0.024		-
Sequence	S	229	0.387	0.057		-
Sequence	T	230	0.492	0.019		-
Sequence	T	231	0.439	0.032		-
Sequence	T	235	0.438	0.577	T	-
Sequence	T	240	0.482	0.044		-
Sequence	T	249	0.434	0.075		-
Sequence	S	253	0.314	0.051		-
Sequence	T	255	0.412	0.145		-
Sequence	T	256	0.382	0.063		-
Sequence	S	259	0.279	0.019		1
Sequence	S	261	0.258	0.034		-
Sequence	S	263	0.326	0.029		-
Sequence	S	265	0.373	0.044		-
Sequence	T	266	0.516	0.057	Т	-
Sequence	S	267	0.398	0.034		-
Sequence	T	279	0.469	0.444		-
Sequence	T	280	0.472	0.061		-
Sequence	S	281	0.336	0.033		-
Sequence	T	282	0.401	0.062		-
Sequence	T	284	0.426	0.054		-
Sequence	S	285	0.309	0.078		-
Sequence	S	286	0.324	0.034		-
Sequence	T	292	0.500	0.057		-
Sequence	S	301	0.245	0.078		-
Sequence	S	304	0.246	0.031		-
Sequence	T	305	0.360	0.064		-
Sequence	T	312	0.413	0.052		-
Sequence	S	313	0.325	0.059		-
Sequence	T	318	0.407	0.042		-
Sequence	S	321	0.298	0.031		-
Sequence	T	323	0.454	0.036		-
Sequence	T	328	0.504	0.088	T	-
Sequence	S	329	0.353	0.093		-
Sequence	T	332	0.453	0.064		-
Sequence	S	334	0.318	0.068		-
Sequence	T	338	0.423	0.051		-
Sequence	T	341	0.423	0.209		-
Sequence	S	345	0.236	0.021		-
Sequence	S	347	0.278	0.018		-
Sequence	S	352	0.311	0.040		_
Sequence	S	354	0.336	0.066		-
Sequence	T	359	0.426	0.051		-
Sequence	S	363	0.330	0.099		_
Sequence	S	366	0.384	0.023		-
Sequence	T	368	0.468	0.030		-
Sequence	Т	369	0.481	0.081		-

 $http://www.cbs.dtu.dk/cgi-bin/nph-webface?jobid=netOglyc, 4C844A1A03FC7B44\&opt=... \ \ 07/09/2010$

NetOGlyc 3.1 Server - p	prediction results						Page 3 of
Sequence	S	372	0.358	0.037	•	_	
Sequence	S	374	0.433	0.033		-	
Sequence	S	378	0.445	0.052		-	
Sequence	S	381	0.469	0.036		-	
Sequence	T	388	0.498	0.036		-	
Sequence	T	389	0.485	0.629	T	-	
Sequence	S	390	0.320	0.062		-	
Sequence	T	395	0.380	0.098		-	
Sequence	S	407	0.107	0.033		-	
Sequence	S	423	0.075	0.028	(54)	=	
Sequence	S	437	0.143	0.048	*	-	
Sequence	S	448	0.221	0.036		-	
Sequence	S	455	0.233	0.031		-	
Sequence	S	457	0.271	0.056		-	
Sequence	S	468	0.236	0.034		-	
Sequence	S	469	0.215	0.079		-	
Sequence	T	471	0.258	0.043		-	
Sequence	T	477	0.265	0.089		-	
Sequence	T	481	0.291	0.071		-	

X

Graphies in PostScript

Explain the output. Go back.

NetNGlyc 1.0 Server - prediction results -

O-KDA

Page 1 of 1



NetNGlyc 1.0 Server - prediction results

Technical University of Denmark

Asn-Xaa-Ser/Thr sequons in the sequence output below are highlighted in ${\bf blue}$. Asparagines predicted to be N-glycosylated are highlighted in ${\bf red}$.

Output for 'Sequence'

Name: Sequence Length: 527	
MLLPLLLLLPMCWAVEVKRPRGVSLTNHHFYDESKPFTCLDGSATIPFDQVNDDYCDCKDGSDEPGTAACPNGSFHCTNT	80
GYKPLYIPSNRVNDGVCDCCDGTDEYNSGVICENTCKEKGRKERESLQQMAEVTREGFRLKKILIEDWKKAREEKQKKLI	160
ELQAGKKSLEDQVEMLRTVKEEAEKPEREAKEQHQKLWEEQLAAAKAQQEQELAADAFKELDDDMDGTVSVTELQTHPEL	240
DTDGDGALSEAEAQALLSGDTQTDATSFYDRVWAAIRDKYRSEALPTDLPAPSAPDLTEPKEEQPPVPSSPTEEEEEEEE	320
EEEEAEEEEEEDSEEAPPPLSPPQPASPAEEDKMPPYDEQTQAFIDAAQEARNKFEEAERSLKDMEESIRNLEQEISFD	400
FGPNGEFAYLYSQCYELTTNEYVYRLCPFKLVSQKPKLGGSPTSLGTWGSWIGPDHDKFSAMKYEQGTGCWQGPNRSTTV	480
RLLCGKETMVTSTTEPSRCEYLMELMTPAACPEPPPEAPTEDDHDEL	
n	80
nnnnnnn	160
	240
	320
nnnnn	400
n	480
	560

(Threshold=0.5)

SeqName	Pos	ition	Potential	Jury agreement	N-Glyc result		
Sequence	27	NHHF	0.5579	(6/9)	+		
Sequence	52	NDDY	0.5307	(5/9)	+		
Sequence	72	NGSF	0.6278	(8/9)	+	SEQUON	ASN-XAA-SER/THR
Sequence	79	NTGY	0.6249	(7/9)	+		
Sequence	90	NRVN	0.7770	(9/9)	+++		
Sequence	93	NDGV	0.5789	(8/9)	+		
Sequence	107	NSGV	0.7637	(9/9)	+++		
Sequence	114	NTCK	0.7566	(9/9)	+++		
Sequence	374	NKFE	0.6254	(5/9)	+		
Sequence	392	NLEQ	0.6448	(9/9)	++		
Sequence	404	NGEF	0.5196	(6/9)	+		
Sequence	420	NEYV	0.6436	(9/9)	++		
Sequence	475	NRST	0.5451	(4/9)	+	SEOUON	ASN-XAA-SER/THR

Graphics in PostScript

Explain the output. Go back.

http://www.cbs.dtu.dk/cgi-bin/nph-webface?jobid=netNglyc,4C844AE803FA3AA4&opt... 07/09/2010





NetOGlyc 3.1 Server - prediction results

Technical University of Denmark

GYKPLYIPSNRVN ELQAGKKSLEDQV DTDGDGALSEAEA EEEEAEEEEEED FGPNGEFAYLYSQ RLLCGKETMVTST	AVEVKRPRGVSLTN DGVCDCCDGTDEYN EMLRTVKEEAEKPE QALLSGDTQTDATS SEEAPPPLSPPQPA CYELTTNEYVYRLC TEPSRCEYLMELMT	HHFYDES SGVICEN REAKEQH FYDRVW SPAEEDH PFKLVS(PAACPEI	TCKEK QKLWE AAIRDK MPPYD QKPKLG PPPEAP	GRKERESL(EQLAAAKA(YRSEALPTI EQTQAFID) GSPTSLGTV TEDDHDEL	QQMAEVTRI QQEQELAAI DLPAPSAPI AAQEARNKI NGSWIGPDI	EGFRI DAFKE DLTEE FEEAE HDKFS	LKKILIED ELDDDMDG PKEEQPPV ERSLKDME SAMKYEQG	WKKAREEKQF ETVSVTELQTF PSSPTEEEEF ESIRNLEQEI ETGCWQGPNRS	KKLI HPEL EEEE ISFU STTV
,									
	S								
	T			T					
Name		S/T	Pos	G-score	I-score	Y/N	Commer	it	
Sequence		S	24	0.167	0.029		=		
Sequence		T	26		0.106		_		
Sequence		S	34		0.029		_		
Sequence		T	38		0.049		-		
Sequence		S	43		0.035		2		
Sequence		T	45	0.184	0.101		-		
Sequence		S	62	0.196	0.057		-		
Sequence		T	67	0.263	0.221		-		
Sequence		S	74	0.272	0.054	1350	~		
Sequence		Т	78	0.314	0.029		_		
Sequence		T	80	0.311	0.019		-		
Sequence		S	89	0.129	0.059		-		
Sequence		T	103	0.183	0.033		=		
Sequence		S	108	0.103	0.057		-		
Sequence		T	115	0.195	0.020		-		
Sequence		S	126	0.125	0.020		-		
Sequence		T	134	0.137	0.127		=		
Sequence		S	168	0.108	0.025	1.0	-		
Sequence		T	178	0.270	0.046		-		
Sequence		T	228	0.282	0.050		_		
Sequence		S	230	0.193	0.035		-		
Sequence		T	232	0.303	0.226		-		
Sequence		T	236	0.336	0.052	•	-		
Sequence		T	242	0.375	0.080		-		
Sequence		S	249	0.232	0.054		-		
Sequence		S	258	0.192	0.078		-		
Sequence		T	261	0.298	0.020		-		
Sequence		T	263	0.253	0.069		-		
Sequence		T	266	0.214	0.030		-		
Sequence		S	267	0.154	0.018		-		
Sequence		S	282	0.252	0.078		-		

 $http://www.cbs.dtu.dk/cgi-bin/nph-webface?jobid=netOglyc, 4C844AF803FAEB61\&opt=... \ \ 07/09/2010$

NetOGlyc 3.1 Server - prediction res	sults -	i		•		80 KD1	Page 2 of 2
Sequence	T	287	0.477	0.704	T	-	
Sequence	S.	293	0.485	0.405		-	
Sequence	T	298	0.703	0.173	T	_	
Sequence	S	309	0.575	0.478	S	-	58
Sequence	S	310	0.585	0.107	S		
Sequence	T	312	0.677	0.405	T	-	
Sequence	S	334	0.607	0.051	S	-	
Sequence	S	342	0.601	0.322	S	-	
Sequence	S	348	0.555	0.049	S	_	
Sequence	T	362	0.355	0.087		-	
Sequence	S	382	0.140	0.023		-	
Sequence	S	389	0.126	0.033			
Sequence	S	398	0.101	0.068		-	
Sequence	S	412	0.092	0.054		-	
Sequence	T	418	0.140	0.031		_	
Sequence	T	419	0.120	0.104		_	
Sequence	S	433	0.200	0.083		· —	
Sequence	S	441	0.246	0.027		1-0	
Sequence	T	443	0.362	0.159		-	
Sequence	S	444	0.222	0.053		-	
Sequence	T	447	0.398	0.064		-	
Sequence	S	450	0.216	0.030		-	
Sequence	S	460	0.156	0.030		-	
Sequence	T	468	0.259	0.034			
Sequence	S	477	0.187	0.038		-	
Sequence	T	478	0.280	0.020			
Sequence	T	479	0.315	0.058	***	-	
Sequence	T	488	0.351	0.032		-	
Sequence	T	491	0.283	0.288		-	
Sequence	S	492	0.229	0.022			
Sequence	T	493	0.341	0.220		-	
Sequence	T	494	0.321	0.311		-	
Sequence	S	497	0.247	0.018		_	
Sequence	T	507	0.583	0.287	T	-	
Sequence	T	520	0.658	0.555	T	-	

Graphics in PostScript

魏

Explain the output. Go back.

 $http://www.cbs.dtu.dk/cgi-bin/nph-webface?jobid=netOglyc, 4C844AF803FAEB61\&opt=... \ \ 07/09/2010$